

İSTANBUL ÜNİVERSİTESİ FEN BİLİMLERİ ENSTİTÜSÜ

DOKTORA TEZİ

BATI KARADENİZ BÖLGESİNDE YETİŞEN ADİ CEVİZ (*Juglans regia* L.) ODUNUNUN BAZI ANATOMİK VE FİZİKSEL ÖZELLİKLERİ

97925

A. DİLEK DOĞU
Orman Endüstri Mühendisliği Anabilim Dalı
Orman Biyolojisi ve Odun Koruma Teknolojisi Programı

**DANIŞMAN
PROF.DR. RAMAZAN KANTAY**

İSTANBUL-2000

TC. YÜKSEK İŞERİTİMA KURULU
İSTANBUL İŞERİTİMA MERKEZİ



Bu Doktora Tezi İstanbul Üniversitesi Araştırma Fonu'nca desteklenmiştir.
Proje No : T-289/301096

**İSTANBUL ÜNİVERSİTESİ
FEN BİLİMLERİ ENSTİTÜSÜ**

Bu çalışma 28.02.2000 tarihinde aşağıdaki jüri tarafından Orman Endüstri Mühendisliği Anabilim Dalı Orman Biyolojisi ve Odun Koruma Teknolojisi Programında Doktora Tezi olarak kabul edilmiştir.



Prof. Dr. Ramazan KANTAY
Danışman



Prof. Dr. Nurgün ERDİN



Prof. Dr. Ali ÇIRPICI

ÖNSÖZ

“Batı Karadeniz Bölgesinde Yetişen Adi Ceviz (*Juglans regia L.*) Odununun Bazı Anatomik ve Fiziksel Özellikleri” adlı bu çalışma, İstanbul Üniversitesi, Orman Fakültesi, Orman Endüstri Mühendisliği Bölümü, Orman Biyolojisi ve Odun Koruma Teknolojisi Anabilim Dalında, Doktora tezi olarak hazırlanmıştır.

Araştırma konusunu veren, çalışmanın her aşamasında değerli yardımcılarını ve yakın ilgilerini gördüğüm Sayın Hocam Prof.Dr.Ramazan KANTAY'a teşekkürlerimi sunmayı borç bilirim.

Çalışmalarım sırasında bilimsel önerileri ile katkıda bulunan, yakın ilgi ve desteği ile her zaman yanımdayan Sayın Hocam Prof.Dr.Nurgün ERDİN'e teşekkürlerimi sunarım.

İstatistik çalışmalarında değerli fikirleri ile katkıda bulunan Sayın Hocam Prof.Dr.Tahsin AKALP'e, yine bu çalışmalarımnda büyük emeği geçen arkadaşım Araş.Gör.Dr.Serdar CARUS'a teşekkür etmeyi bir borç bilirim. Ayrıca çalışma arkadaşım Araş.Gör.Dr.Doğanay TOLUNAY'a ve bu araştırmada emeği geçen tüm mesai arkadaşımıza çok teşekkür ederim.

Örnek ağaçların alınmasında büyük yardımcılarını gördüğüm Altınçay, Aktaş, Kocaman Orman İşletme Şefliği çalışanlarına ve bu tezin yazımı aşamasında büyük özveri ile çalışan Sayın Ali ALTUNKAYA'ya çok teşekkür ederim.

Ayrıca her zaman manevi destekleri ile yanımdayan değerli anneme ve babama, yine çalışmalarım sırasında büyük sabır ve özveri gösteren sevgili eşimle oğluma gönülden teşekkür ederim.

İstanbul-2000

A.Dilek DOĞU

İÇİNDEKİLER

| | |
|--------------------------------------|----------|
| ÖNSÖZ | I |
| İÇİNDEKİLER | II |
| ŞEKİL LİSTESİ | IX |
| TABLO LİSTESİ | XII |
| ÖZET | XIX |
| SUMMARY | XX |
| I. GİRİŞ | 1 |
| I.1 Genel Bilgiler | 2 |
| I.1.1 Botanik Özellikleri | 2 |
| I.1.2 Doğal Yayılışı | 3 |
| I.1.3 İklim Özellikleri | 3 |
| I.1.4 Toprak Özellikleri | 4 |
| I.1.5 Ekolojisi | 4 |
| I.1.6 Anatomik Özellikler | 5 |
| I.1.6.1 Makroskopik Özellikler | 5 |
| I.1.6.2 Mikroskopik Özellikler | 5 |
| I.1.6.2.1 Traheler | 5 |
| I.1.6.2.2 Boyuna Paranşimler | 7 |
| I.1.6.2.3 Öz Işınları | 7 |

| | |
|-------------------------------------------------------------------------------------------|----|
| I.1.6.2.4 Lifler | 9 |
| I.1.7 Fiziksel ve Mekanik Özellikler | 11 |
| I.1.8 Kurutma Özellikleri | 13 |
| I.1.9 Ceviz Adı Altında Ticareti Yapılan Ağaç Türleri | 15 |
| I.1.10 Cevizin Ekonomik Varlığımız İçerisindeki Yeri | 15 |
| I.1.11 Ceviz Odununun Kullanış Yerleri | 16 |
| I.1.12 Ceviz Ağacı ve Odununa Arız Olan Önemli Mantar Türleri | 16 |
| I.1.13 Ceviz Ağacı ve Odununa Arız Olan Önemli Böcek Türleri | 19 |
| II. MATERİYAL VE METOD | 20 |
| II.1 Araştırma Alanlarının Tanıtımı | 20 |
| II.2 Örnek Ağaçların Seçimi | 21 |
| II.3 Örnek Ağaçlardan Gövde Kesitlerinin Alınması ve Test Örneklerinin Hazırlanması | 21 |
| II.4 Makroskopik Özellikler | 22 |
| II.4.1 Kabuk | 22 |
| II.4.2 Öz Odun | 24 |
| II.4.3 Diri Odun | 25 |
| II.4.4 Yıllık Halka Genişliği | 25 |
| II.5 Mikroskopik Ölçmeler | 26 |
| II.5.1 Mikroskopik Kesitlerin Hazırlanması | 26 |
| II.5.2 Mikroskopik Kesitlerin Boyanması | 26 |
| II.5.3 Mikroskopik Büyütmeler | 27 |
| II.5.4 Enine Kesitte Yapılan Ölçmeler | 27 |
| II.5.5 Radyal Kesitte Yapılan Ölçmeler | 28 |

| | |
|------------------------------------------------------------------------------|----|
| II.5.6 Teğet Kesitte Yapılan Ölçmeler | 29 |
| II.5.7 Maserasyon | 29 |
| II.5.7.1 Lif Uzunluğunun Gövde Yüksekliğinde Değişimi | 30 |
| II.5.7.2 Özden Uzaklık İle Lif Uzunluğu Arasındaki İlişki | 31 |
| II.6 Hava Kuru Yoğunluk | 31 |
| II.7 Tam Kuru Yoğunluk | 33 |
| II.7.1 Tam Kuru Yoğunluğun Gövde Yüksekliğinde Değişimi | 33 |
| II.7.2 Tam Kuru Yoğunluğun Özden Çevreye Doğru Değişimi | 34 |
| II.7.3 Tam Kuru Yoğunluk İle Yıllık Halka Genişliği Arasındaki İlişki | 34 |
| II.7.4 Hücre Çeperi ve Hava Boşluğu Oranları | 34 |
| II.8 Hacim Ağırlık Değeri | 36 |
| II.8.1 Tam Kuru Yoğunluk İle Hacim Ağırlık Değeri Arasındaki İlişki | 36 |
| II.9 Sorpsiyon Denemeleri | 37 |
| II.10 Lif Doygunluğu Rutubet Derecesi | 38 |
| II.11 Ceviz Odununun İçerisine Alabileceği En Yüksek Su Miktarı | 39 |
| II.12 Verilerin İstatistik Değerlendirilmesi | 39 |
| III. BULGULAR VE İRDELENMESİ | 41 |
| III.1 Makroskopik Özellikler | 41 |
| III.1.1 Kabuk | 41 |
| III.1.2 Öz Odun | 42 |
| III.1.3 Diri Odun | 47 |
| III.1.4 Yıllık Halka Genişliği | 52 |
| III.1.5 Yıllık Halka Genişliği Varyasyon Grafiği | 55 |

| | |
|--------------------------------------------------------------------|-----|
| III.1.6 Örnek Ağaçların Büyüme Eğrileri ve Bonitet Sınıfları | 55 |
| III.2 Mikroskopik Özellikler | 57 |
| III.2.1 Traheler | 59 |
| III.2.1.1 Trahe Sayısı | 59 |
| III.2.1.2 Trahe Çapları | 63 |
| III.2.1.3 Trahe Lümen Genişlikleri | 69 |
| III.2.1.4 Trahe Çeber Kalınlıkları | 75 |
| III.2.1.5 Trahelerdeki Geçitler | 80 |
| III.2.1.6 Perforasyon Tablosu | 87 |
| III.2.1.7 Trahe Hücre Uzunluğu | 89 |
| III.2.2 Lifler | 90 |
| III.2.2.1 Lif Traheidlerinin Çapları | 90 |
| III.2.2.2 Lif Traheidi Lümen Genişlikleri | 96 |
| III.2.2.3 Lif Traheidi Çeber Kalınlıkları | 102 |
| III.2.2.4 Libriform Lifleri | 107 |
| III.2.2.5 Lif Çeber Kalınlığı Grubu | 108 |
| III.2.2.6 Lif Uzunluğu | 108 |
| III.2.2.6.1 Lif Uzunluğunun Gövde Yüksekliğinde Değişimi | 111 |
| III.2.2.6.2 Özden Uzaklık İle Lif Uzunluğu Arasındaki İlişki | 112 |
| III.2.2.6.3 Lif Uzunluğu Varyasyon Grafiği | 112 |
| III.2.3 Boyuna Paranşimler | 116 |
| III.2.4 Öz Işınları | 117 |
| III.2.4.1 Öz Işını Genişliği | 118 |

| | |
|--------------------------------------------------------------------------------|------------|
| III.2.4.2 Öz İşini Yüksekliği | 124 |
| III.2.4.3 Öz İşini Sayısı | 131 |
| III.3 Fiziksel Özellikler | 133 |
| III.3.1 Hava Kurusu Yoğunluk | 133 |
| III.3.1.1 Hava Kurusu Yoğunluk Varyasyon Grafiği | 134 |
| III.3.2 Tam Kuru Yoğunluk | 135 |
| III.3.2.1 Tam Kuru Yoğunluğun Gövde Yüksekliğinde Değişimi | 137 |
| III.3.2.2 Tam Kuru Yoğunluğun Özden Çevreye Doğru Değişimi | 138 |
| III.3.2.3 Tam Kuru Yoğunluk İle Yıllık Halka Genişliği Arasındaki İlişki | 140 |
| III.3.2.4 Tam Kuru Yoğunluk Varyasyon Grafiği | 140 |
| III.3.2.5 Hücre Çeperi ve Hava Boşluğu Hacmi | 144 |
| III.3.3 Hacim Ağırlık Değeri | 144 |
| III.3.3.1 Tam Kuru Yoğunluk İle Hacim Ağırlık Değeri Arasındaki İlişki | 146 |
| III.3.3.2 Hacim Ağırlık Değeri Varyasyon Grafiği | 146 |
| III.3.4 Sorpsiyon Denemeleri | 149 |
| III.3.4.1 Hacmen Daralma ve Genişleme Varyasyon Grafiği | 157 |
| III.3.5 Lif Doygunluğu Rutubet Derecesi | 159 |
| III.3.6 Ceviz Odununun İçerisine Alabileceği En Yüksek Su Miktarı | 160 |
| IV. SONUÇ VE TARTIŞMA | 161 |
| IV.1 Makroskopik Özellikler | 161 |
| IV.1.1 Kabuk | 161 |
| IV.1.2 Öz Odun | 161 |
| IV.1.3 Diri Odun | 161 |

| | |
|-------------------------------------------------|-----|
| IV.1.4 Yıllık Halka Genişliği | 162 |
| IV.2 Mikroskopik Özellikler | 162 |
| IV.2.1 Traheler | 162 |
| IV.2.1.1 Trahe Sayısı | 162 |
| IV.2.1.2 Trahe Çapı | 163 |
| IV.2.1.3 Trahe Lümen Genişlikleri | 164 |
| IV.2.1.4 Trahe Çeber Kalınlıkları | 165 |
| IV.2.1.5 Trahelerdeki Geçitler | 166 |
| IV.2.1.6 Trahe Hücre Uzunluğu | 167 |
| IV.2.1.7 Perforasyon Tablosu | 168 |
| IV.2.2 Lifler | 168 |
| IV.2.2.1 Lif Traheidlerinin Çapı | 168 |
| IV.2.2.2 Lif Tra Heidi Lümen Genişlikleri | 169 |
| IV.2.2.3 Lif Tra Heidi Çeber Kalınlıkları | 170 |
| IV.2.2.4 Libriform Lifleri | 170 |
| IV.2.2.5 Lif Çeber Kalınlığı Grubu | 171 |
| IV.2.2.6 Lif Uzunluğu | 171 |
| IV.2.3 Boyuna Paranşimler | 171 |
| IV.2.4 Öz Işınları | 172 |
| IV.2.4.1 Öz Işını Genişliği | 172 |
| IV.2.4.2 Öz Işını Yüksekliği | 173 |
| IV.2.4.3 Öz Işını Sayısı | 174 |
| IV.3 Fiziksel Özellikler | 175 |

| | |
|------------------------------------------------------------------------|------------|
| IV.3.1 Yoğunluk | 175 |
| IV.3.1.1 Hücre Çeperi ve Hava Boşluğu Hacmi | 176 |
| IV.3.2 Hacim Ağırlık Değeri | 176 |
| IV.3.3 Sorpsiyon Denemeleri | 176 |
| IV.3.4 Lif Doygunluğu Rutubet Derecesi | 177 |
| IV.3.5 Ceviz Odununun İçerisine Alabileceği En Yüksek Su Miktarı | 178 |
| IV.4 Ceviz Ağacının Ülke Ekonomisindeki Önemi | 178 |
| KAYNAKLAR | 180 |
| ÖZGEÇMİŞ | 187 |

ŞEKİL LİSTESİ

- Şekil III.1 : Öz Odun-Diri Odun Genişliğinin Gövde Yüksekliğinde Değişimi
- Şekil III.2 : Öz Odun Katılım Oranının Gövde Yüksekliğinde Değişimi
- Şekil III.3 : Diri Odun Katılım Oranının Gövde Yüksekliğinde Değişimi
- Şekil III.4 : 1 no'lu Ağaçta Yıllara Göre Yıllık Halka Genişliği Değişimi
- Şekil III.5 : 5 no'lu Ağaçta Yıllara Göre Yıllık Halka Genişliği Değişimi
- Şekil III.6 : 9 no'lu Ağaçta Yıllara Göre Yıllık Halka Genişliği Değişimi
- Şekil III.7 : 10 no'lu Ağaçta Yıllara Göre Yıllık Halka Genişliği Değişimi
- Şekil III.8 : Yıllık Halka Genişliği Varyasyon Grafiği
- Şekil III.9 : Örnek Ağaçlara Ait Büyüme Eğrileri
- Şekil III.10 : Bonitet Sınıflarına Ait Büyüme Eğrileri
- Şekil III.11 : Lif Uzunluğunun Nisbi Gövde Yüksekliğinde Değişimi
- Şekil III.12 : Özden Uzaklık-Lif Uzunluğu İlişkisi
- Şekil III.13 : Lif Uzunluğu Genel Varyasyon Grafiği
- Şekil III.14 : Altınçay Bölgesi Lif Uzunluğu Varyasyon Grafiği
- Şekil III.15 : Aktaş Bölgesi Lif Uzunluğu Varyasyon Grafiği
- Şekil III.16 : Kocaman Bölgesi Lif Uzunluğu Varyasyon Grafiği
- Şekil III.17 : Hava Kurusu Yoğunluk Genel Varyasyon Grafiği
- Şekil III.18 : Tam Kuru Yoğunluğun Gövde Yüksekliğinde Değişimi
- Şekil III.19 : Tam Kuru Yoğunluğun Çeşitli Gövde Yüksekliklerinde Özden Çevreye Doğru Değişimi

- Şekil III.20 : Tam Kuru Yoğunluk-Yıllık Halka Genişliği İlişkisi
- Şekil III.21 : Tam Kuru Yoğunluk Genel Varyasyon Grafiği
- Şekil III.22 : Altınçay Bölgesi Tam Kuru Yoğunluk Varyasyon Grafiği
- Şekil III.23 : Aktaş Bölgesi Tam Kuru Yoğunluk Varyasyon Grafiği
- Şekil III.24 : Kocaman Bölgesi Tam Kuru Yoğunluk Varyasyon Grafiği
- Şekil III.25 : Tam Kuru Yoğunluk İle Hacim Ağırlık Değeri Arasındaki İlişki
- Şekil III.26 : Hacim Ağırlık Değeri Genel Varyasyon Grafiği
- Şekil III.27 : Altınçay Bölgesi Hacim Ağırlık Değeri Varyasyon Grafiği
- Şekil III.28 : Aktaş Bölgesi Hacim Ağırlık Değeri Varyasyon Grafiği
- Şekil III.29 : Kocaman Bölgesi Hacim Ağırlık Değeri Varyasyon Grafiği
- Şekil III.30 : Hacmen Daralma Miktarı Varyasyon Grafiği
- Şekil III.31 : Hacmen Genişleme Miktarı Varyasyon Grafiği

TABLO LİSTESİ

- Tablo I.1 : Ceviz Odununun Bazı Fiziksel ve Mekanik Özellikleri
- Tablo I.2 : Başlangıç Rutubeti % 50 Olan Farklı Kalınlıklardaki Ceviz Kaplama Levhalarının Çeşitli Sıcaklıklarda Kurutulması İçin En Uygun Kurutma Programları ve İlgili Kurutma Süreleri
- Tablo I.3 : Çeşitli Başlangıç Rutubet Dereceleri ve Kalınlıktaki Levhaların 150 °C Sıcaklık Derecesinde Kurutulması İçin En Uygun Kurutma Programları ve Süreleri
- Tablo I.4 : Ceviz Adı Altında Ticareti Yapılan Ağaç Türleri
- Tablo I.5 : Ceviz Ağacı ve Odununa Arız Olan Önemli Mantar Türleri
- Tablo I.6 : Ceviz Ağacı ve Odununa Arız Olan Önemli Böcek Türleri
- Tablo II.1 : Örnek Ağaçların Alındığı Bölgeler ve Dendrometrik Özellikler
- Tablo III.1 : Kabuk Yüzdeleri
- Tablo III.2 : Öz Odun Hacmi
- Tablo III.3 : Öz Odun Hacmi Katılım Oranı
- Tablo III.4 : Öz Odun Genişliği
- Tablo III.5 : Gövde Kesitinde Öz Odun Alanı ve Katılım Oranı
- Tablo III.6 : Diri Odun Hacmi Katılım Oranı
- Tablo III.7 : Diri Odun Genişliği
- Tablo III.8 : Gövde Kesitinde Diri Odun Alanı ve Katılım Oranı
- Tablo III.9 : Diri Odun ve Öz Odun Yıllık Halka Sayısı
- Tablo III.10 : Öz Odun Yıllık Halka Yüzdesi

- Tablo III.11 : Yıllık Halka Genişliği İstatistik Değerleri
- Tablo III.12 : mm²de Ortalama Trahe Sayısı
- Tablo III.13 : İlkbahar Odunu mm²de Ortalama Trahe Sayısı
- Tablo III.14 : Yaz Odunu mm²de Ortalama Trahe Sayısı
- Tablo III.15 : mm²de Trahe Sayısı Bartlett Testi
- Tablo III.16 : mm²de Trahe Sayısı Varyans Analizi
- Tablo III.17 : mm²de İlkbahar Odunu Trahe Sayısı Varyans Analizi
- Tablo III.18 : mm²de Yaz Odunu Trahe Sayısı Varyans Analizi
- Tablo III.19 : Trahe Çapı İstatistik Değerleri
- Tablo III.20 : Trahe Çapı Bartlett Testi
- Tablo III.21 : İlkbahar Odunu Trahe Teğet Çapı Varyans Analizi
- Tablo III.22 : İlkbahar Odunu Trahe Radyal Çapı Varyans Analizi
- Tablo III.23 : Yaz Odunu Trahe Teğet Çapı Varyans Analizi
- Tablo III.24 : Yaz Odunu Trahe Radyal Çapı Varyans Analizi
- Tablo III.25 : Trahe Lümen Genişliği İstatistik Değerleri
- Tablo III.26 : Trahe Lümen Genişliği Bartlett Testi
- Tablo III.27 : İlkbahar Odunu Trahe Teğet Lümen Genişliği Varyans Analizi
- Tablo III.28 : İlkbahar Odunu Trahe Radyal Lümen Genişliği Varyans Analizi
- Tablo III.29 : Yaz Odunu Trahe Teğet Lümen Genişliği Varyans Analizi
- Tablo III.30 : Yaz Odunu Trahe Radyal Lümen Genişliği Varyans Analizi
- Tablo III.31 : Trahe Çeber Kalınlığı İstatistik Değerleri
- Tablo III.32 : Trahe Çeber Kalınlığı Bartlett Testi

- Tablo III.33 : İlkbahar Odunu Trahe Teğet Çeber Kalınlığı Varyans Analizi
- Tablo III.34 : İlkbahar Odunu Trahe Radyal Çeber Kalınlığı Varyans Analizi
- Tablo III.35 : Yaz Odunu Trahe Teğet Çeber Kalınlığı Varyans Analizi
- Tablo III.36 : Yaz Odunu Trahe Radyal Çeber Kalınlığı Varyans Analizi
- Tablo III.37 : Traheler Arası Geçitlere Ait İstatistik Değerler
- Tablo III.38 : Traheler Arası Geçit Çapları Bartlett Testi
- Tablo III.39 : Traheler Arasındaki Geçitlerin Horizontal Çapları Varyans Analizi
- Tablo III.40 : Traheler Arasındaki Geçitlerin Vertikal Çapları Varyans Analizi
- Tablo III.41 : Traheler Arasındaki Geçitlerde Geçit Ağızı Teğet Çapı Varyans Analizi
- Tablo III.42 : Traheler İle Öz İşini Paransim Hücrelerinin Karşılaşma Yeri Geçitleri İstatistik Değerleri
- Tablo III.43 : Traheler İle Öz İşini Paransim Hücrelerinin Karşılaşma Yeri Geçit Çapları Bartlett Testi
- Tablo III.44 : Traheler İle Öz İşini Paransim Hücrelerinin Karşılaşma Yerindeki Geçitlerin Horizontal Çapı Varyans Analizi
- Tablo III.45 : Traheler İle Öz İşini Paransim Hücrelerinin Karşılaşma Yerindeki Geçitlerin Vertikal Çapı Varyans Analizi
- Tablo III.46 : Perforasyon Tablosu Genişlik ve Uzunluk İstatistik Değerleri
- Tablo III.47 : Trahe Hücre Uzunluğu İstatistik Değerleri
- Tablo III.48 : Lif Traheidi Çapı İstatistik Değerleri
- Tablo III.49 : Lif Traheidi Çapı Bartlett Testi
- Tablo III.50 : İlkbahar Odunu Lif Traheidi Teğet Çapı Varyans Analizi
- Tablo III.51 : İlkbahar Odunu Lif Traheidi Radyal Çapı Varyans Analizi
- Tablo III.52 : Yaz Odunu Lif Traheidi Teğet Çapı Varyans Analizi

- Tablo III.53 : Yaz Odunu Lif Traheidi Radyal Çapı Varyans Analizi
- Tablo III.54 : Lif Traheidi Lümen Genişliği İstatistik Değerleri
- Tablo III.55 : Lif Traheidi Lümen Genişliği Bartlett Testi
- Tablo III.56 : İlkbahar Odunu Lif Traheidi Teğet Lümen Genişliği Varyans Analizi
- Tablo III.57 : İlkbahar Odunu Lif Traheidi Radyal Lümen Genişliği Varyans Analizi
- Tablo III.58 : Yaz Odunu Lif Traheidi Teğet Lümen Genişliği Varyans Analizi
- Tablo III.59 : Yaz Odunu Lif Traheidi Radyal Lümen Genişliği Varyans Analizi
- Tablo III.60 : Lif Traheidi Çift Çeber Kalınlığı İstatistik Değerleri
- Tablo III.61 : Lif Traheidi Çeber Kalınlığı Bartlett Testi
- Tablo III.62 : İlkbahar Odunu Lif Traheidi Teğet Çeber Kalınlığı Varyans Analizi
- Tablo III.63 : İlkbahar Odunu Lif Traheidi Radyal Çeber Kalınlığı Varyans Analizi
- Tablo III.64 : Yaz Odunu Lif Traheidi Teğet Teğet Çeber Kalınlığı Varyans Analizi
- Tablo III.65 : Yaz Odunu Lif Traheidi Radyal Çeber Kalınlığı Varyans Analizi
- Tablo III.66 : Librifor Lifi Teğet Ölçüleri İstatistik Değerleri
- Tablo III.67 : Lif Uzunluğu İstatistik Değerleri
- Tablo III.68 : Lif Uzunluğu Bartlett Testi
- Tablo III.69 : Lif Uzunluğu Varyans Analizi
- Tablo III.70 : Öz Işını Hücre Genişliği İstatistik Değerleri
- Tablo III.71 : Öz Işını Hücre Genişliği
- Tablo III.72 : Öz Işını Hücre Genişliği Bartlett Testi
- Tablo III.73 : Öz Işını Hücre Genişliği Varyans Analizi
- Tablo III.74 : Tek Sıralı Öz Işınları Mikrometre Genişliği İstatistik Değerleri

- Tablo III.75 : Tek Sıralı Öz Işınları Mikrometre Genişliği Bartlett Testi
- Tablo III.76 : Tek Sıralı Öz Işınlarının Mikrometre Genişliği Varyans Analizi
- Tablo III.77 : Çok Sıralı Öz Işınları Mikrometre Genişliği İstatistik Değerleri
- Tablo III.78 : Çok Sıralı Öz Işınları Mikrometre Genişliği Bartlett Testi
- Tablo III.79 : Çok Sıralı Öz Işınları Mikrometre Genişliği Varyans Analizi
- Tablo III.80 : Tek Sıralı Öz Işınları Hücre Yüksekliği İstatistik Değerleri
- Tablo III.81 : Tek Sıralı Öz Işınları Hücre Yüksekliği Bartlett Testi
- Tablo III.82 : Tek Sıralı Öz Işınları Hücre Yüksekliği Varyans Analizi
- Tablo III.83 : Çok Sıralı Öz Işınlarının Hücre Yüksekliği İstatistik Değerleri
- Tablo III.84 : Çok Sıralı Öz Işınları Hücre Yüksekliği Bartlett Testi
- Tablo III.85 : Çok Sıralı Öz Işınları Hücre Yüksekliği Varyans Analizi
- Tablo III.86 : Tek Sıralı Öz Işınları Mikrometre Yüksekliği İstatistik Değerleri
- Tablo III.87 : Tek Sıralı Öz Işınları Mikrometre Yüksekliği Bartlett Testi
- Tablo III.88 : Tek Sıralı Öz Işınlarının Mikrometre Yüksekliği Varyans Analizi
- Tablo III.89 : Çok Sıralı Öz Işınları Mikrometre Yüksekliği İstatistik Değerleri
- Tablo III.90 : Çok Sıralı Öz Işınları Mikrometre Yüksekliği Bartlett Testi
- Tablo III.91 : Çok Sıralı Öz Işınları Mikrometre Yüksekliği Varyans Analizi
- Tablo III.92 : mm'de Öz Işını Sayısı İstatistik Değerleri
- Tablo III.93 : mm'de Öz Işını Sayısı
- Tablo III.94 : mm'de Öz Işını Sayısı Bartlett Testi
- Tablo III.95 : mm'de Öz Işını Sayısı Varyans Analizi
- Tablo III.96 : Hava Kurusu Yoğunluk İstatistik Değerleri

Tablo III.97 : Tam Kuru Yoğunluk İstatistik Değerleri

Tablo III.98 : Tam Kuru Yoğunluk Bartlett Testi

Tablo III.99 : Tam Kuru Yoğunluk Varyans Analizi

Tablo III.100 : Hücre Çeperi ve Hava Boşluğu Hacmi

Tablo III.101 : Hacim Ağırlık Değeri İstatistik Değerleri

Tablo III.102 : Hacim Ağırlık Değeri Bartlett Testi

Tablo III.103 : Hacim Ağırlık Değeri Varyans Analizi

Tablo III.104 : Daralma Miktarı İstatistik Değerleri

Tablo III.105 : Genişleme Miktarı İstatistik Değerleri

Tablo III.106 : Daralma Miktarı Bartlett Testi

Tablo III.107 : Genişleme Miktarı Bartlett Testi

Tablo III.108 : Radyal Daralma Varyans Analizi

Tablo III.109 : Teğet Daralma Varyans Analizi

Tablo III.110 : Hacmen Daralma Varyans Analizi

Tablo III.111 : Radyal Genişleme Varyans Analizi

Tablo III.112 : Teğet Genişleme Varyans Analizi

Tablo III.113 : Hacmen Genişleme Varyans Analizi

Tablo III.114 : Lif Doygunluğu Rutubet Derecesi Ortalama Değerleri

Tablo III.115 : Odunun İçerisine Alabileceği Maksimum Su Miktarı Yüzdesi

Tablo IV.1 : mm²de Trahe Sayısı Literatür Değerleri

Tablo IV.2 : Trahe Çapı Literatür Değerleri

Tablo IV.3 : Trahe Lümen Genişliği Literatür Değerleri

- Tablo IV.4 : Trahe Çift Çeber Kalınlığı Literatür Değerleri
- Tablo IV.5 : Traheler Arası Geçit Çaplarının Literatür Değerleri
- Tablo IV.6 : Trahelerle Öz İşini Paranşim Hücrelerinin Karşılaşma Yerindeki Geçit Çaplarının Literatür Değerleri
- Tablo IV.7 : Trahe Hücre Uzunluğu Literatür Değerleri
- Tablo IV.8 : Lif Traheidi Çapı Literatür Değerleri
- Tablo IV.9 : Lif Traheidi Lümen Genişliği Literatür Değerleri
- Tablo IV.10 : Lif Traheidi Çift Çeber Kalınlığı Literatür Değerleri
- Tablo IV.11 : Lif Uzunluğu Literatür Değerleri
- Tablo IV.12 : Öz İşini Hücre Genişliği Literatür Değerleri
- Tablo IV.13 : Öz İşini Hücre Yüksekliği Literatür Değerleri
- Tablo IV.14 : mm'de Öz İşini Sayısı Literatür Değerleri
- Tablo IV.15 : Ortalama Yoğunluk Literatür Değerleri
- Tablo IV.16 : Daralma Miktarı Literatür Değerleri

ÖZET

Batı Karadeniz Bölgesinde Yetişen Adı Ceviz (*Juglans regia L.*) Odununun Bazı Anatomik Ve Fiziksel Özellikleri

Bugüne kadar, ülkemiz ekonomisinde oldukça önemli olan ceviz odununa ait kapsamlı bir araştırma yapılmamış olduğundan böyle bir araştırma planlanmış, ceviz odununun anatomik ve fiziksel özellikleri incelenerek, endüstriyel alanda kullanımına yönelik öneriler geliştirmek, ayrıca bundan sonra yapılacak çalışmalarla ışık tutmak amaçlanmıştır.

Araştırma, Batı Karadeniz Bölgesinde üç farklı seriden alınan ve yaşıları 26-51 (ort. 38) arasında değişen 10 örnek ağaç üzerinde gerçekleştirilmiştir.

Makroskopik özellikler bakımından yapılan tespitlerde, ortalama yıllık halka genişliği 6.300 mm olarak belirlenmiştir.

Mikroskopik incelemelerde, ana dokunun lif traheidlerindenoluştuğu gözlenmiştir. mm^2 de ortalama trahe sayısı 9.178 adet olarak belirlenirken, ortalama trahe teğet çapı 135.371 μm , teğet çift çeper kalınlığı ise 10.786 μm olarak tespit edilmiştir. Lif traheidlerinin ortalama teğet çapının 24.862 μm , teğet çift çeper kalınlığının ise 6.216 μm olduğu belirlenmiştir. Ortalama lif uzunluğu 1373.346 μm olarak tespit edilmiştir. Odun dokusu içerisinde, boyuna paraşimler apotraheal dağınık, teğet sıralı, paratraheal kümeli ve inisiyal sınır paraşimleri düzene bulunmaktadır. Öz işinleri homoselüler ve heteroselüler yapıda olup, homoselüler öz işinleri tamamen ve yatkı hücrelerden oluşmuştur. Heteroselüler öz işinleri ise ortada yatkı, kenarlarda çoğunlukla 1, nadiren 3 sıra kare şekilli hücrelerden oluşmaktadır. Genişlikleri 1-5 (çoğunlukla 3-4) hücre arasında değişmekte olup, mm^2 deki sayıları ortalama 5.829 adet olarak tespit edilmiştir.

Fiziksel özelliklerin incelenmesi sonucunda; ortalama hava kurusu yoğunluk değeri 0.581 g/cm^3 , tam kuru yoğunluk değeri 0.548 g/cm^3 , hacim ağırlık değeri ise 0.470 g/cm^3 olarak belirlenmiştir. Yapılan denemeler sonunda, hacmen daralma miktarı ortalama % 10.401, hacmen genişleme miktarı ortalama % 14.074, lif doygunluğu rutubet derecesi ise, ortalama % 22.129 olarak tespit edilmiştir.

SUMMARY

Some Anatomical and Physical Properties of European Walnut Wood (*Juglans regia* L.) Grown in The Western Black Sea Region in Turkey

Wood properties of European Walnut (*Juglans regia* L.) has not been widely studied although it is an economically valuable tree species in Turkey. This study was conducted to determine its anatomical and physical properties, and to make some proposals related to its industrial usage.

Ten trees, 26-51 years old with the average age of 38, were collected from three different locations of the Western Black Sea Region in Turkey for the research.

The following results of the macroscopic and microscopic observations of the wood were obtained. Main growth ring width is 6.3 mm. The wood tissue is mainly composed of fiber-tracheids. Mean fiber-tracheid diameter (tangential) and mean fiber-tracheid double wall thickness (tangential) are 24.862 and 6.216 micrometer, respectively. Mean number of vessel per mm^2 is 9.178. Vessels have a mean diameter (tangential) of 135.371 micrometer while their mean double wall thickness (tangential) is 10.786 micrometer. Fibers have a mean length of 1373.346 micrometer. Axial paranchyma apotracheal diffuse, diffuse in aggregates to 1- seriate tangential band, scanty paratracheal and initial paranchyma. Rays homocellular, composed of procumbent cells only, or heterocellular with procumbent central cells and one row (rarely 3) of square marginal cells. Ray width is 1-5 (mainly, 3-4) seriate. Mean number of ray per mm^2 is 5.829.

As physical properties of the wood, main air-dry and oven-dry densities of the wood are 0.581 and 0.548 g/cm^3 , respectively while basic density 0.470 g/cm^3 . Main volumetric shrinkage and volumetric swelling values are 10.401 % and 14.074 % respectively. Main fiber saturation point is 22.129 %.

I. GİRİŞ

Ceviz (*Juglans regia* L.), ülkemizin değişik iklim şartlarına uyum sağlayan, meyve ve odunundan yararlanılabilen, ekonomik değeri oldukça yüksek, ender ağaç türlerimizdedir. Özellikle odunu, yurt içinde çeşitli kullanım alanlarında, ayrıca Avrupa ülkeleri tarafından da parke ve tüfek dipçiği olarak talep edilmektedir. Ancak, yıllarca uygulanan usulsüz kesimler sonucu mevcut ağaç miktarı hızla azalmış ve odun işleyen endüstrilerin talebi karşılanamaz hale gelmiştir.

Devlet İstatistik Enstitüsü 1988 yılı verilerine göre, yurdumuzdaki toplam ceviz ağacı sayısı 4.222.000 adettir. Ağaçlandırma ve Erozyon Kontrolü Genel Müdürlüğü'nün çalışmaları sonucunda, 1997 yılı sonuna kadar 10 milyon adet ceviz fidanı üretilerek, ağaçlandırma sahalarına dikilmiş ve Türkiye ceviz ağacı varlığı 14.4 milyon adete yükselmiştir [1]. Ancak yapılan ağaçlandırmalarda ana amaç meyve üretimi olup, endüstriyel odun üretimi ikinci plânda kalmaktadır.

Ceviz ağacı, çap ve gövde formuna bağlı olarak masif, kesme ya da soyma kaplama levhalar olarak kaliteli mobilya üretiminde, tüfek kundak ve dipçiği ile silah kabzası yapımında, parke, spor aletleri, müzik aletleri yapımında, tornacılık ve markiteride kullanılmaktadır.

Kullanım yerleri oldukça fazla olmasına rağmen, ülkemizde yetişen ceviz ağaçlarının odun özelliklerini belirleyerek, endüstriyel amaçlı kullanım alanlarını tespit etmek üzere ayrıntılı bir çalışma yapılmamış, yapılan çalışmalar ise, odun özelliklerini oldukça sınırlı düzeyde ortaya koymuştur. BERKEL (1956), kaplamalık ceviz tomruklarının belli başlı özelliklerini, HANİBU (1958), ceviz odunundan kaliteli kaplama levha üretimi için önemli kriterleri, KANTAY (1983), kaplama levhaların kurutma özelliklerini, ÜNSAL (1994), ceviz kerestesinin teknik kurutma özelliklerini, MEREV (1998), Doğu Karadeniz Bölgesinde yetişen ceviz odununun anatomik yapısını, KANTAY ve arkadaşları (1999), Batı Karadeniz Bölgesinde yetişen ceviz odununun mekanik özelliklerini incelemiştir [2, 3, 4, 5, 6, 7].

Bugüne kadar, ülkemiz ekonomisinde oldukça önemli yeri olan bu tür ait kapsamlı bir araştırma yapılmadığından, "Batı Karadeniz Bölgesinde Yetişen Adı Ceviz (*Juglans regia* L.) Odununun Bazı Anatomik ve Fiziksel Özellikleri" adlı bu araştırma planlanmıştır. Araştırmada, ceviz odununun anatomik ve fiziksel özellikleri incelenerek, endüstriyel alanda kullanımına yönelik öneriler geliştirmek, ayrıca bundan sonra yapılacak çalışmalara ışık tutmak amaçlanmıştır.

I.1 Genel Bilgiler

I.1.1 Botanik Özellikleri

Cevizin sistematikteki yeri [8].

| | |
|---------|---------------------------|
| Sınıf | : Dicotiledoneae |
| Takım | : Juglandales |
| Familya | : Juglandaceae |
| Cins | : <i>Juglans</i> |
| Tür | : <i>Juglans regia</i> L. |

Ceviz İngilizce'de European walnut, Almanca'da Gemeiner walnussbaum, Nussbaum, Fransızca'da Noyer commun olarak bilinmektedir [9].

Juglans regia L.'in subsp. *fallax* (Dode) Popov. olarak bilinen bir alt türü vardır. Bu alt türün yaprakları sivri uçlu, eliptik-yumurta şeklinde olup, meyvenin endokarpi incedir. Bu alt tür Güney Çin ve Himalayalar'da saptanmıştır [10].

Ceviz 25 (30) m'ye kadar boylanabilen geniş tepeli, kalın dallı ışık isteği yüksek bir ağaçtır. İlk ve son donlara karşı hassastır. Derine giden kazık kök yapar. Açıkta, geniş alanlarda yetiştirdiğinde çok dallanır. Bu şekilde tek başına yetiştiğinde 2 m, ya da daha aşağı bölgelerinde dallanma başlar. Böylece 350-400 m² yer kaplayan bir tepe çatısı oluşturur [11].

Gövde kabuğu gümüşü-gri renkte, parlak ve düzgündür. Uzun yıllar düzgün olarak kalır. Yaşlı ağaçlarda, göğüs çapı 1.5 (2.5) m'ye ulaşır. Uç tomurcuğu terminaldir. Tomurcular pullu ve sapsızdır. Çoğunlukla yaprak koltuğunda yedek ikinci bir tomurcuk vardır. Çiplak sürgünler kalın, silindirik olup gri-kahverengidir. Üzerlerinde gözle görülecek büyülükte ve çok sayıda beyaz lentiseller bulunur. Sürgün özü bölmelidir. Kuru kafa şeklindeki yaprak sapı izi üzerinde 3 adet iletim demeti izi görülür. Tek tüysü olan yapraklar 22-35 cm uzunluğunda olup, 5-9 (11) yaprakçığa ayrılmıştır. Yaprakçıklar aromatik kokuludur ve eliptik-ters yumurta

şeklinde, ucu küt veya hafif sivri, kenarı tamdır. Uzunluğu 6-12 cm olan yaprakçıkların her iki yüzü de çiplaktır. Fakat alt yüzlerinde damarların birleştiği yerde tüy demetleri bulunur. Meyvesi çekirdekli sulu meyve olup, ekzokarp yeşil renkli ve çiplak, çapı 4-5 cm, yaklaşık küre şeklindedir [10, 12, 13].

I.1.2 Doğal Yayılışı

İnsanlık tarihinin başlangıcından önce var olan ceviz, bulunduğu yerden insanlar tarafından yaşadıkları yerlere taşınmıştır. M.Ö. 750 yılında Yunanlılar tarafından İran'dan Avrupa'ya, 16. yüzyılda Romalılar tarafından İngiltere'ye ve 17. yüzyılda Kaliforniya'ya götürüldüğü tarihi kayıtlardan anlaşılmaktadır [14].

Yurdumuzda Ergene Havzası'nın doğu kesiminde yer alan, pliosen ve pleistosen yaşındaki İnece formasyonu mostralardan bulunan petrifiye ağaç örnekleri incelenerek, bir bölümünün ceviz cinsine ait olduğu belirlenmiştir. Ancak örnekler petrifikasyon koşullarında bozulmuş olduğundan tür tespiti yapılamamıştır [15].

Juglans regia L., dünya üzerinde Balkanlar, Lübnan, Kafkaslar, Kuzey Irak, İran, Afganistan, Orta Asya'nın doğusundan Çin'e kadar olan bir alanda yayılış göstermektedir. Türkiye'de, Kuzeydoğu ve Doğu Anadolu'da doğal olarak yetişmekle birlikte, hemen her yerde kültüre alınmıştır. [16].

I.1.3 İklim Özellikleri

Ceviz, çok geniş bir yapraklanma süresine sahip olması nedeni ile çeşitli iklim türlerine uyum sağlayabilen ender ağaç türlerinden biridir. İklim koşullarına uyum sağlama özelliğine karşın, ceviz ağacının en büyük sorunu, gelişme dönemi içinde maruz kaldığı don ve aşırı soğuklardır. Oysa istirahat döneminde -25°C 'ye kadar soğuklara dayanabilen bir bitkidir. Ceviz sıcaklardan pek fazla etkilenmez. $+38^{\circ}\text{C}$ 'ye kadar sıcaklara dayanabilir [17, 1].

Ceviz ağacının uygun büyümeye yapabilmesi için yıllık yağış miktarının en az 600 mm, vejetasyon mevsiminde ise bu miktarın en az 400 mm olması gerekmektedir. Yine yıllık ortalama sıcaklık 10°C 'nin üzerinde ise ve kış periyodu için 2.5°C 'ye yakınsa, sıcaklık şartları ceviz ağacı için uygun bulunmaktadır [18].

I.1.4 Toprak Özellikleri

Ceviz ağacı, derine giden kuvvetli bir kök yapısına sahip olduğundan derin, serin, kireçce zengin hafif toprakları sever. Hafif asidik ve hafif alkali topraklarda (pH: 6.5-7.5) daha iyi yetişir. Tuzlu topraklara karşı hassastır. En iyi geliştiği topraklar:

- Yüzeysel ve oyuntu erozyonu sonucunda, meyilli arazilerin veya dağ yamaçlarının eteklerinde biriken, az çok toprakla kaplı taş yığınları (Kolluviyal tipi topraklar) ile,
- Akarsuların taşıyarak getirdiği, dere kenarı ve taban arazilerde biriken ve az çok toprakla kaplı kum ve taş yığınları (Alluviyal tipi topraklar)'dır [1, 11].

I.1.5 Ekolojisi

Ceviz ağacı, yurdumuzda ormanlar kurmayıp diğer ağaç türleri ile karışık halde bulunmaktadır. Yeşilirmak yöresindeki subasar ormanlarda *Salix alba*, *S. triandra*, *Populus alba*, *Ulmus minor*, *Alnus glutinosa* ile birlikte yer alır. Çalı katında *Tamarix tetrandra*, *T. smyrnensis*, *Rubus sanctus*, *Hippophae rhamnoides* bulunur. Sumela-Meryemana'da *Ulmus glabra*, *Tilia platyphyllos*, *Acer platanoides*, *Castanea sativa*, *Pyrus communis* ile karışım oluşturur. Nemrut Dağı'nın batı etegindeki Çukursuz Köyü'nde *Corylus avellana*, *Frangula alnus*, *Euonymus latifolius*, *Cornus sanguinea* ssp. *australis*, *Salix cinerea*, *Acer tataricum*, *Fraxinus angustifolia* ssp. *syriaca*, *Filipendula ulmaria* ile yer almaktadır. Tunceli-Ovacık'ta *Pistacia khinjuk*, *P. eurycarpa*, *Fraxinus angustifolia* ssp. *oxycarpa*, *Acer tataricum*, *A. platanoides*, *Celtis caucasica*, *Populus nigra*, *Viburnum lantana*, *Rubus caesius*, *Rosa canina* ile birlikte bulunur. Elazığ-Erzincan arasında da *Quercus libani* ve *Q. infectoria* ssp. *boissieri* ile orta yükseltilerde karışım oluşturur [19].

I.1.6 Anatomik Özellikler

I.1.6.1 Makroskopik Özellikler

Diri odun grimsi beyaz ile kırmızımsı beyaz renkte, öz odun ağaç yaşı ve yetişme ortamına bağlı olarak gri ile koyu kahverenginde, çoğunlukla koyu şeritlidir. Yıllık halka sınırları belirgin olup, odunu yarı halkalı traheli düzendededir. Çoğunluğu tüllerle tıkalı olan traheler çiplak gözle görülebilir ve daha çok tek tek, bazen 2-4 adet radyal sıralı olarak bulunurlar. Öz işinleri ve boyuna paranşimler sadece lup altında görülebilirler. Boyuna kesitler iğne çiziklidir. Ceviz odunu orta sert ağır ve oldukça dekoratif olup, mattır [20, 21, 22, 23, 24].

I.1.6.2 Mikroskopik Özellikler

I.1.6.2.1 Traheler

BOSSHARD (1974)'de ceviz odununun yarı halkalı traheli düzende olduğu, trahelerin çoğunlukla tek tek, bazen radyal sıralı bulunduğu, maksimum çaplarının yaklaşık 200 μm olduğu, içlerinin çoğunlukla kahverengi tüllerle dolu ve perforasyon tablasının basit tipte bulunduğu belirtilmektedir [20].

BOZKURT ve ERDİN (1990)'da trahelerin yıllık halka içerisinde çoğunlukla tek tek dağılmış oldukları, ceviz ağacının yaz odunu trahe çapları itibariyle, küçük traheli ağaç türleri ($51-100 \mu\text{m}$), ilkbahar odunu trahe çapları itibariyle çok büyük traheli ağaç türleri ($>201 \mu\text{m}$) sınıfına girmekte olduğu bildirilmektedir [25].

FAHN ve arkadaşları (1986)'ya göre traheler, dağınık dizilişten yarı halkalı dizilişe doğru değişim göstermektedir. Çoğunlukla tek tek (% 70), kısmen 2-4 (5) adete kadar radyal sıralıdır. mm^2 'deki sayıları 2-20 adettir. Enine kesitteki görünüşleri yuvarlak ile köşeliidir. Teğet çapları 40-150 (280) μm , radyal çapları 175 (360) μm kadardır. Çeber kalınlıkları 3-6 μm 'dir. Trahe hücrelerinin uzunluğu 470 (400-590) μm olup, perforasyon tablaları basittir. Traheler arası geçitler alması (diagonal) düzende, yuvarlak veya köşeli olup, çapları 7-12 μm 'dir. Traheleri dolduran tüller sık ve ince çeberlidirler [26].

GREGUSS (1945)'e göre ilkbahar ve yaz odunu tabakasında hem büyük hem de küçük çaplı traheler bulunmakta olup, yıllık halka içerisinde tek tek, ikisi bir arada veya radyal sıralı olarak dizilmişlerdir. Tek tek bulunan trahelerin enine kesitleri oval olup, büyük çapları radyal yöndedir. Bu tip traheler odun içerisinde % 30-40 arasında bulunmaktadır. İkili veya radyal sıralar halinde bulunan traheler ise yaklaşık olarak eşit oranda bulunurlar. Trahe-trahe arasındaki geçitler teget çeperler üzerinde oldukça fazla sayıda ve köşelidir. Öz işini paransimi ve boyuna paransim hücreleri ile trahelerin karşılaşma yerlerinde görülen geçitler ise radyal çeperler üzerinde bulunmaktadır [27].

GROSSE (1977)'de trahelerin yarı halkalı düzende ve çoğunlukla tek tek, bazen 3-4 radyal sıralı bulunduğu, ilkbahar odunu trahelerinin teget çaplarının yaklaşık $200 \mu\text{m}$ iken, yaz odununda $60 \mu\text{m}$ 'ye kadar azaldığı belirtilmektedir. Tek tek bulunan trahe hücrelerinin enine kesitteki görünüşleri oval (ilkbahar odunu tabakası) ya da yuvarlak (yaz odunu tabakası)'dır. İçleri çoğunlukla kahverenkli tül teşekkürükü ile doludur [21].

JACQUIOT ve arkadaşları (1973)'e göre traheler tek tek veya 3-4 adet radyal sıralı, çapları $100-200 \mu\text{m}$ olup, ilkbahar odunundan yaz odununa doğru tedrici olarak azalmaktadır. Çeperleri orta kalınlıkta, mm^2 'deki sayıları 4-9 adettir. Perforasyon tablası basittir [28].

MEREV (1998)'e göre traheler tek tek ve genellikle radyal gruplar halinde yıllık halka içerisinde dağılmış olup, teget yönde ve küme şeklindeki gruplara nadiren rastlanmaktadır. İlkbahar odunu tabakasında $1/2 \text{ mm}^2$ 'de ortalama trahe sayısı 4.78 adet, yaz odununda 6.42 adet olup, mm^2 'de ortalama trahe sayısı ise 12.82 adettir. İlkbahar odunu trahelerinde ortalama teğetsel çap $143.55 \mu\text{m}$, yaz odununda $87.02 \mu\text{m}$ 'dir. Ortalama trahe radyal çapı ise ilkbahar odunu tabakasında $179.04 \mu\text{m}$, yaz odunu tabakasında $76.51 \mu\text{m}$ 'dir. Trahe lümenlerinin ortalama teğetsel çapı ilkbahar odununda $136.13 \mu\text{m}$, yaz odununda $84.55 \mu\text{m}$ 'dir. Radyal çap ise sırası ile $161.80 \mu\text{m}$ ve $75.26 \mu\text{m}$ 'dir. Trahelerin çeper kalınlığı, ilkbahar odununda $6.00(3.73-9.33) \mu\text{m}$, yaz odununda $3.60(2.80-5.60) \mu\text{m}$ 'dir. Ortalama trahe uzunluğu $621.06 \mu\text{m}$ olup, perforasyon tablası basittir. Ortalama perforasyon tablası uzunluğu $145.68 \mu\text{m}$, genişliği $75.17 \mu\text{m}$ 'dir. Trahe hücrelerinin yan çeperlerinde bulunan geçitler sık ve diagonal olarak dizilmişlerdir. Coğunlukla daire şeklinde olup, kenarları köşeli olan geçitlere de rastlanılmaktadır. Trahelerin diğer hücrelerle karşılaşma yerlerindeki geçitlerin dizilişi diagonal olup, elips şeklinde olur [6]. MEREV'e göre ceviz odununda belirlenen geçit tipleri ve boyutları şu şekildedir:

| Geçit Tipleri | Boyutlar (μm) |
|--------------------------------------|--------------------------------------------|
| Trahe-trahe geçit çapı | : 10.05 (7.50-12.75) 9.73 (8.25-11.25) |
| Trahe-trahe geçit açıklığı | : 3.69 (2.25-4.50) 1.12 - - |
| Trahe-öz işini geçit çapı | : 7.12 (3.75-10.50) 4.05 (3.00-5.25) |
| Trahe-boyuna paranşım geçit çapı | : 6.07 (3.75-7.50) 4.56 (3.75-5.25) |
| Trahe-boyuna paranşım geçit açıklığı | : 5.56 (3.75-7.50) 1.53 (0.75-3.00) |

WAGENFÜHR (1996)'ya göre traheler yarı halkalı düzen oluştururlar. Tek tek veya kısa radyal sıralar halinde bulunan trahelerin enine kesitteki şekilleri oval, çapları $60\text{-}240 \mu\text{m}$ arasında değişmektedir. mm^2 'deki sayıları az, 3-4-5 adettir. Odun dokusuna katılım oranı % 9.10...12.00...14.20 olup, içleri tüllerle doludur [24].

I.1.6.2.2 Boyuna Paranşimler

Boyuna paranşimler çok sayıda apotraheal dağınık, teğet sıralı, paratraheal kümeli ve sınır paranşimleri halindedir. Boyuna paranşimlerin odun dokusuna katılım oranı % 5.0...8.0...11.40'dır [24]. Ancak MEREV (1998) yaptığı çalışmada, paratraheal paranşım hücrelerinin trahelerin etrafını tamamiyle sardığını ve tek hücre sırasından ibaret olduklarını belirtmektedir [6, 21, 25, 26, 27].

I.1.6.2.3 Öz İşinleri

BOSSHARD (1974)'de öz işinlarının homojen yapıda, 1-5, çoğunlukla 3-4 hücre genişliğinde bulunduğu ve ortalama 20, maksimum 40 hücre yüksekliğinde olduğu belirtilmektedir [20].

BOZKURT ve ERDİN (1990)'da öz işinları homojen yapıda, mm'deki sayılarının 4-7 adet olduğu ve öz işini seyrek olan ağaçlar sınıfına girdiği bildirilmektedir [25].

FAHN ve arkadaşları (1986)'ya göre öz işinları homoselüler ve heteroselüler olup, homoselüler öz işinları sadece yatkı hücrelerden, heteroselüler öz işinları ortada yatkı sıralı hücreler, kenarlarda bir sıra kare şekilli hücrelerden oluşmaktadır. mm'deki sayıları 6-8 (4) adet olup, 1-3 (5) hücre genişliğindedir. Öz işinlarının yüksekliği 35 hücre kadardır. Kristaller çoğunlukla bulunmarmakta, bulunmaları halinde öz işini hücreleri içerisinde tek tek veya prizmatik şekillerde görülmektedir [26].

GREGUSS (1945)'e göre öz işinları homojen, hücreler aynı yükseklikte ve radyal olarak aynı uzunluktadır. Köşe hücreleri radyal kesitte diğerlerinden daha ince çeperli ve biraz dalgalıdır. Öz işinlarının % 40'ı tek sıralı olup, genellikle 3-12-15 hücre yüksekliğindedirler. Çok sıralı öz işinları 2-4, nadiren 5 hücre genişliğindedir. Bu tip öz işinları çoğunlukla 15-20 hücre yüksekliğinde olmakla beraber, 30-35 hücre yüksekliğinde olan öz işinlarına da rastlanılmaktadır [27].

GROSSER (1977)'de öz işinlarının homojen olduğu, zaman zaman bir sıralı kare şeklinde kenar hücrelerine rastlanıldığı, 1-5 çoğunlukla 3-4 hücre genişliğinde bulunduğu belirtilmektedir. Ortalama yüksekliğin 20 hücre, mm'deki öz işini sayısının 6-8 adet olduğu bildirilmektedir [21].

JACQUIOT ve arkadaşları (1973)'e göre öz işinları çoğunlukla homojendir. Zaman zaman bir sıralı kare şeklinde kenar hücrelerine rastlanılmaktadır. Genellikle 3-5 hücre genişliğinde, 15-20 hücre yüksekliğindedir. Çeperleri orta kalınlıkta ve az geçitli olup, mm'deki sayıları 4-6 adettir [28].

MEREV (1998)'e göre öz işinları; üniseri ve multiseri homoselüler tipte olup, Homojen Tip I öz işini grubuna girerler. Tümüyle yatkı hücrelerden oluşmuşlardır.

Öz ışınlarının boyutları

| <u>Ortalama Yükseklik</u> | <u>Hücre Adeti</u> | <u>Mikrometre</u> |
|-------------------------------------|---------------------|------------------------|
| Üniseri öz ışını | 8.97 (1.00-20.00) | 275.76 (96.00-480.00) |
| Multiseri öz ışını | 17.64 (6.00-29.00) | 333.84 (120.00-528.00) |
| | | |
| <u>Ortalama Genişlik</u> | | |
| Multiseri öz ışını | 3.11 (2.00-4.00) | 43.87 (26.12-61.58) |
| mm ² 'de öz ışını sayısı | 29.45 (21.00-42.00) | |
| mm'de öz ışını sayısı | 8.08 (5.00-13.00) | |

Öz ışını paransim hücrelerinin çeperlerinde basit geçitler bulunmaktadır. Ligninleşme yoktur. Yapısında silika taneciklerine rastlanılmaktadır [6].

SCHWEINGRUBER (1990)'da öz ışınlarının homojen olduğu, bazen bir sıra kare hücrelere rastlanıldığı, genellikle 1-4, nadiren 5 sıralı öz ışınlarının bulunduğu ve ortalama yüksekliğin 15-30 hücre kadar olduğu belirtilmektedir [22].

WAGENFÜHR (1996)'ya göre öz ışınları homojen yapıda, 1-3-5 hücre ve 10-30-40 μm genişliğindedirler. Yükseklik, hücre sayısı olarak 20-40 hücre, mikrometre olarak 160...330...570 μm kadardır. mm'de 6-7-8 adet öz ışını mevcut olup, odun dokusu içerisindeki payı; % 15.30 ... % 16.20 ... % 16.90 kadardır [24].

I.1.6.2.4 Lifler

BOZKURT ve ERDİN (1990)'da cevizin lif boyları kısa olan (1000-1500 μm) ağaç türleri sınıfına girdiği belirtilmektedir [25].

FAHN ve arkadaşları (1986)'ya göre lifler; 900 (550-1180) μm uzunluğunda, çeperleri çoğunlukla orta kalınlıkta, radyal çeperlerinde küçük kenarlı geçitler bulunan ve bazen jelatinli hücrelerdir [26].

GREGUSS (1945)'e göre ana doku, enine kesitleri birbirine benzeyen libriform liflerinden ve lif traheidlerinden oluşmuştur. Enine kesitte düzensiz, köşeli bir görünüm oluştururlar. Liflerin uçları çeşitli şekillerdedir. Ancak daima sivri olup, sık sık çatallanmalara rastlanılır. [27].

MEREV (1998)'e göre lif dokusu, lif traheidlerinden ve az sayıda libriform liflerinden oluşmuştur. Lif traheidlerinin çeper kalınlıkları yıllık halkanın her yerinde aynıdır. Kenarlı geçitler sadece radyal çeperler üzerinde bulunmakta ve teğet çeperlerde görülmemektedir. Kenarlı geçitlerin geçit açıklıkları, geçitlerin çapından daha büyüktür. Ortalama geçit çapı 3.00×3.00 mikrometre, ortalama geçit açıklığı ise 7.50×0.75 mikrometredir. Lif traheidlerinin uçları kertikli ve sivridir.

Lif Traheidlerinin Boyutları (μm)

| | | |
|-----------------|---|--------------------------|
| Lif Uzunluğu | : | 1454.60 (764.68-2058.77) |
| Lif Genişliği | : | 29.62 (18.66-37.32) |
| Lümen Genişliği | : | 20.43 (11.19-27.99) |
| Çeper Kalınlığı | : | 4.59 (2.79-6.53) |

Libriform lifleri, yıllık halkaların sınırlarında görülür. Radyal yönde yassılaşmış ve çeperleri kalınlaşmış hücrelerdir. Lif traheidlerinden daha kısadırlar. Çeperlerinde basit geçitler bulunur. Çeperlerin kalın uç kısımları oldukça küttür.

Libriform Liflerinin Boyutları (μm)

| | | |
|-----------------|---|-------------------------|
| Lif Uzunluğu | : | 724.09 (382.34-1088.20) |
| Lif Genişliği | : | 31.87 (14.93-50.30) |
| Lümen Genişliği | : | 21.01 (1.86-35.45) |
| Çeper Kalınlığı | : | 6.25 (3.73-10.26) |

[6].

SCHWEINGRUBER (1990)'da lif dokusunun libriform liflerinden meydana gelmiş olduğu, lif traheidlerinin bulunmadığı belirtilmektedir [22].

WAGENFÜHR (1996)'ya göre ise lif dokusu lif traheidlerinden ve libriform liflerinden oluşmuştur [24].

| | |
|----------------------|---------------------------------------|
| Çeper Kalınlığı (2W) | = 2.7 ... 4.7 ... 5.7 μm |
| Lümen Genişliği (L) | = 9.5 ... 17.0 ... 25.5 μm |
| 2W/L | = 0.28 |
| Uzunluk | = 1000...1300...2000 μm |
| Oran | = % 58.6 ... 63.8 ... 69.0 |

I.1.7 Fiziksel ve Mekanik Özellikler

Ceviz odununun bazı fiziksel ve mekanik özellikleri Tablo I.1'de verilmiştir. İlgili tablo incelendiğinde, ceviz odununda tam kuru yoğunluğun $0.46\text{-}0.64 \text{ g/cm}^3$, hava kurusu yoğunluğun $0.59\text{-}0.68 \text{ g/cm}^3$ arasında değiştiği, radyal daralma miktarının % 5.4, teğet daralma miktarının % 7.5, boyuna daralma miktarının % 0.5, hacmen daralma miktarının ise % 13.4 olarak verildiği görülmektedir.

Mekanik özelliklere ait ortalamalı değerler liflere paralel yönde basınç direnci için $38.8\text{-}72.5 \text{ N/mm}^2$, eğilme direnci için $94.4\text{-}147 \text{ N/mm}^2$, çekme direnci için ise $95\text{-}100 \text{ N/mm}^2$ olarak belirlenmiştir. Yine aynı tablo üzerinde makaslama direnci ortalamalı değerinin $7\text{-}9 \text{ N/mm}^2$, şok direncinin $0.54\text{-}1.95 \text{ kN/cm}$, elastikiyet modülü ortalamalı değerinin $10\ 800\text{-}13\ 000 \text{ N/mm}^2$ olduğu, liflere paralel yönde Brinell sertlik ortalamalı değerinin ise $50\text{-}70 \text{ N/mm}^2$ arasında değiştiği görülmektedir.

Tablo I.1:Ceviz Odununun Bazı Fiziksel ve Mekanik Özellikleri

| Yoğunluk g/cm ³ | | Daralma Miktarı % | | | | Taze Halde Ağırlık Kg/m ³ | Basınç Direnci | | Eğilme Direnci | Çekme Direnci | |
|-------------------------------|-------------------------------------|----------------------|----------------|----------------|----------------|-----------------------------------------------|----------------------------|---------------------------|-----------------------------------------|-----------------------------|---------------------------|
| D ₀ | D ₁₂ | β _t | β _r | β _t | β _v | | σ _{dB//} | σ _{dB⊥} | σ _{bB} | σ _{ZB//} | σ _{ZB⊥} |
| 0.64 | 0.68 | 7.5 | 5.4 | 0.5 | 13.4 | - | 720 kg/cm ² | 120 kg/cm ² | 1470 daN/cm ² | 1000 daN/cm ² | 35 daN/cm ² |
| 0.64 | 0.66 (D ₁₅) | 7.5 | 5.4 | 0.5 | 13.4 | - | 720 kp/cm ² | - | - | 1000 daN/cm ² | 35 daN/cm ² |
| 0.64 | 0.68 | 7.5 | 5.4 | - | 13.4 | - | 725 daN/cm ² | - | 1470 daN/cm ² | 1000 daN/cm ² | - |
| 0.64 | 0.68 | 7.5 | 5.4 | - | 13.4 | 900- 1000 | 71 N/mm ² | - | 144 N/mm ² | 100 N/mm ² | - |
| - | 0.609 | - | - | - | - | - | 559 kp/cm ² | - | 944 kg/cm ² | - | - |
| 0.64 | 0.68 | 7.5 | 5.4 | 0.5 | 13.4 | - | 72 N/mm ² | - | 147 N/mm ² | 100 N/mm ² | 3.5 N/mm ² |
| 0.46- 0.60 | 0.64- 0.68 (D ₁₅) | 7.5 | 5.4 | 0.5 | 13.4 | - | 57-70 N/mm ² | - | - | 95-100 N/mm ² | - |
| - | 0.68 | - | - | - | - | - | - | - | - | - | - |
| 0.64 | - | - | - | - | - | - | - | - | - | - | - |
| - | 0.59 (D ₁₁) | - | - | - | - | - | - | - | - | - | - |
| - | 0.60 (D _{11,2}) | - | - | - | - | - | - | - | 169...183* 175 kp/cm ² | - | - |
| - | 0.60 (D _{8,1}) | - | - | - | - | - | - | - | 1400 kp/cm ² | - | - |
| 0.52 | - | - | - | - | - | - | 38.8 N/mm ² | - | 102.3 N/mm ² | - | - |

* Liflere dik yönde

Tablo I.1'in devamı.

| Makaslama Direnci | Şok Direnci | Elastikiyet Modülü | Yarıılma Direnci | Torsyon Direnci | Sertlik | | | | Kaynak |
|----------------------------|----------------------------------|------------------------------------|----------------------|-------------------------------|-------------------|--------------------|--------------------|-----------------|--------|
| τ_{ab} | T | E// | σ_s | τ_{tb} | HJ// | HJ \perp | HB// | HB \perp | |
| 70 daN/cm 2 | 0.95 kN/cm | 125 000 daN/cm 2 | - | - | 720 kg/cm 2 | 540 kg/cm 2 | 7.0 kg/mm 2 | - | [29] |
| - | - | - | - | - | - | - | - | - | [20] |
| 65-90 daN/cm 2 | 0.95-1.95 kN/cm | 125 000- 130 000 daN/cm 2 | - | - | - | - | - | - | [30] |
| 7.0 N/mm 2 | 0.95 kN/cm | 12 500 N/mm 2 | 0.6-0.9 N/mm 2 | - | - | - | 70 N/mm 2 | 52 N/mm 2 | [9] |
| 101 kg/cm 2 (max) | - | 117.694 kg/cm 2 | - | - | - | - | - | - | [23] |
| 7.0...9.0 N/mm 2 | 9.5...19 j/cm 2 | 12 500- 13 000 N/mm 2 | 0.6-0.9 N/mm 2 | 27...30 ...32 N/mm 2 | - | - | 70 N/mm 2 | 52 N/mm 2 | [24] |
| 7.8-8.9 N/mm 2 | - | 10 800- 12 900 N/mm 2 | - | - | - | - | 50-69 N/mm 2 | - | [31] |
| - | - | - | - | - | - | - | - | - | [32] |
| - | - | - | - | - | - | - | - | - | [21] |
| - | - | - | - | - | - | - | - | - | [33] |
| - | 1.6...2.2 1.9 kpcm/cm 2 | - | - | - | - | - | - | - | [34] |
| - | - | - | - | - | - | - | - | - | [35] |
| 9.0 N/mm 2 | 0.54 kN/cm | - | 0.82 N/mm 2 | - | - | 38.15 N/mm 2 | - | - | [7] |

I.1.8 Kurutma Özellikleri

KANTAY (1983) tarafından yapılan çalışmada; başlangıç rutubeti % 50 ve kalınlıkları 0.50, 0.60, 0.70 ve 0.90 mm olan ceviz kaplama levhalarının çeşitli sıcaklıklarda kurutulması için en uygun kurutma programları ve ilgili kurutma süreleri tespit edilmiştir (Tablo I.2).

Tablo I.2: Başlangıç Rutubeti % 50 Olan Farklı Kalınlıklardaki Ceviz Kaplama Levhalarının Çeşitli Sıcaklıklarda Kurutulması İçin En Uygun Kurutma Programları ve İlgili Kurutma Süreleri.

| Sıcaklıklar (°C) | Levha Kalınlıkları (mm) | | | | Düşünceler |
|----------------------------------|-------------------------|------|------|------|-------------------------|
| | 0.50 | 0.60 | 0.70 | 0.90 | |
| 1 | 2 | 3 | 4 | 5 | |
| Kurutma süreleri (saniye) | | | | | |
| 110 | 59 | 74 | 90 | 127 | |
| 130 | 53 | 64 | 77 | 108 | |
| 150 | 48 | 55 | 66 | 90 | 55 yerine 57 alınabilir |
| 170 | 43 | 50 | 59 | 84 | |
| 190 | 39 | 46 | 55 | 77 | |

Yine aynı çalışmada başlangıç rutubet dereceleri farklı olan 0.50, 0.70, 0.90 mm kalınlıktaki kaplama levhaları 150 °C sıcaklık derecesinde kurutulması için en uygun kurutma programları ve ilgili kurutma süreleri Tablo I.3'de verilmiştir [4].

Tablo I.3: Çeşitli Başlangıç Rutubet Dereceleri ve Kalınlıktaki Levhaların 150 °C Sıcaklık Derecesinde Kurutulması İçin En Uygun Kurutma Programları ve Süreleri.

| Başlangıç Rutubeti Kademeleri % | Levha Kalınlıkları (mm) | | |
|---------------------------------------|-------------------------|------|------|
| | 0.50 | 0.70 | 0.90 |
| 1 | 2 | 3 | 4 |
| Kurutma Süreleri (saniye) | | | |
| 30 | 36 | 55 | 77 |
| 40 | 43 | 59 | 84 |
| 50 | 48 | 66 | 90 |
| 60 | 55 | 71 | 95 |
| 70 | 59 | 77 | 102 |

ÜNSAL (1994) tarafından yapılan çalışmada ceviz kerestesinin kurutma programları ve kurutma özelliklerini araştırılmıştır. Bu araştırmada, 30 mm kalınlıktaki ceviz kerestesinin kurutulmasında uygulanabilecek en uygun sıcaklığın 60 °C ve en uygun kurutma meyli değerinin 2 olduğu, 70 mm kalınlıktaki ceviz kerestesinin kurutulmasında ise uygulanabilecek en uygun sıcaklığın 50 °C, en uygun kurutma meylinin 1.5 olduğu tespit edilmiştir [5].

I.1.9 Ceviz Adı Altında Ticareti Yapılan Ağaç Türleri

Ceviz adı altında ticareti yapılan ağaç türleri Tablo I.4'de verilmiştir.

Tablo I.4: Ceviz Adı Altında Ticareti Yapılan Ağaç Türleri [25, 36].

| Botanik Adı | Ticari Adı | Yetişme Yeri |
|----------------------------------------------------------------------|------------------------------------------------------------------------|------------------------------------|
| <i>Endiandra palmerstonii</i> C.T. White et Fr. | Quennsland walnut Australian walnut Walnut been Oriental wood | Avustralya |
| <i>Lovoa trichiliooides</i> Harms Syn. <i>L. klaineana</i> Pierre | African walnut Nigerian walnut Dibétou | Tropikal Batı Afrika |
| <i>Mansonia altissima</i> A.Chev. | African black walnut Mansonia | Tropikal Batı Afrika |
| <i>Phoebe porosa</i> Mez. Syn. <i>Ocotea porosa</i> L.B. | Brazilian walnut Imbuia Imbuya | Güney Amerika, Güney Brezilya |
| <i>Dracontomelum spp.</i> | New Guinea walnut Pasific walnut Papuan walnut | Filipinler, Yeni Gine |
| <i>Liquidambar staciflua</i> L. | Satin walnut Red gum Amerikan sıçla ağacı | A.B.D'nin Güneydoğusu |
| <i>Albizia lebbeck</i> Benth. | East Indian walnut Kokko | Hindistan, Burma, Andam Adaları |
| <i>Salix nigra</i> Marsh. | Swamp walnut North American black willow | Güneydoğu Amerika, Doğu Kanada |
| <i>Terminalia superba</i> Engl. & Diels | Mayombe walnut Afara, Limba | Tropikal Batı Afrika |

I.1.10 Cevizin Ekonomik Varlığımız İçerisindeki Yeri

Ülkemizde hemen her bölgede yetişebilen ceviz ağacı, odunu ve meyvesi çok kıymetli olan yerli ağaç türlerimizdir. Yıllarca insanlar tarafından plansız şekilde kesilerek yurt dışına satılmıştır. Hızlı tüketimden arta kalan ceviz ağaçlarına bugün de ormanlarımızın bazı yerlerinde rastlanılmaktadır. Devlet İstatistik Enstitüsü 1988 yılı rakamlarına göre yurdumuzdaki toplam ceviz ağacı sayısı 4 222 000 adettir [37].

TS 1275 (Kabuklu Ceviz) ve TS 1276 (Ceviz İçi) sayılı standartlara göre ceviz ağacının meyveleri; Yalova-1, Yalova 2, Yalova-3, Yalova-4, Bilecik, Şebin, Kr-1, Yavuz (Kr-2), Tokat (60 Tu-1), ŞEN-1, Kaplan-86 olarak sınıflandırılmıştır [1].

Ceviz meyvesi üretiminin % 95 gibi büyük bir bölümü yurt içinde tüketilmektedir. % 5 kadar ise ihrac edilmektedir. İstanbul Ticaret Odası istatistiklerine göre, 1997 yılında kabuksuz ceviz meyvesi ihracatımız 290 962 kg olup, elde edilen gelir 1 399 251 \$'dır. Yine aynı yıl için kabuklu ceviz ihracatımız 10 737 kg, parasal değeri ise 51 826 \$'dır [38].

Ceviz ağacının sadece odunundan ve meyvesinden değil, elde edilen çeşitli tâli ürünlerden de farklı alanlarda yararlanılmaktadır. Yaprakları; tanen ve boyacı endüstrisinde, tip alanında, hoş kokusu nedeni ile parfümeri sanayiinde kullanılmaktadır. Yeşil ceviz kabuğu, içerdeği tanenden dolayı tipta ve boyacı endüstrisinde kullanılmaktadır. Ceviz ağacının köklerinden tanen ve boyacı endüstrisinde yararlanılmaktadır. Yine köklerinden üretilen juglandin maddesi tipta kullanım alanı bulmaktadır [1].

I.1.11 Ceviz Odununun Kullanış Yerleri

Ceviz odunu el aletleri ve makinelerle kolay ve iyi bir şekilde işlenebilir ve düzgün yüzeyler elde edilir. Çivi ve vida tutma kabiliyeti iyidir. Kolayca kesilip, soyulabilir. Yapıştırma kabiliyeti orta derecededir. Çok iyi renk verilebilir ve cila kabul eder. Hem işlenme özelliklerinin iyi olması, hem de oldukça dekoratif yapıya sahip olması nedeni ile mobilya üretiminde, masif ve kaplama halinde kullanılan değerli bir ağaç türüdür. Tüfek kundak ve dipçigi yapımında, tornacılık ve oymacılıkta, spor aletleri, çerçeve, parke ve müzik aletleri yapımında, markiteride kullanılır. Özellikle kök kısımlarını içeren kütük ve gövdenin alt kısımlarından değişik görünüslü kaplama levhaları elde edilir [9].

I.1.12 Ceviz Ağacı ve Odununa Arız Olan Önemli Mantar Türleri

Ceviz ağacı ve odununa arız olan önemli mantar türleri Tablo I.5'de verilmiştir.

Tablo I.5: Ceviz Ağacı ve Odununa Arız Olan Önemli Mantar Türleri [39, 40, 41].

| Takım | Familya | Tür | Oluşturduğu Zarar |
|---------------------------------|-------------------------------|-----------------------------------------------------------|-----------------------------------------------------------------------------------------------------------------------------------------------------------------------------------|
| SPHAERIALES (XYLARIALES) | Xylariaceae (Sphaeriaceae) | <i>Daldinia concentrica</i> (Bolton) Ces. And de Not. | Ağaçların ölü dal ve kütüklerinde yaşar. Ayrıca, emprenye edilmeden kullanılan kazıkların toprağa yakın kısımlarında zarar yapar. |
| AGARICALES | Strophariaceae | <i>Pholiota adiposa</i> (Batsch ex Fries) Kumm. | Saprofit olarak kütükler, demiryolu traversleri ve istif yerlerindeki gövdeler üzerinde zarar yapar. |
| AGARICALES | Strophariaceae | <i>Flammulina velutipes</i> (Curt. ex Fries) Singer | Ağaç gövde ve kütüklerinde, çit kazıklarında ve inşaatta kullanılan ağaç malzemelerde beyaz çürüklüğe sebep olur. |
| APHYLOPHORALES (POLYPORALES) | Ganodermataceae | <i>Ganoderma applanatum</i> (Pers. Ex Wallr.) Pat. | Kütükler üzerinde saprofit ve zayıf canlı ağaçlarda asalak olarak yaşar. Zarar yaptığı kısımlarda beyaz çürüklük oluşur. |
| APHYLOPHORALES (POLYPORALES) | Hericiaceae | <i>Hericium erinaceus</i> (Fries) Pers. | Yaşlı ağaçların gövde parazitidir. Gövdelere dal boşlukları ve yaralardan girerek öz oduna zarar verir. |
| APHYLOPHORALES (POLYPORALES) | Hydnaceae | <i>Steccherinum septentrionale</i> (Fries) Banker | Ağaçlara çatılar ve yara yerlerinden ya da ender olarak dallardan girer. Öz odun kısmında beyaz çürüklüğe neden olur. |
| APHYLOPHORALES (POLYPORALES) | Hymenochaetaceae | <i>Inonotus hispidus</i> (Bull. ex Fries) P. Karst. | Ağaçlara çatılar ve yara yerlerinden enfekte olurlar. Odunda beyaz çürüklüğe sebep olurlar. Çürüklüğün son döneminde odun süngerimsi sarı bir kitleye dönüşür. |
| APHYLOPHORALES (POLYPORALES) | Hymenochaetaceae | <i>Inonotus rheades</i> (Pers.) Bond. | Beyaz çürüklük meydana getirir. |
| APHYLOPHORALES (POLYPORALES) | Hymenochaetaceae | <i>Inonotus squamosus</i> Micheli ex Fries | Yapraklı ağaçlarda asalak, kütükler ve devrik ağaçların köklerinde saprofit olarak görülür. Beyaz çürüklüğe neden olur. Ağaçları öldürür. |
| APHYLOPHORALES (POLYPORALES) | Hymenochaetaceae | <i>Phellinus igniarius</i> (L.ex Fries) Quél. | Ağaçta (diri odun) sarımtırak görünüşte beyaz çürüklüğe neden olur. Coğunlukla ağaçlar vaktinden önce ölü ve rüzgar nedeni ile devrilir. Yara paraziti ve saprofit karakterdedir. |
| APHYLOPHORALES (POLYPORALES) | Hymenochaetaceae | <i>Phellinus robustus</i> (P. Karst.) Bourd. and Galz. | Dikili halde bulunan kuru ya da canlı gövdeler üzerinde beyaz çürüklüğe neden olur, yara parazitidir. |
| APHYLOPHORALES (POLYPORALES) | Polyporaceae | <i>Daedalea confragosa</i> Bolt. ex Fries | Ölü ağaçların odunlarında ya da bazen canlı ağaçların yara yerlerinde tespit edilmiştir. |
| APHYLOPHORALES (POLYPORALES) | Polyporaceae | <i>Daedalea quercina</i> L.ex Fries | Genellikle ağaçların kütük ve gövdelerinde yaşarlar. |

Tablo I.5'in devamı.

| Takım | Familya | Tür | Oluşturduğu Zarar |
|----------------------------------|------------------|---------------------------------------------------|--------------------------------------------------------------------------------------------------------------------------------------------------------------------------------------------------------|
| APHYLLOPHORALES (POLYPORALES) | Polyporaceae | <i>Lenzites trabea</i> Pers. ex Fries | Kereste depolarında, binalarda ve özellikle açık havada kullanılan ağaç malzemelerde esmer çürüklük oluştururlar. |
| APHYLLOPHORALES (POLYPORALES) | Polyporaceae | <i>Polyporus adustus</i> (Willd.) ex Fries | Ağaçların kütüklerinde, istiflenmiş odunlarda ve çitlerde rastlanır; beyüz çürüklüğe neden olur. |
| APHYLLOPHORALES (POLYPORALES) | Polyporaceae | <i>Polyporus delectans</i> Peck | Eski kütüklerde, ender olarak da canlı ağaçlarda yara parazitidir. Beyaz çürüklük etmenidir. |
| APHYLLOPHORALES (POLYPORALES) | Polyporaceae | <i>Polyporus hirsutus</i> Wulf. ex Fries | Ölmüş veya kesilmiş odun kısımlarında saprofit ve yara paraziti olarak yaşar. |
| APHYLLOPHORALES (POLYPORALES) | Polyporaceae | <i>Polyporus sulphureus</i> Bull. ex Fries | Esmer çürüklük etmenidir. Özellikle geniş öz oduna sahip ağaç gövdelerinde zarar yapar; içlerini boşaltır. İç kısımları boşalan ağaçlar şiddetli rüzgarlar da devrilir ya da kırılırlar. |
| APHYLLOPHORALES (POLYPORALES) | Polyporaceae | <i>Trametes hispida</i> Bagl. | İstanbul civarında eski ceviz kütüklerinde görülmüştür. |
| APHYLLOPHORALES (POLYPORALES) | Polyporaceae | <i>Trametes versicolor</i> (L.) Pilát | Saprofit bir türdür, fakat parazit duruma geçebilir. Odunlarda beyaz çürüklüğe neden olur. |
| APHYLLOPHORALES (POLYPORALES) | Schizophyllaceae | <i>Schizophyllum commune</i> (Fries) Fries | Ağaçların kesilmiş gövde, kütük ve işlenmiş malzemeleri üzerinde zarar yapar. Saprofit olarak yaşayan küçük bir mantardır. Beyaz çürüklük etmenidir. |
| AURICULARIALES | Auriculariaceae | <i>Auricularia auricula</i> (Hooker) Underwood | Ölmüş, kuru ve yaralı ağaçlarda saprofit olarak yaşar. Canlı ağaçlarda ise zayıf bir yara paraziti olarak bilinir. |
| AURICULARIALES | Meruliaceae | <i>Coniophora puteana</i> | Toprakla temas halinde olan kereste ve kalaslarda, rutubetli maden ocaklarında ve binalardaki ağaç malzemede çürüklük yapar. Diğer ev mantarları gibi selülozu tahrif ederek esmer çürüklük oluşturur. |
| AURICULARIALES | Meruliaceae | <i>Serpula lacrymans</i> | Özellikle eski binalarda, zemin katlarda gelişir. Oturulmayan ve havalandırılmayan, hava rutubeti yüksek binalarda mantarın gelişme ihtimali fazladır. Ağaç malzemede esmer çürüklük yapar. |

I.1.13 Ceviz Ağacı ve Odununa Arız Olan Önemli Böcek Türleri

Ceviz ağacı ve odununa arız olan önemli böcek türleri Tablo I.6'da verilmiştir.

Tablo I.6: Ceviz Ağacı ve Odununa Arız Olan Önemli Böcek Türleri [42, 43].

| Takım | FAMILYA | TÜR | Oluşturduğu Zarar |
|------------|---------------------|----------------------------------------|-------------------------------------------------------------------------------------------------------------------------------------------------------------|
| HOMOPTERA | Diaspididae | <i>Lepidosaphes ulmi</i> (L.) | Bitkilerin gövde, kahin ve ince dallarında, sürgün ve tomurcuklarında ve ender olarak yapraklarında zarar yapar. |
| HOMOPTERA | Coccidae | <i>Parthenolecanium corni</i> (Bouché) | Yaprakların üstünde, ince dallarda, sürgün ve gövdeler üzerinde zarar yapar. |
| COLEOPTERA | Cerambycidae | <i>Rhesus serricollis</i> Motsch. | Sekonder zararlı bir böcektir. Zayıf düşmüş ve ölmekte olan ağaçlarda yaşar. Odun kullanılmayacak hale gelir. |
| COLEOPTERA | Scolytidae (Ipidae) | <i>Xyleborus monographus</i> (Fabr.) | Sekonder zararlı bir böcektir. Özellikle dikili hastalıklı ağaçlarla kütüklerde, kesilmiş ve kabuklarıyla terk edilmiş odunlarda zarar yapar. |
| COLEOPTERA | Platypodidae | <i>Platypus cylindrus</i> (Fabr.) | Ağaç kütüklerinde, devrilmiş ağaçlarda ve yakacak odunlarında zarar yapar. Ayrıca dikili ağaçların gövdelerinin alt kısımlarında da yaşadığı görülmüştür. |
| COLEOPTERA | Anobiidae | <i>Anobium punctatum</i> (Deg.) | Larvaları yapraklı ağaçların öz odununda gelişir. Binaların ahşap kısımları ile çeşitli mobilya, müze malzemesi ve ağaçların ölmüş dallarında zararlı olur. |
| COLEOPTERA | Bostrychidae | <i>Bostrychus capucinus</i> (L.) | Sekonder zararlı bir böcektir. Larvaları ölmüş ağaçların odunlarında yaşar. |

II. MATERİYAL VE METOD

II.1 Araştırma Alanlarının Tanıtımı

Ceviz ağacının bazı anatomik ve fiziksel özelliklerini belirlemek amacıyla yapılan bu çalışma, Batı Karadeniz Bölgesinde yer alan üç farklı alandan çıkarılan örnek ağaçlar üzerinde gerçekleştirilmiştir.

1-2-3 no'lu ağaçlar; Bolu Orman Bölge Müdürlüğü, Akçakoca Orman İşletme Müdürlüğü, Altınçay İşletme Şefliği, Altınçay Serisi, Kilsuyu Mevkii bozuk kayın meşceresi olan 26 ve 30 no'lu bölmelerden alınmıştır. Kapalılık % 0-10 olup, denizden yükseklik 150 m'dir. Diri örtü, böğürtlen, orman gülü, fındık, kocayemiş ve otsu bitkilerden oluşmuştur. İklim özellikleri itibarıyle Batı Karadeniz iklimi hakimiyeti altındadır. Sıcaklık mutedil olup, yağışlar her mevsimde görülmekte birlikte, daha çok sonbahar aylarında düşmektedir. Batı ve kuzey rüzgarları hakimdir. Nisbi nem yüksektir. Toprak yapısı kumlu-balçıkıdır.

4-5-6-7 no'lu ağaçlar; Bolu Orman Bölge Müdürlüğü, Akçakoca Orman İşletme Müdürlüğü, Aktaş Orman İşletme Şefliği, Aktaş Serisi, Hemşin Yayla Mevkii'nden 41 no'lu bölmenden alınmıştır. Tepe kapalılığı % 11-40 olup, denizden yükseklik 800 m'dir. Diri örtü, orman gülü, böğürtlen, diken, sarmaşık, eğrelti, ısrangan, yer yer çali ve çayır otlarından oluşmaktadır. Bölgede Batı Karadeniz iklimi hakimdir. Toprak türü az taşlı, kumlu-balçık ve killi-kumlu'dur.

8-9-10 no'lu ağaçlar; Zonguldak Orman Bölge Müdürlüğü, Karadeniz Ereğlisi Orman İşletme Müdürlüğü, Kocaman Orman İşletme Şefliği, Kocaman Serisi, Değirmendere mevkii, kayın, gürgen, meşe, kestane karışık meşceresi olan 65 ve 85 no'lu bölmelerden alınmıştır. Kapalılık % 40-70 arasında olup, denizden yükseklik 60 m'dir. İklim özellikleri itibarıyle Batı Karadeniz iklimi hakimdir. Toprak türü kumlu-killi balçiktır.

II.2 Örnek Ağaçların Seçimi

Ceviz ağaçları, araştırma alanlarında oldukça az sayıda lokal olarak bulunmaktadır. Zaten az miktarda olan ağaçların, meyve verimi fazla olanlarına da köylü sahip çıkmaktadır. Bu durum, örnek ağaçların seçiminde ve sayısında kısıtlayıcı bir faktör olarak rol oynamıştır. Araştırma materyali alınırken, normal gelişim özellikleri gösteren, düzgün gövdeli ağaçların seçilmesine dikkat edilmiştir. Toplam 10 örnek ağaç üzerinde çalışılmıştır.

II.3 Örnek Ağaçlardan Gövde Kesitlerinin Alınması ve Test Örneklerinin Hazırlanması

Araştırma alanı içerisinde seçilen ağaçlar, kesilmeden önce bir pusula yardımıyla kuzey-güney yönleri tespit edilerek işaretlenmiş ve 1.30 m yükseklikteki çapı ölçülmüştür. Ağaçlar 0.30 m yükseklikten kesilerek, gövde üzerindeki dallar temizlenmiş, daha önce işaretlenen yön çizgisi ağaç gövdesi boyunca uzatılmıştır. Bu işlemleri takiben, tüm boyu tespit edilen her örnek ağacın 0.30-1.30-2.30-4.30-6.30...m'lerinden 2'ser metre aralıklarla 15 cm kalınlığında gövde kesitleri çıkarılmıştır. Her gövde kesiti üzerine kuzey yönü işaretlenerek, ağaç numarası ve gövdeden alındığı yükseklik yazılmıştır. Dip kütükleri üzerinde yıllık halkaların belirgin olarak görülememesi nedeniyle yaş tespiti ancak araştırma materyalleri laboratuvara getirildikten sonra yapılmıştır. Yaş tespiti için 0.30 m yükseklikten alınan gövde kesitleri kullanılmıştır. Üzerindeki yıllık halkalar özden çevreye doğru sayılıarak, kesim yüksekliğine kadar geçen 3 yıl ilave edilerek, ağaç yaşı tespit edilmiştir [44]. Bu tespitlere göre, ağaçların yaşıları 26-51 arasında değişmekte olup ortalama yaşı 38'dir. Örnek ağaçların alındığı bölgeler ve dendrometrik özellikleri Tablo II.1'de verilmiştir.

Tablo II.1: Örnek Ağaçların Alındığı Bölgeler ve Dendrometrik Özellikler

| Ağaç No. | Orman Bölge Müdürlüğü | Orman İşletme Şefliği | Bakı | Eğim (%) | Ağaç Boyu (m) | 1.30 m Çapı (cm) | Gövde Orta Çapı (cm) | Rakım (m) | 0.30 m Yıllık Halka Sayısı |
|----------|-----------------------|-----------------------|-------|----------|---------------|------------------|----------------------|-----------|----------------------------|
| 1 | Bolu | Altınçay | - | - | 15.30 | 42 | 31 | 150 | 48 |
| 2 | Bolu | Altınçay | - | - | 18.00 | 39 | 32 | 150 | 44 |
| 3 | Bolu | Altınçay | - | - | 17.30 | 42 | 28 | 150 | 45 |
| 4 | Bolu | Aktaş | Batı | 35 | 16.60 | 38 | 33 | 800 | 35 |
| 5 | Bolu | Aktaş | Batı | 35 | 18.20 | 37 | 22 | 800 | 33 |
| 6 | Bolu | Aktaş | Batı | 43 | 14.80 | 33 | 25 | 800 | 24 |
| 7 | Bolu | Aktaş | Batı | 43 | 18.00 | 30 | 20 | 800 | 23 |
| 8 | Zonguldak | Kocaman | - | - | 21.50 | 53 | 47 | 60 | 31 |
| 9 | Zonguldak | Kocaman | Kuzey | 62 | 20.70 | 50 | 44 | 60 | 33 |
| 10 | Zonguldak | Kocaman | - | - | 15.50 | 40 | 30 | 60 | 34 |

Araştırma alanından laboratuvara getirilen 15 cm kalınlığındaki gövde kesitlerinden, özden geçen kuzey-güney ve doğu-batı yönünde uzanan, 3 cm genişliğinde şeritler çıkarılmıştır. Bu şeritler de ayrıca eşit yükseklikte üç ayrı şeride bölünmüştür. Üst kısımdan çıkarılan şeritler, odunun makroskopik ve mikroskopik özelliklerini incelemek amacıyla kullanılmıştır. Bu bölüm 2 cm yüksekliğinde iki ayrı bölüme ayrılarak, birinde anatomik özellikler, diğerinde lif boyları tespit edilmiştir. Orta kısımdan çıkarılan şeritlerde yoğunluk ve hacim ağırlık denemeleri, alt kısımdan çıkarılan şeritlerde ise sorpsiyon denemeleri yapılmıştır.

II.4 Makroskopik Özellikler

Ceviz odununda makroskopik incelemeler ve ölçmeler için ağaçların, 0.30 m yüksekliğinden elde edilen gövde kesitlerinin enine, radyal ve teğet yüzeyleri kullanılmıştır. Bu incelemeler gerek çıplak gözle, gerekse X10 büyütülmeli lup ve Brinell Mikroskopu yardımıyla gerçekleştirilmiştir.

II.4.1 Kabuk

Ceviz'de kabuk ölçümleri, örnek ağaçların 0.30 m yüksekliğinden itibaren iki metre ara ile alınan gövde kesitleri üzerinde gerçekleştirilmiştir. Her gövde kesiti üzerinde kuzey-güney ve doğu-batı yönlerinde kabuklu ve kabuksuz çaplar ölçülmüş, ortalama değerler hesaplanarak, kabuklu ve kabuksuz hacimler tespit edilmiştir. Ölçme yapılan ağaçların kütük kısımlarının hacimlendirilmesinde silindirin, tomrukarda Smailan, uç kısımlarda ise koninin hacim formülü uygulanmıştır. Uçlardaki yüzey ortalaması yardımı ile ağaçların kütük, tomruk ve uç kısımlarında hacim bulma formülleri şu şekilde verilmektedir [44].

$$V_k = \frac{\Pi}{4} \cdot d^2_{0.30} \cdot \ell$$

$$V_k = \text{Kütük hacmi (m}^3\text{)}$$

$$d = \text{Ağacın 0.30 m yüksekliğindeki kesit çapı (m)}$$

$$\ell = \text{Kütük uzunluğu (m)}$$

$$V_{si} = \frac{1}{2} \cdot (g_{oi} + g_{ni}) \cdot \ell_i$$

V_{si} = i'nci seksiyon hacmi (m^3)

$$g_{oi} = i'nci seksonun kalın uçtaki kesit yüzeyi (m^2) \quad g = \Pi r^2 = \Pi \left(\frac{d^2}{2} \right)$$

$$g_{ni} = i'nci seksonun ince uçtaki kesit yüzeyi (m^2) \quad d = \text{kesit çapı (m)}$$

ℓ_i = i'nci seksiyon uzunluğu (m)

$$V_{uc} = \frac{1}{r+1} g_o \cdot \ell' = \frac{1}{3} \cdot g_o \cdot \ell'$$

V_{uc} = Uç parçasının hacmi (m^3)

r = Şekil üssü ($r = 0, 1, 2, 3$ değerleri sırası ile silindir, paraboloid, koni ve nayloit)'e karşılık gelmektedir.

ℓ' = Uç parçasının uzunluğu (m)

g_o = Uç parçasının taban alanı (m^2)

Silindir, paraboloid ve koni olarak kabul edilen kısımlara ait kabuklu ve kabuksuz hacimler hesaplandıktan sonra kabuk yüzdesi aşağıda belirtilen formüle göre bulunmuştur.

$$K_y = \frac{\text{Kabuklu Hacim} - \text{Kabuksuz Hacim}}{\text{Kabuklu Hacim}} \times 100$$

II.4.2 Öz Odun

Bu özellik ile ilgili ölçmeler, örnek ağaçlardan alınan 74 adet gövde kesiti üzerinde gerçekleştirilmiştir. Öz odun hacminin ve katılım oranının tespit edilebilmesi amacı ile her kesit üzerinde öz odun genişliği ölçülmüştür. Ölçme yapılan ağaçların kütük kısımlarının hacimlendirilmesinde silindir, tomrukarda Smailan, uç kısımlarda ise koninin hacim formülü kullanılmıştır. Daha sonra bulunan üç hacim toplanarak o ağaca ait öz odun hacmi tespit edilmiştir.

Öz odun hacmi katılım oranı aşağıda verilen formüle göre hesaplanmıştır.

$$\text{Öz Odun Hacmi Katılım Oranı} = \frac{\text{Öz Odun Hacmi}}{\text{Kabuksuz Hacim}} \times 100$$

Öz odun genişliği, örnek ağaçlardan alınan gövde kesitlerinden elde edilen 3 cm genişliğindeki şeritler üzerinde kuzey-güney yönü doğrultusunda ölçülmüştür. Daha sonra bu ölçme değerleri kullanılarak boyuna yöndeki değişim incelenmiştir.

Öz odun genişliği ve kabuksuz çaplardan yararlanarak, dairenin alan formülüne göre tüm kesit alanı ile öz odun alanı her gövde kesiti için hesaplanmıştır. Bu işlemden sonra, öz odunun gövde kesetine katılım oranının tespit edilebilmesi için gövde kesetine ait öz odun alanı, tüm kesit alanına oranlanıp 100 ile çarpılmıştır. Daha sonra elde edilen sonuçlar kullanılarak boyuna yöndeki değişim incelenmiştir.

Örnek ağaçlardan çıkarılan gövde kesitlerinden elde edilen 3 cm genişliğindeki şeritler üzerinde kuzey-güney yönü doğrultusunda öz odundaki yıllık halka sayıları belirlenmiştir. Ayrıca, her kesitteki öz odun yıllık halka sayısı, toplam yıllık halka sayısına oranlanıp 100 ile çarpılmak suretiyle öz odundaki yıllık halka yüzdesi hesaplanmıştır.

II.4.3 Diri Odun

Odunun bu kısmı ile ilgili ölçmeler, örnek ağaçlardan alınan 74 adet gövde kesiti üzerinde gerçekleştirilmiştir. Diri odunun gövde hacmine katılım oranı aşağıda verilen formüle göre hesaplanmıştır.

$$\text{Diri Odun Hacmi Katılım Oranı} = \frac{\text{Kabuksuz Hacim} - \text{Öz Odun Hacmi}}{\text{Kabuksuz Hacim}} \times 100$$

Diri odun genişliği, her gövde kesiti için daha önce tespit edilen kabuksuz çaplardan öz odun genişliğinin çıkarılması ile belirlenmiştir. Daha sonra bu ölçme değerleri kullanılarak ağaç gövdesindeki boyuna yöndeki değişim incelenmiştir.

Diri odun kesit alanı, kabuksuz gövde kesit alanlarından öz odun alanları çıkarılarak bulunmuştur. Ayrıca diri odun kesit alanı, kabuksuz gövde kesit alanına bölünüp 100 ile çarpılmak suretiyle diri odun alanının tüm gövde kesit alanına katılım oranı hesaplanmıştır. Daha sonra gövde yüksekliği boyunca değişimini incelenmiştir.

Diri odundaki yıllık halka sayısı, her gövde kesiti için daha önce belirlenmiş olan toplam yıllık halka sayısından, öz odun yıllık halka sayılarının çıkarılması yoluyla belirlenmiştir.

II.4.4 Yıllık Halka Genişliği

Yıllık halka genişliğinin tespiti; 1, 5, 9, 10 no'lu ağaçların 0.30 m yüksekliğinden, özden geçecek şekilde ve kuzey-güney doğrultusunda çıkarılan şeritler üzerinde, çevreden öze doğru gidilerek gerçekleştirilmiştir. Yıllık halka sınırlarının birbirinden kolayca ayrılamadığı dar halkalarda, çeşitli boyalı maddeleri kullanılarak sınırlar belirgin hale getirilmeye çalışılmıştır. Ölçme işlemi, milimetrenin yüzde biri hassasiyetinde ölçüme yapabilen Brinell Mikroskopu kullanılarak gerçekleştirilmiştir.

Ceviz odununun yarı halkalı traheli yapıya sahip olması nedeni ile; yıllık halka içerisinde ilkbahar odunu ve yaz odunu tabakalarını sağlıklı biçimde birbirinden ayırmak, mevcut şartlar altında oldukça güç olduğundan, araştırmada sadece yıllara göre yıllık halka genişliklerinde meydana gelen değişim incelenmiştir.

II.5 Mikroskopik Ölçmeler

II.5.1 Mikroskopik Kesitlerin Hazırlanması

Mikroskopik ölçmeler için örnek ağaçların 0.30–1.30–2.30–4.30..., m'lerinden kuzey-güney doğrultusunda elde edilen 10 x 10 x 20 mm boyutunda örnekler hazırlanmıştır. Daha sonra yumuşamaları ve içerisindeki havanın çıkarılması amacı ile suda çökünceye kadar kaynatılmış, su içerisinde çöken örneklerden, Reichert marka kızaklı mikrotomla 20 mikrometre kalınlığında enine, radyal, teğet kesitler alınarak, içerisinde % 50'lik alkol bulunan petri kaplarına konulmuş ve numaralanmıştır.

II.5.2 Mikroskopik Kesitlerin Boyanması

Kesitler, lignini kırmızıya boyayarak hücre çeperleri ile lümenler arasında kontrast oluşturması nedeni ile % 1'lik safranın boyanmıştır. Boyama işlemi için 1 g toz halindeki safranın 100 ml damıtık su içinde eritilerek boyaya eriyiği hazırlanmıştır. Önce, kesitlerin bulunduğu petri kapları içindeki alkol bir pipet yardımı ile emilmiş, sonra kesitler üzerine bir miktar su ilave edilmiş ve istenilen rengi alacak şekilde safranın damlatılarak 2-5 dakika beklenmiştir. Daha sonra kesitler, çıkan su renksiz kalıncaya dek yıkanmıştır. Bu işlemi takiben kesitler, içindeki suyu çıkarmak amacıyla % 50, % 70, % 96, % 99'luk alkol serisinden geçirilmiştir. Kesitleri alkolden arıtmak için, üzerine xylen konularak 5 dakika beklenmiştir. Bundan sonra kesitler bir pens yardımı ile alınarak lâm üzerine yerleştirilmiş ve daimi preparat haline getirmek için üzerine entellan damlatılmıştır. Hafifçe ısıtılan bir lâmel kesit üzerine kapatılmıştır. Bu işlem gerçekleştirildiğinde kesit üzerinde hava kabarcığı kalmamasına dikkat edilmiştir. Hava kabarcığı kaldığında bir iğne yardımıyla hafifçe bastırılarak çıkarılmıştır. Entellanın sertleşmesi için preparatin iki yüzüne karton konularak mandal ile sıkıştırılmıştır. Bu şekilde hazırlanan preparatlar bir gün süre ile oda sıcaklığında bekletilerek kurumaları sağlanmıştır. Daha sonra preparatların kenarlarına taşan entellan, xylen yardımı ile dikkatlice temizlenmiştir [45].

II.5.3 Mikroskopik Büyütmeler

Ceviz odununun anatomik yapısının incelenmesinde Carl Zeiss monoküler ışık mikroskopu, Carl Zeiss binoküler fotomikroskop ve görüntüyü önündeki ekrana yansıtan Reichert marka vizopan kullanılmıştır. Monoküler mikroskopun oküleri X6, objektifleri ise X20, X40, X90 büyütmeli, binoküler fotomikroskopun oküleri X10, objektifleri ise X16 ve X40 büyütmelidir. Bu büyütme derecelerine ait ölçme taksimatı, sırasıyla monoküler mikroskop için 8, 4 ve 2 mikrometreyi göstermektedir. Ayrıca 6x90 büyütme ile çalışıldığında ışığın kırılma indisini artırmak için immersiyon yağı kullanılmıştır. Vizopanda yapılan ölçme işlemleri ise 12.5x10 büyütmede gerçekleştirilmiş olup, bir taksimat 8 mikrometreyi göstermektedir.

II.5.4 Enine Kesitte Yapılan Ölçmeler

Hazırlanan preparatların enine kesitlerinde; yıllık halka genişliği, 1 mm^2 alan içindeki trahe sayısı, trahe ve lif hücrelerinin (lif traheidi ve libriform lifi) teğet ve radyal yöndeki çapı, lumen genişliği ve çeper kalınlığı tespit edilmiştir. Ayrıca trahe hücrelerinin dizilişi ve boyuna paranşım hücrelerinin tipi incelenmiştir. Aynı kesit üzerinde 1 mm^2 'lik alan içinde hücre çeşitlerinin odun dokusuna katılma oranları belirlenmiştir.

Yıllık halka genişliklerinin ölçülmesi monoküler ışık mikroskopunda 6×20 büyütme ile gerçekleştirilmiştir. Genişliği tespit edilen yıllık halkanın ilkbahar ve yaz odunu tabakalarında trahe ve lif hücrelerinin teğet ve radyal çapları, lumen genişlikleri ve çift çeper kalınlıkları ölçülmüştür. Çeper kalınlıklarını belirlemek için trahe ve lif hücrelerinin çapından lumen genişliği çıkarılmıştır. Bu ölçümlede traheler için 6×40 , lif hücreleri için ise 6×90 büyütmeler ile çalışılmıştır. Her yıllık halkada 3 adet trahe ve lif traheidi ölçülmüş olup, her iki hücre tipi için toplam 903'er adet ölçme yapılmıştır. Sonuçların sağlıklı olması için, bir yıllık halkanın hem ilkbahar hemde yaz odunu kısmının başından, ortasından ve sonundan olmak üzere ölçme işlemleri gerçekleştirilmiştir. Yarı halkalı traheli ağaç türlerinde daha büyük standart sapmalar beklenilmesi nedeni ile, trahelerin ölçülmesinde yıllık halkalarda radyal yön boyunca aynı doğrultuda hareket edilmiştir [32]. Ayrıca lif çeper kalınlığı grubunun belirlenebilmesi için, bitişik iki lif hücresi arasındaki tüm teğet çeper kalınlığı, en yakın lif hücresinin teğet lumen genişliğine oranlanmıştır [32]. Bu özellik için toplam 243 adet ölçme yapılmıştır.

Yapılan incelemelerde ceviz odununun yapısında az sayıda libriform lifinin bulunduğu tespit edilmiştir. Bu hücre tipinin özelliklerini belirlemek amacıyla, deneme ağaçlarının 1.30 m'sinden alınan gövde kesitlerinin kuzey-güney yönü doğrultusunda, 5-15 ve sonuncu yıllık halkalarında incelemeler yapılmıştır. Toplam 171 adet libriform lifi hücresına ait teğet çap, lümen genişliği ve çift çeper kalınlığı ölçülmüştür.

Vizopanda mm^2 'deki trahe sayısı 12.5×10 büyütme ile tespit edilmiştir. Trahe sayısı vizopanın büyütme oranı dikkate alınarak hazırlanan 0.5 mm^2 'lik şablon (kesit üzerinde 1 mm, şablonda 12.5 cm ve kesit üzerinde 0.5 mm, şablonda 6.25 cm) kullanılarak hesaplanmıştır. Şablonun alt çizgisi önce yıllık halkanın başlangıç sınırına çakıstırılarak ilkbahar odunu tabakasındaki traheler sayılmıştır. Daha sonra kesit radyal yönde dikkatlice kaydırılarak yıllık halkanın sonuna gelinmiş ve şablonun üst sınırı yıllık halka sınırı ile çakıstırılarak yaz odunu tabakasındaki trahe sayısı tespit edilmiştir. Bu işlemleri takiben bulunan değerler toplanarak mm^2 'deki trahe sayısı hesaplanmıştır. İlkbahar odunu ve yaz odunu trahe sayısının hesaplanmasında her iki tabaka için bulunan değerler iki ile çarpılmıştır. Her yıllık halkada bu işlemler üç kez tekrarlanarak 395 adet yıllık halka üzerinde çalışılmıştır.

Trahe ve lif traheidi hücrelerine ait ölçüm sonuçları ile mm^2 'deki trahe sayısına ait istatistik değerlendirmelerde; her bir yıllık halka için tespit edilen değerlerin ortalamaları bulunarak, ortalama yıllık halka değerleri dikkate alınmıştır. Minimum ve maksimum değerler, hem tüm veriler, hemde yıllık halka ortalama değerleri dikkate alınarak tespit edilmiş ve ilgili tablolarda verilmiştir.

Trahe, lif, öz ışınları ve boyuna paransim hücrelerinin odun dokusuna katılım oranları TOKMANOĞLU (1965)'te verilen tartı yöntemine göre tespit edilmiştir [46]. Bu amaçla, hücrelerin vizopandaki görüntüsü $12.5 \times 12.5 \text{ cm}^2$ 'lik aydinger kağıdı üzerine çizildikten sonra tüm alan ve doku elemanları ayrı ayrı kesilip tartılarak yüzde miktarları bulunmuştur. Bu amaçla yapılan ölçmeler 30 kesitte tekrarlanmıştır.

II.5.5 Radyal Kesitte Yapılan Ölçmeler

Radyal kesitte; trahelerle öz ışınlarının karşılaşma yerindeki geçitlerin horizontal ve vertikal çapları 6×90 büyütme ile tespit edilmiştir. Her yıllık halkada üç adet geçit ölçülmüş olup toplam 432 adet geçit üzerinde çalışılmıştır.

II.5.6 Teğet Kesitte Yapılan Ölçmeler

Teğet kesitte; mm'deki öz ışını sayısını, öz ışını yüksekliğini, öz ışını genişliğini ve traheler arası geçitlerin çapları ile bu geçitlerin geçit ağızı büyülüklükleri tespit edilmiştir.

Öz ışınlarının mm'deki sayılarının tespiti için vizopanın 12.5×10 büyütme oranından yararlanılmıştır. Her preparat üzerinde dört farklı yer taranarak mm'deki öz ışını sayıları bulunmuş, toplam 294 adet yıllık halka üzerinde çalışılmıştır. Öz ışınlarının hücre yüksekliği mikroskopun 10×40 büyütmesi ile tespit edilmiştir. Tek sıralı ve çok sıralı öz ışınları ayrı ayrı değerlendirilmiştir. Her yıllık halkada dörder adet öz ışınında hücre yükseklikleri sayılmış olup, toplam 280 adet yıllık halka üzerinde çalışılmıştır. Öz ışınlarının mikrometre olarak yüksekliği ise mikroskopun 6×40 büyütmesi ile tespit edilmiştir. Her yıllık halkada dörder adet öz ışını üzerinde ölçme yapılmış olup, tek sıralı öz ışınları için 281 adet, çok sıralı öz ışınları için ise 282 adet yıllık halkada çalışılmıştır. Öz ışınlarının hücre genişliği mikroskopun 10×16 büyütmesi ile tespit edilmiş olup, 320 adet yıllık halka üzerinde çalışılmıştır. Her halkada beşer adet öz ışınında hücre genişliği hesaplanmıştır. Öz ışını genişliği mikrometre olarak tek sıralı ve çok sıralı öz ışınları için 6×40 büyütme ile ayrı ayrı ölçülmüştür. Tek sıralı öz ışınları için 280 adet, çok sıralı öz ışınları için 281 adet yıllık halkada dörder adet genişlik tespit edilmiştir.

Öz ışınlarının mikrometre olarak yükseklik ve genişliğine ait istatistik değerlendirmelerde, yıllık halka ortalama değerleri kullanılmış olup, maksimum ve minimum değerler hem tüm veriler, hem de ortalama değerler dikkate alınarak tespit edilmiş ve ilgili tablolarda verilmiştir.

Traheler arası geçitlerin horizontal ve vertikal çapları ile, geçit ağızı teğet çapları mikroskopun 6×90 büyütmesi ile ölçülmüştür. Bir yıllık halkada 3 adet geçit üzerinde çalışılmış olup, traheler arası geçitler için 148, geçit ağızı ölçümleri için ise 144 adet halkada ölçme yapılmıştır.

II.5.7 Maserasyon

Lif ve trahe uzunlukları ile perforasyon tablası genişlik ve uzunluğunu ölçebilmek için bir maserasyon yöntemi olan Jefrey Metodundan yararlanılmıştır.

10x10x20 mm boyutunda hazırlanan örnekler liflerin gidiş yönü doğrultusunda 0.5 mm kalınlıkta küçük parçalara ayrılarak deney tüplerine konulmuş, tüplerin üzerine örnek numarasını yazan etiketler yapıştırılarak, üzerlerini örtecek kadar Jefrey eriyiği ilave edilmiştir. Jefrey eriyiği; 100 ml derişik nitrik asit, 113.5 gr kromik asit karışımını 1000 cm³'e tamamlanıncaya kadar damatik su ilave edilerek hazırlanmaktadır [47]. Örneklerin üzerine eriyik ilave edildikten sonra belirli aralıklarla tüpler çalkalanmış ve liflerine ayrılma işlemi gerçekleştirilen sona tüplerin ağızına tel süzgeç takılarak damıtık su ile yılanmış, yıkama işlemine, çıkan su renksiz kalıncaya dek devam edilmiştir. İşlem tamamlandığında pens yardımıyla bir parça lif lam üzerindeki damıtık su içerisinde yayılarak üzerine lamel kapatılmış ve hazırlanan preparatta ölçme işlemi, vizopanda 12.5 x 10 büyütme ile gerçekleştirilmiştir.

Lif boyu ölçmeleri; örnek ağaçlardan çıkarılan toplam 74 adet gövde kesiti üzerinde özden itibaren beşer yıl arayla tespit edilen yıllık halkalar ile sonuncu yıllık halkada yapılmıştır. Toplam 816 yıllık halka üzerinde çalışılmış ve her halkada 30 adet lif uzunluğu ölçülmüştür. İlkbahar ve yaz odunu tabakalarının birbirinden çok sağlıklı şekilde ayrılamaması nedeni ile sadece ortalama lif boyu tespit edilmiştir. Ceviz odununda esas doku, lif traheidlerinden oluşmakta olup yapısında az miktarda libriform lifi mevcuttur. Bu nedenle, lif boyu ölçümlerinde herhangi bir ayırım yapmaksızın tespitler yapılmıştır. İstatistik değerlendirmelerde; herbir yıllık halka için tespit edilen lif uzunlıklarının ortalamaları bulunarak, yıllık halkaların ortalama değerleri dikkate alınmıştır. Minimum ve maksimum lif boyları hem ortalama değerlere, hemde tüm verilere göre tespit edilerek ilgili tablolarda birlikte verilmiştir.

Ayrıca bu yöntemle, 2318 adet trahe boyu, 150 adet perforasyon tablası genişliği ve uzunluğu tespit edilmiştir.

II.5.7.1 Lif Uzunluğunun GÖVDE YÜKSEKLİĞİNDE DEĞİŞİMİ

Bu değişimin incelenmesi için, örnek ağaçlardan çıkarılan gövde kesitlerinin gövdede ait oldukları yükseklik değerleri, ağaçın tüm boyuna oranlanıp 100 ile çarpılması suretiyle her kesit yüksekliğinin oransal değerleri hesaplanmıştır. Daha sonra bulunan değerler % 1-20, % 20-40, % 40-60 ve % 60-80 şeklinde gruplandırılarak, her gruba ait ortalama lif boyları tespit edilmiştir. Bu değerlerden yararlanılarak, nisbi gövde yüksekliği ile lif uzunluğu arasındaki istatistik ilişkiye ait regresyon katsayıları regresyon analizi yöntemine göre bulunmuş ve katsayıların yardımcı ile bu ilişki grafik halinde verilmiştir.

II.5.7.2 Özden Uzaklık İle Lif Uzunluğu Arasındaki İlişki

Bu ilişkiyi tespit etmek üzere, örnek ağaçlardan elde edilen gövde kesitlerinden çıkarılan örneklerin kuzey yönünde yapılan ölçüm değerleri kullanılmıştır. Lif uzunluğu ölçülen her bir yıllık halkanın, daha önceden öze olan uzaklıklarını tespit edilmiş bulunmaktadır. Böylece, özden uzaklık değerleri gruplandırılarak her gruba ait lif uzunluğu ortalamaları hesaplanmıştır. Daha sonra regresyon analizi yöntemine göre, özden uzaklık ile lif uzunluğu arasındaki ilişkiye ait regresyon katsayıları bulunmuş ve bu katsayılar yardımı ile bu ilişki grafik halinde verilmiştir.

II.6 Hava Kurusu Yoğunluk

Hava kurusu yoğunluk değeri tespitinde; gövde kesitlerinin kuzey-güney ve doğu-batı yönleri doğrultusunda 890 adet, TS 2472 standardına göre 20x20x30 mm boyutunda hazırlanan örnekler kullanılmıştır [48]. Örnekler hazırlanırken öz kısmı ile, çürük, budaklı ve çatlak kısımlar araştırmaya dahil edilmemiştir. Örnekler % 12 hava kurusu rutubet derecesine gelebilmeleri için 20 ± 2 °C sıcaklık ve % 65 ± 5 bağılı nemdeki klima odasında klimatize edilmişlerdir. Bu işlemi takiben örnekler 0.001 g hassasiyette tartma yapabilen analistik terazide tartılmış ve her üç boyutu 0.01 mm hassasiyette ölçme yapabilen mikrometreli kompaslarla ölçüлerek hacimlendirilmiştir. Daha sonra hava kurusu yoğunluk değeri aşağıda verilen formüle göre hesaplanmıştır.

$$D_{12} = \frac{W_{12}}{V_{12}}$$

Formülde;

D_{12} = Hava kurusu yoğunluk değeri (g/cm^3)

W_{12} = Hava kurusu ağırlık (g)

V_{12} = Hava kurusu hacim (cm^3)

Ancak örneklerin klimatize odasında sağlıklı biçimde % 12 rutubet derecesine ulaşıp ulaşmadıkları bilinmediğinden, yoğunluk değerlerinin % 12 rutubete dönüştürülmesi için JANKA (1900) tarafından verilen,

$$r_2 = r_1 + p' (u_2 - u_1)$$

formülünden yararlanılmıştır [49]. Bu eşitlikte; (r_2) % 12 rutubetteki yoğunluk, (r_1) herhangi bir rutubet derecesinde bulunan ve tahvili gereken yoğunluk, (p') rutubet ile yoğunluk arasındaki ilişkiyi gösteren sabiteyi, (u_2) % 12 rutubeti, (u_1) ise tahvil edilecek yoğunluk değerinin ait olduğu rutubet miktarını ifade etmektedir. Bu formül % 0-20 rutubet dereceleri arasındaki değerler için geçerli bulunmaktadır. Yukarıda gösterilen formülde yer alan (p') değeri ise aşağıdaki formüle göre hesaplanmaktadır.

$$p' = \frac{r_2 - r_1}{u_2 - u_1}$$

Formülde;

p' = Rutubetle yoğunluk arasındaki ilişkiyi gösteren sabit değer

r_1 = Tam kuru yoğunluk değeri (g/cm^3)

r_2 = Örneğin havi olduğu rutubetteki yoğunluk değeri (g/cm^3)

u_1 = % 0 rutubet miktarı

u_2 = Örneğin havi olduğu rutubet miktarı

Bu araştırmada ortalama bir (p') değeri yerine, 890 adet örnek için ayrı ayrı hesaplanan (p') değerleri kullanılmıştır.

II.7 Tam Kuru Yoğunluk

Ceviz odununda tam kuru yoğunluk değeri, hava kurusu yoğunluk değerinin tespitinde kullanılan örnekler üzerinde hesaplanmıştır. Bölüm II.6'da belirtildiği üzere, hava kurusu yoğunluk değerinin sağılıklı biçimde tespit edilebilmesi için kullanılan tahvil formülünde yer alan p' sabitesinin hesaplanması sırasında tam kuru yoğunluk değerinin bilinmesine gerek duyulmaktadır. Örnekler kurutma fırınlarına konularak, hızlı kurumadan dolayı çatlamamaları için fırın sıcaklığı kademeli olarak 103 ± 2 °C'ye çıkarılmıştır. Kurutma işlemine, örnekler değişmez ağırlığa gelinceye kadar devam edilmiştir. Daha sonra fırından çıkarılan örnekler desikatore konularak soğutulmuş, ağırlıkları ve üç boyutu bulunmak suretiyle tam kuru yoğunluk değerleri aşağıdaki formüle göre hesaplanmıştır.

$$D_0 = \frac{W_0}{V_0} \text{ (g/cm}^3\text{)}$$

Formülde;

D_0 = Tam kuru yoğunluk değeri (g/cm^3)

W_0 = Tam kuru ağırlık (g)

V_0 = Tam kuru hacim (cm^3)

II.7.1 Tam Kuru Yoğunluğun Gövde Yüksekliğinde Değişimi

Tam kuru yoğunluğun gövde yüksekliği boyunca gösterdiği değişimi incelemek amacı ile, 10 adet örnek ağaçın 0.30 m'sinden itibaren ikişer metre ara ile alınan kesitlere ait ortalama yoğunluk değerleri kullanılarak, değişim grafik halinde gösterilmiştir.

II.7.2 Tam Kuru Yoğunluğun Özden Çevreye Doğru Değişimi

Bu değişimi ortaya koyabilmek için örnek ağaçlardan ikişer metre ara ile alınan kesitlerden kuzey-güney yönü doğrultusunda çıkarılan örnekler kullanılmıştır. Bu örneklerin özden uzaklıkları daha önceden belirlenmiş olduğundan, tüm kesitler için bu uzaklık değerleri gruplandırılmış ve her gruba ait ortalama yoğunluk değerleri hesaplanarak değişim grafik olarak gösterilmiştir.

II.7.3 Tam Kuru Yoğunluk İle Yıllık Halka Genişliği Arasındaki İlişki

Ceviz odununda tam kuru yoğunluk ile yıllık halka genişliği arasındaki ilişkinin araştırılmasında, 10 adet örnek ağaçtan seçilmiş olan 307 adet örenken faydalانılmıştır. Örneklerin belirlenmesi sırasında, yıllık halka genişlikleri farklılık gösteren (dar-orta-geniş) her sınıftan eşit sayıda örnek alınmasına dikkat edilmiştir.

Örneklerin enine kesiti üzerinde tam olan yıllık halkalar, 0.01 mm hassasiyette ölçme yapabilen Brinell mikroskopu ile ölçülmüş, bulunan toplam değer yıllık halka sayısına bölünerek her örneğin ortalama yıllık halka genişliği tespit edilmiştir. Örneklerde ait tam kuru yoğunluk değerleri önceden belirlenmiş olduğundan ilgili özellikler arasında regresyon analizi yöntemine göre regresyon katsayıları bulunmuş ve bu ilişki grafik halinde verilmiştir.

II.7.4 Hücre Çeperi ve Hava Boşluğu Oranları

Tam kuru yoğunluk değeri, bir santimetreküp tam kuru haldeki odun hacmi içerisindeki tam kuru odun kitlesinin, diğer bir deyişle hücre çeperi ağırlığının gram cinsinden ifadesidir. Bu tanımdan da anlaşılacağı gibi tam kuru halde odunun yoğunluğu, birim hacimi içerisindeki hücre çeperi maddesi ile hava boşluğu hacimlerinin iştirak oranlarına bağlı bulunmaktadır. Birim hacimdeki hava boşluğu iştirak oranı arttıkça odun hafiflemekte, hücre çeperi hacmi oranı arttıkça ağırlaşmaktadır. Bu temel esasa göre, farklı yoğunluk değerlerinde hücre çeperi ve hava boşluğu hacim oranları da farklılık gösterecektir. BERKEL (1970) tarafından hücre çeperi yoğunluğu yaklaşık 1.50 g/cm^3 olarak belirtilmiştir [29]. Hücre çeperi hacmini bulmak amacıyla aşağıdaki formülden yararlanılmıştır.

$$V_{\text{ç}} = \frac{D_0}{D_{\text{ç}}} \times 100$$

Formülde;

$V_{\text{ç}}$ = Hücre çeperi hacmi

D_0 = Tam kuru yoğunluk değeri (g/cm^3)

$D_{\text{ç}}$ = Hücre çeperi yoğunluğu (1.50 g/cm^3 olarak alınmıştır).

Tam kuru halde ve belirli bir hacimde bulunan odun içerisinde hücre çeperi ve hava boşluğu hacimlerinin genel hacimdeki oranları toplamı 100'e eşittir. Bu eşitlik formül olarak ifade edilirse,

$$V_{\text{ç}} + V_H = 100' \text{dür.}$$

Formülde;

$V_{\text{ç}}$ = Hücre çeperi hacmi

V_H = Hava boşluğu hacmi

Buradan;

$$V_H = 100 - V_{\text{ç}} \text{ bulunur.}$$

II.8 Hacim Ağırlık Değeri

Bu değer, taze haldeki 1 m^3 odunda kaç kg kuru odun maddesi bulunduğu göstermektedir. Hacim ağırlık değerinin tespiti ile lif verimi ve birim hacimdeki yaş odundan elde edilecek kuru odun miktarı hesap edilebilmektedir.

Ceviz odununda hacim ağırlık değeri, yoğunluk denemelerinin gerçekleştirildiği örnekler üzerinde tespit edilmiştir. Tam kuru yoğunluk değerinin hesaplanması sırasında örneklerin tam kuru ağırlıkları belirlenmiştir. Bu deneyden sonra, örnekler su içeresine batırılarak boyutları değişmez hale gelinceye dek bekletilmiştir. Daha sonra suyun içерisinden çıkarılan örnekler kuru bir bez yardımı ile kurutularak her üç boyutu 0.01 mm hassasiyette ölçme yapabilen mikrometreli kompasla ölçüлerek hacimlendirilmiştir. Daha sonra hacim ağırlık değeri aşağıdaki formüle göre hesaplanmıştır.

$$R = \frac{W_0}{V_T} \text{ g/cm}^3$$

Formülde;

R = Hacim ağırlık değeri (g/cm^3)

W_0 = Tam kuru ağırlık (g)

V_T = Lif doygunluğu üstündeki hacim (cm^3)

II.8.1 Tam Kuru Yoğunluk İle Hacim Ağırlık Değeri Arasındaki İlişki

Bu ilişkiyi belirlemek amacıyla, örneklerde ait yoğunluk ve hacim ağırlık değerleri arasında regresyon analizi yöntemine göre regresyon katsayıları bulunmuş ve ilişki grafik halinde verilmiştir.

II.9 Sorpsiyon Denemeleri

Odun, lif doygunluğu rutubet derecesine kadar, bünyesine su almak sureti ile genişlemekte, su vermekle de daralmaktadır. Odundaki bu genişleme ve daralma olayına çalışma adı verilmektedir. Daralma ve genişleme miktarları ağaç malzemenin her yönünde aynı değildir. Çalışma en fazla teğet en az ise liflere paralel yönde olmaktadır. Boyuna yönde çalışma yüzdesi çok küçük miktarda olduğu için, ilgili standartlarda da belirtildiği gibi hacmen daralma ve genişleme miktarlarının hesaplanması sırasında ihmali edilebilmektedir. Sorpsiyon denemeleri TS 4083-4084-4085-4086 (1983)'e göre yapılmıştır [50, 51, 52, 53].

Ceviz odununda sorpsiyon denemeleri 10 adet örnek ağacın 2.30 ve 4.30 m yüksekliklerinden alınan gövde kesitlerinden kuzey-güney ve doğu-batı yönleri doğrultusunda çıkarılan 30x30x15 mm boyutlarındaki örnekler üzerinde gerçekleştirilmiştir. Boyuna yöndeki çalışma dikkate alınmamıştır. Daralma denemeleri için toplam 262 adet, genişleme denemeleri için ise toplam 260 adet örnek kullanılmıştır. Örneklerin tamamen kusursuz olmasına, ayrıca tam radyal ve teğet yüzeyleri içermelerine dikkat edilmiştir.

Daralma miktarını hesaplayabilmek amacı ile örnekler su içerisinde batırılarak boyutları değişmez hale gelinceye dek bekletilmiştir. Daha sonra su içerisinde çıkarılan örneklerin üzerindeki fazla su bir kurutma kağıdı yardımı ile alınmış ve ölçme işlemeye geçirilmiştir. 0.01 mm hassasiyetle ölçme yapabilen kompas yardımı ile radyal ve teğet ölçüler belirlenmiştir. Daha sonra örnekler kurutulmak üzere fırınlara konulmuş ve sıcaklık kademeli olarak 103 ± 2 °C'ye çıkarılmıştır. Değişmez ağırlığa gelen örnekler fırınlardan alınarak desikatörlere konularak soğumaları sağlanmıştır. Bu işlemden sonra, tam kuru haldeki radyal ve teğet ölçüler tespit edilmiştir. Daralma yüzdeleri (β) aşağıda verilen formüle göre hesaplanmıştır.

$$\beta = \frac{\text{Rutubetli Ölçü} - \text{Tam Kuru Ölçü}}{\text{Rutubetli Ölçü}} \times 100$$

Radyal yönde alınan ölçüler formülde yerine konulup radyal daralma (β_r), teğet yönde alınan ölçüler formüle yerleştirilip teğet daralma yüzdeleri (β_t) bulunmuştur. Hacmen daralma miktarı (β_v) ise, radyal ve teğet yönde daralma yüzdelerini toplamak suretiyle elde edilmiştir.

Genişleme yüzdelerini bulmak için örnekler, önce fırınlara konulmuş ve 103 ± 2 °C'de değişmez ağırlığa gelinceye kadar kurutulmuşlardır. Desikatöre alınarak soğutulup radyal ve teğet ölçüleri tespit edilmiştir. Bundan sonra su içerisinde konularak boyutları değişmez hale gelmeleri sağlanmış ve ölçme işlemleri tekrarlanmıştır. Genişleme yüzdeleri aşağıdaki formüle göre hesaplanmıştır.

$$\alpha = \frac{\text{Rutubetli Ölçü} - \text{Tam Kuru Ölçü}}{\text{Tam Kuru Ölçü}} \times 100$$

Radyal yönde alınan ölçüler formülde yerine konulup radyal genişleme (α_r), teğet yönde alınan ölçüler formüle yerleştirilip teğet genişleme yüzdeleri (α_t) bulunmuştur. Hacmen genişleme miktarı (α_v) ise radyal ve teğet yöndeki genişleme yüzdelerini toplamak suretiyle elde edilmiştir.

II.10 Lif Doygunluğu Rutubet Derecesi

Lif doygunluğu noktasına ulaşmış bir odunda hücre çeperi içerisindeki tüm boşluklar su ile doygun durumdadır. Bu rutubet derecesi, değişik ağaç türlerinde farklılık göstermektedir. Lif doygunluğu rutubet derecesi şu formülle hesaplanmıştır [54].

$$M_f = \frac{\beta_v}{R} (\%)$$

Bu formül $\beta_v = M_f \times R$ eşitliğinden çıkarılmaktadır.

Bu formülde;

M_f = Lif doygunluğu rutubet derecesi (%)

β_v = Hacmen daralma yüzdesi (%)

R = Hacim ağırlık değeri (g/cm³)

II.11 Ceviz Odununun İçerisine Alabileceği En Yüksek Su Miktarı

Ceviz odununun içine alabileceği maksimum su miktarı aşağıda verilen formüle göre hesaplanmıştır [54].

$$M_{\max} = (1.5-R)/1.5 \quad R = 1/R - 0.667$$

Bu formülde;

M_{\max} = Odunun içine alabileceği maksimum su miktarı (%)

R = Hacim ağırlık değeri (g/cm^3)

II.12 Verilerin İstatistik Değerlendirilmesi

Ceviz odununda yapılan araştırmalar sonucunda elde edilen veriler üzerinde bölge, yön, farklı yıllık halka genişlikleri ve bonitet birer ayırm kriteri olarak dikkate alınmıştır. Yapılan istatistik testler yardımcı ile bu kriterlerin meydana getirdiği etkinin önemli olup olmadığı sınanmıştır. Yön ayırm kriteri için değerlendirmeler kuzey ve güney yönde yapılırken, yıllık halka genişliği ayırm kriteri için 0-4 mm, 4-8 mm ve 8-12 mm'lik genişlik grupları oluşturulmuş ve ilgili özellik üzerindeki etkileri araştırılmıştır. Ayrıca, sadece lif uzunluğu değerlendirmelerinde 5'er yıllık yaş kademeleri farklı bir kriter olarak ele alınmıştır.

Örnek ağaçların ait olduğu yetişme ortamının verim gücü gruplarının (bonitet) belirlenebilmesi için, her ağaçın yaşına (yıl) ve boyuna (m) bağlı olarak büyümeye eğrileri (açık S eğrisi) çizilmiştir. Bu eğrilerin gidişine göre, belirli yaş basamaklarında en fazla gelişim gösteren ağaçlar I. bonitet, en az gelişim gösteren ağaçlar III. bonitet, arada kalanlar ise II. bonitet olarak gruplandırılmışlardır.

Yukarıda belirtilen kriterlerin etkisi Bartlett testi ve varyans analizi uygulanarak araştırılmıştır. Bu testlerin uygulanabilmesi için toplumların normal dağılım göstermesi gerekmektedir. Bu nedenle öncelikle her grubun frekans dağılım grafikleri bilgisayar yardımı ile çizilmiş ve dağılımların normal ya da yaklaşıklık normal olup olmadığı kontrol edilmiştir.

Veri gruplarının oluşturduğu istatistik toplumların özdeş (benzer) sayılabilmesi için hem varyanslarının hemde aritmetik ortalamalarının eşit olması gerekmektedir. Bu nedenle, araştırmada Bartlett testi ile önce varyanslar, ardından varyans analizi testi ile aritmetik ortalamalar karşılaştırılmıştır. Bartlett testi ile varyansların farklı çıkması durumunda alt toplumlar* arasında belirli güven düzeyinde anlamlı bir farklılık olduğu kabul edilmiştir [55].

Varyans analizi iki ve daha çok sayıdaki alt toplumların aritmetik ortalamalar bakımından aynı ana topluma dahil olup olmadığını test etmek için kullanılmaktadır. Alt toplumlar arasında istatistik anlamda fark çıkması durumunda, hangisinin farklılık gösterdiğini ortaya koyamamaktadır. Farklı toplum ya da toplumların belirlenebilmesi amacıyla Duncan testi uygulanmıştır [55].

Toplumlar arasında çıkan farklılığın güven düzeyleri “*” işaretini ile sembolize edilmiştir. % 95 güven düzeyi için (*), %99 güven düzeyi için (**), % 99.9 güven düzeyi için ise (***) konulmuştur. Farklılık çıkmaması durumu ise N.S. (nonsignificant) işaretini ile gösterilmiştir.

Ayrıca incelenen bazı özelliklere ait varyasyon grafikleri çizilmiş ve bu özelliklere ait verilerin normal dağılım gösterip göstermedikleri Khi Kare testi yoluyla denetlenmiştir [55].

Bartlett testi, varyans analizi ve Duncan testi SPSS (Statistical Package For The Social Science) istatistik bilgisayar paket programı yardımı ile uygulanmıştır. Aritmetik ortalama, standart sapma, varyans vb. gibi istatistik değerler ise Microsoft Excel İstatistik programları ile gerçekleştirilmiştir.

* Bir toplumun bireyleri, bazı ortak özelliklere göre (bonitet, yön, yaş, yıllık halka genişliği vb.) gruplandırılabilir suretiyle birkaç alt topluma ayrılabilir.

III. BULGULAR VE İRDELENMESİ

III.1 Makroskopik Özellikler

Diri odun grimsi beyaz ile kırmızımsı gri, öz odun gri kahverengi ile koyu kahverenginde, yer yer koyu şeritli olup öz kısmı bölmeli yapıdadır. Yillik halka sınırları özellikle geniş olan halkalarda belirgindir. Odunu yarı halkalı traheli düzende, traheler çoğunlukla tek tek, zaman zaman 2-4 adet radyal sıralı, çoğunlukla öz odun kısmında içlerinde tüller mevcuttur. Öz işinleri dar, boyuna paranşimler ise kısa teget şeritler halinde olup, lup altında görülebilmektedir. Radyal kesitte öz işinleri küçük kısa aynacıklar halindedir. Boyuna kesitlerde traheler iğne çizikleri şeklinde görülmektedir. Odunu mat, orta sert ve ağır olup, oldukça dekoratifdir.

III.1.1 Kabuk

Gövde kabuğu grimsi renkte, çatlaksız ve parlaktır. Yapılan ölçmeler sonucunda kabuk yüzdesine ait bulunan minimum, ortalama ve maksimum değerler her bölge için ayrı olmak üzere Tablo III.1'de verilmiştir.

Tablo III.1: Kabuk Yüzdeleri

| İstatistik Özellikler | B ö l g e l e r | | | |
|--------------------------|-----------------|-------|---------|-------|
| | Altınçay | Aktaş | Kocaman | Genel |
| Minimum (%) | 10.66 | 8.73 | 7.11 | 7.11 |
| Ortalama (%) | 12.07 | 10.75 | 9.70 | 10.80 |
| Maksimum (%) | 13.92 | 12.35 | 11.43 | 13.92 |

Tablo III.1 incelendiğinde; kabuk yüzdelere ait ortalama değerlerin Altınçay Bölgesi için % 12.07, Aktaş Bölgesi için % 10.75, Kocaman Bölgesi için % 9.70, genel ortalamanın ise % 10.80 olduğu görülmektedir.

Sonuç olarak; kabuk oranı Altınçay Bölgesinde en yüksek, Kocaman Bölgesinde ise en düşük bulunmuştur. Bu durumun büyük ölçüde bonitet faktöründen ve ağaçların yaşından kaynaklandığı düşünülmektedir. Düşük bonitetlerde ve ağaç yaşı arttıkça

kabuk oranı da artış göstermektedir. Altınçay Bölgesine ait üç örnek ağaçtan 1 ve 2 no'lu ağaçlar III. bonitet sınıfına girerken aynı bölge en yüksek yaşı ortalamasına da (48) sahiptir.

III.1.2 Öz Odun

Yapılan incelemeler sonucunda; örnek ağaçlara ait öz odun hacmi, öz odun hacmi katılım oranı, öz odun genişliği, gövde kesitlerinde öz odun alanı ve gövde enine kesitine katılım oranı hesaplanmıştır. Sonuçlar sırası ile Tablo III.2, Tablo III.3, Tablo III.4, Tablo III.5'de verilmiş bulunmaktadır.

Ceviz ağacında öz odun oluşum yaşıının 15-38 yaş arasında değişim gösterdiği, ortalama öz odun oluşum yaşıının ise 27 olduğu tespit edilmiştir.

Tablo III.2: Öz Odun Hacmi

| İstatistik Değerler | B ö l g e l e r | | | |
|------------------------|-----------------|-------|---------|-------|
| | Altınçay | Aktaş | Kocaman | Genel |
| Minimum (m^3) | 0.078 | 0.015 | 0.075 | 0.015 |
| Ortalama (m^3) | 0.124 | 0.071 | 0.127 | 0.104 |
| Maksimum (m^3) | 0.205 | 0.132 | 0.188 | 0.205 |

Tablo III.2 incelendiğinde; ortalama öz odun hacmi değerlerinin Altınçay Bölgesinde $0.124\ m^3$, Aktaş Bölgesinde $0.071\ m^3$, Kocaman Bölgesinde $0.127\ m^3$, genel ortalamanın ise $0.104\ m^3$ olduğu görülmektedir. Böylece, en yüksek öz odun hacminin Kocaman Bölgesinde, en az ise Aktaş Bölgesinde olduğu, Altınçay ve Kocaman Bölgelerinin ise birbirine yakın değerlere sahip bulunduğu anlaşılmaktadır. Aktaş Bölgesinin diğer iki bölgeye göre daha düşük öz odun hacmine sahip olmasında, yaşı faktörünün etkili olduğu düşünülmektedir. Bu bölgede ağaç yaşı ortalaması en az olup, ortalama yaşı 31'dir.

Tablo III.3: Öz Odun Hacmi Katılım Oranı

| İstatistik Özellikler | B ö l g e l e r | | | |
|--------------------------|-----------------|-------|---------|-------|
| | Altınçay | Aktaş | Kocaman | Genel |
| Minimum (%) | 10.42 | 2.52 | 11.11 | 2.52 |
| Ortalama (%) | 14.65 | 12.14 | 13.45 | 13.29 |
| Maksimum (%) | 22.31 | 19.88 | 17.42 | 22.31 |

Tablo III.3'de görüldüğü gibi; öz odun hacmi katılım oranı Altınçay Bölgesinde % 14.65, Aktaş Bölgesinde % 12.14, Kocaman Bölgesinde % 13.45, genel ortalama ise % 13.29 olarak tespit edilmiştir. Aktaş Bölgesinde öz odun hacmi katılım oranının daha düşük olmasının, bu bölgede ağaçların daha genç olmasından kaynaklandığı düşünülmektedir.

Tablo III.4: Öz Odun Genişliği (cm)

| Kesit Yüksekliği (m) | A ğ a ç N u m a r a l a r i | | | | | | | | | |
|-------------------------|-----------------------------|-------|-------|-------|-------|------|------|-------|-------|-------|
| | 1 | 2 | 3 | 4 | 5 | 6 | 7 | 8 | 9 | 10 |
| 0.30 | 22.20 | 8.00 | 11.00 | 5.80 | 9.50 | 3.40 | 4.20 | 35.80 | 14.20 | 22.20 |
| 1.30 | 20.80 | 11.60 | 14.80 | 11.70 | 15.30 | 7.40 | 8.60 | 26.40 | 16.60 | 12.40 |
| 2.30 | 19.00 | 11.30 | 14.70 | 14.90 | 15.40 | 5.90 | 9.60 | 23.00 | 16.80 | 11.00 |
| 4.30 | 17.80 | 11.40 | 13.70 | 12.40 | 15.70 | 4.40 | 9.00 | 14.10 | 14.30 | 9.20 |
| 6.30 | 15.10 | 10.40 | 8.80 | 8.40 | 13.90 | 4.00 | 6.90 | 4.10 | 9.60 | 4.40 |
| 8.30 | 7.70 | 6.40 | 7.00 | * | 8.60 | 2.80 | 3.10 | 4.60 | 5.50 | * |
| 10.30 | 4.10 | ** | * | * | 4.60 | * | * | 1.00 | * | * |
| 12.30 | * | ** | * | ** | ** | ** | * | * | * | ** |

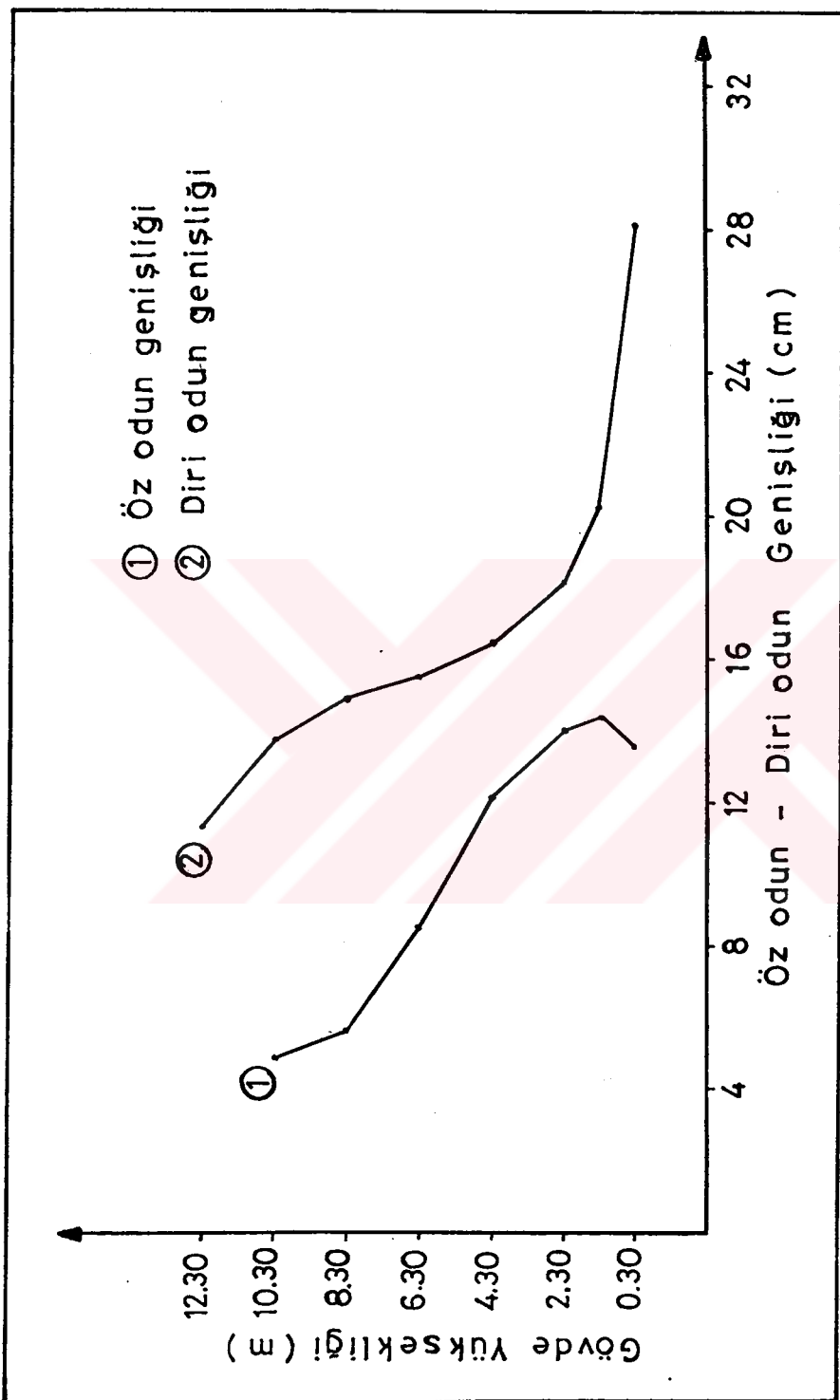
* : Öz odun bulunmayan kesitler

** : Bu yüksekliklerden kesit alınmadığını göstermektedir

Tablo III.4 incelendiğinde; 2-3-6 numaralı ağaçlarda 1.30 m yüksekliğe, 4-5-7-9 numaralı ağaçlarda 2.30 m yüksekliğe kadar öz odun genişliğinde artış olduğu, 1-8-10 numaralı ağaçlarda ise 0.30 m yükseklikte öz odun genişliğinin maksimuma ulaştığı ve bu yüksekliklerden itibaren azalmaya başladığı görülmektedir.

Öz odun genişliğinin boyuna yönde değişimi Şekil III.1'de grafik olarak gösterilmiştir.

Şekil III.1'incelendiğinde, öz odun genişliğinin 1.30 m yüksekliğe kadar arttığı ve bu noktadan sonra gövde boyunca azalma gösterdiği, diri odun genişliğinin ise 0.30-1.30 m'lerde belirgin biçimde, 1.30 m'den sonra daha yavaş azaldığı görülmektedir.



Şekil III.1: Öz Odun-Diri Odun Genişliğinin Gövde Yüksekliğinde Değişimi.

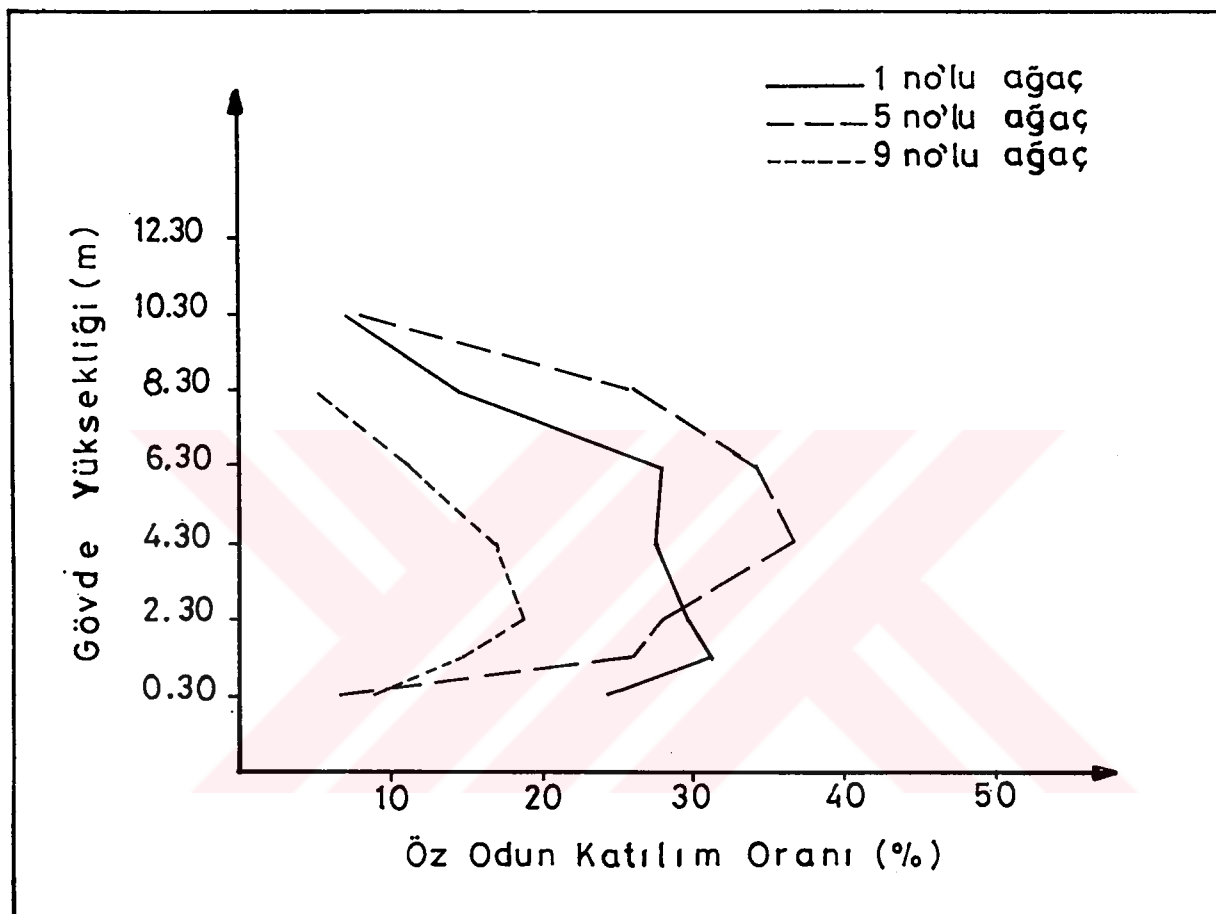
Tablo III.5: Gövde Kesitinde Öz Odun Alanı ve Katılım Oranı

| Kesit Yük- sekliği (m) | 1 no'lu ağaç | | 2 no'lu ağaç | | 3 no'lu ağaç | | 4 no'lu ağaç | | 5 no'lu ağaç | | 6 no'lu ağaç | | 7 no'lu ağaç | | 8 no'lu ağaç | | 9 no'lu ağaç | | 10 no'lu ağaç | |
|---------------------------------|----------------------------|-------------------------|----------------------------|-------------------------|----------------------------|-------------------------|----------------------------|-------------------------|----------------------------|-------------------------|----------------------------|-------------------------|----------------------------|-------------------------|----------------------------|-------------------------|----------------------------|-------------------------|----------------------------|-------------------------|
| | Alan (cm ²) | Katılım Oranı (%) | Alan (cm ²) | Katılım Oranı (%) | Alan (cm ²) | Katılım Oranı (%) | Alan (cm ²) | Katılım Oranı (%) | Alan (cm ²) | Katılım Oranı (%) | Alan (cm ²) | Katılım Oranı (%) | Alan (cm ²) | Katılım Oranı (%) | Alan (cm ²) | Katılım Oranı (%) | Alan (cm ²) | Katılım Oranı (%) | Alan (cm ²) | Katılım Oranı (%) |
| 0.30 | 386.88 | 24.23 | 50.24 | 4.32 | 94.99 | 7.31 | 26.41 | 2.50 | 70.85 | 6.56 | 9.08 | 0.69 | 13.85 | 1.87 | 1006.09 | 42.06 | 158.29 | 8.75 | 386.88 | 24.89 |
| 1.30 | 339.62 | 31.43 | 105.63 | 12.14 | 171.95 | 17.19 | 107.46 | 15.31 | 183.76 | 26.01 | 11.62 | 1.38 | 58.06 | 12.03 | 547.11 | 29.51 | 216.32 | 14.97 | 120.70 | 13.07 |
| 2.30 | 283.39 | 29.81 | 100.24 | 12.79 | 169.63 | 19.37 | 174.28 | 27.33 | 186.17 | 28.20 | 27.33 | 4.47 | 72.35 | 18.37 | 415.27 | 25.55 | 221.56 | 18.65 | 94.99 | 12.12 |
| 4.30 | 248.72 | 27.73 | 102.02 | 16.94 | 147.34 | 22.32 | 120.70 | 21.09 | 193.50 | 36.75 | 15.20 | 3.72 | 63.59 | 19.09 | 156.07 | 14.68 | 160.53 | 17.38 | 66.44 | 9.86 |
| 6.30 | 178.99 | 27.88 | 84.91 | 14.62 | 60.79 | 12.80 | 55.39 | 11.47 | 151.67 | 33.82 | 12.56 | 4.00 | 37.37 | 16.47 | 13.20 | 3.10 | 72.35 | 11.35 | 15.20 | 2.82 |
| 8.30 | 46.54 | 14.53 | 32.15 | 13.22 | 38.47 | 9.60 | * | * | 58.06 | 26.21 | 6.15 | 1.88 | 7.54 | 3.57 | 16.61 | 4.75 | 23.75 | 5.25 | * | * |
| 10.30 | 13.20 | 7.18 | ** | ** | * | * | * | * | 16.61 | 7.96 | * | * | * | * | 0.79 | 0.40 | * | * | * | * |
| 12.30 | * | * | ** | ** | * | * | * | ** | ** | ** | ** | ** | * | * | * | * | * | ** | ** | ** |

* : Öz odun bulunmayan kesitler.

: Bu yüksekliklerden kesit alınmamıştır.

Tablo III.5 incelediğinde; öz odun alanının çeşitli gövde yüksekliklerinde öz odun genişliğine benzer bir değişim gösterdiği, katılım oranının ise gövde kesit alanına ve öz odun alanına bağlı olarak gövde yüksekliğinde değiştiği görülmektedir. Her araştırma bölgesinden seçilen birer adet örnek ağaç üzerinde öz odun katılım oranının boyuna yöndeği değişimi Şekil III.2'de verilmiştir.



Şekil III.2: Öz Odun Katılım Oranının Gövde Yüksekliğinde Değişimi.

Şekil III.2'de; öz odun katılım oranının 1 no'lu ağaçta 1.30 m'ye kadar arttığı bu noktadan sonra azalmaya başladığı, 5 no'lu ağaçta artışın 4.30 m yüksekliğine kadar devam ettiği ve daha sonra yükseklik arttıkça öz odun katılım oranının azaldığı görülmektedir. 9 no'lu ağaçta ise öz odun katılım oranı 2.30 m yüksekliğine kadar artmakta ve bu noktadan sonra azalış göstermektedir.

III.1.3 Diri Odun

Diri odunun gövde hacmine katılım oranı tespit edilerek sonuçlar Tablo III.6'da verilmiştir.

Tablo III.6: Diri Odun Hacmi Katılım Oranı

| İstatistik Değerler | B ö l g e l e r | | | |
|------------------------|-----------------|-------|---------|-------|
| | Altınçay | Aktaş | Kocaman | Genel |
| Minimum (%) | 77.69 | 80.12 | 82.58 | 77.69 |
| Ortalama (%) | 85.35 | 87.86 | 86.55 | 86.71 |
| Maksimum (%) | 89.58 | 97.48 | 88.89 | 97.48 |

Tablo III.6 incelendiğinde; diri odun katılım oranının Altınçay Bölgesinde % 85.35, Aktaş Bölgesinde % 87.86, Kocaman Bölgesinde % 86.55 olduğu, genel ortalamanın ise % 86.71 olarak tespit edildiği görülmektedir. Ortalama değerler karşılaştırıldığında, bölgeler arasında büyük farklılıkların olmadığı görülmektedir. Öz odun hacmi katılım oranları ile karşılaştırıldığında, örnek ağaçların oldukça yüksek oranda diri oduna sahip oldukları anlaşılmaktadır.

Araştırma alanlarından alınan tüm ağaçlar üzerinde yapılan diri odun genişliği ölçümülerine ait sonuçlar Tablo III.7'de verilmiştir.

Tablo III.7: Diri Odun Genişliği (cm)

| Kesit Yüksekliği (m) | A ğ a ç N u m a r a l a r i | | | | | | | | | |
|----------------------------|-----------------------------|-------|-------|-------|-------|-------|-------|-------|-------|-------|
| | 1 | 2 | 3 | 4 | 5 | 6 | 7 | 8 | 9 | 10 |
| 0.30 | 22.90 | 30.50 | 29.70 | 30.90 | 27.60 | 37.60 | 26.50 | 19.40 | 33.80 | 22.30 |
| 1.30 | 16.30 | 21.70 | 20.90 | 18.20 | 14.70 | 25.30 | 16.20 | 22.20 | 26.30 | 21.90 |
| 2.30 | 15.80 | 20.30 | 18.70 | 13.60 | 13.60 | 22.00 | 12.80 | 22.50 | 22.10 | 20.60 |
| 4.30 | 16.00 | 16.30 | 15.30 | 14.60 | 10.20 | 18.40 | 11.60 | 22.70 | 20.00 | 20.10 |
| 6.30 | 13.50 | 16.80 | 15.80 | 16.40 | 10.00 | 16.00 | 10.10 | 19.20 | 18.90 | 21.80 |
| 8.30 | 12.50 | 11.20 | 15.60 | 21.00 | 8.20 | 17.60 | 13.30 | 16.50 | 18.50 | 17.50 |
| 10.30 | 11.20 | - | 16.70 | 15.60 | 11.70 | 12.80 | 12.90 | 14.90 | 14.80 | 14.40 |
| 12.30 | 14.50 | - | 11.50 | - | - | - | 8.80 | 9.70 | 13.00 | - |

Tablo III.7 incelediğinde; bütün ağaçların dip kısımlarında (0.30 m) diri odun genişliğinin en fazla olduğu, gövdede yukarılara doğru çıkışıkça bazı kesitlerde az miktarda artış görülse bile, genel olarak diri odun genişliğinde azalma meydana geldiği anlaşılmaktadır.

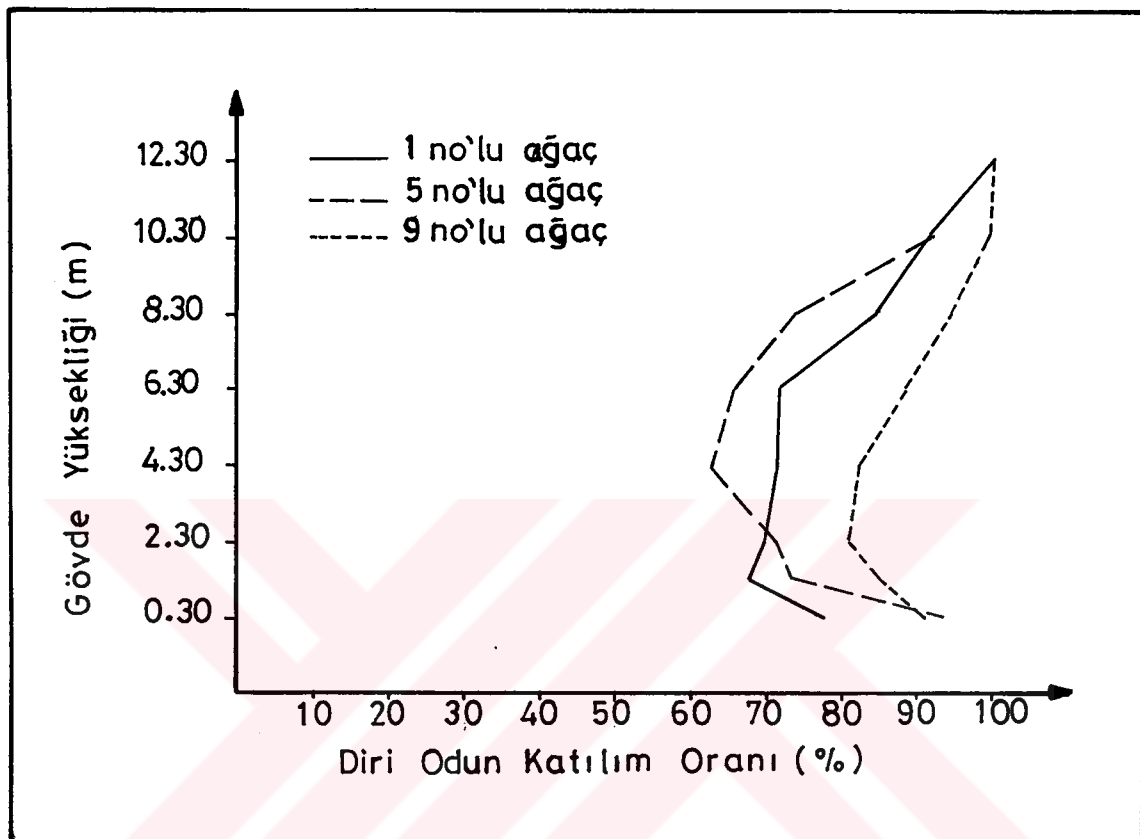
Diri odun genişliğinin boyuna yönde değişimi Şekil III.1'de grafik olarak gösterilmiştir.

Gövde kesitinde diri odun alanı ve katılım oranları hesaplanarak bulunan değerler Tablo III.8'de verilmiştir.

Tablo III.8: Gövde Kesitinde Diri Odun Alanı ve Katılım Oranı

| Kesit Yük. (m) | 1 no'lu ağaç | | 2 no'lu ağaç | | 3 no'lu ağaç | | 4 no'lu ağaç | | 5 no'lu ağaç | | 6 no'lu ağaç | | 7 no'lu ağaç | | 8 no'lu ağaç | | 9 no'lu ağaç | | 10 no'lu ağaç | |
|----------------------|----------------------------|-------------------------|----------------------------|-------------------------|----------------------------|-------------------------|----------------------------|-------------------------|----------------------------|-------------------------|----------------------------|-------------------------|----------------------------|-------------------------|----------------------------|-------------------------|----------------------------|-------------------------|----------------------------|-------------------------|
| | Alan (cm ²) | Katılım Oranı (%) | Alan (cm ²) | Katılım Oranı (%) | Alan (cm ²) | Katılım Oranı (%) | Alan (cm ²) | Katılım Oranı (%) | Alan (cm ²) | Katılım Oranı (%) | Alan (cm ²) | Katılım Oranı (%) | Alan (cm ²) | Katılım Oranı (%) | Alan (cm ²) | Katılım Oranı (%) | Alan (cm ²) | Katılım Oranı (%) | Alan (cm ²) | Katılım Oranı (%) |
| 0.30 | 1209.82 | 75.77 | 1113.33 | 95.68 | 1205.36 | 92.69 | 1030.90 | 97.50 | 1009.63 | 93.44 | 1310.51 | 99.31 | 726.01 | 98.13 | 1385.84 | 57.94 | 1650.35 | 91.25 | 1167.62 | 75.11 |
| 1.30 | 740.86 | 68.57 | 764.85 | 87.86 | 828.53 | 82.81 | 594.34 | 84.69 | 522.74 | 73.99 | 827.77 | 98.62 | 424.75 | 87.97 | 1307.03 | 70.49 | 1228.40 | 85.03 | 802.85 | 86.93 |
| 2.30 | 667.28 | 70.19 | 683.63 | 87.21 | 706.09 | 80.63 | 463.34 | 72.67 | 474.02 | 71.80 | 583.72 | 95.53 | 321.53 | 81.63 | 1209.88 | 74.45 | 966.31 | 81.35 | 688.88 | 87.88 |
| 4.30 | 648.10 | 72.27 | 500.30 | 83.06 | 512.85 | 77.68 | 451.57 | 78.91 | 333.09 | 63.25 | 392.87 | 96.28 | 269.54 | 80.91 | 907.01 | 85.32 | 763.02 | 82.62 | 607.48 | 90.14 |
| 6.30 | 463.10 | 72.12 | 495.86 | 85.38 | 414.26 | 87.20 | 427.42 | 88.53 | 296.73 | 66.18 | 301.44 | 96.00 | 189.50 | 83.53 | 412.97 | 96.90 | 565.27 | 88.65 | 523.66 | 97.18 |
| 8.30 | 273.77 | 85.47 | 211.01 | 86.78 | 362.48 | 90.40 | 346.19 | 100 | 163.50 | 73.79 | 320.54 | 98.12 | 203.59 | 96.43 | 332.88 | 95.25 | 428.41 | 94.75 | 240.41 | 100 |
| 10.30 | 170.56 | 92.82 | - | - | 218.93 | 100 | 191.04 | 100 | 191.96 | 92.04 | 128.61 | 100 | 130.63 | 100 | 197.67 | 99.60 | 171.95 | 100 | 162.78 | 100 |
| 12.30 | 165.05 | 100 | - | - | 103.82 | 100 | - | - | - | - | - | - | 60.79 | 100 | 73.86 | 100 | 132.67 | 100 | - | - |

Tablo III.8 incelendiğinde; bütün ağaçlarda diri odun alanının gövde yüksekliği arttıkça azaldığı, gövde kesit alanına katılım oranının ise hemen her ağaç için değişen bir yüksekliğe kadar düşüş gösterdiği ve daha sonra arttığı görülmektedir. Her araştırma alanından seçilen birer adet örnek ağaç üzerinde, diri odun katılım oranının boyuna yöndeki değişimi Şekil III.3'de verilmiştir.



Şekil III.3: Diri Odun Katılım Oranının Gövde Yüksekliğinde Değişimi.

Şekil III.3'de diri odun katılım oranı 1 no'lu ağaçta 1.30 m, 5 no'lu ağaçta 4.30 m yüksekliğe kadar önce belirli bir azalma, bu yüksekliklerden sonra ise artış göstermektedir. 9 no'lu ağaçta ise, diri odun katılım oranı 2.30 m yüksekliğe kadar bir azalış ve bu noktadan sonra gövde yüksekliği boyunca artış göstermektedir.

Örnek ağaçların tümü için belirlenen diri odun ve öz odun yıllık halka sayıları Tablo III.9'da verilmiştir.

Tablo III.9: Diri Odun ve Öz Odun Yıllık Halka Sayısı

| Kesit Yüksekliği (m) | 1 no'lu ağaç | | 2 no'lu ağaç | | 3 no'lu ağaç | | 4 no'lu ağaç | | 5 no'lu ağaç | | 6 no'lu ağaç | | 7 no'lu ağaç | | 8 no'lu ağaç | | 9 no'lu ağaç | | 10 no'lu ağaç | |
|----------------------------|--------------|------------|--------------|------------|--------------|------------|--------------|------------|--------------|------------|--------------|------------|--------------|------------|--------------|------------|--------------|------------|---------------|------------|
| | Diri Odun | Öz Odun | Diri Odun | Öz Odun | Diri Odun | Öz Odun | Diri Odun | Öz Odun | Diri Odun | Öz Odun | Diri Odun | Öz Odun |
| 0.30 | 29 | 19 | 34 | 10 | 35 | 10 | 28 | 7 | 26 | 7 | 21 | 3 | 19 | 4 | 15 | 16 | 23 | 10 | 12 | 22 |
| 1.30 | 28 | 19 | 23 | 18 | 30 | 14 | 22 | 11 | 19 | 11 | 17 | 5 | 15 | 6 | 17 | 11 | 21 | 10 | 22 | 8 |
| 2.30 | 28 | 17 | 22 | 15 | 30 | 13 | 19 | 13 | 18 | 13 | 16 | 5 | 12 | 8 | 18 | 8 | 19 | 10 | 20 | 8 |
| 4.30 | 26 | 17 | 21 | 12 | 30 | 10 | 19 | 11 | 15 | 12 | 15 | 3 | 11 | 7 | 16 | 8 | 19 | 9 | 20 | 7 |
| 6.30 | 26 | 15 | 20 | 9 | 30 | 8 | 19 | 7 | 14 | 12 | 13 | 2 | 10 | 5 | 19 | 4 | 17 | 8 | 21 | 5 |
| 8.30 | 24 | 10 | 17 | 5 | 30 | 6 | 23 | * | 14 | 11 | 11 | * | 11 | 3 | 16 | 4 | 17 | 4 | 21 | * |
| 10.30 | 26 | 6 | ** | ** | 35 | * | 21 | * | 16 | 7 | ** | ** | 11 | * | 16 | 2 | 20 | * | 20 | * |
| 12.30 | 30 | * | ** | ** | 32 | * | ** | ** | ** | ** | * | * | 9 | * | 15 | * | 18 | * | ** | ** |

* Öz odun bulumayan kesitler

** Bu yüksekliklerden kesit alınmamıştır

Tablo III.9 incelendiğinde; gövde yüksekliği boyunca öz odun yıllık halka sayısı genel olarak bir azalış gösterirken, diri odun yıllık halka sayısında genel olarak fazla değişiklik görülmemektedir.

Deneme ağaçlarının tümünde, ayrıca öz odun yıllık halka yüzdeleri hesaplanmış ve Tablo III.10'da verilmiştir.

Tablo III.10: Öz Odun Yıllık Halka Yüzdesi (%)

| Kesit Yüksekliği (m) | A ğ a c N u m a r a l a r i | | | | | | | | | |
|----------------------------|-----------------------------|-------|-------|-------|-------|-------|-------|-------|-------|-------|
| | 1 | 2 | 3 | 4 | 5 | 6 | 7 | 8 | 9 | 10 |
| 0.30 | 39.58 | 22.73 | 22.22 | 20.00 | 21.21 | 12.50 | 17.39 | 51.61 | 30.30 | 64.70 |
| 1.30 | 40.43 | 43.90 | 31.82 | 33.33 | 36.67 | 22.73 | 28.57 | 39.29 | 32.26 | 26.27 |
| 2.30 | 37.78 | 40.54 | 30.23 | 40.63 | 44.83 | 23.81 | 40.00 | 30.77 | 34.48 | 28.57 |
| 4.30 | 39.53 | 36.36 | 25.00 | 36.67 | 44.44 | 16.67 | 38.89 | 33.33 | 32.14 | 25.93 |
| 6.30 | 36.59 | 31.03 | 21.05 | 26.92 | 46.15 | 13.33 | 33.33 | 17.39 | 32.00 | 19.23 |
| 8.30 | 29.41 | 22.73 | 16.67 | * | 44.00 | * | 21.43 | 20.00 | 19.05 | * |
| 10.30 | 18.75 | ** | * | * | 30.44 | ** | * | 11.11 | * | * |
| 12.30 | * | ** | * | ** | ** | ** | * | * | * | ** |

* Öz odun bulunmayan kesitler

** Bu yüksekliklerden kesit alınmamıştır

Tablodaki öz odun yıllık halka yüzdeleri bir önceki tablo ile karşılaştırılacak olursa, gövdede belirli bir yüksekliğe kadar, diri odun yıllık halka sayısının azalma gösterdiği kesitlerde öz odun yıllık halka sayısı katılım oranının yükseldiği, onun dışındaki kesitlerde ise bu oranın düşme gösterdiği görülmektedir.

III.1.4 Yıllık Halka Genişliği

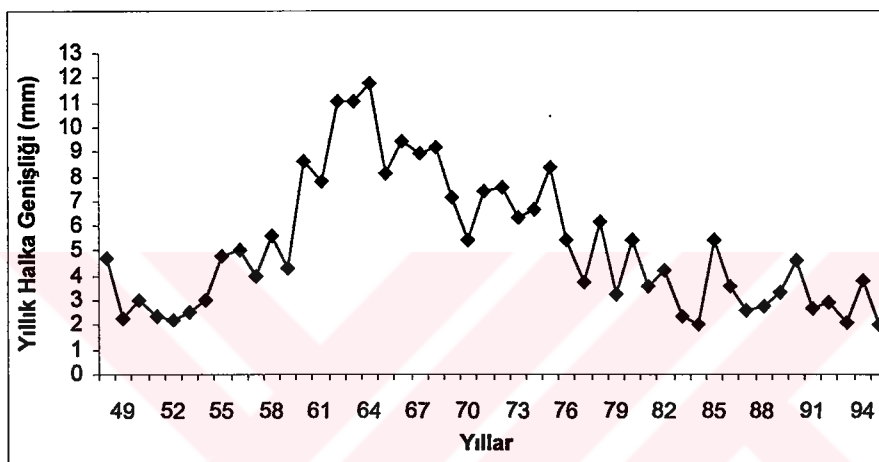
Ceviz odununda yıllık halka genişliği ölçümüne ait istatistik değerlendirme sonuçları Tablo III.11'de verilmiştir.

Tablo III.11: Yıllık Halka Genişliği İstatistik Değerleri

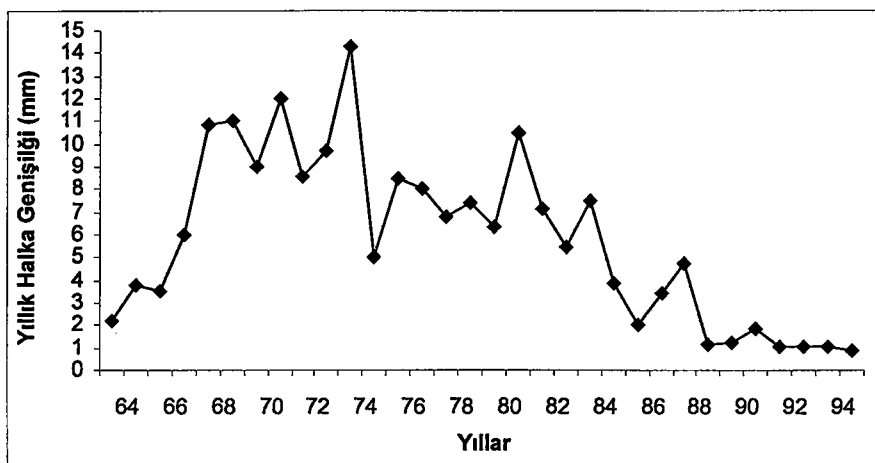
| İstatistik Özellikler | Yıllık Halka Genişliği |
|-----------------------------------------------|------------------------|
| Örnek Sayısı (n) | 145 |
| Aritmetik Ortalama (\bar{x}) (mm) | 6.300 |
| Ortalamanın Standart Hatası ($S_{\bar{x}}$) | 0.260 |
| Standart Sapma (s) | 3.140 |
| Varyans (s^2) | 9.862 |
| Varyasyon Katsayısı (% V) | 49.841 |
| Minimum ve Maksimum Değer (mm) | 0.850-14.270 |

Tablo III.11 incelendiğinde; ortalama yıllık halka genişliğinin 6.300 mm olduğu görülmektedir. Böylece ceviz odununun geniş yıllık halkalı yapıya sahip olduğu görülmektedir.

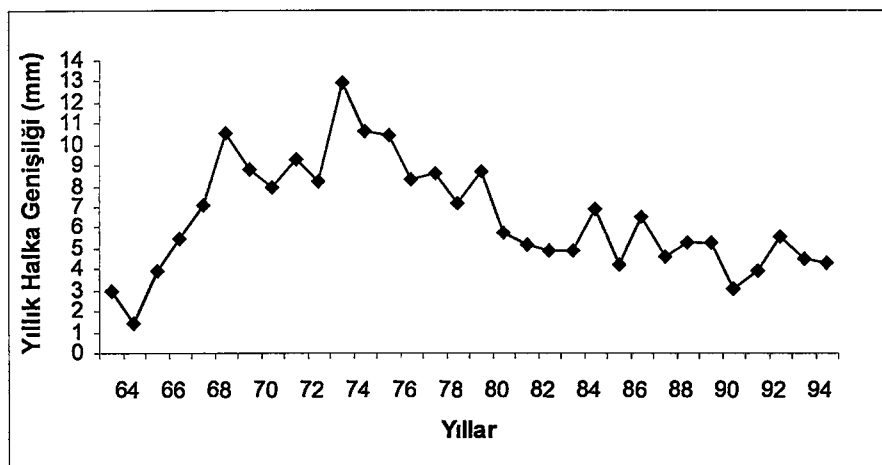
Yapılan araştırmada, 1-5-9 ve 10 numaralı ağaçlar için yıllık halka genişliğinin yıllara göre değişimi Şekil III.4, Şekil III.5, Şekil III.6 ve Şekil III.7'de grafik olarak verilmiştir.



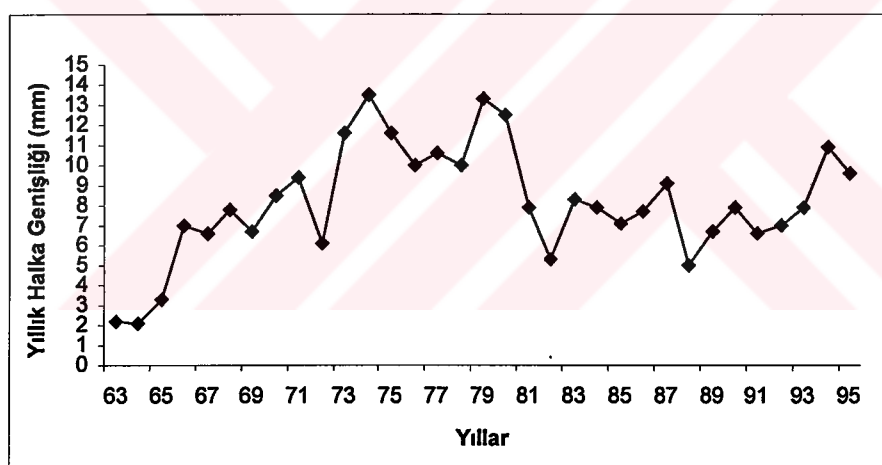
Şekil III.4: 1 no'lu Ağaçta Yıllara Göre Yıllık Halka Genişliği Değişimi.



Şekil III.5: 5 no'lu Ağaçta Yıllara Göre Yıllık Halka Genişliği Değişimi.



Şekil III.6: 9 no'lu Ağaçta Yıllara Göre Yıllık Halka Genişliği Değişimi.



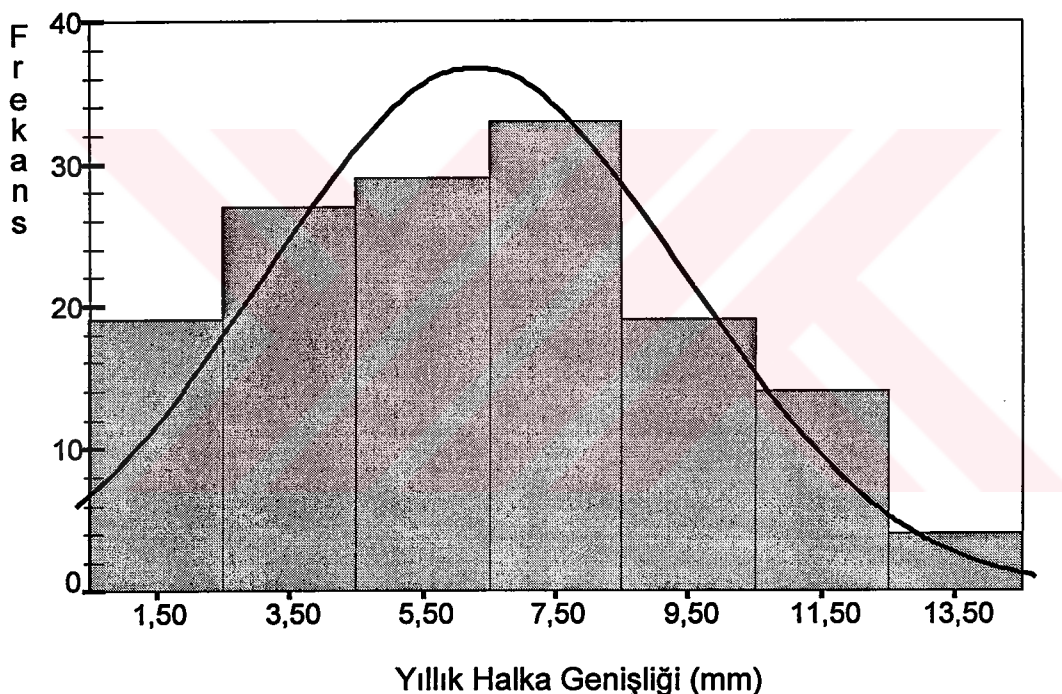
Şekil III.7: 10 no'lu Ağaçta Yıllara Göre Yıllık Halka Genişliği Değişimi.

Şekillerde görüldüğü gibi, ilk yıllarda genel olarak yıllık halka genişliklerinde bir artış meydana geldiği, daha sonraki yıllarda değişiklikler göstererek seyrettiği tespit edilmiştir. Ancak, 1 numaralı ağaca ait grafik incelendiğinde, yıllık halka genişliklerinin ilk yıllarda, daha uzun bir zaman diliminde (1949-1955 yılları arasında) 2-3 mm'lik bir genişliğe sahip olduğu ve yıllık halka genişliğindeki artışın bu süreçten sonra meydana geldiği görülmektedir. Bu durumun 1 numaralı ağacın diğer ağaçlardan daha yaşlı olması nedeni ile ilk yillardaki iklim ve çevre şartlarından kaynaklandığı düşünülmektedir.

III.1.5 Yıllık Halka Genişliği Varyasyon Grafiği

Ceviz odununda yıllık halka genişliklerinin nasıl bir dağılım gösterdiğini incelemek amacıyla çizilen varyasyon grafiği Şekil III.8'de verilmiştir. Yapılan Khi Kare testi sonucunda $v = 4$ serbestlik derecesi için,

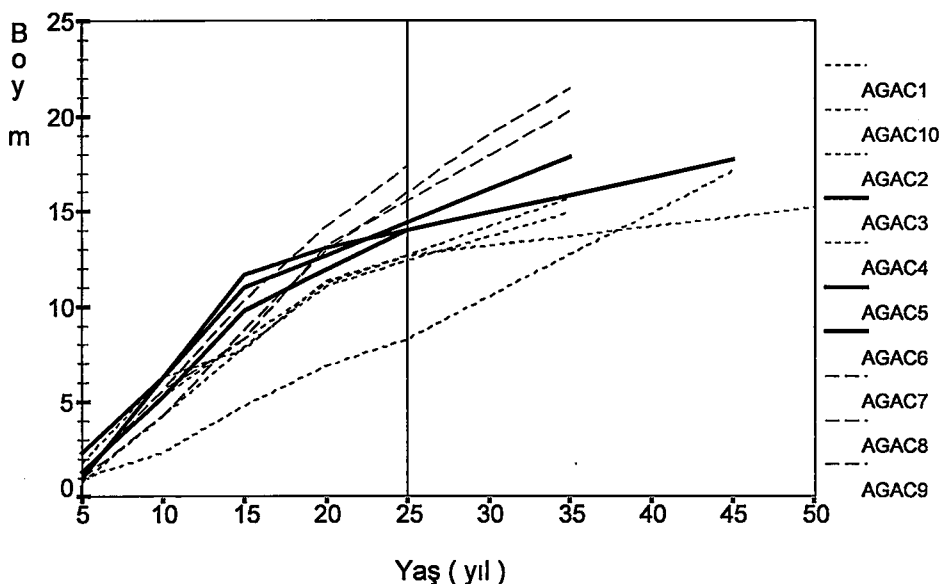
$\chi^2_{0.05} = 9.488 < \chi^2 = 18.138 < \chi^2_{0.001}$ olduğu görüldüğünden normal dağılıma uyma olasılığının % 5'den daha az, fakat % 0.1'den daha büyük olduğu belirlenmiştir.



Şekil III.8: Yıllık Halka Genişliği Varyasyon Grafiği.

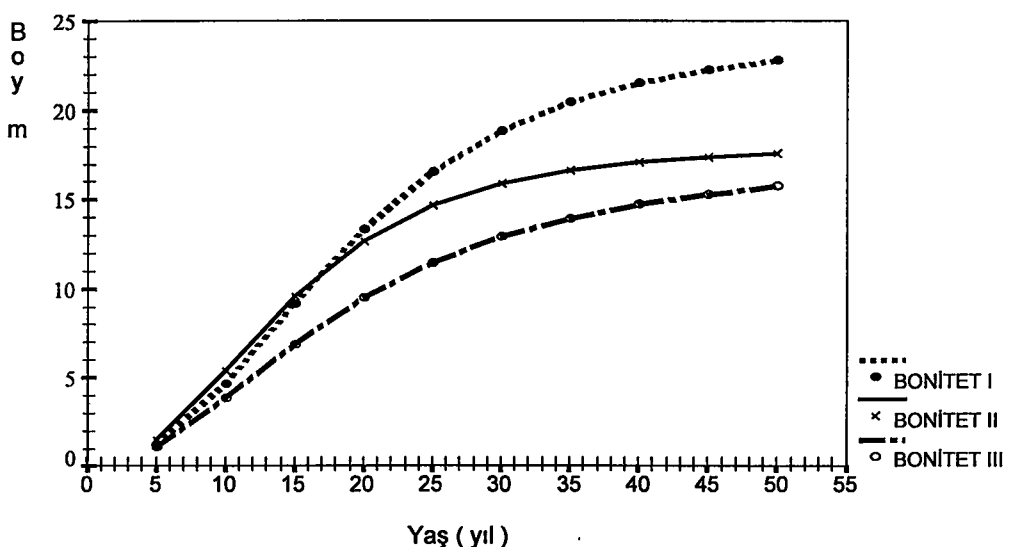
III.1.6 Örnek Ağaçların Büyüme Eğrileri ve Bonitet Sınıfları

Örnek ağaçların yaşına ve boyuna bağlı olarak belirlenen büyümeye eğrileri Şekil III.9'da grafik olarak gösterilmiştir.



Şekil III.9: Örnek Ağaçlara Ait Büyüme Eğrileri.

Eğrilerin gidişi dikkate alınarak, en fazla gelişim gösteren ağaçlar I. bonitet (7-8-9 no'lu örnek ağaçlar), en az gelişim gösteren ağaçlar III. bonitet (1-2-4 ve 10 no'lu örnek ağaçlar), arada kalanlar ise II. bonitet (3-5-6 no'lu örnek ağaçlar) olarak gruplandırılmıştır. Ayrıca her bonitet sınıfına ait büyümeye eğrileri Şekil III.10'da grafik olarak verilmiştir.

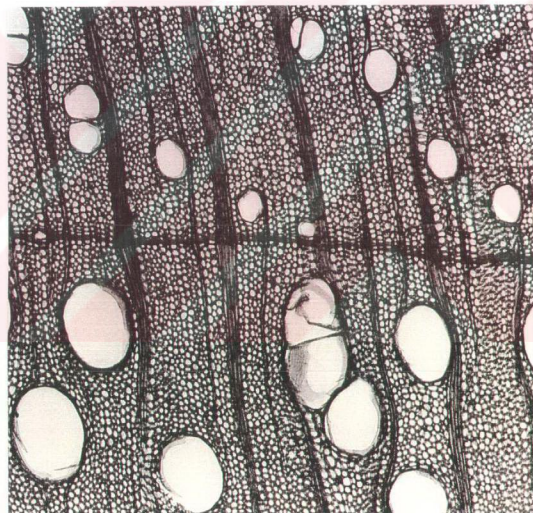


Şekil III.10: Bonitet Sınıflarına Ait Büyüme Eğrileri.

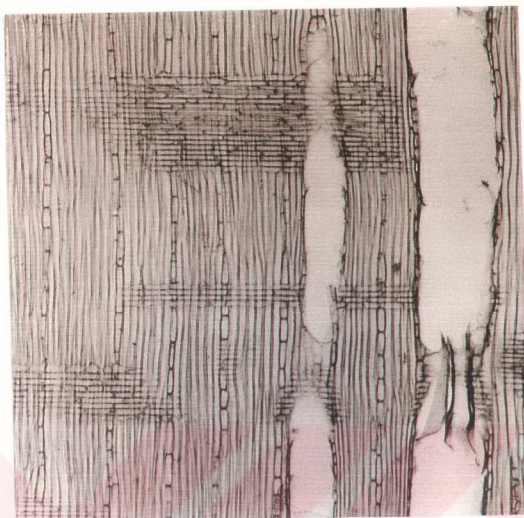
Şekil III.10'dan anlaşıldığı gibi en fazla gelişim gösteren I. bonitet sınıfı, en az gelişim gösteren ise III. bonitet sınıfıdır. II. bonitet sınıfı arada yer almaktadır.

III.2 Mikroskopik Özellikler

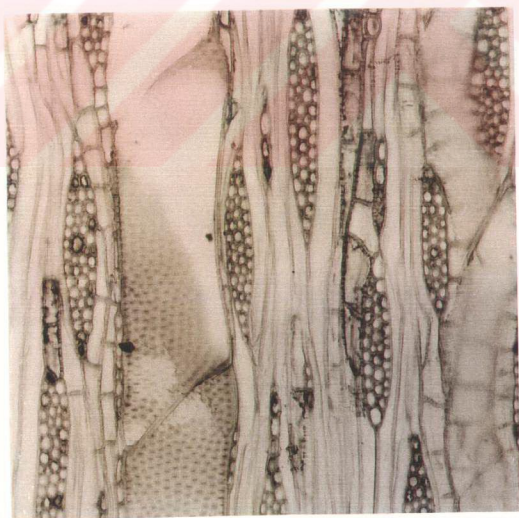
Ceviz odununda mikroskopik özellikler; enine, radyal ve teğet kesitlerde incelenmiş, her üç kesite ait görünüşler Şekil III.11, Şekil III.12, Şekil III.13'de verilmiştir.



Şekil III.11: Ceviz Odunu Enine Kesiti (X60).



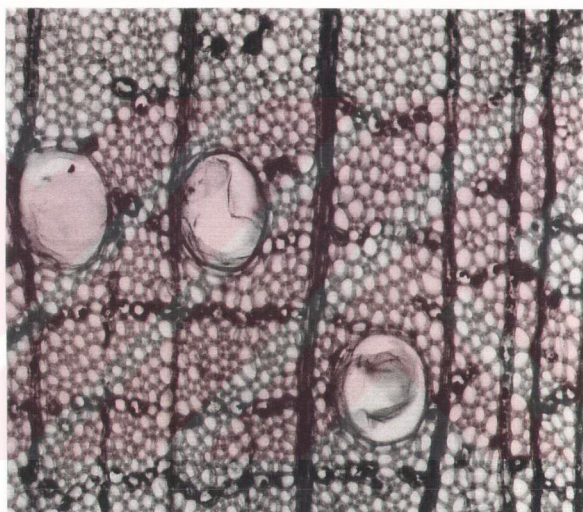
Şekil III.12: Ceviz Odunu Radyal Kesiti (X60).



Şekil III.13 Ceviz Odunu Teğet Kesiti (X150).

III.2.1 Traheler

Traheler, yıllık halka içerisinde çoğunlukla tek tek ve 2-3-4 adet radyal sıralı olarak dağılmışlardır. Nadiren kümeler oluştururlar. İlkbahar odunu traheleri büyük ve oval olup, yaz odununda hem çapları azalmakta hem de yuvarlak bir şekil almaktadır (Şekil III.11). Trahelerin içerisinde özellikle öz odun kısmında tüllerle doludur (Şekil III.14). Odun dokusuna katılım oranları % 12.40 olarak tespit edilmiştir.



Şekil III.14: Trahelerde Tül Teşekkülüatı (X150).

III.2.1.1 Trahe Sayısı

Ölçmeler 1 mm²'lik alan içerisinde yapılmış olup, trahe sayısına ilişkin istatistik sonuçlar Tablo III.12'de verilmiştir. Ayrıca, vejetasyon mevsimi faktörü göz önüne alınarak ilkbahar odunu ve yaz odunu mm²'de trahe sayıları ayrı ayrı saptanarak sırası ile Tablo III.13 ve Tablo III.14'de verilmiştir.

Tablo III.12: mm²de Ortalama Trahe Sayısı

| İstatistik Özellikler | B ö l g e l e r | | | |
|-----------------------------------------------|-----------------|--------------|--------------|--------------|
| | Altınçay | Aktaş | Kocaman | Genel |
| Örnek Sayısı (n) | 147 | 143 | 105 | 395 |
| Aritmetik Ortalama (\bar{x}) (Adet) | 8.985 | 9.541 | 8.952 | 9.178 |
| Ortalamanın Standart Hatası ($S_{\bar{x}}$) | 0.259 | 0.242 | 0.240 | 0.145 |
| Standart Sapma (s) | 3.137 | 2.903 | 2.461 | 2.891 |
| Varyans (s^2) | 9.843 | 8.425 | 6.054 | 8.357 |
| Varyasyon Katsayısı (% V) | 34.914 | 30.427 | 27.491 | 31.499 |
| Minimum ve Maksimum Değer(Adet) | 3.333-24.000 | 4.000-19.667 | 3.000-16.667 | 3.000-24.000 |

Tablo III.12 incelendiğinde; mm²de ortalama trahe sayısının Altınçay Bölgesinde 8.985, Aktaş Bölgesinde 9.541, Kocaman Bölgesinde 8.952, genel ortalamanın ise 9.178 olduğu görülmektedir. Böylece, mm²de ortalama trahe sayısının en fazla Aktaş Bölgesinde olduğu, Altınçay ve Kocaman Bölgelerinin birbirine çok yakın değerler verdiği anlaşılmaktadır. Trahelerin mm²deki sayılarına göre ağaç türlerinin gruplandırmasında ceviz aғacı orta sıklıkta grubu (6-10 adet/mm²) girmektedir [25].

Tablo III.13: İlkbahar Odunu mm²de Ortalama Trahe Sayısı

| İstatistik Özellikler | B ö l g e l e r | | | |
|-----------------------------------------------|-----------------|--------------|--------------|--------------|
| | Altınçay | Aktaş | Kocaman | Genel |
| Örnek Sayısı (n) | 121 | 128 | 94 | 343 |
| Aritmetik Ortalama (\bar{x}) (Adet) | 7.603 | 9.224 | 8.085 | 8.340 |
| Ortalamanın Standart Hatası ($S_{\bar{x}}$) | 0.358 | 0.316 | 0.306 | 0.195 |
| Standart Sapma (s) | 3.942 | 3.572 | 2.969 | 3.620 |
| Varyans (s^2) | 15.582 | 12.758 | 8.815 | 13.104 |
| Varyasyon Katsayısı (% V) | 51.848 | 38.725 | 36.722 | 43.405 |
| Minimum ve Maksimum Değer (Adet) | 2.667-28.667 | 4.000-23.333 | 2.667-18.000 | 2.667-28.667 |

Tablo III.13 incelendiğinde; ilkbahar odunu mm²de ortalama trahe sayısının Altınçay Bölgesinde 7.603, Aktaş Bölgesinde 9.224, Kocaman Bölgesinde 8.085, genel ortalamanın ise 8.340 olduğu görülmektedir. Böylece en yüksek değeri Aktaş Bölgesi verirken, Altınçay Bölgesinin en düşük ortalama değere sahip olduğu anlaşılmaktadır.

Tablo III.14: Yaz Odunu mm²de Ortalama Trahe Sayısı

| İstatistik Özellikler | B ö l g e l e r | | | |
|-----------------------------------------------|-----------------|--------------|--------------|--------------|
| | Altınçay | Aktaş | Kocaman | Genel |
| Örnek Sayısı (n) | 121 | 128 | 94 | 343 |
| Aritmetik Ortalama (\bar{x}) (Adet) | 11.226 | 10.234 | 10.078 | 10.542 |
| Ortalamanın Standart Hatası ($S_{\bar{x}}$) | 0.814 | 0.280 | 0.281 | 0.315 |
| Standart Sapma (s) | 8.954 | 3.172 | 2.720 | 5.843 |
| Varyans (s^2) | 80.174 | 10.062 | 7.396 | 34.139 |
| Varyasyon Katsayısı (% V) | 79.761 | 30.995 | 26.989 | 55.426 |
| Minimum ve Maksimum Değer(Adet) | 4.667-22.000 | 4.000-22.000 | 5.333-16.666 | 4.000-22.000 |

Tablo III.14 incelendiğinde; yaz odunu mm^2 de ortalama trahe sayısının Altınçay Bölgesinde 11.226, Aktaş Bölgesinde 10.234, Kocaman Bölgesinde 10.078, genel ortalamanın ise 10.542 olduğu görülmektedir. Böylece en yüksek ortalama değerin Altınçay Bölgesinde olduğu, Aktaş ve Kocaman Bölgelerinin ise birbirine çok yakın değerler verdiği anlaşılmaktadır.

Bölge, bonitet, yıllık halka genişliği ve yön ayırım kriterlerinin mm^2 deki trahe sayısı üzerinde etkisini belirlemek üzere yapılan Bartlett testi ve varyans analizlerine ait sonuçlar sırası ile Tablo III.15, Tablo III.16, Tablo III.17 ve Tablo III.18'de verilmiştir.

Tablo III.15: mm^2 de Trahe Sayısı Bartlett Testi

| Değişkenlik Kaynağı | Ayırım Kriterleri | İstatistik Özellikler | | | | |
|----------------------------------------------------|------------------------|-----------------------|-----|----------------|----------------|-------------|
| | | n | V | χ^2 hesap | χ^2 tablo | Önem Düzeyi |
| mm^2 de Trahe Sayısı | Bölge | 395 | 392 | 7.015 | 5.991 | * |
| | Bonitet | 395 | 392 | 5.609 | 5.991 | N.S. |
| | Yıllık Halka Genişliği | 273 | 270 | 3.929 | 5.991 | N.S. |
| | Yön | 267 | 265 | 1.110 | 3.841 | N.S. |
| mm^2 de İlkbahar Odunu Trahe Sayısı | Bölge | 343 | 340 | 8.175 | 5.991 | * |
| | Bonitet | 343 | 340 | 5.776 | 5.991 | N.S. |
| | Yıllık Halka Genişliği | 233 | 230 | 2.690 | 5.991 | N.S. |
| | Yön | 353 | 351 | 5.139 | 3.841 | * |
| mm^2 de Yaz Odunu Trahe Sayısı | Bölge | 343 | 340 | 3.351 | 5.991 | N.S. |
| | Bonitet | 343 | 340 | 6.899 | 5.991 | * |
| | Yıllık Halka Genişliği | 233 | 230 | 2.690 | 5.991 | N.S. |
| | Yön | 343 | 341 | 1.049 | 3.841 | N.S. |

Yapılan Bartlett testi sonucunda; varyansların eşit olduğu kabul edildiği için bonitet, yıllık halka genişliği ve yön kriterlerinin mm^2 de trahe sayısı üzerinde etkili olmadığı, bölge faktörünün ise % 95 güven düzeyinde anlamlı bir farklılık oluşturduğu tespit edilmiştir. İlkbahar odunu mm^2 de trahe sayısı üzerinde, bonitet değişikliğinin ve farklı yıllık halka genişliklerinin anlamlı bir farklılık oluşturmadığı, değişik bölge ve yön faktörünün ise % 95 güven düzeyinde anlamlı bir farklılık oluşturduğu sonucuna varılmıştır. mm^2 de yaz odunu trahe sayısı üzerinde ise, değişik bölge, yıllık halka genişliği ve yön kriterlerinin önemli bir farklılık göstermediği, aralarında anlamlı bir ayrılık olmadığı yargısına varılmıştır. Bonitet değişikliğinin ise, % 95 güven düzeyinde etkili olduğu tespit edilmiştir.

Tablo III.16: mm²'de Trahe Sayısı Varyans Analizi

| B ö l g e | | | | | | |
|-----------------------------------------|---------------------|-------------|---------|--------------------|--------------------|-------------|
| Varyasyon Kaynağı | Serbestlik Derecesi | Tüm Varyans | Varyans | F _{hesap} | F _{tablo} | Önem Düzeyi |
| Gruplar Arası | 2 | 29.628 | 14.814 | 1.779 | 2.996 | N.S. |
| Gruplar İçi | 392 | 3263.159 | 8.324 | | | |
| Toplam | 394 | 3292.787 | 8.357 | | | |
| B o n i t e t | | | | | | |
| Varyasyon Kaynağı | Serbestlik Derecesi | Tüm Varyans | Varyans | F _{hesap} | F _{tablo} | Önem Düzeyi |
| Gruplar Arası | 2 | 2.507 | 1.253 | 0.149 | 2.996 | N.S. |
| Gruplar İçi | 392 | 3290.290 | 8.394 | | | |
| Toplam | 394 | 3292.797 | 8.357 | | | |
| Y i l l i k H a l k a G e n i ş l i ğ i | | | | | | |
| Varyasyon Kaynağı | Serbestlik Derecesi | Tüm Varyans | Varyans | F _{hesap} | F _{tablo} | Önem Düzeyi |
| Gruplar Arası | 2 | 16.137 | 8.068 | 0.803 | 2.996 | N.S. |
| Gruplar İçi | 270 | 2712.058 | 10.045 | | | |
| Toplam | 272 | 2728.195 | 10.030 | | | |
| Y ö n | | | | | | |
| Varyasyon Kaynağı | Serbestlik Derecesi | Tüm Varyans | Varyans | F _{hesap} | F _{tablo} | Önem Düzeyi |
| Gruplar Arası | 1 | 2.775 | 2.775 | 0.331 | 3.841 | N.S. |
| Gruplar İçi | 393 | 3290.011 | 8.371 | | | |
| Toplam | 394 | 3292.786 | 8.357 | | | |

Tablo III.16 incelendiğinde; aritmetik ortalamaların % 95 güven düzeyinde eşit olduklarının kabul edilmesi nedeni ile bölge, bonitet, yıllık halka genişliği ve yön kriterlerinin mm²'de trahe sayısı üzerinde anlamlı bir farklılık oluşturmadığı (bireylerin özelliklerini değiştirmediği), toplumların özdeş oldukları tespit edilmiştir. Ancak bölge faktörü dikkate alındığında, varyansların farklı aritmetik ortalamaların özdeş çıkması sebebi ile varyansı daha büyük olan Altınçay Bölgesinin daha heterojen bir yapıya sahip bulunduğu kabul edilmiştir.

Tablo III.17: mm²'de İlkbahar Odunu Trahe Sayısı Varyans Analizi

| B ö l g e | | | | | | |
|-----------------------------------------|---------------------|-------------|---------|--------------------|--------------------|-------------|
| Varyasyon Kaynağı | Serbestlik Derecesi | Tüm Varyans | Varyans | F _{hesap} | F _{tablo} | Önem Düzeyi |
| Gruplar Arası | 2 | 171.799 | 85.899 | 6.777 | 4.605 | ** |
| Gruplar İçi | 340 | 4309.844 | 12.676 | | | |
| Toplam | 342 | 4481.643 | 13.104 | | | |
| B o n i t e t | | | | | | |
| Varyasyon Kaynağı | Serbestlik Derecesi | Tüm Varyans | Varyans | F _{hesap} | F _{tablo} | Önem Düzeyi |
| Gruplar Arası | 2 | 17.685 | 8.843 | 0.673 | 2.996 | N.S. |
| Gruplar İçi | 340 | 4463.832 | 13.129 | | | |
| Toplam | 342 | 4481.517 | 13.104 | | | |
| Y i l l i k H a l k a G e n i ş l i ğ i | | | | | | |
| Varyasyon Kaynağı | Serbestlik Derecesi | Tüm Varyans | Varyans | F _{hesap} | F _{tablo} | Önem Düzeyi |
| Gruplar Arası | 2 | 69.458 | 34.729 | 2.195 | 2.996 | N.S. |
| Gruplar İçi | 230 | 3639.480 | 15.824 | | | |
| Toplam | 232 | 3708.938 | 15.987 | | | |
| Y ö n | | | | | | |
| Varyasyon Kaynağı | Serbestlik Derecesi | Tüm Varyans | Varyans | F _{hesap} | F _{tablo} | Önem Düzeyi |
| Gruplar Arası | 1 | 8.029 | 8.029 | 0.612 | 3.841 | N.S. |
| Gruplar İçi | 351 | 4603.251 | 13.115 | | | |
| Toplam | 352 | 4611.280 | 13.100 | | | |

Tablo III.17 incelendiğinde; bölge faktörünün % 99 güven düzeyinde mm^2 'de ilkbahar odunu trahe sayısı üzerinde etkili olduğu (bireylerin özelliklerinin değişimine neden olduğu) sonucuna varılmıştır. Hangi grubun farklı olduğunu tespit etmek üzere yapılan Duncan testi sonucunda, Aktaş Bölgesinin diğer bölgelerden farklı olduğu, Altınçay ve Kocaman Bölgelerinin aynı toplumu temsil ettikleri belirlenmiştir. Aktaş Bölgesinde mm^2 'de ortalama ilkbahar odunu trahe sayısı, diğer iki bölgeden daha yüksek (9.224 adet) bulunmuştur. Yön faktörü dikkate alındığında ise varyansların farklı, aritmetik ortalamaların özdeş çıkması sebebi ile varyansı daha büyük olan kuzey yönde dağılımin güney yöne göre daha heterojen olduğu tespit edilmiştir. Hem varyansların hem de aritmetik ortalamaların özdeş çıkması sebebi ile bonitet ve yıllık halka genişliği kriterlerinin anlamlı bir farklılık oluşturmadığı sonucuna varılmıştır.

Tablo III.18: mm^2 'de Yaz Odunu Trahe Sayısı Varyans Analizi

| B ö l g e | | | | | | |
|-----------------------------------------|---------------------|-------------|---------|--------------------|--------------------|-------------|
| Varyasyon Kaynağı | Serbestlik Derecesi | Tüm Varyans | Varyans | F _{hesap} | F _{table} | Önem Düzeyi |
| Gruplar Arası | 2 | 7.380 | 3.690 | 0.391 | 2.996 | N.S. |
| Gruplar İçi | 340 | 3209.586 | 9.440 | | | |
| Toplam | 342 | 3216.966 | 9.406 | | | |
| B o n i t e t | | | | | | |
| Varyasyon Kaynağı | Serbestlik Derecesi | Tüm Varyans | Varyans | F _{hesap} | F _{table} | Önem Düzeyi |
| Gruplar Arası | 2 | 3.482 | 1.741 | 0.184 | 2.996 | N.S. |
| Gruplar İçi | 340 | 3213.245 | 9.451 | | | |
| Toplam | 342 | 3216.727 | 9.406 | | | |
| Y i l l i k H a l k a G e n i s l i ğ i | | | | | | |
| Varyasyon Kaynağı | Serbestlik Derecesi | Tüm Varyans | Varyans | F _{hesap} | F _{table} | Önem Düzeyi |
| Gruplar Arası | 2 | 17.605 | 8.803 | 0.791 | 2.996 | N.S. |
| Gruplar İçi | 230 | 2559.907 | 11.130 | | | |
| Toplam | 232 | 2577.512 | 11.110 | | | |
| Y ö n | | | | | | |
| Varyasyon Kaynağı | Serbestlik Derecesi | Tüm Varyans | Varyans | F _{hesap} | F _{table} | Önem Düzeyi |
| Gruplar Arası | 1 | 11.816 | 11.816 | 1.261 | 3.841 | N.S. |
| Gruplar İçi | 341 | 3195.875 | 9.372 | | | |
| Toplam | 342 | 3207.691 | 9.379 | | | |

Tablo III.18 incelendiğinde; aritmetik ortalamaların özdeş olması nedeni ile bölge, bonitet, yıllık halka genişliği ve yön kriterinin, mm^2 'de yaz odunu trahe sayısı üzerinde anlamlı bir farklılık oluşturmadığı anlaşılmaktadır. Ancak, bonitet faktörü dikkate alındığında varyansların farklı olması sebebi ile varyansı daha büyük olan II. bonitet'in daha heterojen bir yapıya sahip bulunduğu kabul edilmiştir.

III.2.1.2 Trahe Çapları

Teget ve radyal yönde yapılan trahe çapı ölçümlerine ait istatistik değerlendirme sonuçları toplu olarak Tablo III.19'da verilmiştir.

Tablo III.19: Trahe Çapı İstatistik Değerleri

| İstatistik Özellikler | Altıncay | | | | Aktas | | | | Kocaman | | | | Tüm Toplum | | | | |
|----------------------------------------------------|----------------|----------------|----------------|----------------|----------------|-----------------|----------------|----------------|-----------------|-----------------|----------------|----------------|----------------|----------------|----------------|----------------|----------------|
| | I.B.O.* | | Y.O.** | | I.B.O. | | Y.O. | | I.B.O. | | Y.O. | | I.B.O. | | Y.O. | | |
| | Teget Cap | Radikal Cap | Teget Cap | Radikal Cap | Teget Cap | Radikal Cap | Teget Cap | Radikal Cap | Teget Cap | Radikal Cap | Teget Cap | Radikal Cap | Teget Cap | Radikal Cap | Teget Cap | Radikal Cap | |
| Örnek Sayısı (n) | 118 | 110 | 118 | 110 | 103 | 103 | 103 | 103 | 79 | 74 | 80 | 73 | 300 | 287 | 301 | 286 | |
| Aritmetik Ortalama (X̄) (um) | 159.514 | 219.164 | 110.582 | 136.194 | 155.379 | 213.858 | 108.045 | 136.505 | 167.924 | 235.279 | 113.600 | 147.589 | 160.309 | 221.415 | 110.516 | 139.214 | |
| Ortalamanın Standart Hatası (S _{X̄}) | 2.255 | 3.559 | 1.773 | 2.562 | 2.279 | 3.352 | 1.612 | 2.227 | 2.234 | 4.350 | 1.910 | 3.304 | 1.347 | 2.188 | 1.027 | 1.547 | |
| Standart Sapma (S) | 24.494 | 37.332 | 19.268 | 26.875 | 23.133 | 34.015 | 16.355 | 22.598 | 19.855 | 37.418 | 17.082 | 28.230 | 23.326 | 37.060 | 17.810 | 26.163 | |
| Varyans (s ²) | 599.937 | 1393.708 | 371.248 | 722.262 | 534.139 | 1157.008 | 267.497 | 510.688 | 394.211 | 1400.119 | 291.799 | 796.946 | 544.096 | 1373.437 | 317.210 | 684.479 | |
| Varyasyon Katsayısı (% V) | 15.355 | 17.034 | 17.424 | 19.733 | 14.888 | 15.905 | 15.137 | 16.555 | 11.824 | 15.904 | 15.037 | 19.127 | 14.551 | 16.378 | 16.115 | 18.793 | |
| Minimum ve Maksimum Değer (um) (Yıllık halka ort.) | 81.333-218.667 | 93.333-305.333 | 50.667-158.667 | 66.667-216.000 | 94.667-202.667 | 132.000-280.000 | 69.333-149.333 | 88.000-189.333 | 120.000-224.000 | 148.000-306.667 | 78.667-161.333 | 96.000-236.000 | 81.333-224.000 | 93.333-161.333 | 50.667-306.667 | 66.667-236.000 | 50.667-224.000 |
| Minimum ve Maksimum Değer (Tüm Veriler) (um) | 72.000-280.000 | 84.000-348.000 | 44.000-176.000 | 52.000-244.000 | 80.000-244.000 | 108.000-328.000 | 44.000-184.000 | 48.000-244.000 | 60.000-268.000 | 31.000-344.000 | 60.000-188.000 | 72.000-268.000 | 31.000-280.000 | 44.000-188.000 | 48.000-268.000 | 44.000-280.000 | 31.000-348.000 |

*: İlkbahar odunu

**: Yaz odunu

*** : İlkbahar odunu ve yaz odunu farkı dikkate alınmamıştır.

Tablo III.19 incelendiğinde; ilkbahar odunu trahe teğet çapı ortalama değerlerinin Altınçay Bölgesinde 159.514 μm , Aktaş Bölgesinde 155.379 μm , Kocaman Bölgesinde 167.924 μm , tüm toplumda ise 160.309 μm olduğu görülmektedir. Yaz odunu için bu ortalamalar, Altınçay Bölgesinde 110.582 μm , Aktaş Bölgesinde 108.045 μm , Kocaman Bölgesinde 113.600 μm olarak değişim gösterirken, tüm toplum için 110.516 μm olarak bulunmuştur. Yine aynı tablodan, ilkbahar odunu trahe radyal çapı ortalama değerlerinin Altınçay Bölgesinde 219.164 μm , Aktaş Bölgesinde 213.858 μm , Kocaman Bölgesinde 235.279 μm , tüm toplumda ise 221.415 μm olduğu görülmektedir. Yaz odunu için ortalama değerlerin, Altınçay Bölgesinde 136.194 μm , Aktaş Bölgesinde 136.505 μm , Kocaman Bölgesinde 147.589 μm , tüm toplumda ise 139.214 μm olduğu tespit edilmiştir. İlkbahar odunu ve yaz odunu ayrıt edilemsiz trahe teğet çapı genel ortalama değeri 135.371 μm , trahe radyal çapı ortalama değeri ise 180.386 μm olarak belirlenmiştir. Yapılan incelemeler neticesinde ceviz odununda trahe çapları büyülü sınıfı olarak orta büyülükteki traheler (101-150 μm) ve büyük traheler (151-200 μm) sınıfına girmektedir [25].

Sonuç olarak; hem ilkbahar odunu hem de yaz odunu trahe teğet çapı ortalamalarının Kocaman Bölgesinde en yüksek, Aktaş Bölgesinde en düşük değere sahip olduğu tespit edilmiştir. Trahe radyal çapları için de aynı sonuç geçerli olmakla birlikte yalnızca yaz odunu tabakası için Aktaş Bölgesi ile Altınçay Bölgesinin ortalama değerleri birbirine çok yakın bulunmuştur.

Trahe çapı üzerinde bölge, bonitet, yıllık halka genişliği ve yön ayırım kriterlerinin etkisini belirlemek üzere yapılan Bartlett testi ve varyans analizlerine ait sonuçlar sırası ile Tablo III.20, Tablo III.21, Tablo III.22, Tablo III.23 ve Tablo III.24'de verilmiştir.

Tablo III.20: Trahe Çapı Bartlett Testi

| Değişkenlik Kaynağı | Ayırım Kriterleri | İstatistik Özellikler | | | | |
|--------------------------------|------------------------|-----------------------|-----|-------------------------|-------------------------|-------------|
| | | n | v | χ^2_{besap} | χ^2_{tablo} | Önem Düzeyi |
| İ.B.O. Trahe Teğet Çapı | Bölge | 300 | 297 | 4.054 | 5.991 | N.S. |
| | Bonitet | 300 | 297 | 3.280 | 5.991 | N.S. |
| | Yıllık Halka Genişliği | 288 | 285 | 6.452 | 5.991 | * |
| | Yön | 300 | 298 | 0.00084 | 3.841 | N.S. |
| İ.B.O. Trahe Radyal Çapı | Bölge | 287 | 284 | 1.129 | 5.991 | N.S. |
| | Bonitet | 287 | 284 | 1.888 | 5.991 | N.S. |
| | Yıllık Halka Genişliği | 279 | 276 | 2.481 | 5.991 | N.S. |
| | Yön | 287 | 285 | 0.022 | 3.841 | N.S. |
| Y.O. Trahe Teğet Çapı | Bölge | 301 | 298 | 3.175 | 5.991 | N.S. |
| | Bonitet | 301 | 298 | 3.823 | 5.991 | N.S. |
| | Yıllık Halka Genişliği | 292 | 289 | 3.956 | 5.991 | N.S. |
| | Yön | 301 | 299 | 0.043 | 3.841 | N.S. |
| Y.O. Trahe Radyal Çapı | Bölge | 286 | 283 | 4.880 | 5.991 | N.S. |
| | Bonitet | 286 | 283 | 4.460 | 5.991 | N.S. |
| | Yıllık Halka Genişliği | 279 | 276 | 5.344 | 5.991 | N.S. |
| | Yön | 286 | 284 | 1.221 | 3.841 | N.S. |

Tablo III.20 incelendiğinde; sadece yıllık halka genişliği faktörünün % 95 güven düzeyinde ilkbahar odunu trahe teğet çapı üzerinde etkili olduğu, diğer tüm faktörlerin varyansların eşit çıkması nedeni ile trahe çapları üzerinde önemli farklılık oluşturmadığı tespit edilmiştir.

Tablo III.21: İlkbahar Odunu Trahe Teğet Çapı Varyans Analizi

| B ö l g e | | | | | | |
|-----------------------------------------|---------------------|-------------|----------|--------------------|--------------------|-------------|
| Varyasyon Kaynağı | Serbestlik Derecesi | Tüm Varyans | Varyans | F _{hesap} | F _{tablo} | Önem Düzeyi |
| Gruplar Arası | 2 | 7766.198 | 3883.099 | 7.444 | 6.908 | *** |
| Gruplar İçi | 297 | 154918.696 | 521.612 | | | |
| Toplam | 299 | 162684.894 | 544.097 | | | |
| B o n i t e t | | | | | | |
| Varyasyon Kaynağı | Serbestlik Derecesi | Tüm Varyans | Varyans | F _{hesap} | F _{tablo} | Önem Düzeyi |
| Gruplar Arası | 2 | 1692.897 | 846.449 | 1.561 | 2.996 | N.S. |
| Gruplar İçi | 297 | 160993.648 | 542.066 | | | |
| Toplam | 299 | 162686.545 | 544.102 | | | |
| Y i l l i k H a l k a G e n i s l i ğ i | | | | | | |
| Varyasyon Kaynağı | Serbestlik Derecesi | Tüm Varyans | Varyans | F _{hesap} | F _{tablo} | Önem Düzeyi |
| Gruplar Arası | 2 | 4775.732 | 2387.866 | 4.492 | 2.996 | * |
| Gruplar İçi | 285 | 151508.996 | 531.610 | | | |
| Toplam | 287 | 156284.728 | 544.546 | | | |
| Y ü n | | | | | | |
| Varyasyon Kaynağı | Serbestlik Derecesi | Tüm Varyans | Varyans | F _{hesap} | F _{tablo} | Önem Düzeyi |
| Gruplar Arası | 1 | 85.880 | 85.880 | 0.155 | 3.841 | N.S. |
| Gruplar İçi | 298 | 165424.802 | 555.117 | | | |
| Toplam | 299 | 165510.683 | 553.547 | | | |

Tablo III.21 incelendiğinde; bonitet ve yön kriterlerinin daha önce yapılan Bartlett testinde varyanslarının, varyans analizi sonucunda da aritmetik ortalamaların özdeş olması sebebi ile anlamlı bir farklılık oluşturmadığı sonucuna varılmıştır. Bölge faktörünün ise % 99.9 güven düzeyinde ilkbahar odunu trahe teğet çapı üzerinde etkili olduğu tespit edilmiştir. Yapılan Duncan testi sonucunda, Kocaman Bölgesinin diğer bölgelerden farklı olduğu, Altınçay ve Aktaş Bölgelerinin ise aynı toplumu temsil ettikleri belirlenmiştir. Her bölge için, ilkbahar odunu ortalama trahe teğet çapları incelendiğinde Kocaman Bölgesinin en yüksek ortalamaya ($167.924 \mu\text{m}$) sahip olduğu görülmüştür. Ayrıca yıllık halka genişliğinin de % 95 güven düzeyinde anlamlı bir farklılık oluşturduğu tespit edilmiştir. Farklı olan yıllık halka genişliği sınıfının belirlenebilmesi için yapılan Duncan testi sonucunda 8-12 mm genişlik sınıfının farklı, 0-4 mm ve 4-8 mm yıllık halka genişliği sınıflarının ise benzer oldukları sonucuna ulaşmıştır. Her genişlik sınıfı için ortalama teğet çaplar incelendiğinde, 8-12 mm genişlik sınıfının en düşük ortalama değere ($148.938 \mu\text{m}$), 0-4 mm genişlik sınıfının en yüksek ortalama değere ($163.517 \mu\text{m}$) sahip olduğu, 4-8 mm genişlik sınıfında ise ortalama teğet çapın $160.184 \mu\text{m}$ olduğu görülmüştür. Sonuç olarak; yıllık halka genişliği artıkça ilkbahar odunu trahe teğet çapının azaldığı belirlenmiştir.

Tablo III.22: İlkbahar Odunu Trahe Radyal Çapı Varyans Analizi

| B ö l g e | | | | | | |
|-----------------------------------------|---------------------|-------------|-----------|--------------------|--------------------|-------------|
| Varyasyon Kaynağı | Serbestlik Derecesi | Tüm Varyans | Varyans | F _{hesap} | F _{tablo} | Önem Düzeyi |
| Gruplar Arası | 2 | 20664.374 | 10332.187 | 7.885 | 6.908 | *** |
| Gruplar İçi | 284 | 372138.086 | 1310.345 | | | |
| Toplam | 286 | 392802.460 | 1373.435 | | | |
| B o n i t e t | | | | | | |
| Varyasyon Kaynağı | Serbestlik Derecesi | Tüm Varyans | Varyans | F _{hesap} | F _{tablo} | Önem Düzeyi |
| Gruplar Arası | 2 | 8823.757 | 4411.878 | 3.263 | 2.996 | * |
| Gruplar İçi | 284 | 383981.918 | 1352.049 | | | |
| Toplam | 286 | 392805.675 | 1373.446 | | | |
| Y i l l i k H a l k a G e n i ş l i ğ i | | | | | | |
| Varyasyon Kaynağı | Serbestlik Derecesi | Tüm Varyans | Varyans | F _{hesap} | F _{tablo} | Önem Düzeyi |
| Gruplar Arası | 2 | 11706.698 | 5853.349 | 4.341 | 2.996 | * |
| Gruplar İçi | 276 | 372180.650 | 1348.481 | | | |
| Toplam | 278 | 383887.348 | 1380.889 | | | |
| Y ö n | | | | | | |
| Varyasyon Kaynağı | Serbestlik Derecesi | Tüm Varyans | Varyans | F _{hesap} | F _{tablo} | Önem Düzeyi |
| Gruplar Arası | 1 | 1152.024 | 1152.024 | 0.835 | 3.841 | N.S. |
| Gruplar İçi | 285 | 393040.781 | 1379.090 | | | |
| Toplam | 286 | 394192.806 | 1378.296 | | | |

Tablo III.22 incelendiğinde; bölge faktörünün % 99.9 güven düzeyinde, bonitet ve yıllık halka genişliği faktörlerinin ise % 95 güven düzeyinde ilkbahar odunu trahe radyal çapı üzerinde etkili oldukları belirlenmiştir. Yapılan Duncan testi sonucunda, Kocaman Bölgesinin diğer iki bölgeden farklı olduğu, Altınçay ve Aktaş Bölgelerinin ise benzer olup aynı toplumu temsil ettiği, bonitet sınıflarından I. bonitet ve III. bonitetler arasında farklılık olduğu, I. ve II. bonitet ile II. ve III. bonitet sınıflarının ise özdeş oldukları, yıllık halka genişliği sınıfları arasında ise, 0-4 mm ve 4-8 mm genişlik gruplarının birbirinden farklı olduğu, 0-4 mm ve 8-12 mm yine 4-8 mm ve 8-12 mm yıllık halka genişliği gruplarının benzer oldukları tespit edilmiştir. Yön faktörünün ise, ilkbahar odunu trahe radyal çapı üzerinde etkili olmadığı görülmüştür.

Her bölge için, ilkbahar odunu trahe radyal çapları ortalama değerleri incelendiğinde, Kocaman Bölgesinin en yüksek değere ($235.279 \mu\text{m}$) sahip olduğu görülmüştür. Aynı değerlendirme bonitet sınıfları için gerçekleştirildiğinde, trahe radyal çapı ortalama değeri I. bonitet için $227.700 \mu\text{m}$, II. bonitet için $224.371 \mu\text{m}$, III. bonitet için ise $215.003 \mu\text{m}$ olarak belirlenmiştir. Sonuç olarak, verim gücü yüksek ve düşük olan yetişme alanlarının ilkbahar odunu trahe radyal çapları üzerinde etkili olduğu, düşük bonitetlerde radyal çapların azaldığı tespit edilmiştir. Yıllık halka genişliği için yapılan değerlendirme ise, ilkbahar odunu trahe radyal çapı ortalama değerinin 0-4 mm genişlik sınıfı için $216.290 \mu\text{m}$, 4-8 mm genişlik sınıfı için $228.708 \mu\text{m}$ ve 8-12 mm genişlik sınıfı için de $213.556 \mu\text{m}$ olduğu belirlenmiştir. Her genişlik sınıfındaki ortalama trahe radyal çaplarına dikkat edilecek olursa yıllık halka genişliğinin artış ve azalmasına bağlı bir değişim söz konusu olmayıp, en yüksek ortalama değeri 4-8 mm genişlik sınıfı vermiştir.

Tablo III.23: Yaz Odunu Trahe Teğet Çapı Varyans Analizi

| B ö l g e | | | | | | |
|-----------------------------------------|---------------------|-------------|----------|--------------------|--------------------|-------------|
| Varyasyon Kaynağı | Serbestlik Derecesi | Tüm Varyans | Varyans | F _{hesap} | F _{tablo} | Önem Düzeyi |
| Gruplar Arası | 2 | 1390.161 | 695.081 | 2.209 | 2.996 | N.S. |
| Gruplar İçi | 298 | 93772.929 | 314.674 | | | |
| Toplam | 300 | 95163.090 | 317.210 | | | |
| B o n i t e t | | | | | | |
| Varyasyon Kaynağı | Serbestlik Derecesi | Tüm Varyans | Varyans | F _{hesap} | F _{tablo} | Önem Düzeyi |
| Gruplar Arası | 2 | 595.301 | 297.651 | 0.938 | 2.996 | N.S. |
| Gruplar İçi | 298 | 94569.046 | 317.346 | | | |
| Toplam | 300 | 95164.347 | 317.214 | | | |
| Y i l l i k H a l k a G e n i ş l i ğ i | | | | | | |
| Varyasyon Kaynağı | Serbestlik Derecesi | Tüm Varyans | Varyans | F _{hesap} | F _{tablo} | Önem Düzeyi |
| Gruplar Arası | 2 | 4884.263 | 2442.131 | 8.068 | 6.908 | *** |
| Gruplar İçi | 289 | 87478.863 | 302.695 | | | |
| Toplam | 291 | 92363.126 | 317.399 | | | |
| Y ö n | | | | | | |
| Varyasyon Kaynağı | Serbestlik Derecesi | Tüm Varyans | Varyans | F _{hesap} | F _{tablo} | Önem Düzeyi |
| Gruplar Arası | 1 | 177.787 | 177.787 | 0.559 | 3.841 | N.S. |
| Gruplar İçi | 299 | 94986.560 | 317.681 | | | |
| Toplam | 300 | 95164.347 | 317.214 | | | |

Tablo III.23 incelendiğinde; bölge, bonitet ve yön kriterlerinin daha önce yapılan Bartlett testinde varyanslarının, varyans analizi sonucunda da aritmetik ortalamalarının özdeş olması sebebi ile anlamlı bir farklılık oluşturmadığı sonucuna varılmıştır. Yıllık halka genişliği faktörünün ise % 99.9 güven düzeyinde farklılık oluşturduğu belirlenmiştir. Yapılan Duncan testi sonucunda, bütün yıllık halka genişliği sınıflarının (0-4 mm, 4-8 mm ve 8-12 mm) birbirinden farklı olduğu, aynı toplumu temsil etmediğleri sonucuna varılmıştır.

Sonuç olarak; her yıllık halka genişliği sınıfı için yaz odunu trahe teğet çapı ortalama değerlerinin 0-4 mm genişlik sınıfı için $114.481 \mu\text{m}$, 4-8 mm genişlik sınıfı için $108.735 \mu\text{m}$, 8-12 mm genişlik sınıfı için ise $101.037 \mu\text{m}$ olduğu belirlenmiştir. Böylece yaz odunu trahe teğet çapının ilkbahar odunu tabakasına benzer şekilde yıllık halka genişliği arttıkça, azalma gösterdiği belirlenmiştir.

Tablo III.24: Yaz Odunu Trahe Radyal Çapı Varyans Analizi

| B ö l g e | | | | | | |
|---------------------------------------|---------------------|-------------|----------|--------------------|--------------------|-------------|
| Varyasyon Kaynağı | Serbestlik Derecesi | Tüm Varyans | Varyans | F _{hesap} | F _{tablo} | Önem Düzeyi |
| Gruplar Arası | 2 | 6879.573 | 3439.786 | 5.173 | 4.605 | ** |
| Gruplar İçi | 283 | 188197.020 | 665.007 | | | |
| Toplam | 285 | 195076.593 | 684.477 | | | |
| B o n i t e t | | | | | | |
| Varyasyon Kaynağı | Serbestlik Derecesi | Tüm Varyans | Varyans | F _{hesap} | F _{tablo} | Önem Düzeyi |
| Gruplar Arası | 2 | 1135.639 | 567.819 | 0.829 | 2.996 | N.S. |
| Gruplar İçi | 283 | 193942.665 | 685.310 | | | |
| Toplam | 285 | 195078.304 | 684.485 | | | |
| Y i l i k H a l k a G e n i ş l i ğ i | | | | | | |
| Varyasyon Kaynağı | Serbestlik Derecesi | Tüm Varyans | Varyans | F _{hesap} | F _{tablo} | Önem Düzeyi |
| Gruplar Arası | 2 | 832.249 | 416.125 | 0.623 | 2.996 | N.S. |
| Gruplar İçi | 276 | 184279.318 | 667.679 | | | |
| Toplam | 278 | 185111.567 | 665.869 | | | |
| Y ö n | | | | | | |
| Varyasyon Kaynağı | Serbestlik Derecesi | Tüm Varyans | Varyans | F _{hesap} | F _{tablo} | Önem Düzeyi |
| Gruplar Arası | 1 | 4.979 | 4.979 | 0.0073 | 3.841 | N.S. |
| Gruplar İçi | 284 | 194005.735 | 683.119 | | | |
| Toplam | 285 | 194010.714 | 680.739 | | | |

Tablo III.24 incelendiğinde; bonitet, yıllık halka genişliği ve yön kriterlerinin yaz odunu trahe radyal çapları üzerinde etkili olmadıkları görülmektedir. Bölge faktörünün ise % 99 güven düzeyinde farklılık oluşturduğu belirlenmiştir. Farklı olan bölgenin belirlenebilmesi için yapılan Duncan testi sonucunda, Kocaman Bölgesinin farklı olduğu, Altınçay ve Aktaş Bölgelerinin ise aynı toplumu temsil ettiğini belirlenmiştir. Bölgelere ait ortalama değerler incelendiğinde, en yüksek ortalamanın Kocaman Bölgesinde bulunduğu ($147.589 \mu\text{m}$) anlaşılmaktadır.

III.2.1.3 Trahe Lümen Genişlikleri

Ceviz odununda trahe lümen genişliklerine ait istatistik değerlendirme sonuçları toplu olarak Tablo III.25'de verilmiştir.

Tablo III.25: Trahe Lümen Genişliği İstatistik Değerleri

| İstatistik Özellikler | Altıncay | | | | Aktaş | | | | Kocaman | | | | Tüm Toplum | | | | Genel*** | |
|----------------------------------------------------------|----------------|-----------------|----------------|-----------------|----------------|-----------------|----------------|-----------------|-----------------|-----------------|----------------|-----------------|----------------|-----------------|----------------|-----------------|----------------|----------------|
| | İ.B.O.* | | Y.O.** | | İ.B.O. | | Y.O. | | İ.B.O. | | Y.O. | | İ.B.O. | | Y.O. | | | |
| | Tejet Genişlik | Radyal Genişlik | Tejet Genişlik | Radyal Genişlik | Tejet Genişlik | Radyal Genişlik | Tejet Genişlik | Radyal Genişlik | Tejet Genişlik | Radyal Genişlik | Tejet Genişlik | Radyal Genişlik | Tejet Genişlik | Radyal Genişlik | Tejet Genişlik | Radyal Genişlik | | |
| Örnek Sayısı (n) | 118 | 110 | 118 | 110 | 103 | 103 | 103 | 103 | 79 | 74 | 80 | 73 | 300 | 287 | 301 | 286 | 573 | |
| Aritmetik Ortalama (\bar{x}) (μm) | 147.910 | 207.248 | 100.418 | 125.745 | 144.149 | 201.657 | 98.181 | 125.638 | 156.143 | 223.009 | 103.508 | 137.142 | 148.757 | 209.305 | 100.474 | 128.616 | 124.590 | |
| Ortalamanın Standart Hatası (S_x) | 2.212 | 3.510 | 1.753 | 2.521 | 2.255 | 3.336 | 1.385 | 2.165 | 2.164 | 4.324 | 1.891 | 3.252 | 1.321 | 2.169 | 1.013 | 1.519 | 1.290 | |
| Standart Sapma (s) | 24.032 | 36.814 | 19.041 | 26.445 | 22.884 | 33.854 | 16.086 | 21.972 | 19.231 | 37.197 | 16.918 | 27.787 | 22.872 | 36.739 | 17.579 | 25.697 | 31.618 | |
| Varyans (s^2) | 577.542 | 1355.271 | 362.559 | 699.352 | 523.677 | 1146.116 | 258.773 | 482.752 | 369.831 | 1383.613 | 286.231 | 772.142 | 523.131 | 1349.718 | 309.016 | 660.317 | 999.701 | |
| Varyasyon Katsayısı (% V) | 16.248 | 17.763 | 18.962 | 21.031 | 15.875 | 16.788 | 16.384 | 17.488 | 12.316 | 16.679 | 16.345 | 20.261 | 15.372 | 17.553 | 17.496 | 19.979 | 25.378 | |
| Minimum ve Maksimum Değer (μm) (Yıllık halka ortalaması) | 73.333-208.000 | 86.667-293.333 | 37.333-148.000 | 58.667-206.667 | 82.667-189.333 | 120.000-268.000 | 60.000-137.333 | 78.667-172.000 | 110.667-149.333 | 134.667-206.667 | 70.667-294.667 | 88.000-220.000 | 73.333-208.000 | 86.667-294.667 | 37.333-220.000 | 58.667-208.000 | 37.333-208.000 | 58.667-294.667 |
| Minimum ve Maksimum Değer (Tüm Veriler) (μm) | 64.000-272.000 | 80.000-336.000 | 32.000-164.000 | 44.000-236.000 | 72.000-232.000 | 96.000-316.000 | 36.000-232.000 | 108.000-248.000 | 108.000-336.000 | 52.000-172.000 | 64.000-256.000 | 80.000-176.000 | 32.000-272.000 | 80.000-336.000 | 32.000-256.000 | 80.000-272.000 | 36.000-336.000 | |

*: İlkbahar odunu

**: Yaz odunu

*** : İlkbahar odunu ve yaz odunu farkı dikkate alınmamıştır.

Tablo III.25 incelendiğinde; ilkbahar odunu trahe teğet lümen genişliği ortalama değerlerinin Altınçay Bölgesinde $147.910 \mu\text{m}$, Aktaş Bölgesinde $144.149 \mu\text{m}$, Kocaman Bölgesinde $156.143 \mu\text{m}$, tüm toplumda ise $148.787 \mu\text{m}$ olduğu görülmektedir. Yaz odunu için ortalama değerler; Altınçay Bölgesinde $100.418 \mu\text{m}$, Aktaş Bölgesi için $98.181 \mu\text{m}$, Kocaman Bölgesi için $103.508 \mu\text{m}$ olarak değişim gösterirken, tüm toplum için $100.474 \mu\text{m}$ olarak bulunmuştur. Yine aynı tablodan, ilkbahar odunu trahe radyal lümen genişliği ortalama değerlerinin Altınçay Bölgesinde $207.248 \mu\text{m}$, Aktaş Bölgesinde $201.657 \mu\text{m}$, Kocaman Bölgesinde $223.009 \mu\text{m}$, tüm toplumda ise $209.305 \mu\text{m}$ olduğu görülmektedir. Yaz odunu için ortalama değerlerin Altınçay Bölgesinde $125.745 \mu\text{m}$, Aktaş Bölgesinde $125.638 \mu\text{m}$, Kocaman Bölgesinde $137.142 \mu\text{m}$, tüm toplumda ise $128.616 \mu\text{m}$ olduğu tespit edilmiştir. İlkbahar odunu ve yaz odunu ayrıt edilmeksiz trahe teğet lümen genişliği genel ortalama değeri $124.590 \mu\text{m}$, trahe radyal lümen genişliği genel ortalama değeri de $169.031 \mu\text{m}$ olarak belirlenmiştir.

Sonuç olarak; hem ilkbahar odunu hem de yaz odunu trahe teğet lümen genişliği ortalama değerlerinin Kocaman Bölgesinde en yüksek, Aktaş Bölgesinde ise en düşük olduğu tespit edilmiştir. Trahe radyal lümen genişlikleri için de aynı sonuçlar geçerli olmakla birlikte yalnızca yaz odunu için Aktaş Bölgesi ile Altınçay Bölgesinin ortalama değerleri birbirine çok yakın bulunmuştur.

Trahe lümen genişliği üzerinde bölge, bonitet, yıllık halka genişliği ve yön ayırm kriterlerinin etkisini belirlemek üzere yapılan Bartlett testi ve varyans analizlerine ait sonuçlar sırası ile Tablo III.26, Tablo III.27, Tablo III.28, Tablo III.29 ve Tablo III.30'da verilmiştir.

Tablo III.26: Trahe Lümen Genişliği Bartlett Testi

| Değişkenlik Kaynağı | Ayırım Kriterleri | İstatistik Özellikler | | | | |
|-------------------------------------------|------------------------|-----------------------|-----|-------------------------|-------------------------|-------------|
| | | n | v | χ^2_{hesap} | χ^2_{tablo} | Önem Düzeyi |
| İ.B.O. Trahe Teğet Lümen Genişliği | Bölge | 300 | 297 | 4.575 | 5.991 | N.S. |
| | Bonitet | 300 | 297 | 2.622 | 5.991 | N.S. |
| | Yıllık Halka Genişliği | 286 | 283 | 5.316 | 5.991 | N.S. |
| | Yön | 300 | 298 | 0.120 | 3.841 | N.S. |
| İ.B.O. Trahe Radyal Lümen Genişliği | Bölge | 287 | 284 | 1.000 | 5.991 | N.S. |
| | Bonitet | 287 | 284 | 1.470 | 5.991 | N.S. |
| | Yıllık Halka Genişliği | 279 | 276 | 2.146 | 5.991 | N.S. |
| | Yön | 287 | 285 | 0.0027 | 3.841 | N.S. |
| Y.O. Trahe Teğet Lümen Genişliği | Bölge | 301 | 298 | 3.298 | 5.991 | N.S. |
| | Bonitet | 301 | 298 | 3.673 | 5.991 | N.S. |
| | Yıllık Halka Genişliği | 292 | 289 | 4.272 | 5.991 | N.S. |
| | Yön | 301 | 299 | 0.00042 | 3.841 | N.S. |
| Y.O. Trahe Radyal Lümen Genişliği | Bölge | 286 | 283 | 5.472 | 5.991 | N.S. |
| | Bonitet | 286 | 283 | 4.220 | 5.991 | N.S. |
| | Yıllık Halka Genişliği | 279 | 276 | 4.630 | 5.991 | N.S. |
| | Yön | 281 | 279 | 0.815 | 3.841 | N.S. |

Tablo III.26 incelendiğinde; varyansların eşit olduğu kabul edildiği için bölge, bonitet, yıllık halka genişliği ve yön kriterlerinin trahe lümen genişliği üzerinde etkili olmadığı sonucuna ulaşılmıştır.

Tablo III.27: İlkbahar Odunu Trahe Teğet Lümen Genişliği Varyans Analizi

| B ö l g e | | | | | | |
|-----------------------------------------|---------------------|-------------|----------|--------------------|--------------------|-------------|
| Varyasyon Kaynağı | Serbestlik Derecesi | Tüm Varyans | Varyans | F _{hesap} | F _{tablo} | Önem Düzeyi |
| Gruplar Arası | 2 | 6581.846 | 3290.923 | 6.523 | 4.605 | ** |
| Gruplar İçi | 297 | 149834.342 | 504.493 | | | |
| Toplam | 299 | 156416.188 | 523.131 | | | |
| B o n i t e t | | | | | | |
| Varyasyon Kaynağı | Serbestlik Derecesi | Tüm Varyans | Varyans | F _{hesap} | F _{tablo} | Önem Düzeyi |
| Gruplar Arası | 2 | 1456.585 | 728.293 | 1.420 | 2.996 | N.S. |
| Gruplar İçi | 297 | 152363.069 | 513.007 | | | |
| Toplam | 299 | 153819.654 | 514.447 | | | |
| Y i l l i k H a l k a G e n i s l i g i | | | | | | |
| Varyasyon Kaynağı | Serbestlik Derecesi | Tüm Varyans | Varyans | F _{hesap} | F _{tablo} | Önem Düzeyi |
| Gruplar Arası | 2 | 3613.823 | 1806.911 | 3.533 | 2.996 | * |
| Gruplar İçi | 283 | 144715.904 | 511.364 | | | |
| Toplam | 285 | 148329.727 | 520.455 | | | |
| Y ö n | | | | | | |
| Varyasyon Kaynağı | Serbestlik Derecesi | Tüm Varyans | Varyans | F _{hesap} | F _{tablo} | Önem Düzeyi |
| Gruplar Arası | 1 | 72.221 | 72.221 | 0.140 | 3.841 | N.S. |
| Gruplar İçi | 298 | 153747.433 | 515.931 | | | |
| Toplam | 299 | 153819.654 | 514.447 | | | |

Tablo III.27 incelendiğinde bonitet ve yön kriterlerinin ilkbahar odunu trahe teğet lümen genişliği üzerinde etkili olmadığı, aritmetik ortalamaların özdeş olması nedeni ile farklı bonitet ve yön gruplarının aynı toplumu temsil ettiğleri görülmektedir. Bölge faktörünün ise % 99 güven düzeyinde etkisi olduğu tespit edilmiştir. Yapılan Duncan testi sonucunda, Kocaman Bölgesinin diğer bölgelerden farklı olduğu, Altınçay ve Aktaş Bölgelerinin aynı toplumu temsil ettiğleri belirlenmiştir. Ayrıca, yıllık halka genişliğinin de % 95 güven düzeyinde anlamlı bir farklılık oluşturduğu tespit edilmiştir. Yapılan Duncan Testi sonucunda 8-12 mm genişlik sınıfının farklı, 0-4 mm ve 4-8 mm yıllık halka genişliği sınıflarının ise benzer oldukları sonucuna varılmıştır.

Bölgelere ait ortalama teğet lümen genişlikleri incelendiğinde, en yüksek ortalama değere Kocaman Bölgesinin sahip olduğu (147.589 µm) anlaşılmaktadır. Her yıllık halka genişliği sınıfı için ise ortalama teğet lümen genişlikleri 0-4 mm genişlik sınıfı için 151.109 µm, 4-8 mm genişlik sınıfı için 148.746 µm, 8-12 mm genişlik sınıfı için 138.154 µm olarak belirlenmiş olup, yıllık halka genişliği arttıkça teğet lümen genişliğinin azalma gösterdiği belirlenmiştir.

Tablo III.28: İlkbahar Odunu Trahe Radyal Lümen Genişliği Varyans Analizi

| Bölge | | | | | | |
|------------------------|---------------------|-------------|-----------|--------------------|--------------------|-------------|
| Varyasyon Kaynağı | Serbestlik Derecesi | Tüm Varyans | Varyans | F _{hesap} | F _{tablo} | Önem Düzeyi |
| Gruplar Arası | 2 | 20387.172 | 10193.586 | 7.918 | 6.908 | *** |
| Gruplar İçi | 284 | 365632.041 | 1287.437 | | | |
| Toplam | 286 | 386019.213 | 1349.717 | | | |
| Bonitet | | | | | | |
| Varyasyon Kaynağı | Serbestlik Derecesi | Tüm Varyans | Varyans | F _{hesap} | F _{tablo} | Önem Düzeyi |
| Gruplar Arası | 2 | 9159.069 | 4579.534 | 3.451 | 2.996 | * |
| Gruplar İçi | 284 | 376859.074 | 1326.969 | | | |
| Toplam | 286 | 386018.143 | 1349.714 | | | |
| Yıllık Halka Genişliği | | | | | | |
| Varyasyon Kaynağı | Serbestlik Derecesi | Tüm Varyans | Varyans | F _{hesap} | F _{tablo} | Önem Düzeyi |
| Gruplar Arası | 2 | 11871.566 | 5935.783 | 4.485 | 2.996 | * |
| Gruplar İçi | 276 | 365303.759 | 1323.564 | | | |
| Toplam | 278 | 377175.325 | 1356.746 | | | |
| Yönlendirme | | | | | | |
| Varyasyon Kaynağı | Serbestlik Derecesi | Tüm Varyans | Varyans | F _{hesap} | F _{tablo} | Önem Düzeyi |
| Gruplar Arası | 1 | 697.405 | 697.405 | 0.519 | 3.841 | N.S. |
| Gruplar İçi | 285 | 382661.170 | 1342.671 | | | |
| Toplam | 286 | 383358.575 | 1340.415 | | | |

Tablo III.28 incelendiğinde; bölge faktörünün % 99.9 güven düzeyinde, bonitet ve yıllık halka genişliği faktörlerinin ise % 95 güven düzeyinde ilkbahar odunu trahe radyal lümen genişliği üzerinde etkili oldukları belirlenmiştir. Yapılan Duncan testi sonucunda, Kocaman Bölgesinin diğer iki bölgeden farklı olduğu, Altınçay ve Aktaş Bölgelerinin ise aynı toplumu temsil ettikleri, bonitet sınıflarından I. bonitet ve III. bonitetler arasında farklılık olduğu, I. ve II. bonitet ile II. ve III. bonitet sınıflarının ise özdeş oldukları, yıllık halka genişliği sınıfları arasında ise 0-4 mm ve 4-8 mm'lik grupların birbirinden farklı olduğu, 0-4 mm ve 8-12 mm yine 4-8 mm ve 8-12 mm yıllık halka genişliği gruplarının ise özdeş oldukları tespit edilmiştir. Yön faktörünün ise ilkbahar odunu trahe radyal lümen genişliği üzerinde etkili olmadığı görülmüştür.

Bölgeler arası ilkbahar odunu ortalama trahe radyal lümen genişlikleri incelendiğinde, Kocaman bölgesinin en yüksek ortalama (223.009 µm) sahip olduğu görülmektedir. Aynı değerlendirme bonitet sınıfları için gerçekleştirildiğinde, trahe radyal lümen genişliği ortalama değeri I. bonitet için 215.908 µm, II. bonitet için 212.068 µm, III. bonitet için ise 202.823 µm olarak belirlenmiştir. Böylece, iyi ve kötü yetişme şartlarının ilkbahar odunu trahe radyal lümen genişlikleri üzerinde etkili olduğu, bonitet düştükçe radyal lümen genişliklerinin azaldığı tespit edilmiştir. Yıllık halka genişliği için yapılan değerlendirme ise 0-4 mm genişlik sınıfı için 204.279 µm, 4-8 mm genişlik sınıfı için 216.635 µm ve 8-12 mm genişlik sınıfı için de 200.938 µm olduğu belirlenmiştir. Üç genişlik sınıfına ait ortalama değerler incelendiğinde, yıllık halka genişliğinin artış ve azalışına bağlı bir değişim gözlenmemiştir, en yüksek ortalama değeri 4-8 mm genişlik sınıfı vermiştir.

Tablo III.29: Yaz Odunu Trahe Teğet Lümen Genişliği Varyans Analizi

| B ö l ğ e | | | | | | |
|------------------------|---------------------|-------------|----------|--------------------|--------------------|-------------|
| Varyasyon Kaynağı | Serbestlik Derecesi | Tüm Varyans | Varyans | F _{hesap} | F _{tablo} | Önem Düzeyi |
| Gruplar Arası | 2 | 1278.417 | 639.209 | 2.083 | 2.996 | N.S. |
| Gruplar İçi | 298 | 91426.289 | 306.799 | | | |
| Toplam | 300 | 92704.706 | 309.016 | | | |
| B o n i t e t | | | | | | |
| Varyasyon Kaynağı | Serbestlik Derecesi | Tüm Varyans | Varyans | F _{hesap} | F _{tablo} | Önem Düzeyi |
| Gruplar Arası | 2 | 559.654 | 279.827 | 0.905 | 2.996 | N.S. |
| Gruplar İçi | 298 | 92143.992 | 309.208 | | | |
| Toplam | 300 | 92703.646 | 309.012 | | | |
| Yıllık Halka Genişliği | | | | | | |
| Varyasyon Kaynağı | Serbestlik Derecesi | Tüm Varyans | Varyans | F _{hesap} | F _{tablo} | Önem Düzeyi |
| Gruplar Arası | 2 | 4271.372 | 2360.686 | 8.024 | 6.908 | *** |
| Gruplar İçi | 289 | 85024.385 | 294.202 | | | |
| Toplam | 291 | 89745.757 | 308.405 | | | |
| Y ö n | | | | | | |
| Varyasyon Kaynağı | Serbestlik Derecesi | Tüm Varyans | Varyans | F _{hesap} | F _{tablo} | Önem Düzeyi |
| Gruplar Arası | 1 | 160.977 | 160.977 | 0.520 | 3.841 | N.S. |
| Gruplar İçi | 299 | 92542.669 | 309.507 | | | |
| Toplam | 300 | 92703.646 | 309.012 | | | |

Tablo III.29 incelediğinde; bölge, bonitet ve yön faktörünün aritmetik ortalamaların özdeş olması sebebi ile anlamlı bir farklılık oluşturmadığı sonucuna varılmıştır. Yıllık halka genişliği faktörünün ise % 99.9 güven düzeyinde farklılık oluşturduğu belirlenmiştir. Yapılan Duncan testi sonucunda bütün yıllık halka genişliği sınıflarının birbirinden farklı olduğu, aynı toplumu temsil etmediği sonucuna varılmıştır.

Tablo III.30: Yaz Odunu Trahe Radyal Lümen Genişliği Varyans Analizi

| B ö l ğ e | | | | | | |
|------------------------|---------------------|-------------|----------|--------------------|--------------------|-------------|
| Varyasyon Kaynağı | Serbestlik Derecesi | Tüm Varyans | Varyans | F _{hesap} | F _{tablo} | Önem Düzeyi |
| Gruplar Arası | 2 | 7126.024 | 3563.012 | 5.569 | 4.605 | ** |
| Gruplar İçi | 283 | 181064.533 | 639.804 | | | |
| Toplam | 285 | 188190.557 | 660.318 | | | |
| B o n i t e t | | | | | | |
| Varyasyon Kaynağı | Serbestlik Derecesi | Tüm Varyans | Varyans | F _{hesap} | F _{tablo} | Önem Düzeyi |
| Gruplar Arası | 2 | 1122.686 | 561.343 | 0.849 | 2.996 | N.S. |
| Gruplar İçi | 283 | 187069.653 | 661.023 | | | |
| Toplam | 285 | 188192.339 | 660.324 | | | |
| Yıllık Halka Genişliği | | | | | | |
| Varyasyon Kaynağı | Serbestlik Derecesi | Tüm Varyans | Varyans | F _{hesap} | F _{tablo} | Önem Düzeyi |
| Gruplar Arası | 2 | 882.613 | 441.306 | 0.687 | 2.996 | N.S. |
| Gruplar İçi | 276 | 177336.805 | 642.525 | | | |
| Toplam | 278 | 178219.417 | 641.077 | | | |
| Y ö n | | | | | | |
| Varyasyon Kaynağı | Serbestlik Derecesi | Tüm Varyans | Varyans | F _{hesap} | F _{tablo} | Önem Düzeyi |
| Gruplar Arası | 1 | 0.389 | 0.389 | 0.0006 | 3.841 | N.S. |
| Gruplar İçi | 279 | 185060.861 | 663.300 | | | |
| Toplam | 280 | 185061.250 | 660.933 | | | |

Tablo III.30 incelendiğinde; bonitet, yıllık halka genişliği ve yön kriterlerinin yaz odunu trahe radyal lümen genişliği üzerinde etkili olmadıkları tespit edilmiştir. Bölge farktörünün ise, % 99 güven düzeyinde anlamlı bir farklılık oluşturduğu belirlenmiştir. Farklı olan bölgenin belirlenebilmesi için yapılan Duncan testi sonucunda, Kocaman Bölgesinin farklı olduğu, diğer iki bölgenin ise aynı toplumu temsil ettikleri tespit edilmiştir. Kocaman Bölgesinde ortalama trahe radyal lümen genişliğinin en yüksek olduğu ($137.142 \mu\text{m}$) belirlenmiştir.

III.2.1.4 Trahe Çeber Kalınlıkları

Yapılan incelemeler sonucunda, trahe çift çeber kalınlıklarına ait istatistik özellikler Tablo III.31'de toplu olarak verilmiştir.

Tablo III.31: Trahe Çeper Kalınlığı İstatistik Değerleri

| İstatistik Özellikler | BÖLGELEER | | | | | | Tüm Toplum | | | | | | Genel*** | |
|----------------------------------------------------------|---------------|---------------|---------------|---------------|-----------------|----------------|-----------------------|-----------------|-----------------------|-----------------------|-----------------|-----------------------|---------------|--|
| | Altınçay | | | Aktas | | | İ.B.O. | | | Y.O. | | | | |
| | İ.B.O.* | Y.O.** | İ.B.O. | İ.B.O. | Radyal Kalınlık | Teget Kalınlık | Teget Radyal Kalınlık | Radyal Kalınlık | Teget Radyal Kalınlık | Teget Radyal Kalınlık | Radyal Kalınlık | Teget Radyal Kalınlık | | |
| Ornak Sayısı (n) | 118 | 110 | 118 | 110 | 103 | 103 | 79 | 74 | 80 | 73 | 300 | 287 | 301 | |
| Aritmetik Ortalama (X̄) (µm) | 11.599 | 11.939 | 10.164 | 10.449 | 11.230 | 12.033 | 9.864 | 10.867 | 11.831 | 12.226 | 10.092 | 10.447 | 11.533 | |
| Oriatalanın Standard Hatası (Sx) | 0.225 | 0.192 | 0.170 | 0.147 | 0.222 | 0.211 | 0.193 | 0.295 | 0.197 | 0.164 | 0.191 | 0.140 | 0.117 | |
| Standart Sapma (S) | 2.439 | 2.014 | 1.851 | 1.541 | 2.248 | 2.146 | 1.963 | 2.618 | 1.696 | 1.465 | 1.633 | 2.428 | 1.984 | |
| Varyans (S ²) | 5.951 | 4.057 | 3.426 | 2.374 | 5.052 | 4.604 | 3.855 | 3.842 | 6.855 | 2.876 | 2.146 | 2.667 | 5.897 | |
| Varyasyon Katsayısı (% V) | 21.028 | 16.869 | 18.211 | 14.748 | 20.018 | 17.834 | 19.901 | 18.036 | 22.128 | 13.872 | 14.516 | 15.631 | 21.053 | |
| Minimum ve Maksimum Deger (µm) (Yüksek halka ortalaması) | 8.000- 21.333 | 6.667- 17.333 | 6.667- 16.000 | 6.667- 16.000 | 8.000- 17.333 | 8.000- 17.333 | 8.000- 14.667 | 8.000- 20.000 | 17.333 | 14.667 | 16.000 | 8.000- 16.000 | 6.667- 17.333 | |
| Minimum ve Maksimum Deger (Tüm Veriler) (µm) | 8.000- 24.000 | 4.000- 20.000 | 4.000- 20.000 | 4.000- 24.000 | 8.000- 20.000 | 4.000- 16.000 | 4.000- 24.000 | 8.000- 20.000 | 20.000 | 4.000- 24.000 | 20.000 | 4.000- 24.000 | 4.000- 20.000 | |

*: İlkbahar odunu

**: Yaz odunu

*** : İlkbahar ve yaz odunu farkı dikkate alınmamıştır.

Tablo III.31 incelendiğinde; ilkbahar odunu trahe teğet çeper kalınlığı ortalama değerlerinin Altınçay Bölgesinde 11.599 μm , Aktaş Bölgesinde 11.230 μm , Kocaman Bölgesinde 11.831 μm , tüm toplumda ise 11.533 μm olduğu görülmektedir. Yaz odunu için ortalama değerler, Altınçay Bölgesinde 10.164 μm , Aktaş Bölgesinde 9.864 μm , Kocaman Bölgesinde 10.092 μm olarak değişim gösterirken tüm toplum için 10.042 μm olarak bulunmuştur. Yine aynı tablodan ilkbahar odunu trahe radyal çeper kalınlığı ortalama değerlerinin Altınçay Bölgesinde 11.939 μm , Aktaş Bölgesinde 12.033 μm , Kocaman Bölgesinde 12.226 μm , tüm toplumda ise 12.047 μm olduğu görülmektedir. Yaz odunu için ortalama değerlerin, Altınçay Bölgesinde 10.449 μm , Aktaş Bölgesinde 10.867 μm , Kocaman Bölgesinde 10.447 μm , tüm toplumda ise 10.599 μm olduğu belirlenmiştir. İlkbahar odunu ve yaz odunu ayrıt edilmeksiz trahe teğet çeper kalınlığı genel ortalama değeri 10.786 μm , trahe radyal çeper kalınlığı genel ortalama değeri ise 11.324 μm olarak tespit edilmiştir.

Sonuç olarak; İlkbahar odunu trahe çeperlerinin yaz odunu trahe çeperlerinden biraz daha kalın olduğu belirlenmiştir.

Trahe çeper kalınlığı üzerinde bölge, bonitet, yıllık halka genişliği ve yön ayırım kriterlerinin etkisinin var olup olmadığını belirlemek üzere Bartlett testi ve varyans analizleri yapılmış, sonuçlar sırası ile Tablo III.32, Tablo III.33, Tablo III.34, Tablo III.35 ve Tablo III.36'da verilmiştir.

Tablo III.32: Trahe Çeper Kalınlığı Bartlett Testi

| Değişkenlik Kaynağı | Ayırım Kriterleri | İstatistik Özellikler | | | | |
|-------------------------------------------|------------------------|-----------------------|-----|-------------------------|-------------------------|-------------|
| | | n | v | χ^2_{besap} | χ^2_{tablo} | Önem Düzeyi |
| İ.B.O. Trahe Teğet Çeper Kalınlığı | Bölge | 300 | 297 | 2.085 | 5.991 | N.S. |
| | Bonitet | 300 | 297 | 1.273 | 5.991 | N.S. |
| | Yıllık Halka Genişliği | 291 | 288 | 0.161 | 5.991 | N.S. |
| | Yön | 300 | 298 | 0.416 | 3.841 | N.S. |
| İ.B.O. Trahe Radyal Çeper Kalınlığı | Bölge | 287 | 284 | 4.598 | 5.991 | N.S. |
| | Bonitet | 287 | 284 | 1.325 | 5.991 | N.S. |
| | Yıllık Halka Genişliği | 279 | 276 | 1.968 | 5.991 | N.S. |
| | Yön | 288 | 286 | 3.298 | 3.841 | N.S. |
| Y.O. Trahe Teğet Çeper Kalınlığı | Bölge | 301 | 298 | 7.663 | 5.991 | * |
| | Bonitet | 301 | 298 | 2.733 | 5.991 | N.S. |
| | Yıllık Halka Genişliği | 292 | 289 | 1.259 | 5.991 | N.S. |
| | Yön | 301 | 299 | 0.224 | 3.841 | N.S. |
| Y.O. Trahe Radyal Çeper Kalınlığı | Bölge | 286 | 283 | 6.607 | 5.991 | * |
| | Bonitet | 286 | 283 | 1.780 | 5.991 | N.S. |
| | Yıllık Halka Genişliği | 279 | 276 | 2.267 | 5.991 | N.S. |
| | Yön | 286 | 284 | 1.219 | 3.841 | N.S. |

Tablo III.32 incelendiğinde; sadece bölge faktörünün % 95 güven düzeyinde yaz odunu trahe çeper kalınlıkları üzerinde etkili olduğu, diğer tüm faktörlerin ise

varyanslarının eşit çıkması nedeni ile trahe çeper kalınlıkları üzerinde herhangi bir farklılık meydana getirmediği tespit edilmiştir.

Tablo III.33: İlkbahar Odunu Trahe Teğet Çeper Kalınlığı Varyans Analizi

| B ö l g e | | | | | | |
|-----------------------------------------|---------------------|-------------|---------|--------------------|--------------------|-------------|
| Varyasyon Kaynağı | Serbestlik Derecesi | Tüm Varyans | Varyans | F _{hesap} | F _{tablo} | Önem Düzeyi |
| Gruplar Arası | 2 | 16.990 | 8.495 | 1.445 | 2.996 | N.S. |
| Gruplar İçi | 297 | 1746.278 | 5.880 | | | |
| Toplam | 299 | 1763.268 | 5.897 | | | |
| B o n i t e t | | | | | | |
| Varyasyon Kaynağı | Serbestlik Derecesi | Tüm Varyans | Varyans | F _{hesap} | F _{tablo} | Önem Düzeyi |
| Gruplar Arası | 2 | 2.192 | 1.096 | 0.185 | 2.996 | N.S. |
| Gruplar İçi | 297 | 1761.063 | 5.929 | | | |
| Toplam | 299 | 1763.255 | 5.897 | | | |
| Y i l l i k H a l k a G e n i ş l i ğ i | | | | | | |
| Varyasyon Kaynağı | Serbestlik Derecesi | Tüm Varyans | Varyans | F _{hesap} | F _{tablo} | Önem Düzeyi |
| Gruplar Arası | 2 | 8.387 | 4.194 | 0.712 | 2.996 | N.S. |
| Gruplar İçi | 288 | 1695.498 | 5.887 | | | |
| Toplam | 290 | 1703.885 | 5.875 | | | |
| Y ö n | | | | | | |
| Varyasyon Kaynağı | Serbestlik Derecesi | Tüm Varyans | Varyans | F _{hesap} | F _{tablo} | Önem Düzeyi |
| Gruplar Arası | 1 | 0.619 | 0.619 | 0.105 | 3.841 | N.S. |
| Gruplar İçi | 298 | 1762.636 | 5.915 | | | |
| Toplam | 299 | 1763.255 | 5.897 | | | |

Tablo III.34: İlkbahar Odunu Trahe Radyal Çeper Kalınlığı Varyans Analizi

| B ö l g e | | | | | | |
|-----------------------------------------|---------------------|--------------|-----------|--------------------|--------------------|-------------|
| Varyasyon Kaynağı | Serbestlik Derecesi | Tüm Varyans | Varyans | F _{hesap} | F _{tablo} | Önem Düzeyi |
| Gruplar Arası | 2 | 3.650 | 1.825 | 0.462 | 2.996 | N.S. |
| Gruplar İçi | 284 | 1121.803 | 3.950 | | | |
| Toplam | 286 | 1125.453 | 3.935 | | | |
| B o n i t e t | | | | | | |
| Varyasyon Kaynağı | Serbestlik Derecesi | Tüm Varyans | Varyans | F _{hesap} | F _{tablo} | Önem Düzeyi |
| Gruplar Arası | 2 | 1.656 | 0.828 | 0.209 | 2.996 | N.S. |
| Gruplar İçi | 284 | 1123.689 | 3.957 | | | |
| Toplam | 286 | 1125.345 | 3.935 | | | |
| Y i l l i k H a l k a G e n i ş l i ğ i | | | | | | |
| Varyasyon Kaynağı | Serbestlik Derecesi | Tüm Varyans | Varyans | F _{hesap} | F _{tablo} | Önem Düzeyi |
| Gruplar Arası | 2 | 2.610 | 1.305 | 0.324 | 2.996 | N.S. |
| Gruplar İçi | 276 | 1110.716 | 4.024 | | | |
| Toplam | 278 | 1113.326 | 4.005 | | | |
| Y ö n | | | | | | |
| Varyasyon Kaynağı | Serbestlik Derecesi | Tüm Varyans | Varyans | F _{hesap} | F _{tablo} | Önem Düzeyi |
| Gruplar Arası | 1 | 27183.189 | 27183.189 | 0.692 | 3.841 | N.S. |
| Gruplar İçi | 286 | 11226291.530 | 39252.768 | | | |
| Toplam | 287 | 11253474.219 | 39210.713 | | | |

Tablo III.33 ve Tablo III.34 incelendiğinde; bölge, bonitet, yıllık halka genişliği ve yön faktörlerinin aritmetik ortalamaların eşit çıkması nedeni ile ilkbahar odunu trahe teğet ve radyal çeper kalınlıkları üzerinde anlamlı bir farklılık oluşturmadığı, tüm grupların aynı toplumu temsil ettiği anlaşılmaktadır.

Tablo III.35: Yaz Odunu Trahe Teğet Çeber Kalınlığı Varyans Analizi

| B ö l g e | | | | | | |
|-----------------------------------------|---------------------|-------------|---------|--------------------|--------------------|-------------|
| Varyasyon Kaynağı | Serbestlik Derecesi | Tüm Varyans | Varyans | F _{hesap} | F _{tablo} | Önem Düzeyi |
| Gruplar Arası | 2 | 5.210 | 2.605 | 0.806 | 2.996 | N.S. |
| Gruplar İçi | 298 | 963.629 | 3.234 | | | |
| Toplam | 300 | 968.839 | 3.229 | | | |
| B o n i t e t | | | | | | |
| Varyasyon Kaynağı | Serbestlik Derecesi | Tüm Varyans | Varyans | F _{hesap} | F _{tablo} | Önem Düzeyi |
| Gruplar Arası | 2 | 0.877 | 0.438 | 0.135 | 2.996 | N.S. |
| Gruplar İçi | 298 | 968.502 | 3.250 | | | |
| Toplam | 300 | 969.379 | 3.231 | | | |
| Y i l l i k H a l k a G e n i s l i ğ i | | | | | | |
| Varyasyon Kaynağı | Serbestlik Derecesi | Tüm Varyans | Varyans | F _{hesap} | F _{tablo} | Önem Düzeyi |
| Gruplar Arası | 2 | 3.498 | 1.749 | 0.534 | 2.996 | N.S. |
| Gruplar İçi | 289 | 946.620 | 3.275 | | | |
| Toplam | 291 | 950.118 | 3.265 | | | |
| Y ö n | | | | | | |
| Varyasyon Kaynağı | Serbestlik Derecesi | Tüm Varyans | Varyans | F _{hesap} | F _{tablo} | Önem Düzeyi |
| Gruplar Arası | 1 | 0.362 | 0.362 | 0.111 | 3.841 | N.S. |
| Gruplar İçi | 299 | 973.973 | 3.257 | | | |
| Toplam | 300 | 974.335 | 3.248 | | | |

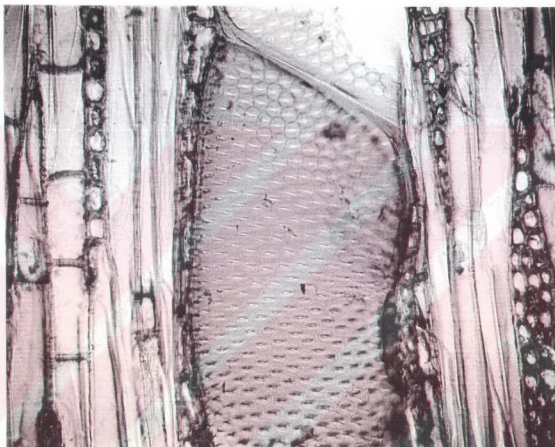
Tablo III.36: Yaz Odunu Trahe Radyal Çeber Kalınlığı Varyans Analizi

| B ö l g e | | | | | | |
|-----------------------------------------|---------------------|-------------|---------|--------------------|--------------------|-------------|
| Varyasyon Kaynağı | Serbestlik Derecesi | Tüm Varyans | Varyans | F _{hesap} | F _{tablo} | Önem Düzeyi |
| Gruplar Arası | 2 | 11.582 | 5.791 | 1.945 | 2.996 | N.S. |
| Gruplar İçi | 283 | 842.693 | 2.978 | | | |
| Toplam | 285 | 854.275 | 2.997 | | | |
| B o n i t e t | | | | | | |
| Varyasyon Kaynağı | Serbestlik Derecesi | Tüm Varyans | Varyans | F _{hesap} | F _{tablo} | Önem Düzeyi |
| Gruplar Arası | 2 | 0.869 | 0.435 | 0.144 | 2.996 | N.S. |
| Gruplar İçi | 283 | 853.643 | 3.016 | | | |
| Toplam | 285 | 854.513 | 2.998 | | | |
| Y i l l i k H a l k a G e n i s l i ğ i | | | | | | |
| Varyasyon Kaynağı | Serbestlik Derecesi | Tüm Varyans | Varyans | F _{hesap} | F _{tablo} | Önem Düzeyi |
| Gruplar Arası | 2 | 1.373 | 0.687 | 0.225 | 2.996 | N.S. |
| Gruplar İçi | 276 | 842.543 | 3.053 | | | |
| Toplam | 278 | 843.916 | 3.035 | | | |
| Y ö n | | | | | | |
| Varyasyon Kaynağı | Serbestlik Derecesi | Tüm Varyans | Varyans | F _{hesap} | F _{tablo} | Önem Düzeyi |
| Gruplar Arası | 1 | 0.073 | 0.073 | 0.025 | 3.841 | N.S. |
| Gruplar İçi | 314 | 923.849 | 2.942 | | | |
| Toplam | 315 | 923.923 | 2.933 | | | |

Tablo III.35 ve Tablo III.36 incelendiğinde; aritmetik ortalamaların eşit olması nedeni ile bölge, bonitet, yıllık halka genişliği ve yön kriterlerinin yaz odunu trahe teğet ve radyal çeber kalınlıkları üzerinde anlamlı bir farklılık oluşturmadığı tespit edilmiştir. Ancak bölge faktörü dikkate alındığında varyansların farklı aritmetik ortalamaların özdeş çıkması sebebi ile varyansı daha büyük olan Aktaş Bölgesinin diğer iki bölgeye göre daha heterojen bir yapıya sahip olduğu kabul edilmiştir.

III.2.1.5 Trahelerdeki Geçitler

Trahe hücrelerine ait geçitler teğet çeperler üzerinde çok sayıda bulunmaktadır. Diziliş düzeni diagonal olup, şekilleri genellikle yuvarlaktır. Ancak kenarları köşeli olan geçitlere de rastlanılmaktadır (Şekil III.15).



Şekil III.15: Trahe Teğet Çeperi Üzerinde Kenarlı Geçitler ve Diagonal Diziliş Düzeni (X270).

Traheler arasında bulunan geçitlere ait istatistik değerlendirme sonuçları Tablo III.37'de verilmiştir.

Tablo III.37: Traheler Arası Geçitlere Ait İstatistik Değerler

| Bölgeler | Traheler Arasındaki Geçitlerin Horizontal Çapı | | | | | | |
|-------------------------------------------------------|----------------------------------------------------|---------------------------------------|--------------------|-------------------|---------------------------|---------------------------------------------|--------------|
| | İstatistik Özellikler | | | | | | |
| Örnek Sayısı (n) | Aritmetik Ortalama (\bar{x}) (μm) | Ortalamanın Standart Hatası (S_x) | Standart Sapma (s) | Varyans (s^2) | Varyasyon Katsayısı (% V) | Minimum ve Maksimum Değer (μm) | |
| Altınçay | 147 | 10.122 | 0.153 | 1.861 | 3.464 | 18.386 | 6.000-14.000 |
| Aktaş | 174 | 10.356 | 0.133 | 1.757 | 3.086 | 16.966 | 6.000-14.000 |
| Kocaman | 123 | 10.276 | 0.187 | 2.070 | 4.284 | 20.144 | 6.000-14.000 |
| Genel | 444 | 10.257 | 0.089 | 1.881 | 3.537 | 18.339 | 6.000-14.000 |
| Traheler Arasındaki Geçitlerin Vertikal Çapı | | | | | | | |
| Altınçay | 147 | 9.891 | 0.140 | 1.701 | 2.892 | 17.197 | 6.000-14.000 |
| Aktaş | 174 | 9.908 | 0.121 | 1.592 | 2.535 | 16.068 | 6.000-12.000 |
| Kocaman | 123 | 9.951 | 0.181 | 2.008 | 4.030 | 20.179 | 6.000-14.000 |
| Genel | 444 | 9.914 | 0.081 | 1.701 | 2.892 | 17.158 | 6.000-14.000 |
| Traheler Arasındaki Geçitlerde Geçit Ağızı Teğet Çapı | | | | | | | |
| Altınçay | 144 | 3.917 | 0.128 | 1.531 | 2.343 | 39.086 | 2.000-8.000 |
| Aktaş | 165 | 4.194 | 0.114 | 1.469 | 2.157 | 35.026 | 2.000-8.000 |
| Kocaman | 123 | 3.935 | 0.138 | 1.535 | 2.356 | 39.009 | 2.000-10.000 |
| Genel | 432 | 4.028 | 0.073 | 1.511 | 2.282 | 37.512 | 2.000-10.000 |

Tablo III.37 incelemendiğinde; traheler arasındaki geçitlerin horizontal çapı ortalama değerlerinin Altınçay Bölgesinde $10.122 \mu\text{m}$, Aktaş Bölgesinde $10.356 \mu\text{m}$, Kocaman Bölgesinde $10.276 \mu\text{m}$, genel ortalamanın ise $10.257 \mu\text{m}$ olduğu görülmektedir. Vertikal çap için ortalama değerler, Altınçay Bölgesinde $9.891 \mu\text{m}$, Aktaş Bölgesinde $9.908 \mu\text{m}$, Kocaman Bölgesinde $9.951 \mu\text{m}$, genel ortalama ise $9.914 \mu\text{m}$ olarak tespit edilmiştir. Bu geçitlere ait geçit ağızı teğet çapı ortalama değerleri Altınçay Bölgesinde $3.917 \mu\text{m}$, Aktaş Bölgesinde $4.194 \mu\text{m}$, Kocaman Bölgesinde $3.935 \mu\text{m}$, genel ortalama ise $4.028 \mu\text{m}$ olarak bulunmuştur.

Sonuç olarak; geçit çaplarına ait horizontal çap ve vertikal çap ortalama değerlerinin kendi grupları içerisinde birbirine yakın değerler verdiği, geçit ağızı teğet çaplarında ise ortalama değerin Aktaş bölgesinde diğer iki bölgeye göre biraz daha yüksek olduğu belirlenmiştir. Ayrıca ceviz odununda, traheler arası geçitlerin büyülük olarak orta genişlik sınıfına ($7-10 \mu\text{m}$) girdiği tespit edilmiştir [56].

Traheler arasındaki geçitlerin çapları üzerinde bölge, bonitet, yıllık halka genişliği ve yön ayırım kriterlerinin etki derecelerini belirlemek üzere yapılan Bartlett testi ve varyans analizlerine ait sonuçlar Tablo III.38, Tablo III.39, Tablo III.40 ve Tablo III.41'de gösterilmiştir.

Tablo III.38: Traheler Arası Geçit Çapları Bartlett Testi

| Değişkenlik Kaynağı | Ayırmak Kriterleri | İstatistik Özellikler | | | | |
|---------------------------|------------------------|-----------------------|-----|-------------------------|-------------------------|-------------|
| | | n | v | χ^2_{hesap} | χ^2_{tablo} | Önem Düzeyi |
| Horizontal Çap | Bölge | 444 | 441 | 3.950 | 5.991 | N.S. |
| | Bonitet | 444 | 441 | 4.735 | 5.991 | N.S. |
| | Yıllık Halka Genişliği | 384 | 381 | 0.511 | 5.991 | N.S. |
| | Yön | 444 | 442 | 2.409 | 3.841 | N.S. |
| Vertikal Çap | Bölge | 444 | 441 | 8.160 | 5.991 | * |
| | Bonitet | 444 | 441 | 7.138 | 5.991 | * |
| | Yıllık Halka Genişliği | 384 | 381 | 1.778 | 5.991 | N.S. |
| | Yön | 444 | 442 | 4.308 | 3.841 | * |
| Geçit Ağacı Teğet Çapı | Bölge | 432 | 429 | 0.366 | 5.991 | N.S. |
| | Bonitet | 432 | 428 | 5.268 | 5.991 | N.S. |
| | Yıllık Halka Genişliği | 372 | 369 | 3.008 | 5.991 | N.S. |
| | Yön | 432 | 430 | 0.828 | 3.841 | N.S. |

Yapılan Bartlett testi sonucunda; bölge, bonitet ve yön faktörünün % 95 güven düzeyinde traheler arasındaki geçitlerin vertikal çapları üzerinde etkili olduğu, yıllık halka genişliğinin ise herhangi bir farklılık oluşturmadığı tespit edilmiştir. Geçitlerin horizontal çapı ve geçit ağacı teğet çapları üzerinde ise, tüm kriterlerin varyanslarının eşit çıkması nedeni ile herhangi bir farklılık meydana getirmedikleri anlaşılmıştır.

Tablo III.39: Traheler Arasındaki Geçitlerin Horizontal Çapları Varyans Analizi

| Bölge | | | | | | |
|------------------------|---------------------|-------------|---------|--------------------|--------------------|-------------|
| Varyasyon Kaynağı | Serbestlik Derecesi | Tüm Varyans | Varyans | F _{hesap} | F _{tablo} | Önem Düzeyi |
| Gruplar Arası | 2 | 4.424 | 2.212 | 0.624 | 2.996 | N.S. |
| Gruplar İçi | 441 | 1562.306 | 3.543 | | | |
| Toplam | 443 | 1566.730 | 3.537 | | | |
| Bonitet | | | | | | |
| Varyasyon Kaynağı | Serbestlik Derecesi | Tüm Varyans | Varyans | F _{hesap} | F _{tablo} | Önem Düzeyi |
| Gruplar Arası | 2 | 6.533 | 3.266 | 0.923 | 2.996 | N.S. |
| Gruplar İçi | 441 | 1560.197 | 3.538 | | | |
| Toplam | 443 | 1566.730 | 3.537 | | | |
| Yıllık Halka Genişliği | | | | | | |
| Varyasyon Kaynağı | Serbestlik Derecesi | Tüm Varyans | Varyans | F _{hesap} | F _{tablo} | Önem Düzeyi |
| Gruplar Arası | 2 | 18.964 | 9.482 | 2.734 | 2.996 | N.S. |
| Gruplar İçi | 381 | 1321.525 | 3.469 | | | |
| Toplam | 383 | 1340.489 | 3.499 | | | |
| Yönen | | | | | | |
| Varyasyon Kaynağı | Serbestlik Derecesi | Tüm Varyans | Varyans | F _{hesap} | F _{tablo} | Önem Düzeyi |
| Gruplar Arası | 1 | 7.128 | 7.128 | 2.020 | 3.841 | N.S. |
| Gruplar İçi | 442 | 1559.601 | 3.528 | | | |
| Toplam | 443 | 1566.730 | 3.537 | | | |

Tablo III.39 incelendiğinde; aritmetik ortalamaların eşit olması nedeni ile bölge, bonitet, yıllık halka genişliği ve yön kriterlerinin geçitlerin horizontal çapları üzerinde anlamlı bir farklılık oluşturmadığı tespit edilmiştir.

Tablo III.40: Traheler Arasındaki Geçitlerin Vertikal Çapları Varyans Analizi

| B ö l g e | | | | | | |
|-----------------------------------------|---------------------|-------------|---------|--------------------|--------------------|-------------|
| Varyasyon Kaynağı | Serbestlik Derecesi | Tüm Varyans | Varyans | F _{hesap} | F _{tablo} | Önem Düzeyi |
| Gruplar Arası | 2 | 0.253 | 0.127 | 0.041 | 2.996 | N.S. |
| Gruplar İçi | 441 | 1352.495 | 3.067 | | | |
| Toplam | 443 | 1352.748 | 3.054 | | | |
| B o n i t e t | | | | | | |
| Varyasyon Kaynağı | Serbestlik Derecesi | Tüm Varyans | Varyans | F _{hesap} | F _{tablo} | Önem Düzeyi |
| Gruplar Arası | 2 | 2.072 | 1.036 | 0.338 | 2.996 | N.S. |
| Gruplar İçi | 441 | 1350.675 | 3.063 | | | |
| Toplam | 443 | 1352.748 | 3.054 | | | |
| Y i l l i k H a l k a G e n i s l i ğ i | | | | | | |
| Varyasyon Kaynağı | Serbestlik Derecesi | Tüm Varyans | Varyans | F _{hesap} | F _{tablo} | Önem Düzeyi |
| Gruplar Arası | 2 | 25.570 | 12.785 | 4.337 | 2.996 | * |
| Gruplar İçi | 381 | 1123.055 | 2.948 | | | |
| Toplam | 383 | 1148.625 | 2.999 | | | |
| Y ö n | | | | | | |
| Varyasyon Kaynağı | Serbestlik Derecesi | Tüm Varyans | Varyans | F _{hesap} | F _{tablo} | Önem Düzeyi |
| Gruplar Arası | 1 | 21.389 | 21.389 | 7.101 | 6.635 | ** |
| Gruplar İçi | 442 | 1331.358 | 3.012 | | | |
| Toplam | 443 | 1352.748 | 3.054 | | | |

Tablo III.40 incelendiğinde; yıllık halka genişliğinin % 95 güven düzeyinde, yön faktörünün ise % 99 güven düzeyinde geçitlerin vertikal çapları üzerinde etkili olduğu ve gruplar arasında anlamlı bir farklılık oluşturduğu belirlenmiştir. Yapılan Duncan testi sonucunda, 8-12 mm yıllık halka genişlik sınıfının farklı, 0-4 mm ve 4-8 mm genişlik sınıflarının ise benzer oldukları sonucuna varılmıştır. Bölge ve bonitet kriteri dikkate alındığında varyansların farklı aritmetik ortalamaların eşit olması sebebi ile varyansı büyük Kocaman Bölgesinin diğer iki bölgeye göre, yine varyansı daha büyük olan I. bonitet sınıfının II. ve III. bonitet sınıflarına göre daha heterojen bir yapıda oldukları kabul edilmiştir.

Yıllık halka genişlik sınıfları için geçitlerin ortalama vertikal çapları incelendiğinde, 8-12 mm genişlik sınıfının en düşük ortalama değere ($9.111 \mu\text{m}$), 0-4 mm genişlik sınıfının en yüksek ortalama değere ($10.020 \mu\text{m}$) sahip olduğu, 4-8 mm genişlik sınıfında ise ortalama vertikal çapın $9.948 \mu\text{m}$ olduğu belirlenmiştir. Sonuç olarak yıllık halka genişliği arttıkça, traheler arasındaki geçitlerin vertikal çaplarının azaldığı görülmüştür. Yön faktörü dikkate alındığında, ortalama vertikal geçit çapı kuzeyde $10.101 \mu\text{m}$, güneyde ise $9.656 \mu\text{m}$ olarak bulunmuş ve geçitlerin ağaçların kuzey yönünde daha büyük vertikal çapa sahip oldukları belirlenmiştir.

Tablo III.41: Traheler Arasındaki Geçitlerde Geçit Ağızı Teğet Çapı Varyans Analizi

| B ö l ğ e | | | | | | |
|-----------------------------------------|---------------------|-------------|---------|--------------------|--------------------|-------------|
| Varyasyon Kaynağı | Serbestlik Derecesi | Tüm Varyans | Varyans | F _{hesap} | F _{tablo} | Önem Düzeyi |
| Gruplar Arası | 2 | 7.393 | 3.697 | 1.624 | 2.996 | N.S. |
| Gruplar İçi | 429 | 976.274 | 2.276 | | | |
| Toplam | 431 | 983.667 | 2.282 | | | |
| B o n i t e t | | | | | | |
| Varyasyon Kaynağı | Serbestlik Derecesi | Tüm Varyans | Varyans | F _{hesap} | F _{tablo} | Önem Düzeyi |
| Gruplar Arası | 2 | 3.801 | 1.900 | 0.832 | 2.996 | N.S. |
| Gruplar İçi | 429 | 979.866 | 2.284 | | | |
| Toplam | 431 | 983.667 | 2.282 | | | |
| Y i l l i k H a l k a G e n i ş l i ğ i | | | | | | |
| Varyasyon Kaynağı | Serbestlik Derecesi | Tüm Varyans | Varyans | F _{hesap} | F _{tablo} | Önem Düzeyi |
| Gruplar Arası | 2 | 9.670 | 4.835 | 2.142 | 2.996 | N.S. |
| Gruplar İçi | 369 | 833.029 | 2.257 | | | |
| Toplam | 371 | 842.699 | 2.271 | | | |
| Y ö n | | | | | | |
| Varyasyon Kaynağı | Serbestlik Derecesi | Tüm Varyans | Varyans | F _{hesap} | F _{tablo} | Önem Düzeyi |
| Gruplar Arası | 1 | 0.174 | 0.174 | 0.076 | 3.841 | N.S. |
| Gruplar İçi | 429 | 979.368 | 2.283 | | | |
| Toplam | 430 | 979.542 | 2.278 | | | |

Tablo III.41 incelendiğinde; aritmetik ortalamaların eşit olması nedeni ile bölge, bonitet, yıllık halka genişliği ve yön kriterlerinin geçit ağızı teğet çapları üzerinde anlamlı bir farklılık oluşturmadığı tespit edilmiştir.

Traheler arasındaki geçitlerden başka, trahe hücreleri ile öz işini paransim hücrelerinin karşılaşma yerindeki geçitler de incelenmiş, horizontal ve vertikal çapları ölçülmüştür. Elde edilen sonuçlar Tablo III.42'de verilmiştir.

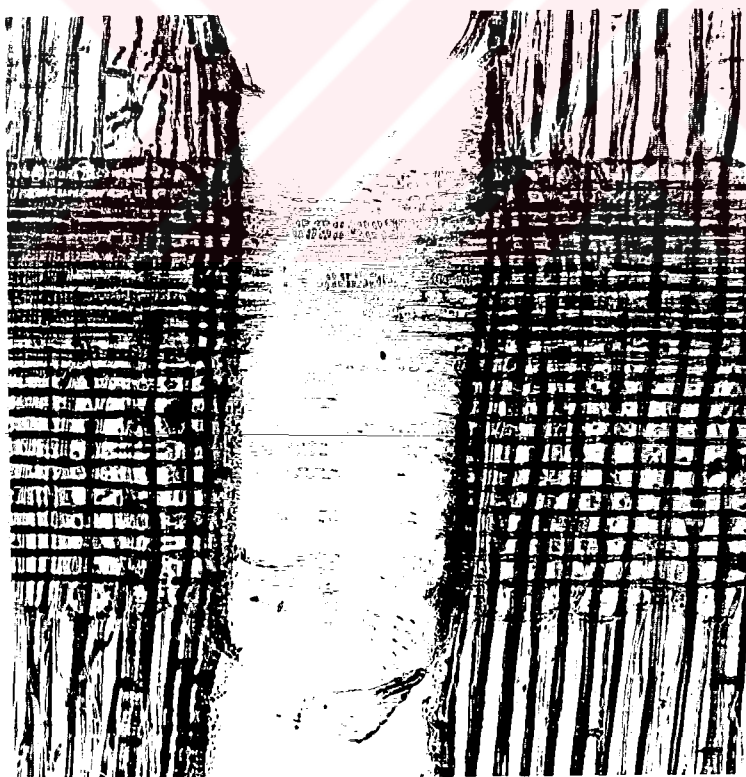
Tablo III.42: Traheler İle Öz İşini Paransim Hücrelerinin Karşılaşma Yeri
Geçitleri İstatistik Değerleri

| Bölgeler | Horizontal Çap | | | | | | |
|--------------|------------------|----------------------------------------------------|-----------------------------------------------|--------------------|-------------------|---------------------------|---------------------------------------------|
| | Örnek Sayısı (n) | Aritmetik Ortalama (\bar{x}) (μm) | Ortalamanın Standart Hatası ($S_{\bar{x}}$) | Standart Sapma (s) | Varyans (s^2) | Varyasyon Katsayısı (% V) | Minimum ve Maksimum Değer (μm) |
| Altınçay | 144 | 8.569 | 0.206 | 2.477 | 6.135 | 28.906 | 4.000-16.000 |
| Aktaş | 168 | 8.726 | 0.170 | 2.204 | 4.858 | 25.258 | 4.000-16.000 |
| Kocaman | 120 | 8.800 | 0.176 | 1.930 | 3.724 | 21.932 | 4.000-14.000 |
| Genel | 432 | 8.694 | 0.107 | 2.226 | 4.955 | 25.604 | 4.000-16.000 |
| Vertikal Çap | | | | | | | |
| Altınçay | 144 | 4.944 | 0.100 | 1.205 | 1.451 | 24.373 | 2.000-8.000 |
| Aktaş | 168 | 4.940 | 0.097 | 1.256 | 1.471 | 25.425 | 2.000-8.000 |
| Kocaman | 120 | 4.750 | 0.106 | 1.161 | 1.348 | 24.442 | 2.000-8.000 |
| Genel | 432 | 4.889 | 0.107 | 2.226 | 4.955 | 45.531 | 2.000-8.000 |

Tablo III.42 incelendiğinde; traheler ile öz işini paransim hücrelerinin karşılaşma yerindeki geçitlerin horizontal çapı ortalama değerlerinin Altınçay Bölgesinde $8.569 \mu\text{m}$, Aktaş Bölgesinde $8.726 \mu\text{m}$, Kocaman Bölgesinde $8.800 \mu\text{m}$, genel ortalamanın ise $8.694 \mu\text{m}$ olduğu görülmektedir. Geçitlerin vertikal çapı ortalama değerleri ise, Altınçay Bölgesinde $4.944 \mu\text{m}$, Aktaş Bölgesinde $4.940 \mu\text{m}$, Kocaman Bölgesinde $4.750 \mu\text{m}$, genel ortalama ise $4.889 \mu\text{m}$ olarak tespit edilmiştir.

Sonuç olarak; karşılaşma yeri geçit çaplarına ait horizontal çap ve vertikal çap ortalama değerlerinin kendi grupları içerisinde birbirine yakın değerler verdiği belirlenmiştir.

Karşılaşma yeri geçitlerinin ortalama çapı $10 \mu\text{m}$ 'den küçük olduğu için küçük ve sık geçitler sınıflamasına girmektedir [32]. Karşılaşma yeri geçitlerinin görünüşü Şekil III.16'da verilmiştir.



Şekil III.16: Traheler İle Öz İşini Paransim Hücrelerinin Karşılaşma Yeri Geçitleri (X150).

Farklı kriterlerin etkisini belirlemek amacıyla yapılan Bartlett testi ve varyans analizleri Tablo III.43, Tablo III.44 ve Tablo III.45'de verilmiştir.

Tablo III.43: Traheler İle Öz İşini Paranşim Hücrelerinin Karşılaşma Yeri Geçit Çapları Bartlett Testi

| Değişkenlik Kaynağı | Ayırm Kriterleri | İstatistik Özellikler | | | | |
|---------------------|------------------------|-----------------------|-----|-------------------------|-------------------------|-------------|
| | | n | v | χ^2_{hesap} | χ^2_{tablo} | Önem Düzeyi |
| Horizontal Çap | Bölge | 432 | 429 | 7.941 | 5.991 | * |
| | Bonitet | 432 | 429 | 10.073 | 9.210 | ** |
| | Yıllık Halka Genişliği | 372 | 369 | 8.094 | 5.991 | * |
| | Yön | 432 | 430 | 0.426 | 3.841 | N.S. |
| Vertikal Çap | Bölge | 432 | 429 | 0.858 | 5.991 | N.S. |
| | Bonitet | 432 | 429 | 0.481 | 5.991 | N.S. |
| | Yıllık Halka Genişliği | 369 | 366 | 8.071 | 5.991 | * |
| | Yön | 432 | 430 | 0.480 | 3.841 | N.S. |

Tablo III.43 incelediğinde; bölge, bonitet, yıllık halka genişliği ayırm kriterlerinin sırası ile % 95, % 99 ve % 95 güven düzeylerinde karşılaşma yeri geçitlerinin horizontal çapları üzerinde etkili olduğu, yön faktörünün ise herhangi bir farklılığa sebep olmadığı anlaşılmaktadır. Bu geçitlerin vertikal çapları üzerinde bölge, bonitet ve yön kriterinin etkili olmadığı, yıllık halka genişliği kriterinin ise % 95 güven düzeyinde farklılık oluşturduğu tespit edilmiştir.

Tablo III.44: Traheler İle Öz İşini Paranşim Hücrelerinin Karşılaşma Yerindeki Geçitlerin Horizontal Çapı Varyans Analizi

| Bölge | | | | | | |
|------------------------|---------------------|-------------|---------|--------------------|--------------------|-------------|
| Varyasyon Kaynağı | Serbestlik Derecesi | Tüm Varyans | Varyans | F _{hesap} | F _{tablo} | Önem Düzeyi |
| Gruplar Arası | 2 | 3.756 | 1.878 | 0.378 | 2.996 | N.S. |
| Gruplar İçi | 429 | 2131.910 | 4.969 | | | |
| Toplam | 431 | 2135.666 | 4.955 | | | |
| Bonitet | | | | | | |
| Varyasyon Kaynağı | Serbestlik Derecesi | Tüm Varyans | Varyans | F _{hesap} | F _{tablo} | Önem Düzeyi |
| Gruplar Arası | 2 | 6.502 | 3.251 | 0.655 | 2.996 | N.S. |
| Gruplar İçi | 429 | 2129.165 | 4.963 | | | |
| Toplam | 431 | 2135.667 | 4.955 | | | |
| Yıllık Halka Genişliği | | | | | | |
| Varyasyon Kaynağı | Serbestlik Derecesi | Tüm Varyans | Varyans | F _{hesap} | F _{tablo} | Önem Düzeyi |
| Gruplar Arası | 2 | 6.323 | 3.161 | 0.644 | 2.996 | N.S. |
| Gruplar İçi | 369 | 1812.903 | 4.913 | | | |
| Toplam | 371 | 1819.226 | 4.904 | | | |
| Yönen | | | | | | |
| Varyasyon Kaynağı | Serbestlik Derecesi | Tüm Varyans | Varyans | F _{hesap} | F _{tablo} | Önem Düzeyi |
| Gruplar Arası | 1 | 13.974 | 13.974 | 2.864 | 3.841 | N.S. |
| Gruplar İçi | 430 | 2097.988 | 4.879 | | | |
| Toplam | 431 | 2111.962 | 4.900 | | | |

Tablo III.44 incelediğinde; bölge, bonitet, yıllık halka genişliği ve yön kriterlerinin aritmetik ortalamalarının eşit çıkması nedeni ile karşılaşma yeri geçitleri horizontal çapları üzerinde anlamlı bir farklılığa neden olmadığı tespit edilmiştir. Ancak bölge, bonitet, yıllık halka genişliği kriteri dikkate alındığında varyanslarının farklı olması nedeni ile varyansı daha büyük olan Altınçay Bölgesi diğer iki bölgeye göre, III. bonitet I. ve II. bonitet sınıfına göre, 4-8 mm yıllık halka genişliği grubu ise 0-4 mm ve 8-12 mm genişlik grubuna göre daha heterojen bir yapıda bulunmuştur.

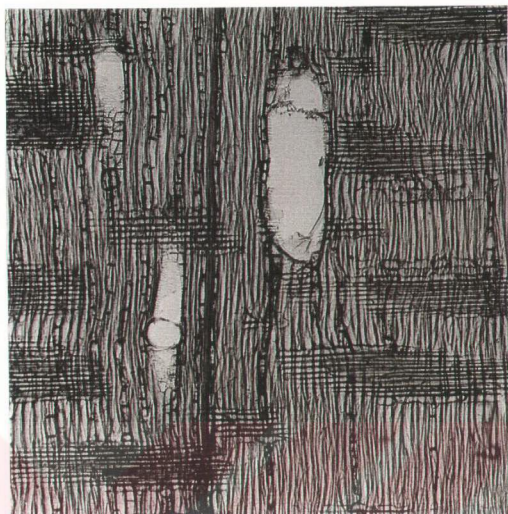
Tablo III.45: Traheler İle Öz İşini Paranşim Hücrelerinin Karşılaşma Yerindeki Geçitlerin Vertikal Çapı Varyans Analizi

| B ö l ğ e | | | | | | |
|------------------------|---------------------|-------------|---------|--------------------|--------------------|-------------|
| Varyasyon Kaynağı | Serbestlik Derecesi | Tüm Varyans | Varyans | F _{hesap} | F _{tablo} | Önem Düzeyi |
| Gruplar Arası | 2 | 3.206 | 1.603 | 1.089 | 2.996 | N.S. |
| Gruplar İçi | 429 | 631.460 | 1.472 | | | |
| Toplam | 431 | 634.666 | 1.473 | | | |
| B o n i t e t | | | | | | |
| Varyasyon Kaynağı | Serbestlik Derecesi | Tüm Varyans | Varyans | F _{hesap} | F _{tablo} | Önem Düzeyi |
| Gruplar Arası | 2 | 1.505 | 0.752 | 0.509 | 2.996 | N.S. |
| Gruplar İçi | 429 | 633.162 | 1.476 | | | |
| Toplam | 431 | 634.667 | 1.472 | | | |
| Yıllık Halka Genişliği | | | | | | |
| Varyasyon Kaynağı | Serbestlik Derecesi | Tüm Varyans | Varyans | F _{hesap} | F _{tablo} | Önem Düzeyi |
| Gruplar Arası | 2 | 6.305 | 3.153 | 0.640 | 2.996 | N.S. |
| Gruplar İçi | 366 | 1802.237 | 4.924 | | | |
| Toplam | 368 | 1808.542 | 4.914 | | | |
| Y ö n | | | | | | |
| Varyasyon Kaynağı | Serbestlik Derecesi | Tüm Varyans | Varyans | F _{hesap} | F _{tablo} | Önem Düzeyi |
| Gruplar Arası | 1 | 1.515 | 1.515 | 1.029 | 3.841 | N.S. |
| Gruplar İçi | 430 | 633.152 | 1.472 | | | |
| Toplam | 431 | 634.667 | 1.473 | | | |

Tablo III.45 incelediğinde; tüm ayırım kriterlerinin aritmetik ortalamaların eşit çıkması nedeni ile karşılaşma yeri geçitleri vertikal çapları üzerinde anlamlı bir farklılık oluşturmadığı görülmektedir. Ancak yıllık halka genişliği kriteri dikkate alındığında aritmetik ortalamaların eşit, varyansların farklı olması nedeni ile 4-8 mm yıllık halka genişliği sınıfının 0-4 mm ve 8-12 mm genişlik sınıfına göre daha heterojen bir yapıda olduğu tespit edilmiştir.

III.2.1.6 Perforasyon Tablosu

Ceviz odununda üst üste bulunan iki trahe hücresi arasında basit perforasyon tablosu bulunmaktadır (Şekil III.17, Şekil III.18). Büyük çaplı trahe hücrelerinde perforasyon tablolarının şekli genellikle daire şeklinde veya oval olup, küçük çaplı trahe hücrelerinde ise daha dar ve uzundur.



Şekil III.17: Ceviz Odununda Basit Perforasyon Tablosı (X60).



Şekil III.18: Masere Edilmiş Trahe Hücresinde Basit Perforasyon Tablosı (X60).

Perforasyon tablalarının genişlik ve uzunluk ölçümlerine ait değerlendirmeye sonuçları Tablo III.46'da verilmiştir.

Tablo III.46: Perforasyon Tablosu Genişlik ve Uzunluk İstatistik Değerleri

| Istatistik Özellikler | Perforasyon Tablosu Genişliği | Perforasyon Tablosu Uzunluğu |
|----------------------------------------------------|-------------------------------|------------------------------|
| Örnek Sayısı (n) | 150 | 150 |
| Aritmetik Ortalama (\bar{x}) (μm) | 91.493 | 148.827 |
| Ortalamanın Standart Hatası ($S_{\bar{x}}$) | 2.984 | 4.172 |
| Standart Sapma (s) | 36.552 | 51.100 |
| Varyans (s^2) | 1336.064 | 2611.231 |
| Varyasyon Katsayısı (% V) | 39.951 | 34.335 |
| Minimum ve Maksimum Değer (μm) | 10.000-176.000 | 20.000-304.000 |

Tablo III.46 incelendiğinde; perforasyon tablosu genişliği ortalama değerinin 91.493 μm , uzunluğunun ise ortalama 148.827 μm olduğu görülmektedir.

III.2.1.7 Trahe Hücre Uzunluğu

Trahe hücrelerinin uzunluk ölçümlerinden elde edilen sonuçlar değerlendirilmiş ve Tablo III.47'de verilmiştir.

Tablo III.47: Trahe Hücre Uzunluğu İstatistik Değerleri

| Istatistik Özellikler | Trahe Uzunluğu |
|----------------------------------------------------|-----------------|
| Örnek Sayısı (n) | 2318 |
| Aritmetik Ortalama (\bar{x}) (μm) | 582.730 |
| Ortalamanın Standart Hatası ($S_{\bar{x}}$) | 2.424 |
| Standart Sapma (s) | 116.726 |
| Varyans (s^2) | 13624.889 |
| Varyasyon Katsayısı (% V) | 20.031 |
| Minimum ve Maksimum Değer (μm) | 168.000-944.000 |

Tablo III.47 incelendiğinde; trahe hücre uzunluğu ortalama değerinin 582.730 μm olduğu görülmektedir. Trahe hücreleri uzunluk olarak orta uzunluk (350-800 μm) sınıfına girmektedir [32].

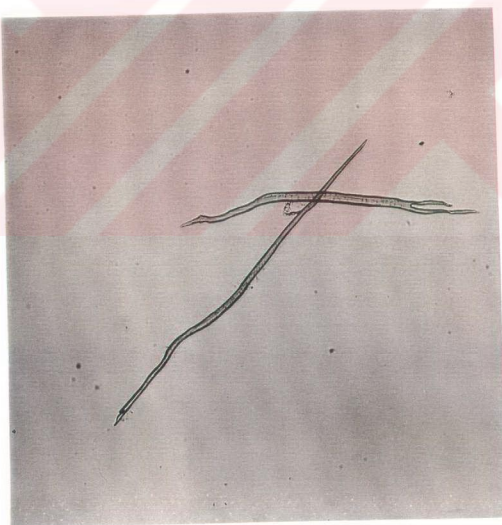
III.2.2 Lifler

Yapılan incelemeler sonucunda, liflerin odun dokusuna katılım oranı % 65.87 olarak tespit edilmiştir.

III.2.2.1 Lif Traheidlerinin Çapları

Ceviz odununda esas doku, lif traheidlerinden oluşmaktadır. Maserasyon işleminden geçirilen örneklerin incelenmesi sırasında lif traheidlerinin çoğunlukla üç kısımlarda çatallandığı, kertikli ve sivri olduğu belirlenmiştir (Şekil III.19, Şekil III.20). Enine kesitteki görünüşleri ise düzensiz ve köşelidir (Şekil III.28).

Lif traheidlerinin teget ve radyal yönde yapılan çap ölçümlerine ait istatistik değerlendirme sonuçları toplu olarak Tablo III.48'de verilmiştir.



Şekil III.19: Ceviz Odununda Lif Traheidlerinin Görünüşü (X60).

Tablo III.48: Lif Trahedi Çapı İstatistik Değerleri

| İstatistik Özellikler | Aktas | | | | | | | | | | | | Kocaman | | | | | | | | | | | | Tüm Toplum | | | | | | | | | | | | Genel*** |
|-----------------------------------------------------------------------|---------------|---------------|---------------|---------------|---------------|---------------|---------------|---------------|---------------|---------------|---------------|---------------|---------------|---------------|---------------|---------------|---------------|---------------|---------------|---------------|---------------|---------------|---------------|---------------|---------------|---------------|---------------|---------------|---------------|---------------|---------------|--------|--|--|--|--|----------|
| | Altıncay | | | | | | İ.B.O.** | | | | | | Y.O. | | | | | | İ.B.O. | | | | | | Y.O. | | | | | | | | | | | | |
| | İ.B.O.* | Teget Cap | Radyal Cap | Teget Cap | Radyal Cap | Teget Cap | Radyal Cap | Teget Cap | Radyal Cap | Teget Cap | Radyal Cap | Teget Cap | Radyal Cap | Teget Cap | Radyal Cap | Teget Cap | Radyal Cap | Teget Cap | Radyal Cap | Teget Cap | Radyal Cap | Teget Cap | Radyal Cap | Teget Cap | Radyal Cap | Teget Cap | Radyal Cap | Teget Cap | Radyal Cap | | | | | | | | |
| Örnek Sayısı (n) | 111 | 111 | 110 | 110 | 106 | 106 | 106 | 106 | 106 | 84 | 84 | 84 | 84 | 301 | 301 | 300 | 300 | 300 | 300 | 300 | 300 | 300 | 300 | 300 | 300 | 300 | 300 | 300 | 300 | 300 | | | | | | | |
| Aritmetik Ortalama (\bar{x}) (μm) | 25.045 | 28.739 | 24.855 | 26.594 | 25.723 | 27.994 | 25.623 | 26.314 | 23.500 | 26.778 | 23.944 | 24.824 | 24.853 | 27.929 | 24.871 | 26.001 | 24.862 | 26.967 | 24.871 | 26.001 | 24.862 | 26.967 | 24.871 | 26.001 | 24.862 | 26.967 | 24.871 | 26.001 | 24.862 | 26.967 | | | | | | | |
| Ortalamanın Standard Hatası (S_x) | 0.381 | 0.362 | 0.380 | 0.360 | 0.383 | 0.385 | 0.382 | 0.385 | 0.329 | 0.329 | 0.397 | 0.397 | 0.312 | 0.312 | 0.221 | 0.221 | 0.224 | 0.215 | 0.215 | 0.200 | 0.200 | 0.154 | 0.154 | 0.155 | 0.155 | 0.154 | 0.155 | 0.154 | 0.155 | 0.154 | 0.155 | | | | | | |
| Standart Sapma (s) | 4.012 | 3.814 | 3.984 | 3.773 | 3.941 | 3.964 | 3.936 | 3.988 | 3.020 | 3.642 | 2.817 | 2.862 | 3.828 | 3.889 | 3.724 | 3.724 | 3.724 | 3.724 | 3.724 | 3.724 | 3.724 | 3.724 | 3.724 | 3.724 | 3.724 | 3.724 | 3.724 | 3.724 | 3.724 | 3.724 | | | | | | | |
| Varyans (s^2) | 16.094 | 14.548 | 15.871 | 14.233 | 15.533 | 15.716 | 15.492 | 11.481 | 9.123 | 13.267 | 7.938 | 8.189 | 14.656 | 15.921 | 13.871 | 13.871 | 12.043 | 14.240 | 14.240 | 14.240 | 14.240 | 14.240 | 14.240 | 14.240 | 14.240 | 14.240 | 14.240 | 14.240 | | | | | | | | | |
| Varasyon Katsayısı (%) | 16.019 | 13.271 | 16.029 | 14.187 | 15.321 | 14.160 | 15.361 | 12.875 | 12.851 | 13.601 | 11.765 | 11.527 | 15.403 | 13.925 | 14.973 | 14.973 | 13.346 | 15.180 | 15.180 | 15.180 | 15.180 | 15.180 | 15.180 | 15.180 | 15.180 | 15.180 | 15.180 | 15.180 | 15.180 | 15.180 | 15.180 | 15.180 | | | | | |
| Minimum ve Maksimum Değer (μm) (Yüllük halka ortalaması) | 16.667-38.000 | 20.000-37.333 | 17.333-38.667 | 19.333-36.000 | 17.333-36.000 | 19.333-39.333 | 16.667-36.667 | 19.333-36.667 | 17.333-34.000 | 19.333-34.667 | 20.000-30.000 | 16.667-32.667 | 19.333-38.000 | 16.667-38.667 | 19.333-39.333 | 16.667-38.667 | 19.333-38.667 | 16.667-38.667 | 19.333-38.667 | 16.667-38.667 | 19.333-38.667 | 16.667-38.667 | 19.333-38.667 | 16.667-38.667 | 19.333-38.667 | 16.667-38.667 | 19.333-38.667 | 16.667-38.667 | 19.333-38.667 | 16.667-38.667 | 19.333-38.667 | | | | | | |
| Maksimum ve Maksimum Değer (Tüm Veriler) (μm) | 12.000-44.000 | 16.000-48.000 | 14.000-46.000 | 16.000-40.000 | 14.000-44.000 | 14.000-46.000 | 14.000-44.000 | 14.000-42.000 | 12.000-36.000 | 16.000-42.000 | 14.000-36.000 | 14.000-40.000 | 12.000-44.000 | 14.000-48.000 | 14.000-44.000 | 14.000-46.000 | 12.000-44.000 | 14.000-46.000 | 14.000-44.000 | 14.000-46.000 | 14.000-44.000 | 14.000-46.000 | 14.000-44.000 | 14.000-46.000 | 14.000-44.000 | 14.000-46.000 | 14.000-44.000 | 14.000-46.000 | | | | | | | | | |

*: İlkbahar odunu

**: Yaz odunu

***: İlkbahar ve yaz odunu farkı dikkate alınmamıştır.

Tablo III.48 incelendiğinde; ilkbahar odunu lif traheidi teğet çapı ortalama değerlerinin Altınçay Bölgesinde 25.045 μm , Aktaş Bölgesinde 25.723 μm , Kocaman Bölgesinde 23.500 μm , tüm toplumda ise 24.853 μm olduğu görülmektedir. Yaz odunu için bu ortalamalar, Altınçay Bölgesinde 24.855 μm , Aktaş Bölgesinde 25.623 μm , Kocaman Bölgesinde 23.944 μm , tüm toplumda ise 24.871 μm olarak tespit edilmiştir. Aynı tablo üzerinde ilkbahar odunu lif traheidi radyal çapı ortalama değerlerinin, Altınçay Bölgesinde 28.739 μm , Aktaş Bölgesinde 27.994 μm , Kocaman Bölgesinde 26.778 μm , tüm toplumda ise 27.929 μm olduğu görülmektedir. Yaz odunu için ortalama değerlerin, Altınçay Bölgesinde 26.594 μm , Aktaş Bölgesinde 26.314 μm , Kocaman Bölgesinde 24.824 μm , tüm toplumda ise 26.001 μm olarak belirlenmiştir. İlkbahar odunu ve yaz odunu tabakası ayırt edilmeksiz, lif traheidi teğet çapı genel ortalama değeri 24.862 μm , lif traheidi radyal çapı genel ortalama değeri 26.967 μm olarak tespit edilmiştir.

Sonuç olarak; lif traheidi teğet çaplarının ilkbahar ve yaz odunu tabakalarında birbirine yakın değerlere sahip olduğu, radyal çapların ortalama değerlerinin ise yaz odunu tabakasında ilkbahar odunu tabakasına göre biraz daha düşük olduğu tespit edilmiştir.

Ayırımlı kriterlerinin etkisini belirlemek üzere yapılan Bartlett testi ve varyans analizlerine ait sonuçlar sırası ile Tablo III.49, Tablo III.50, Tablo III.51, Tablo III.52 ve Tablo III.53'de verilmiştir.

Tablo III.49: Lif Traheidi Çapı Bartlett Testi

| Değişkenlik Kaynağı | Ayırımlı Kriterleri | İstatistik Özellikler | | | | |
|---------------------------------------|------------------------|-----------------------|-----|-------------------------|-------------------------|-------------|
| | | n | v | χ^2_{hesap} | χ^2_{tablo} | Önem Düzeyi |
| İ.B.O. Lif Traheidi Teğet Çapı | Bölge | 301 | 298 | 8.309 | 5.991 | * |
| | Bonitet | 301 | 298 | 5.473 | 5.991 | N.S. |
| | Yıllık Halka Genişliği | 258 | 255 | 16.367 | 13.815 | *** |
| | Yön | 301 | 299 | 0.575 | 3.841 | N.S. |
| İ.B.O. Lif Traheidi Radyal Çapı | Bölge | 301 | 298 | 0.659 | 5.991 | N.S. |
| | Bonitet | 301 | 298 | 0.253 | 5.991 | N.S. |
| | Yıllık Halka Genişliği | 258 | 255 | 61.961 | 13.815 | *** |
| | Yön | 301 | 299 | 0.0032 | 3.841 | N.S. |
| Y.O. Lif Traheidi Teğet Çapı | Bölge | 300 | 297 | 12.385 | 9.210 | ** |
| | Bonitet | 300 | 297 | 9.350 | 9.210 | ** |
| | Yıllık Halka Genişliği | 258 | 255 | 13.186 | 9.210 | ** |
| | Yön | 300 | 298 | 0.786 | 3.841 | N.S. |
| Y.O. Lif Traheidi Radyal Çapı | Bölge | 300 | 297 | 6.921 | 5.991 | * |
| | Bonitet | 300 | 297 | 5.787 | 5.991 | N.S. |
| | Yıllık Halka Genişliği | 258 | 255 | 4.487 | 5.991 | N.S. |
| | Yön | 300 | 298 | 0.269 | 3.841 | N.S. |

Tablo III.49 incelendiğinde; bonitet ve yön kriterinin ilkbahar odunu lif traheidi teğet çapı üzerinde etkili olmadığı, bölge faktörünün % 95 güven düzeyinde, yıllık halka genişliği faktörünün ise % 99.9 güven düzeyinde farklılık oluşturduğu görülmüştür. İlkbahar odunu lif traheidi radyal çapı üzerinde ise sadece yıllık halka genişliği faktörü % 99.9 güven düzeyinde etkili olurken, bölge, bonitet ve yön kriterlerinin herhangi bir etkisinin olmadığı tespit edilmiştir. Yaz odunu lif traheidi teğet çapı üzerinde yön faktörünün herhangi bir farklılık oluşturmadığı, bölge, bonitet ve yıllık halka genişliğinin ise % 99 güven düzeyinde farklılık meydana getirdiği belirlenmiştir. Yaz odunu lif traheidi radyal çapı üzerinde ise sadece bölge faktörünün % 95 güven düzeyinde etkili olduğu tespit edilmiştir.

Tablo III.50: İlkbahar Odunu Lif Traheidi Teğet Çapı Varyans Analizi

| B ö l g e | | | | | | |
|-----------------------------------------|---------------------|-------------|---------|--------------------|--------------------|-------------|
| Varyasyon Kaynağı | Serbestlik Derecesi | Tüm Varyans | Varyans | F _{hesap} | F _{tablo} | Önem Düzeyi |
| Gruplar Arası | 2 | 238.153 | 119.077 | 8.533 | 6.908 | *** |
| Gruplar İçi | 298 | 4158.542 | 13.955 | | | |
| Toplam | 300 | 4396.695 | 14.656 | | | |
| B o n i t e t | | | | | | |
| Varyasyon Kaynağı | Serbestlik Derecesi | Tüm Varyans | Varyans | F _{hesap} | F _{tablo} | Önem Düzeyi |
| Gruplar Arası | 2 | 15.807 | 7.903 | 0.555 | 2.996 | N.S. |
| Gruplar İçi | 298 | 4245.999 | 14.248 | | | |
| Toplam | 300 | 4261.805 | 14.206 | | | |
| Y i l l i k H a l k a G e n i s l i g i | | | | | | |
| Varyasyon Kaynağı | Serbestlik Derecesi | Tüm Varyans | Varyans | F _{hesap} | F _{tablo} | Önem Düzeyi |
| Gruplar Arası | 2 | 364.589 | 182.294 | 14.165 | 6.908 | *** |
| Gruplar İçi | 255 | 3281.592 | 12.869 | | | |
| Toplam | 257 | 3646.181 | 14.187 | | | |
| Y ö n | | | | | | |
| Varyasyon Kaynağı | Serbestlik Derecesi | Tüm Varyans | Varyans | F _{hesap} | F _{tablo} | Önem Düzeyi |
| Gruplar Arası | 1 | 0.360 | 0.360 | 0.024 | 3.841 | N.S. |
| Gruplar İçi | 299 | 4416.049 | 14.769 | | | |
| Toplam | 300 | 4416.409 | 14.721 | | | |

Tablo III.50 incelendiğinde; bonitet ve yön kriterlerinin daha önce yapılan Bartlett testinde varyansların, varyans analizi sonucunda da aritmetik ortalamaların eşit çıkması sebebi ile anlamlı bir farklılık oluşturmadıkları ve toplumların özdeş olduğu sonucuna varılmıştır. Bölge ve yıllık halka genişliği ayırım kriterlerinin ise, % 99.9 güven düzeyinde etkili oldukları tespit edilmiştir. Yapılan Duncan testi sonucunda, Kocaman Bölgesinin diğer bölgelerden farklı olduğu, Altınçay ve Aktaş Bölgelerinin ise aynı toplumu temsil ettikleri belirlenmiştir. Kocaman Bölgesinde, ilkbahar odunu lif traheidi ortalama teğet çapının diğer iki bölgeden daha düşük olduğu (23.500 µm) görülmüştür. Yıllık halka genişliği sınıflarından ise 0-4 mm genişlik sınıfının farklı, 4-8 mm ve 8-12 mm genişlik sınıflarının ise benzer oldukları sonucuna varılmıştır. Her genişlik sınıfı için ortalama teğet çaplar 0-4 mm genişlik sınıfında 26.129 µm, 4-8 mm genişlik sınıfında 24.152 µm, 8-12 mm genişlik sınıfında ise 22.692 µm olarak belirlenmiş ve genişlik arttıkça teğet çapların azaldığı sonucuna ulaşılmıştır.

Tablo III.51: İlkbahar Odunu Lif Traheidi Radyal Çapı Varyans Analizi

| Bölge | | | | | | |
|------------------------|---------------------|-------------|---------|--------------------|--------------------|-------------|
| Varyasyon Kaynağı | Serbestlik Derecesi | Tüm Varyans | Varyans | F _{hesap} | F _{tablo} | Önem Düzeyi |
| Gruplar Arası | 2 | 184.560 | 92.280 | 6.319 | 4.605 | ** |
| Gruplar İçi | 298 | 4351.686 | 14.603 | | | |
| Toplam | 300 | 4536.246 | 15.121 | | | |
| Bonitet | | | | | | |
| Varyasyon Kaynağı | Serbestlik Derecesi | Tüm Varyans | Varyans | F _{hesap} | F _{tablo} | Önem Düzeyi |
| Gruplar Arası | 2 | 183.912 | 91.956 | 6.296 | 4.605 | ** |
| Gruplar İçi | 298 | 4352.157 | 14.605 | | | |
| Toplam | 300 | 4536.069 | 15.120 | | | |
| Yıllık Halka Genişliği | | | | | | |
| Varyasyon Kaynağı | Serbestlik Derecesi | Tüm Varyans | Varyans | F _{hesap} | F _{tablo} | Önem Düzeyi |
| Gruplar Arası | 2 | 192.573 | 96.286 | 6.923 | 6.908 | *** |
| Gruplar İçi | 255 | 3546.857 | 13.909 | | | |
| Toplam | 257 | 3739.429 | 14.550 | | | |
| Yönn | | | | | | |
| Varyasyon Kaynağı | Serbestlik Derecesi | Tüm Varyans | Varyans | F _{hesap} | F _{tablo} | Önem Düzeyi |
| Gruplar Arası | 1 | 10.581 | 10.581 | 0.683 | 3.841 | N.S. |
| Gruplar İçi | 299 | 4628.992 | 15.481 | | | |
| Toplam | 300 | 4639.572 | 15.465 | | | |

Tablo III.51 incelendiğinde; bölge ve bonitet kriterinin % 99 güven düzeyinde, yıllık halka genişliği kriterinin ise % 99.9 güven düzeyinde ilkbahar odunu lif traheidi radyal çapları üzerinde etkili olduğu belirlenmiştir. Yapılan Duncan testi sonucunda, Kocaman Bölgesinin farklı, diğer iki bölgenin benzer olduğu ve aynı toplumu temsil ettikleri, bonitet sınıflarından I. bonitetin II. ve III. bonitet sınıflarından farklı olduğu, yıllık halka genişliği gruplarından ise, 0-4 mm genişlik grubunun diğer genişlik gruplarına göre farklı olduğu tespit edilmiştir. Yön faktörünün ise etkili olmadığı belirlenmiştir.

İlkbahar odunu lif traheidi ortalama radyal çapları bölge bazında incelendiğinde, Kocaman Bölgesinin daha düşük ortalamaya ($26.778 \mu\text{m}$) sahip olduğu görülmüştür. Aynı değerlendirme bonitet faktörü için gerçekleştirildiğinde, radyal çap ortalaması I. bonitet sınıfında $26.827 \mu\text{m}$, II. bonitet sınıfında $28.850 \mu\text{m}$ ve III. bonitet sınıfında ise $28.027 \mu\text{m}$ olarak belirlenmiştir. Böylece verim gücü yüksek ve düşük yetişme alanlarının ilkbahar odunu lif traheidi radyal çapları üzerinde etkili olduğu sonucuna ulaşılmıştır. Yıllık halka genişliği için yapılan değerlendirmede ise ortalama radyal çapların 0-4 mm genişlik sınıfında $28.901 \mu\text{m}$, 4-8 mm genişlik sınıfında $27.181 \mu\text{m}$ ve 8-12 mm genişlik sınıfında $27.077 \mu\text{m}$ olduğu, böylece yıllık halka genişliği arttıkça lif traheidi radyal çapının azaldığı belirlenmiştir.

Tablo III.52: Yaz Odunu Lif Traheidi Teğet Çapı Varyans Analizi

| B ö l g e | | | | | | |
|-----------------------------------------|---------------------|-------------|---------|--------------------|--------------------|-------------|
| Varyasyon Kaynağı | Serbestlik Derecesi | Tüm Varyans | Varyans | F _{hesap} | F _{tablo} | Önem Düzeyi |
| Gruplar Arası | 2 | 132.036 | 66.018 | 4.883 | 4.605 | ** |
| Gruplar İçi | 297 | 4015.521 | 13.520 | | | |
| Toplam | 299 | 4147.557 | 13.871 | | | |
| B o n i t e t | | | | | | |
| Varyasyon Kaynağı | Serbestlik Derecesi | Tüm Varyans | Varyans | F _{hesap} | F _{tablo} | Önem Düzeyi |
| Gruplar Arası | 2 | 12.074 | 6.037 | 0.433 | 2.996 | N.S. |
| Gruplar İçi | 297 | 4136.343 | 13.927 | | | |
| Toplam | 299 | 4148.417 | 13.874 | | | |
| Y i l l i k H a l k a G e n i s l i ğ i | | | | | | |
| Varyasyon Kaynağı | Serbestlik Derecesi | Tüm Varyans | Varyans | F _{hesap} | F _{tablo} | Önem Düzeyi |
| Gruplar Arası | 2 | 336.433 | 168.216 | 13.454 | 6.908 | *** |
| Gruplar İçi | 255 | 3188.233 | 12.503 | | | |
| Toplam | 257 | 3524.666 | 13.715 | | | |
| Y ö n | | | | | | |
| Varyasyon Kaynağı | Serbestlik Derecesi | Tüm Varyans | Varyans | F _{hesap} | F _{tablo} | Önem Düzeyi |
| Gruplar Arası | 1 | 0.023 | 0.023 | 0.0017 | 3.841 | N.S. |
| Gruplar İçi | 299 | 4144.389 | 13.861 | | | |
| Toplam | 300 | 4144.412 | 13.815 | | | |

Tablo III.52 incelendiğinde; bölge kriterinin % 99 güven düzeyinde, yıllık halka genişliği kriterinin ise % 99.9 güven düzeyinde yaz odunu lif traheidi teğet çapı üzerinde etkili oldukları belirlenmiştir. Yapılan Duncan testi sonucunda, Aktaş ve Kocaman Bölgelerinin farklı, Altınçay-Aktaş ve Altınçay-Kocaman Bölgelerinin ise benzer oldukları, yıllık halka genişliği kriteri dikkate alındığında tüm grupların birbirinden farklı toplumlar oldukları tespit edilmiştir. Bonitet faktörü için ise, varyansların farklı, aritmetik ortalamaların özdeş çıkması nedeni ile varyansı daha büyük olan III. bonitet sınıfının diğer bonitet sınıflarına göre daha heterojen bir yapı gösterdiği sonucuna varılmıştır. Yön faktörünün ise, teğet çap üzerinde herhangi bir etkisi tespit edilmemiştir.

Bölgelere göre yaz odunu lif traheidi ortalama teğet çapları incelendiğinde, ortalama değerin Aktaş Bölgesinde maksimum ($25.623 \mu\text{m}$), Kocaman Bölgesinde minimum ($23.944 \mu\text{m}$), Altınçay Bölgesinde ise $24.855 \mu\text{m}$ olduğu belirlenmiştir. Yapılan istatistik testler sonucunda da bölgeler olarak farklı toplumların maksimum ve minimum ortalama değerlere sahip olan bölgeler olduğu tespit edilmiştir. Yıllık halka genişliği için yapılan değerlendirmede ise, ortalama değerler 0-4 mm genişlik sınıfında $26.152 \mu\text{m}$, 4-8 mm genişlik sınıfında $24.350 \mu\text{m}$, 8-12 mm genişlik sınıfında $22.718 \mu\text{m}$ olarak belirlenmiş ve genişlik arttıkça lif traheidlerinin teğet çaplarının azaldığı görülmüştür.

Tablo III.53: Yaz Odunu Lif Traheidi Radyal Çapı Varyans Analizi

| B ö l g e | | | | | | |
|-----------------------------------------|---------------------|-------------|---------|--------------------|--------------------|-------------|
| Varyasyon Kaynağı | Serbestlik Derecesi | Tüm Varyans | Varyans | F _{hesap} | F _{tablo} | Önem Düzeyi |
| Gruplar Arası | 2 | 164.396 | 82.198 | 7.104 | 6.908 | *** |
| Gruplar İçi | 297 | 3436.637 | 11.571 | | | |
| Toplam | 299 | 3601.033 | 12.043 | | | |
| B o n i t e t | | | | | | |
| Varyasyon Kaynağı | Serbestlik Derecesi | Tüm Varyans | Varyans | F _{hesap} | F _{tablo} | Önem Düzeyi |
| Gruplar Arası | 2 | 56.791 | 28.396 | 2.379 | 2.996 | N.S. |
| Gruplar İçi | 297 | 3544.544 | 11.934 | | | |
| Toplam | 299 | 3601.335 | 12.044 | | | |
| Y i l l i k H a l k a G e n i s l i g i | | | | | | |
| Varyasyon Kaynağı | Serbestlik Derecesi | Tüm Varyans | Varyans | F _{hesap} | F _{tablo} | Önem Düzeyi |
| Gruplar Arası | 2 | 75.103 | 37.551 | 3.263 | 2.996 | * |
| Gruplar İçi | 255 | 2934.222 | 11.507 | | | |
| Toplam | 257 | 3009.325 | 11.709 | | | |
| Y ö n | | | | | | |
| Varyasyon Kaynağı | Serbestlik Derecesi | Tüm Varyans | Varyans | F _{hesap} | F _{tablo} | Önem Düzeyi |
| Gruplar Arası | 1 | 6.036 | 6.036 | 0.509 | 3.841 | N.S. |
| Gruplar İçi | 299 | 3544.525 | 11.854 | | | |
| Toplam | 300 | 3550.561 | 11.835 | | | |

Tablo III.53 incelendiğinde; bölge faktörünün % 99.9 güven düzeyinde, yıllık halka genişliği faktörünün ise % 95 güven düzeyinde yaz odunu lif traheidi radyal çapları üzerinde etkili oldukları belirlenmiştir. Duncan testi sonucunda, Kocaman Bölgesinin farklı, Altınçay ve Aktaş Bölgelerinin ise benzer olup, aynı toplumu temsil ettikleri tespit edilmiştir. Yıllık halka genişliği sınıfları arasında ise, 0-4 mm ve 8-12 mm genişlik gruplarının birbirinden farklı olduğu, 0-4 mm ile 4-8 mm ve 4-8 mm ile 8-12 mm yıllık halka genişliği gruplarının benzer oldukları sonucuna varılmıştır. Yön faktörünün ise herhangi bir etkisi belirlenmemiştir.

Yaz odunu lif traheidi ortalama radyal çapı Kocaman Bölgesinde minimum 24.824 μm 'dir ve diğer bölgelerden farklı olduğu belirlenmiştir. Yıllık halka genişliği ayırm kriteri dikkate alındığında ortalama radyal çapların 0-4 mm genişlik sınıfında 26.520 μm , 4-8 mm genişlik sınıfında 25.797 μm , 8-12 mm genişlik sınıfında 24.769 μm olduğu belirlenmiş ve yıllık halka genişliği arttıkça radyal çapların azaldığı görülmüştür.

III.2.2.2 Lif Traheidi Lümen Genişlikleri

Lif traheidlerinin lümen genişliği ölçümlerine ait istatistik değerlendirme sonuçları toplu olarak Tablo III.54'de verilmiştir.

Tablo III.54: Lif Traheidi Lümen Genişliği İstatistik Değerleri

| İstatistik Özellikler | B | | Ö | | L | | G | | E | | L | | R | | Tüm Toplum | | Genel*** | |
|---------------------------------------------------------|---------------|---------------|-----------------------|-----------------|-----------------------|-----------------|-----------------------|-----------------|-----------------------|-----------------|-----------------------|-----------------|-----------------------|-----------------|-----------------------|-----------------|---------------|--|
| | Altıncay | | Aktas | | İ.B.O. | | Y.O. | | İ.B.O. | | Kocaman | | Y.O. | | İ.B.O. | | | |
| | İ.B.O.* | Y.O.** | Teget Radyal Genişlik | Radyal Genişlik | Teget Radyal Genişlik | Radyal Genişlik | Teget Radyal Genişlik | Radyal Genişlik | Teget Radyal Genişlik | Radyal Genişlik | Teget Radyal Genişlik | Radyal Genişlik | Teget Radyal Genişlik | Radyal Genişlik | Teget Radyal Genişlik | Radyal Genişlik | | |
| Ornek Sayısı (n) | 111 | 111 | 110 | 110 | 106 | 106 | 106 | 106 | 84 | 84 | 301 | 301 | 300 | 300 | 300 | 300 | 601 | |
| Aritmetik Ortalama (\bar{x}) (um) | 18.784 | 22.342 | 18.582 | 20.558 | 19.365 | 21.730 | 19.799 | 20.824 | 16.968 | 20.198 | 17.865 | 19.123 | 18.482 | 21.528 | 18.811 | 20.250 | 18.646 | |
| Ortalamanın Standart Hatası (S _{x̄}) | 0.395 | 0.394 | 0.402 | 0.361 | 0.363 | 0.361 | 0.385 | 0.320 | 0.354 | 0.382 | 0.286 | 0.296 | 0.224 | 0.226 | 0.197 | 0.157 | 0.152 | |
| Standart Sapma (S) | 4.159 | 4.151 | 4.221 | 3.785 | 3.739 | 3.718 | 3.964 | 3.296 | 3.244 | 3.501 | 2.622 | 2.714 | 3.886 | 3.914 | 3.813 | 3.405 | 3.850 | |
| Varyans (S^2) | 17.300 | 17.227 | 17.819 | 14.324 | 13.980 | 13.822 | 15.714 | 10.866 | 10.521 | 12.314 | 6.873 | 7.368 | 15.098 | 15.319 | 14.539 | 11.391 | 14.821 | |
| Varyasyon Katsayısi (% V) | 22.141 | 18.579 | 22.715 | 18.411 | 19.308 | 17.110 | 15.714 | 15.828 | 19.118 | 17.333 | 14.677 | 14.192 | 21.026 | 18.181 | 20.270 | 16.815 | 20.648 | |
| Minimum ve Maximum Değer (um) (Yıllık halka ortalaması) | 12.667-33.333 | 14.000-32.000 | 10.667-32.667 | 11.333-31.333 | 12.000-30.000 | 14.667-32.667 | 11.333-29.333 | 10.000-28.000 | 12.000-26.000 | 14.000-26.000 | 10.667-35.333 | 10.667-32.667 | 11.333-32.667 | 10.000-33.333 | 10.667-31.333 | 10.000-33.333 | 10.667-32.667 | |
| Minimum ve Maksimum Değer (Tüm Veriler) (um) | 8.000-40.000 | 10.000-44.000 | 6.000-38.000 | 8.000-36.000 | 10.000-40.000 | 8.000-36.000 | 10.000-40.000 | 6.000-32.000 | 8.000-36.000 | 6.000-34.000 | 8.000-40.000 | 6.000-38.000 | 8.000-44.000 | 6.000-40.000 | 8.000-40.000 | 6.000-44.000 | | |

*: İlkbahar odunu

**: Yaz odunu

*** : İlkbahar odunu ve yaz odunu farkı dikkate alınmamıştır.

Tablo III.54 incelendiğinde; ilkbahar odunu lif traheidi teğet lümen genişliği ortalama değerlerinin Altınçay Bölgesinde 18.784 μm , Aktaş Bölgesinde 19.365 μm , Kocaman Bölgesinde 16.968 μm , tüm toplumda ise 18.482 μm olduğu görülmektedir. Yaz odunu için ortalamalar, Altınçay Bölgesinde 18.582 μm , Aktaş Bölgesinde 19.799 μm , Kocaman Bölgesinde 17.865 μm , tüm toplumda ise 18.811 μm olarak tespit edilmiştir. Aynı tablo üzerinde, ilkbahar odunu lif traheidi radyal çapı ortalama değerlerinin Altınçay Bölgesinde 22.342 μm , Aktaş Bölgesinde 21.730 μm , Kocaman Bölgesinde 20.198 μm , tüm toplumda ise 21.528 μm olduğu belirlenmiştir. Yaz odunu için ortalama değerlerin, Altınçay Bölgesinde 20.558 μm , Aktaş Bölgesinde 20.824 μm , Kocaman Bölgesinde 19.123 μm , tüm toplumda ise 20.250 μm olduğu görülmektedir. İlkbahar odunu ve yaz odunu birlikte değerlendirilerek, lif traheidi teğet lümen genişliği genel ortalama değeri 18.646 μm , radyal lümen genişliği ortalama değeri ise 20.890 μm olarak tespit edilmiştir.

Sonuç olarak; lif traheidi teğet lümen genişliklerinin ilkbahar ve yaz odunu tabakalarında birbirine yakın değerlere sahip olduğu, radyal lümen genişliklerinin ise yaz odunu tabakasında ilkbahar odunu tabakasına göre biraz daha düşük olduğu belirlenmiştir.

Ayırımla kriterlerinin lif traheidi lümen genişlikleri üzerindeki etkisini belirlemek üzere yapılan istatistik testlere ait sonuçlar, Tablo III.55, Tablo III.56, Tablo III.57, Tablo III.58 ve Tablo III.59'da verilmiştir.

Tablo III.55: Lif Traheidi Lümen Genişliği Bartlett Testi

| Değişkenlik Kaynağı | Ayırımla Kriterleri | İstatistik Özellikler | | | | |
|--------------------------------------------------|------------------------|-----------------------|-----|-------------------------|-------------------------|-------------|
| | | n | v | χ^2_{besap} | χ^2_{tablo} | Önem Düzeyi |
| İ.B.O. Lif Traheidi Teğet Lümen Genişliği | Bölge | 301 | 298 | 5.670 | 5.991 | N.S. |
| | Bonitet | 301 | 298 | 4.215 | 5.991 | N.S. |
| | Yıllık Halka Genişliği | 258 | 255 | 19.867 | 13.815 | *** |
| | Yön | 301 | 299 | 0.0024 | 3.841 | N.S. |
| İ.B.O. Lif Traheidi Radyal Lümen Genişliği | Bölge | 301 | 298 | 2.872 | 5.991 | N.S. |
| | Bonitet | 301 | 298 | 0.832 | 5.991 | N.S. |
| | Yıllık Halka Genişliği | 258 | 255 | 3.554 | 5.991 | N.S. |
| | Yön | 301 | 299 | 0.0013 | 3.841 | N.S. |
| Y.O. Lif Traheidi Teğet Lümen Genişliği | Bölge | 300 | 297 | 20.896 | 13.815 | *** |
| | Bonitet | 300 | 297 | 15.604 | 13.815 | *** |
| | Yıllık Halka Genişliği | 258 | 255 | 11.852 | 9.210 | ** |
| | Yön | 300 | 298 | 2.951 | 3.841 | N.S. |
| Y.O. Lif Traheidi Radyal Lümen Genişliği | Bölge | 300 | 297 | 9.958 | 9.210 | ** |
| | Bonitet | 300 | 297 | 9.324 | 9.210 | ** |
| | Yıllık Halka Genişliği | 258 | 255 | 3.347 | 5.991 | N.S. |
| | Yön | 300 | 298 | 0.0017 | 3.841 | N.S. |

Tablo III.55 incelendiğinde; bölge, bonitet ve yön kriterinin ilkbahar odunu lif traheidi teğet lümen genişliği üzerinde etkili olmadığı, yıllık halka genişliği kriterinin % 99.9 güven düzeyinde etkili olduğu, ilkbahar odunu lif traheidi radyal lümen genişliği üzerinde ise hiçbir kriterin etkili olmadığı belirlenmiştir. Yaz odunu lif traheidi teğet lümen genişliği üzerinde bölge ve bonitet faktörünün % 99.9 güven düzeyinde, yıllık halka genişliği faktörünün % 99 güven düzeyinde etkili olduğu, yön faktörünün ise herhangi bir etkisinin bulunmadığı görülmüştür. Yaz odunu lif traheidi radyal lümen genişliği dikkate alındığında bölge ve bonitet faktörünün % 99 güven düzeyinde etkili olduğu, yıllık halka genişliği ve yön faktörünün ise etkili olmadığı tespit edilmiştir.

Tablo III.56: İlkbahar Odunu Lif Traheidi Teğet Lümen Genişliği Varyans Analizi

| B ö l ğ e | | | | | | |
|-----------------------------------------|---------------------|-------------|---------|--------------------|--------------------|-------------|
| Varyasyon Kaynağı | Serbestlik Derecesi | Tüm Varyans | Varyans | F _{hesap} | F _{table} | Önem Düzeyi |
| Gruplar Arası | 2 | 285.199 | 142.600 | 10.012 | 6.908 | *** |
| Gruplar İçi | 298 | 4244.248 | 14.242 | | | |
| Toplam | 300 | 4529.447 | 15.098 | | | |
| B o n i t e t | | | | | | |
| Varyasyon Kaynağı | Serbestlik Derecesi | Tüm Varyans | Varyans | F _{hesap} | F _{table} | Önem Düzeyi |
| Gruplar Arası | 2 | 91.792 | 45.896 | 3.082 | 2.996 | * |
| Gruplar İçi | 298 | 4438.215 | 14.893 | | | |
| Toplam | 300 | 4530.007 | 15.100 | | | |
| Y i l l i k H a l k a G e n i s l i g i | | | | | | |
| Varyasyon Kaynağı | Serbestlik Derecesi | Tüm Varyans | Varyans | F _{hesap} | F _{table} | Önem Düzeyi |
| Gruplar Arası | 2 | 309.175 | 154.587 | 11.687 | 6.908 | *** |
| Gruplar İçi | 255 | 3373.024 | 13.228 | | | |
| Toplam | 257 | 3682.198 | 14.323 | | | |
| Y ö n | | | | | | |
| Varyasyon Kaynağı | Serbestlik Derecesi | Tüm Varyans | Varyans | F _{hesap} | F _{table} | Önem Düzeyi |
| Gruplar Arası | 1 | 1.623 | 1.623 | 0.107 | 3.841 | N.S. |
| Gruplar İçi | 299 | 4543.599 | 15.196 | | | |
| Toplam | 300 | 4545.223 | 15.151 | | | |

Tablo III.56 incelendiğinde; bölge ve yıllık halka genişliği ayırm kriterlerinin % 99.9 güven düzeyinde, bonitet kriterinin % 95 güven düzeyinde anlamlı bir farklılık oluşturduğu, yön kriterinin ise etkili olmayıp toplumların özdeş olduğu sonucuna varılmıştır. Yapılan Duncan testi ile Kocaman Bölgesinin diğer iki bölgeden farklı olduğu, Altınçay ve Aktaş Bölgelerinin ise aynı toplumu temsil ettikleri belirlenmiştir. Kocaman Bölgesi diğer iki bölgeye göre en düşük ortalama değere (16.968 µm) sahiptir. Bonitet sınıflarından I. ve II. bonitet sınıflarının birbirinden farklı olduğu, I. ve III. bonitet ve II. ve III. bonitet sınıflarının ise aynı toplumu temsil ettikleri tespit edilmiştir. İlkbahar odunu lif traheidi ortalama teğet lümen genişliği I. bonitet sınıfı için 17.693 µm, II. bonitet sınıfı için 19.117 µm, III. bonitet sınıfı için ise 18.569 µm olarak hesaplanmıştır. Yıllık halka genişliği sınıflarından ise 0-4 mm genişlik sınıfının farklı, 4-8 mm ve 8-12 mm genişlik sınıflarının ise benzer oldukları sonucuna varılmıştır. Lif traheidi ortalama teğet lümen genişliği, 0-4 mm genişlik sınıfında maksimum olup (19.716 µm), 8-12 mm genişlik sınıfında minimumdur (16.795 µm). 4-8 mm genişlik sınıfı için ortalama değer 17.757 µm olarak belirlenmiş olup, yıllık halka genişliği arttıkça teğet lümen genişliklerinin azalma gösterdiği belirlenmiştir.

Tablo III.57: İlkbahar Odunu Lif Traheidi Radyal Lümen Genişliği Varyans Analizi

| B ö l g e | | | | | | |
|-----------------------------------------|---------------------|-------------|---------|--------------------|--------------------|-------------|
| Varyasyon Kaynağı | Serbestlik Derecesi | Tüm Varyans | Varyans | F _{hesap} | F _{tablo} | Önem Düzeyi |
| Gruplar Arası | 2 | 226.401 | 113.201 | 7.722 | 6.908 | *** |
| Gruplar İçi | 298 | 4368.354 | 14.659 | | | |
| Toplam | 300 | 4594.755 | 15.316 | | | |
| B o n i t e t | | | | | | |
| Varyasyon Kaynağı | Serbestlik Derecesi | Tüm Varyans | Varyans | F _{hesap} | F _{tablo} | Önem Düzeyi |
| Gruplar Arası | 2 | 225.756 | 112.878 | 7.699 | 6.908 | *** |
| Gruplar İçi | 298 | 4368.704 | 14.660 | | | |
| Toplam | 300 | 4594.460 | 15.315 | | | |
| Y i l l i k H a l k a G e n i s l i ğ i | | | | | | |
| Varyasyon Kaynağı | Serbestlik Derecesi | Tüm Varyans | Varyans | F _{hesap} | F _{tablo} | Önem Düzeyi |
| Gruplar Arası | 2 | 208.195 | 104.097 | 7.226 | 6.908 | *** |
| Gruplar İçi | 255 | 3673.629 | 14.406 | | | |
| Toplam | 257 | 3881.824 | 15.104 | | | |
| Y ö n | | | | | | |
| Varyasyon Kaynağı | Serbestlik Derecesi | Tüm Varyans | Varyans | F _{hesap} | F _{tablo} | Önem Düzeyi |
| Gruplar Arası | 1 | 12.338 | 12.338 | 0.805 | 3.841 | N.S. |
| Gruplar İçi | 299 | 4582.121 | 15.325 | | | |
| Toplam | 300 | 4594.459 | 15.315 | | | |

Tablo III.57 incelediğinde; bölge, bonitet ve yıllık halka genişliği ayırım kriterlerinin ilkbahar odunu lif traheidi radyal lümen genişlikleri üzerinde % 99.9 güven düzeyinde anlamlı bir farklılık oluşturduğu, yön kriterinin ise etkili olmadığı belirlenmiştir. Yapılan Duncan testi sonucunda, Kocaman Bölgesinin farklı bir toplumu temsil ettiği, Altınçay ve Aktaş Bölgelerinin özdeş olduğu, bonitet sınıflarından I. bonitet sınıfının farklı, II. ve III. bonitet sınıflarının aynı toplumu temsil ettiği tespit edilmiştir. Yıllık halka genişliği gruplarından ise 0-4 mm genişlik sınıfının farklı, 4-8 mm ve 8-12 mm genişlik sınıflarının ise özdeş oldukları sonucuna varılmıştır.

Duncan testi sonuçları değerlendirildiğinde, Kocaman Bölgesinin diğer iki bölgeye göre daha düşük ortalamaya ($20.198 \mu\text{m}$) sahip olması nedeni ile farklı olduğu kabul edilmiştir. Bonitet sınıfları arasında, I. bonitetin en düşük ($20.283 \mu\text{m}$), II. bonitetin en yüksek ($22.513 \mu\text{m}$) ortalama değere sahip olduğu, III. bonitetin ise $21.680 \mu\text{m}$ ile bu iki sınıf arasında yer aldığı belirlenmiştir.

Yıllık halka genişliği ayırım kriteri dikkate alındığında farklı toplumu temsil eden 0-4 mm genişlik sınıfının en yüksek ortalama değere ($22.544 \mu\text{m}$) sahip olduğu görülmüştür. Ortalama değerler 4-8 mm ve 8-12 mm genişlik sınıflarında birbirine oldukça yakın olup, sırasıyla $20.717 \mu\text{m}$ ve $20.820 \mu\text{m}$ 'dir.

Tablo III.58: Yaz Odunu Lif Traheidi Teğet Lümen Genişliği Varyans Analizi

| B ö l g e | | | | | | |
|-----------------------------------------|---------------------|-------------|---------|--------------------|--------------------|-------------|
| Varyasyon Kaynağı | Serbestlik Derecesi | Tüm Varyans | Varyans | F _{hesap} | F _{tablo} | Önem Düzeyi |
| Gruplar Arası | 2 | 184.357 | 92.178 | 6.577 | 4.605 | ** |
| Gruplar İçi | 297 | 4162.688 | 14.016 | | | |
| Toplam | 299 | 4347.045 | 14.539 | | | |
| B o n i t e t | | | | | | |
| Varyasyon Kaynağı | Serbestlik Derecesi | Tüm Varyans | Varyans | F _{hesap} | F _{tablo} | Önem Düzeyi |
| Gruplar Arası | 2 | 20.904 | 10.452 | 0.718 | 2.996 | N.S. |
| Gruplar İçi | 297 | 4325.879 | 14.565 | | | |
| Toplam | 299 | 4346.783 | 14.538 | | | |
| Y i l l i k H a l k a G e n i s l i ğ i | | | | | | |
| Varyasyon Kaynağı | Serbestlik Derecesi | Tüm Varyans | Varyans | F _{hesap} | F _{tablo} | Önem Düzeyi |
| Gruplar Arası | 2 | 231.862 | 115.931 | 8.453 | 6.908 | *** |
| Gruplar İçi | 255 | 3497.140 | 13.714 | | | |
| Toplam | 257 | 3729.002 | 14.510 | | | |
| Y ö n | | | | | | |
| Varyasyon Kaynağı | Serbestlik Derecesi | Tüm Varyans | Varyans | F _{hesap} | F _{tablo} | Önem Düzeyi |
| Gruplar Arası | 1 | 0.231 | 0.231 | 0.016 | 3.841 | N.S. |
| Gruplar İçi | 299 | 4296.173 | 14.368 | | | |
| Toplam | 300 | 4296.404 | 14.321 | | | |

Tablo III.58 incelendiğinde; bölge ve yıllık halka genişliği ayırm kriterlerinin yaz odunu lif traheidi teğet lümen genişlikleri üzerinde sırası ile % 99 ve % 99.9 güven düzeyinde anlamlı bir farklılık oluşturduğu belirlenmiştir. Duncan testi sonucunda, Kocaman Bölgesinin farklı bir toplum olduğu, Altınçay ve Aktaş Bölgelerinin özdeş oldukları, yıllık halka genişliği sınıflarından ise 0-4 mm genişlik sınıfının farklı, 4-8 mm ve 8-12 mm genişlik sınıflarının benzer oldukları sonucuna varılmıştır. Aynı tablo üzerinde bonitet ve yön faktörünün etkili olmadıkları görülmektedir. Ancak bonitet faktörü için varyansların farklı, aritmetik ortalamaların özdeş çıkması nedeni ile varyansı daha büyük olan III. bonitet sınıfının daha heterojen bir yapı gösterdiği sonucuna varılmıştır.

Duncan testi sonucuna göre farklı toplumu temsil eden Kocaman Bölgesi, en düşük lif traheidi ortalama teğet lümen genişliğine ($17.865 \mu\text{m}$) sahiptir. Yıllık halka genişliği sınıfları arasında farklı toplumu temsil ettiği kabul edilen 0-4 mm genişlik sınıfında ortalama teğet lümen genişliğinin en yüksek ($20.591 \mu\text{m}$), 4-8 mm ve 8-12 mm genişlik sınıflarında ise sırası ile $20.068 \mu\text{m}$ ve $19.615 \mu\text{m}$ olduğu belirlenmiştir.

Tablo III.59: Yaz Odunu Lif Traheidi Radyal Lümen Genişliği Varyans Analizi

| B ö l g e | | | | | | |
|-----------------------------------------|---------------------|-------------|---------|--------------------|--------------------|-------------|
| Varyasyon Kaynağı | Serbestlik Derecesi | Tüm Varyans | Varyans | F _{hesap} | F _{tablo} | Önem Düzeyi |
| Gruplar Arası | 2 | 152.013 | 76.006 | 6.812 | 4.605 | ** |
| Gruplar İçi | 297 | 3313.779 | 11.158 | | | |
| Toplam | 299 | 3465.792 | 11.591 | | | |
| B o n i t e t | | | | | | |
| Varyasyon Kaynağı | Serbestlik Derecesi | Tüm Varyans | Varyans | F _{hesap} | F _{tablo} | Önem Düzeyi |
| Gruplar Arası | 2 | 42.858 | 21.429 | 1.859 | 2.996 | N.S. |
| Gruplar İçi | 297 | 3422.810 | 11.525 | | | |
| Toplam | 299 | 3465.668 | 11.591 | | | |
| Y i l l i k H a l k a G e n i s l i ğ i | | | | | | |
| Varyasyon Kaynağı | Serbestlik Derecesi | Tüm Varyans | Varyans | F _{hesap} | F _{tablo} | Önem Düzeyi |
| Gruplar Arası | 2 | 27.617 | 13.808 | 1.202 | 2.996 | N.S. |
| Gruplar İçi | 255 | 2928.264 | 11.483 | | | |
| Toplam | 257 | 2955.881 | 14.510 | | | |
| Y ö n | | | | | | |
| Varyasyon Kaynağı | Serbestlik Derecesi | Tüm Varyans | Varyans | F _{hesap} | F _{tablo} | Önem Düzeyi |
| Gruplar Arası | 1 | 1.776 | 1.776 | 0.153 | 3.841 | N.S. |
| Gruplar İçi | 299 | 3459.636 | 11.571 | | | |
| Toplam | 300 | 3461.412 | 11.538 | | | |

Tablo III.59 incelendiğinde; yıllık halka genişliği ve yön ayırım kriterlerinin yaz odunu lif traheidi radyal lümen genişlikleri üzerinde anlamlı bir farklılık oluşturmadığı görülmektedir. Ancak bonitet faktörü dikkate alındığında varyansların farklı, aritmetik ortalamaların özdeş olması sebebi ile varyansı daha büyük olan III. bonitet sınıfının daha heterojen bir yapıda olduğu belirlenmiştir. Yine aynı tabloda bölge faktörünün % 99 güven düzeyinde anlamlı bir farklılık oluşturduğu görülmektedir. Farklı olan bölgenin belirlenmesi için yapılan Duncan testi sonucunda Kocaman Bölgesinin farklı, Altınçay ve Aktaş Bölgelerinin ise aynı toplumu temsil ettiğleri belirlenmiştir. Kocaman Bölgesinin diğer iki bölgeye göre daha düşük ortalamaya ($19.123 \mu\text{m}$) sahip olması nedeni ile farklı olduğu kabul edilmiştir.

III.2.2.3 Lif Traheidi Çeber Kalınlıkları

Lif traheidlerinin çift çeber kalınlığı ölçümlerine ait istatistik değerlendirme sonuçları toplu olarak Tablo III.60'da verilmiştir.

Tablo III.60: Lif Traheidi Çift Çepер Kalınlığı İstatistik Değerleri

| İstatistik Özellikler | Aktas | | | | | | | | | | Kocaman | | | | Tüm Toplum | | | | Genel*** |
|-----------------------------------------------------------------------|---------------|---------------|----------------|-----------------|----------------|-----------------|----------------|-----------------|----------------|-----------------|----------------|-----------------|-----------------|-----------------|----------------|-----------------|-----------------|---------------|----------|
| | Altınçay | | İ.B.O. | | Y.O. | | İ.B.O. | | Y.O. | | İ.B.O. | | Radyal Kalınlık | | Teğet Kalınlık | | Radyal Kalınlık | | |
| | İ.B.O.* | Y.O.** | Teğet Kalınlık | Radyal Kalınlık | Teğet Kalınlık | Radyal Kalınlık | Teğet Kalınlık | Radyal Kalınlık | Teğet Kalınlık | Radyal Kalınlık | Teğet Kalınlık | Radyal Kalınlık | Teğet Kalınlık | Radyal Kalınlık | Teğet Kalınlık | Radyal Kalınlık | Teğet Kalınlık | | |
| Örnek Sayısı (n) | 111 | 111 | 110 | 106 | 106 | 106 | 106 | 84 | 84 | 84 | 301 | 301 | 300 | 300 | 300 | 300 | 300 | 601 | |
| Aritmetik Ortalama (\bar{x}) (μm) | 6.261 | 6.396 | 6.273 | 6.036 | 6.358 | 6.264 | 5.824 | 5.491 | 6.532 | 6.579 | 6.079 | 5.706 | 6.371 | 6.401 | 6.060 | 5.751 | 6.216 | 6.076 | |
| Ortalamanın Standart Hatası (S_x) | 0.113 | 0.124 | 0.119 | 0.127 | 0.099 | 0.106 | 0.105 | 0.108 | 0.143 | 0.151 | 0.145 | 0.121 | 0.068 | 0.073 | 0.071 | 0.070 | 0.049 | 0.052 | |
| Standart Sapma (s) | 1.196 | 1.301 | 1.249 | 1.330 | 1.025 | 1.087 | 1.078 | 1.118 | 1.312 | 1.388 | 1.331 | 1.111 | 1.175 | 1.258 | 1.227 | 1.217 | 1.210 | 1.279 | |
| Varyans (s^2) | 1.431 | 1.692 | 1.560 | 1.768 | 1.051 | 1.182 | 1.162 | 1.249 | 1.722 | 1.925 | 1.771 | 1.235 | 1.381 | 1.582 | 1.505 | 1.481 | 1.465 | 1.635 | |
| Varyasyon Katsayısi (% V) | 19.102 | 20.341 | 19.911 | 22.034 | 16.121 | 17.353 | 18.510 | 20.361 | 20.086 | 21.097 | 21.895 | 19.471 | 18.443 | 19.653 | 20.247 | 21.161 | 19.466 | 21.050 | |
| Minimum ve Maksimum Deger (μm) (Yüksek halka ortalaması) | 2.667- 9.333 | 2.667- 10.000 | 2.667- 9.333 | 2.667- 8.667 | 4.000- 8.667 | 4.000- 8.667 | 3.333- 8.667 | 3.333- 10.000 | 4.000- 10.667 | 4.000- 10.667 | 2.667- 10.667 | 2.667- 10.667 | 2.667- 10.667 | 2.667- 10.667 | 2.667- 10.667 | 2.667- 10.667 | 2.667- 10.667 | 2.667- 10.667 | |
| Minimum ve Maksimum Deger (Tüm Veriler) (μm) | 2.000- 10.000 | 2.000- 12.000 | 2.000- 12.000 | 2.000- 12.000 | 2.000- 12.000 | 2.000- 12.000 | 2.000- 10.000 | 2.000- 10.000 | 2.000- 12.000 | 2.000- 12.000 | 2.000- 14.000 | 2.000- 14.000 | 2.000- 12.000 | 2.000- 18.000 | 2.000- 18.000 | 2.000- 18.000 | 2.000- 14.000 | | |

*: İlkbahar odunu

**: Yaz odunu

*** : İlkbahar ve yaz odunu farkı alınmamıştır.

Tablo III.60 incelendiğinde; ilkbahar odunu lif traheidi teget çift çeper kalınlıklarının Altınçay Bölgesinde 6.261 μm , Aktaş Bölgesinde 6.358 μm , Kocaman Bölgesinde 6.532 μm , tüm toplumda ise 6.371 μm olduğu görülmektedir. Yaz odunu için ortalama değerler, Altınçay Bölgesinde 6.273 μm , Aktaş Bölgesinde 5.824 μm , Kocaman Bölgesinde 6.079 μm , tüm toplumda ise 6.060 μm olarak belirlenmiştir. Aynı tablo üzerinde ilkbahar odunu lif traheidi radyal çift çeper kalınlıkları ortalama değerleri, Altınçay Bölgesinde 6.396 μm , Aktaş Bölgesinde 6.264 μm , Kocaman Bölgesinde 6.579 μm , tüm toplumda ise 6.401 μm olarak tespit edilmiştir. Yaz odunu için ortalama değerlerin Altınçay Bölgesinde 6.036 μm , Aktaş Bölgesinde 5.491 μm , Kocaman Bölgesinde 5.706 μm , tüm toplumda ise 5.751 μm olduğu görülmektedir. İlkbahar ve yaz odunu birlikte değerlendirilerek, lif traheidi teget çift çeper kalınlığı genel ortalama değeri 6.216 μm , radyal çift çeper kalınlığı ortalama değeri ise 6.076 μm olarak tespit edilmiştir.

Sonuç olarak; lif traheidlerinin çeper kalınlıklarının yaz odunu tabakasında biraz daha ince olduğu belirlenmiştir.

Farklı kriterlerin lif traheidi çeper kalınlığı üzerindeki etkisini belirlemek üzere yapılan istatistik testlere ait sonuçlar Tablo III.61, Tablo III.62, Tablo III.63, Tablo III.64 ve Tablo III.65'de verilmiştir.

Tablo III.61: Lif Traheidi Çeper Kalınlığı Bartlett Testi

| Değişkenlik Kaynağı | Ayırım Kriterleri | İstatistik Özellikler | | | | |
|--------------------------------------------------|------------------------|-----------------------|-----|-------------------------|-------------------------|-------------|
| | | n | v | χ^2_{hesap} | χ^2_{tablo} | Önem Düzeyi |
| İ.B.O. Lif Traheidi Teget Çeper Kalınlığı | Bölge | 301 | 298 | 5.809 | 5.991 | N.S. |
| | Bonitet | 301 | 298 | 1.543 | 5.991 | N.S. |
| | Yıllık Halka Genişliği | 258 | 255 | 1.916 | 5.991 | N.S. |
| | Yön | 301 | 299 | 2.875 | 3.841 | N.S. |
| İ.B.O. Lif Traheidi Radyal Çeper Kalınlığı | Bölge | 301 | 298 | 5.997 | 5.991 | * |
| | Bonitet | 301 | 298 | 3.147 | 5.991 | N.S. |
| | Yıllık Halka Genişliği | 258 | 255 | 3.131 | 5.991 | N.S. |
| | Yön | 301 | 299 | 1.344 | 3.841 | N.S. |
| Y.O. Lif Traheidi Teget Çeper Kalınlığı | Bölge | 300 | 297 | 4.398 | 5.991 | N.S. |
| | Bonitet | 300 | 297 | 2.048 | 5.991 | N.S. |
| | Yıllık Halka Genişliği | 258 | 255 | 4.386 | 5.991 | N.S. |
| | Yön | 300 | 298 | 1.221 | 3.841 | N.S. |
| Y.O. Lif Traheidi Radyal Çeper Kalınlığı | Bölge | 300 | 297 | 4.389 | 5.991 | N.S. |
| | Bonitet | 300 | 297 | 7.097 | 5.991 | * |
| | Yıllık Halka Genişliği | 258 | 255 | 1.882 | 5.991 | N.S. |
| | Yön | 300 | 298 | 0.0049 | 3.841 | N.S. |

Tablo III.61 incelendiğinde; bölge faktörünün ilkbahar odunu lif traheidi radyal çeper kalınlığı üzerinde % 95 güven düzeyinde, bonitet faktörünün ise yaz odunu lif

traheidi radyal çeper kalınlığı üzerinde % 95 güven düzeyinde etkili olduğu, diğer faktörlerin lif traheidi çeper kalınlıkları üzerinde herhangi bir farklılık oluşturmadıkları görülmektedir.

Tablo III.62: İlkbahar Odunu Lif Traheidi Teğet Çeber Kalınlığı Varyans Analizi

| B 8 1 g e | | | | | | |
|-----------------------------------------|---------------------|-------------|---------|--------|--------|-------------|
| Varyasyon Kaynağı | Serbestlik Derecesi | Tüm Varyans | Varyans | Fhesap | Ftablo | Önem Düzeyi |
| Gruplar Arası | 2 | 3.526 | 1.763 | 1.279 | 2.996 | N.S. |
| Gruplar İçi | 298 | 410.697 | 1.378 | | | |
| Toplam | 300 | 414.223 | 1.381 | | | |
| B o n i t e t | | | | | | |
| Varyasyon Kaynağı | Serbestlik Derecesi | Tüm Varyans | Varyans | Fhesap | Ftablo | Önem Düzeyi |
| Gruplar Arası | 2 | 7.302 | 3.651 | 2.675 | 2.996 | N.S. |
| Gruplar İçi | 298 | 406.829 | 1.365 | | | |
| Toplam | 300 | 414.131 | 1.380 | | | |
| Y i l l i k H a l k a G e n i s l i ğ i | | | | | | |
| Varyasyon Kaynağı | Serbestlik Derecesi | Tüm Varyans | Varyans | Fhesap | Ftablo | Önem Düzeyi |
| Gruplar Arası | 2 | 6.008 | 3.004 | 2.138 | 2.996 | N.S. |
| Gruplar İçi | 255 | 358.317 | 1.405 | | | |
| Toplam | 257 | 364.325 | 1.418 | | | |
| Y ö n | | | | | | |
| Varyasyon Kaynağı | Serbestlik Derecesi | Tüm Varyans | Varyans | Fhesap | Ftablo | Önem Düzeyi |
| Gruplar Arası | 1 | 0.068 | 0.068 | 0.049 | 3.841 | N.S. |
| Gruplar İçi | 299 | 412.327 | 1.379 | | | |
| Toplam | 300 | 412.395 | 1.375 | | | |

Tablo III.62 incelendiğinde; tüm ayırım kriterleri için aritmetik ortalamaların eşit kabul edilmesi nedeni ile ilkbahar odunu lif traheidi çeper kalınlıkları üzerinde herhangi bir farklılaşmanın meydana gelmediği ve tüm toplumların özdeş oldukları varsayımlı kabul edilmiştir.

Tablo III.63: İlkbahar Odunu Lif Traheidi Radyal Çeber Kalınlığı Varyans Analizi

| B 8 1 g e | | | | | | |
|-----------------------------------------|---------------------|-------------|---------|--------|--------|-------------|
| Varyasyon Kaynağı | Serbestlik Derecesi | Tüm Varyans | Varyans | Fhesap | Ftablo | Önem Düzeyi |
| Gruplar Arası | 2 | 4.661 | 2.330 | 1.477 | 2.996 | N.S. |
| Gruplar İçi | 298 | 470.097 | 1.577 | | | |
| Toplam | 300 | 474.758 | 1.582 | | | |
| B o n i t e t | | | | | | |
| Varyasyon Kaynağı | Serbestlik Derecesi | Tüm Varyans | Varyans | Fhesap | Ftablo | Önem Düzeyi |
| Gruplar Arası | 2 | 2.514 | 1.257 | 0.793 | 2.996 | N.S. |
| Gruplar İçi | 298 | 472.430 | 1.585 | | | |
| Toplam | 300 | 474.944 | 1.583 | | | |
| Y i l l i k H a l k a G e n i s l i ğ i | | | | | | |
| Varyasyon Kaynağı | Serbestlik Derecesi | Tüm Varyans | Varyans | Fhesap | Ftablo | Önem Düzeyi |
| Gruplar Arası | 2 | 6.008 | 3.004 | 2.138 | 2.996 | N.S. |
| Gruplar İçi | 255 | 358.317 | 1.405 | | | |
| Toplam | 257 | 364.325 | 1.418 | | | |
| Y ö n | | | | | | |
| Varyasyon Kaynağı | Serbestlik Derecesi | Tüm Varyans | Varyans | Fhesap | Ftablo | Önem Düzeyi |
| Gruplar Arası | 1 | 0.572 | 0.572 | 0.361 | 3.841 | N.S. |
| Gruplar İçi | 299 | 474.372 | 1.586 | | | |
| Toplam | 300 | 474.944 | 1.583 | | | |

Tablo III.63 incelendiğinde; farklı ayırım kriterleri için aritmetik ortalamaların eşit olduğu, bu nedenle de çeper kalınlıkları üzerinde etkilerinin olmadığı ve her kriter için tüm toplumların özdeş oldukları sonucuna ulaşılmıştır. Ancak bölge kriteri dikkate alındığında varyansların farklı, aritmetik ortalamaların özdeş olması nedeni ile varyansı daha büyük olan Kocaman Bölgesinin diğer iki bölgeye göre daha heterojen yapıda olduğu kabul edilmiştir.

Tablo III.64: Yaz Odunu Lif Traheidi Teğet Çeber Kalınlığı Varyans Analizi

| B o l ı g e | | | | | | |
|-----------------------------------------|---------------------|-------------|---------|--------------------|--------------------|-------------|
| Varyasyon Kaynağı | Serbestlik Derecesi | Tüm Varyans | Varyans | F _{hesap} | F _{tablo} | Önem Düzeyi |
| Gruplar Arası | 2 | 10.919 | 5.459 | 3.693 | 2.996 | * |
| Gruplar İçi | 297 | 439.102 | 1.478 | | | |
| Toplam | 299 | 450.021 | 1.505 | | | |
| B o n i t e t | | | | | | |
| Varyasyon Kaynağı | Serbestlik Derecesi | Tüm Varyans | Varyans | F _{hesap} | F _{tablo} | Önem Düzeyi |
| Gruplar Arası | 2 | 2.637 | 1.319 | 0.876 | 2.996 | N.S. |
| Gruplar İçi | 297 | 447.296 | 1.506 | | | |
| Toplam | 299 | 449.933 | 1.505 | | | |
| Y i l l i k H a l k a G e n i s l i g i | | | | | | |
| Varyasyon Kaynağı | Serbestlik Derecesi | Tüm Varyans | Varyans | F _{hesap} | F _{tablo} | Önem Düzeyi |
| Gruplar Arası | 2 | 14.654 | 7.327 | 5.002 | 4.605 | ** |
| Gruplar İçi | 255 | 373.507 | 1.465 | | | |
| Toplam | 257 | 388.161 | 1.510 | | | |
| Y ö n | | | | | | |
| Varyasyon Kaynağı | Serbestlik Derecesi | Tüm Varyans | Varyans | F _{hesap} | F _{tablo} | Önem Düzeyi |
| Gruplar Arası | 1 | 1.333 | 1.333 | 0.895 | 3.841 | N.S. |
| Gruplar İçi | 298 | 444.073 | 1.490 | | | |
| Toplam | 299 | 445.406 | 1.489 | | | |

Tablo III.64 incelendiğinde; bonitet ve yön ayırım kriterlerinin yaz odunu lif traheidi teğet çeper kalınlıkları üzerinde anlamlı bir farklılık oluşturmadığı tespit edilmiştir. Bölge ve yıllık halka genişliği faktörlerinin ise sırasıyla % 95 ve % 99 güven düzeylerinde farklılık oluşturdukları belirlenmiştir. Yapılan Duncan testi sonucunda, Altınçay ve Aktaş Bölgelerinin birbirlerinden farklı toplumlar olduğu, Altınçay-Kocaman ve Aktaş-Kocaman Bölgelerinin ise özdeş oldukları sonucuna varılmıştır. Yıllık halka genişliği sınıflarından ise 8-12 mm genişlik sınıfının farklı, 0-4 mm ve 4-8 mm genişlik sınıflarının ise benzer oldukları kabul edilmiştir.

Duncan testi sonucuna göre, farklı toplumları temsil eden Altınçay ile Aktaş Bölgelerinde ortalama teğet çeper kalınlıkları sırasıyla 6.273 μm ve 5.824 μm olup, maksimum ve minimum ortalama değerlerdir. Böylece Altınçay ve Aktaş Bölgelerinin farklı toplumları temsil ettikleri kabul edilmiştir. Yıllık halka genişliği sınıfları arasında farklı toplumu temsil eden 8-12 mm genişlik sınıfında ortalama değer minimum olup 5.385 μm 'dir. Ortalama değerler 0-4 mm ile 4-8 mm genişlik sınıflarında ise 6.216 μm ve 6.073 μm olup, yıllık halka genişliği arttıkça çeper kalınlıklarının azaldığı görülmektedir.

Tablo III.65: Yaz Odunu Lif Traheidi Radyal Çeper Kalınlığı Varyans Analizi

| B ö l g e | | | | | | |
|-----------------------------------------|---------------------|-------------|---------|--------------------|--------------------|-------------|
| Varyasyon Kaynağı | Serbestlik Derecesi | Tüm Varyans | Varyans | F _{hesap} | F _{tablo} | Önem Düzeyi |
| Gruplar Arası | 2 | 16.315 | 8.158 | 5.681 | 4.605 | ** |
| Gruplar İçi | 297 | 426.445 | 1.436 | | | |
| Toplam | 299 | 442.760 | 1.481 | | | |
| B o n i t e t | | | | | | |
| Varyasyon Kaynağı | Serbestlik Derecesi | Tüm Varyans | Varyans | F _{hesap} | F _{tablo} | Önem Düzeyi |
| Gruplar Arası | 2 | 1.843 | 0.921 | 0.620 | 2.996 | N.S. |
| Gruplar İçi | 297 | 441.014 | 1.485 | | | |
| Toplam | 299 | 442.857 | 1.481 | | | |
| Y i l l i k H a l k a G e n i ş l i ğ i | | | | | | |
| Varyasyon Kaynağı | Serbestlik Derecesi | Tüm Varyans | Varyans | F _{hesap} | F _{tablo} | Önem Düzeyi |
| Gruplar Arası | 2 | 12.956 | 6.478 | 4.402 | 2.996 | * |
| Gruplar İçi | 255 | 375.263 | 1.472 | | | |
| Toplam | 257 | 388.219 | 1.511 | | | |
| Y ö n | | | | | | |
| Varyasyon Kaynağı | Serbestlik Derecesi | Tüm Varyans | Varyans | F _{hesap} | F _{tablo} | Önem Düzeyi |
| Gruplar Arası | 1 | 0.572 | 0.572 | 0.361 | 3.841 | N.S. |
| Gruplar İçi | 299 | 474.372 | 1.586 | | | |
| Toplam | 300 | 474.944 | 1.583 | | | |

Tablo III.65 incelendiğinde; bölge faktörünün % 99 güven düzeyinde, yıllık halka genişliği faktörünün % 95 güven düzeyinde anlamlı bir farklılık oluşturduğu, bonitet ve yön faktörünün ise anlamlı bir farklılığa neden olmadığı belirlenmiştir. Ancak bonitet faktörü için varyansların farklı aritmetik ortalamaların özdeş olması sebebi ile varyansi büyük olan III. bonitet sınıfının daha heterojen bir yapıda olduğu kabul edilmiştir. Yapılan Duncan testi sonucunda, Altınçay ve Aktaş Bölgelerinin birbirinden farklı toplumlar olduğu, Altınçay-Kocaman ve Aktaş-Kocaman Bölgelerinin ise özdeş oldukları sonucuna varılmıştır. Yıllık halka genişliği sınıflarından ise 8-12 mm genişlik sınıfının farklı, 0-4 mm ve 4-8 mm genişlik sınıflarının ise benzer oldukları kabul edilmiştir.

Duncan testi sonucuna göre, farklı toplumları temsil eden Altınçay Bölgesinde ortalama radyal çeper kalınlığı maksimum olup 6.036 μm , Aktaş Bölgesinde ise 5.491 μm olup minimumdur. Böylece toplumlar arası farklılaşmanın bu iki bölge arasında olduğu görülmüştür. Yıllık halka genişliği sınıfları arasındaki farklılaşma dikkate alındığında, farklı toplumu temsil eden 8-12 mm genişlik sınıfında ortalama radyal çeper kalınlığı minimum olup 5.154 μm 'dir. Ortalama değerler 0-4 mm ile 4-8 mm genişlik sınıflarında ise 5.929 μm ve 5.729 μm olup, yıllık halka genişliği arttıkça çeper kalınlığının azaldığı görülmektedir.

III.2.2.4 Libriformlifleri

Yıllık halka sınırlarında görülen libriformlifleri çeperlerinin daha kalın olması ile lif traheidlerinden ayrırlar. Radyal yönde yassılaşmış hücrelerdir (Şekil III.27).

Libriform liflerinin teğet çap, lümen genişliği ve çift çeper kalınlığı ölçümlerine ait istatistik değerlendirme sonuçları Tablo III.66'da verilmiştir.

Tablo III.66: Libriform Lifi Teğet Ölçüleri İstatistik Değerleri

| İstatistik Özellikler | Libriform Lifi Teğet Çapı | Libriform Lifi Teğet Lümen Genişliği | Libriform Lifi Çift Çeper Kalınlığı |
|----------------------------------------------------|---------------------------|--------------------------------------|-------------------------------------|
| Örnek Sayısı (n) | 171 | 171 | 171 |
| Aritmetik Ortalama (\bar{x}) (μm) | 23.322 | 14.246 | 9.076 |
| Ortalamanın Standart Hatası ($S_{\bar{x}}$) | 0.354 | 0.337 | 0.162 |
| Standart Sapma (s) | 4.633 | 4.410 | 2.117 |
| Varyans (s^2) | 21.466 | 19.445 | 4.482 |
| Varyasyon Katsayısı (% V) | 19.865 | 30.956 | 23.325 |
| Minimum ve Maksimum Değer (μm) | 16.000-44.000 | 6.000-34.000 | 4.000-16.000 |

Tablo III.66 incelendiğinde; libriform lifi teğet çapı ortalama değerinin $23.322 \mu\text{m}$, teğet lümen genişliği ortalama değerinin $14.246 \mu\text{m}$ ve çift çeper kalınlığı ortalama değerinin ise $9.076 \mu\text{m}$ olduğu görülmektedir.

III.2.2.5 Lif Çepleri Kalınlığı Grubu

Liflerde lümenlerin, çift çeper kalınlığından 3 kat veya daha fazla geniş olması halinde çok ince çeplerli lifler söz konusudur. Eğer bu oran 3 katından az ise lif çeplerleri orta kalınlıktadır. Lif lümenlerinin hemen hemen kapalı olduğu durumda ise çok kalın çeplerli lifler söz konusudur [32].

Yapılan ölçmeler neticesinde bu oran 2.571 olarak bulunmuş, böylece ceviz odununda lif çeplerlerinin orta kalınlıkta olduğu sonucuna varılmıştır.

III.2.2.6 Lif Uzunluğu

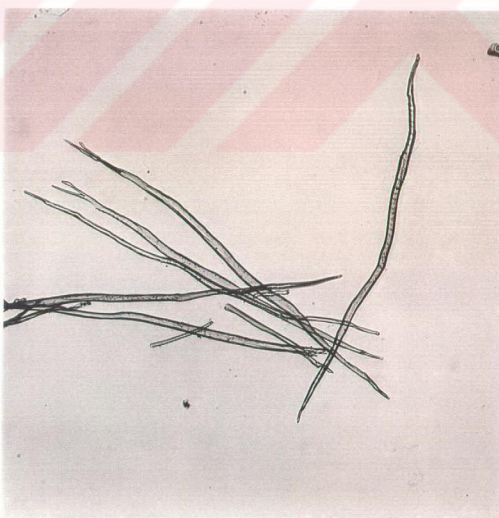
Lif uzunluklarına ait istatistik değerlendirme sonuçları Tablo III.67'de verilmiştir. Ceviz odununda liflerin görünüşü Şekil III.20'de gösterilmiştir.

Tablo III.67: Lif Uzunluğu İstatistik Değerleri

| İstatistik Özellikler | B ö l g e l e r | | | |
|--------------------------------------------------------------------------|----------------------|----------------------|----------------------|----------------------|
| | Altıncay | Aktaş | Kocaman | Genel |
| Örnek Sayısı (n) | 325 | 262 | 229 | 816 |
| Aritmetik Ortalama (\bar{x}) (μm) | 1339.835 | 1391.770 | 1399.826 | 1373.346 |
| Ortalamanın Standart Hatası ($S_{\bar{x}}$) | 9.078 | 9.147 | 11.107 | 5.680 |
| Standart Sapma (s) | 163.652 | 148.061 | 168.084 | 162.250 |
| Varyans (s^2) | 26832.013 | 21922.081 | 28252.084 | 26325.101 |
| Varyasyon Katsayısi (% V) | 12.214 | 10.638 | 12.007 | 11.814 |
| Minimum ve Maksimum Değer (μm) (Yıllık Halka Ortalaması) | 842.270- 1758.400 | 998.930- 1767.730 | 936.270- 1758.130 | 842.270- 1758.400 |
| Minimum ve Maksimum Değer (μm) (Tüm Veriler) | 384.000- 2560.000 | 188.000- 2320.000 | 400.000- 2520.000 | 188.000- 2560.000 |

Tablo III.67 incelendiğinde; lif uzunluğu ortalama değerlerinin Altınçay Bölgesinde 1339.835 μm , Aktaş Bölgesinde 1391.770 μm , Kocaman Bölgesinde 1399.826 μm , genel ortalamanın ise 1373.346 μm olduğu görülmektedir.

Sonuç olarak; lif uzunluğunun üç bölgede de birbirine yakın ortalama değerler verdiği tespit edilmiştir. Ceviz odununda lif boyları uzunluk sınıfı olarak orta uzunluktaki lifler (900-1600 μm) sınıfına girmektedir [32].

**Şekil III.20:** Ceviz Odununda Liflerin Görünüşü (X150).

Ayırımlı kriterlerinin etkisini belirlemek üzere yapılan Bartlett testi ve Varyans analizlerine ait sonuçlar sırası ile Tablo III.68, Tablo III.69'da verilmiştir.

Tablo III.68: Lif Uzunluğu Bartlett Testi

| Ayırımlı Kriterleri | İstatistik Özellikler | | | | |
|---------------------|-----------------------|-----|-------------------------|-------------------------|-------------|
| | n | v | χ^2_{hesap} | χ^2_{tablo} | Önem Düzeyi |
| Bölge | 816 | 813 | 4.456 | 5.991 | N.S. |
| Bonitet | 816 | 813 | 3.371 | 5.991 | N.S. |
| Yaş | 663 | 657 | 39.101 | 20.517 | *** |
| Yön | 816 | 814 | 0.691 | 3.841 | N.S. |

Tablo III.68 incelendiğinde; bölge, bonitet ve yön kriterinin lif uzunluğu üzerinde etkili olmadığı, yaş faktörünün ise % 99.9 güven düzeyinde etkili olduğu belirlenmiştir.

Tablo III.69: Lif Uzunluğu Varyans Analizi

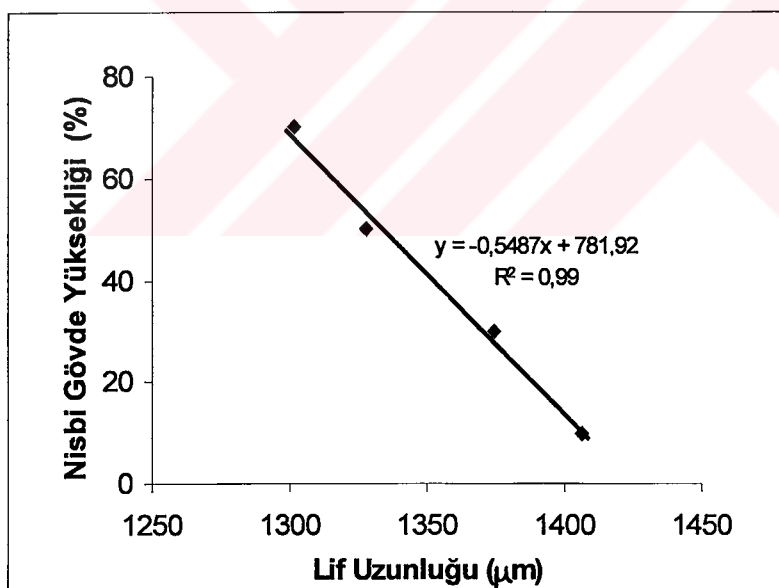
| Bölge | | | | | | |
|-------------------|---------------------|--------------|-------------|--------------------|--------------------|-------------|
| Varyasyon Kaynağı | Serbestlik Derecesi | Tüm Varyans | Varyans | F _{hesap} | F _{tablo} | Önem Düzeyi |
| Gruplar Arası | 2 | 614484.057 | 307242.028 | 11.986 | 6.908 | *** |
| Gruplar İçi | 813 | 20840473.560 | 25634.039 | | | |
| Toplam | 815 | 21454957.617 | 26325.101 | | | |
| Bonitet | | | | | | |
| Varyasyon Kaynağı | Serbestlik Derecesi | Tüm Varyans | Varyans | F _{hesap} | F _{tablo} | Önem Düzeyi |
| Gruplar Arası | 2 | 795834.448 | 397917.224 | 15.659 | 6.908 | *** |
| Gruplar İçi | 813 | 20659123.230 | 25410.976 | | | |
| Toplam | 815 | 21454957.678 | 26325.101 | | | |
| Yaş | | | | | | |
| Varyasyon Kaynağı | Serbestlik Derecesi | Tüm Varyans | Varyans | F _{hesap} | F _{tablo} | Önem Düzeyi |
| Gruplar Arası | 5 | 9849575.368 | 1969915.074 | 174.069 | 4.103 | *** |
| Gruplar İçi | 657 | 7435195.779 | 11316.889 | | | |
| Toplam | 662 | 17284771.147 | 26109.926 | | | |
| Yönde | | | | | | |
| Varyasyon Kaynağı | Serbestlik Derecesi | Tüm Varyans | Varyans | F _{hesap} | F _{tablo} | Önem Düzeyi |
| Gruplar Arası | 1 | 19491.064 | 19491.064 | 0.737 | 3.841 | N.S. |
| Gruplar İçi | 814 | 21533006.25 | 26453.325 | | | |
| Toplam | 815 | 21552497.314 | 26444.782 | | | |

Tablo III.69 incelendiğinde; bölge, bonitet ve yaş faktörünün % 99.9 güven düzeyinde lif uzunluğu üzerinde etkili olduğu, yön faktörünün ise anlamlı bir farklılık oluşturmadığı sonucuna varılmıştır. Yapılan Duncan testi sonucunda, Altınçay Bölgesinin diğer bölgelerden farklı olduğu, Kocaman ve Aktaş Bölgelerinin ise aynı toplumu temsil ettikleri belirlenmiştir. Yine aynı test sonucuna göre, üç bonitet sınıfının da anlamlı bir farklılık gösterdiği tespit edilmiştir. Yaş grupları arasında ise (15-20) ve (30-35) yaş grubu ile (20-25) ve (30-35) yaş gruplarının aynı toplumu temsil ettikleri sonucuna varılmıştır.

Duncan testi sonucuna göre, farklı toplumu temsil ettiği kabul edilen Altınçay Bölgesinde ortalama lif uzunluğu en az olup 1339.835 μm 'dir. Bonitet sınıfları arasında, I. bonitet 1411.760 μm , II. bonitet 1329.475 μm , III. bonitet ise 1380.887 μm ortalama lif uzunluğuna sahiptir. Böylece elverişli yetişme şartlarının lif uzunluğunu artırıcı yönde etki yaptığı görülmektedir. Lif uzunlukları üzerinde farklılaşma oluşturduğu kabul edilen yaş kriteri dikkate alındığında, yaş gruplarına ait ortalama değerler şu şekilde belirlenmiştir. 5 ve 10 yaş 1143.560 μm , 10 ve 15 yaş 1337.952 μm , 15 ve 20 yaş 1423.978 μm , 20 ve 25 yaş 1466.367 μm , 25 ve 30 yaş 1474.638 μm , 30-35 yaş grubunda ise 1434.609 μm 'dir. Lif uzunluklarının yaş gruplarına göre dağılımı incelediğinde artan yaşıla birlikte ortalama lif uzunluklarının da artış gösterdiği anlaşılmaktadır.

III.2.2.6.1 Lif Uzunluğunun Gövde Yüksekliğinde Değişimi

Lif uzunluğunun nisbi gövde yüksekliğindeki değişimi Şekil III.21'de grafik olarak verilmiştir.

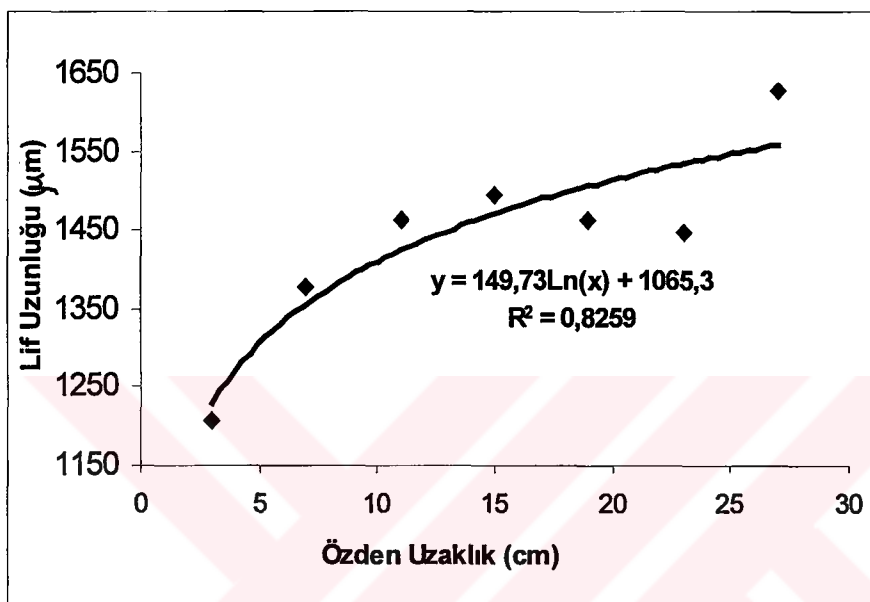


Şekil III.21: Lif Uzunluğunun Nisbi Gövde Yüksekliğinde Değişimi.

Şekil III.21 incelediğinde, lif uzunluğu ile nisbi gövde yüksekliği arasında azalan yönde kuvvetli bir ilişki olduğu görülmektedir. Grafik üzerinde ortalama lif uzunluğunun nisbi gövde yüksekliğinin yaklaşık % 10'unda maksimum (1405.911 μm), % 70'inde ise minimum (1301.088 μm) olduğu görülmektedir.

III.2.2.6.2 Özden Uzaklık İle Lif Uzunluğu Arasındaki İlişki

Özden uzaklık ile lif uzunluğu arasındaki ilişki Şekil III.22'de grafik olarak gösterilmiştir.



Şekil III.22: Özden Uzaklık-Lif Uzunluğu İlişkisi.

Şekil III.22'deki grafik incelendiğinde özden uzaklaşıkça lif uzunluğunun arttığı görülmektedir.

III.2.2.6.3 Lif Uzunluğu Varyasyon Grafiği

Lif uzunlıklarının araştırma bölgelerinde ve tüm toplumda nasıl bir dağılım gösterdiğini tespit etmek amacıyla varyasyon grafikleri çizilmiş ve sırasıyla Şekil III.23, Şekil III.24, Şekil III.25 ve Şekil III.26'da gösterilmiştir. Lif uzunlıklarının normal dağılım gösterip göstermedikleri Khi Kare testi yoluyla kontrol edilmiş, elde edilen sonuçlar aşağıda açıklanmıştır.

Altınçay Bölgesi

$v = 6$ serbestlik derecesi için;

$\chi^2_{0.95} = 1.635 < \chi^2 = 8.181 < 12.592 = \chi^2_{0.05}$ olduğu görüldüğünden normal dağılıma uyma olasılığının % 95'ten daha az, % 5'ten büyük olduğu sonucuna ulaşılmıştır.

Aktaş Bölgesi

$v = 5$ serbestlik derecesi için;

$\chi^2_{0.01} = 15.086 < \chi^2 = 17.553 < 20.517 = \chi^2_{0.001}$ olduğu görüldüğünden normal dağılıma uyma olasılığının % 1'den daha az, % 0.1'den büyük olduğu sonucuna ulaşılmıştır.

Kocaman Bölgesi

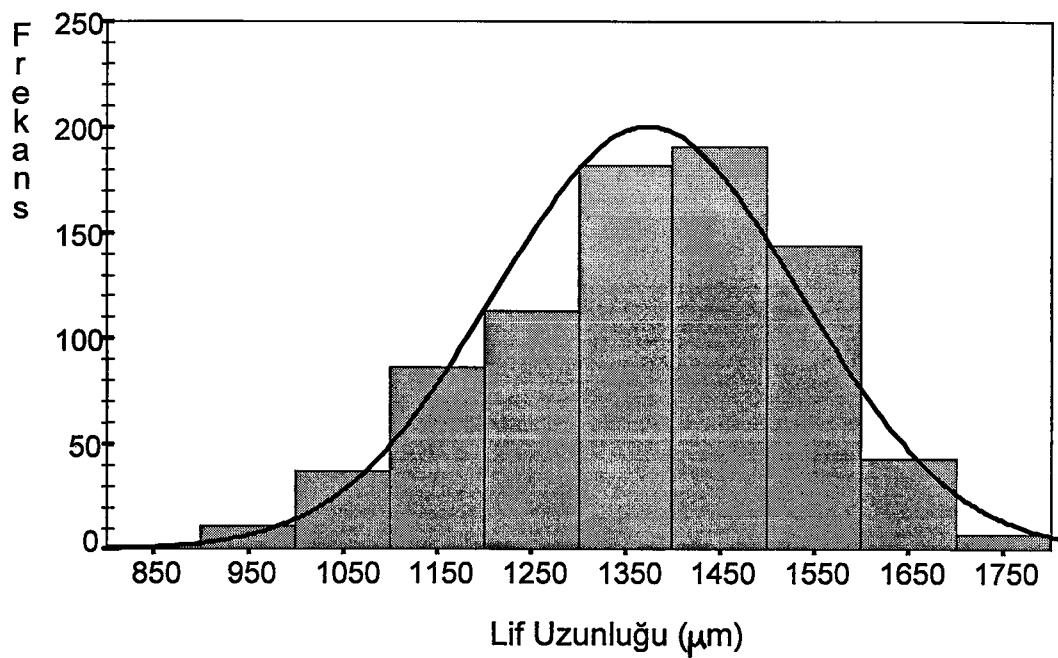
$v = 6$ serbestlik derecesi için;

$\chi^2 = 37.12 > 22.457 = \chi^2_{0.001}$ olduğu görüldüğünden normal dağılıma uyma olasılığının % 0.1'den daha az olduğu ve bireyler arasındaki farklılaşmanın rastgele nedenlerden kaynaklanmadığı sonucuna varılmıştır.

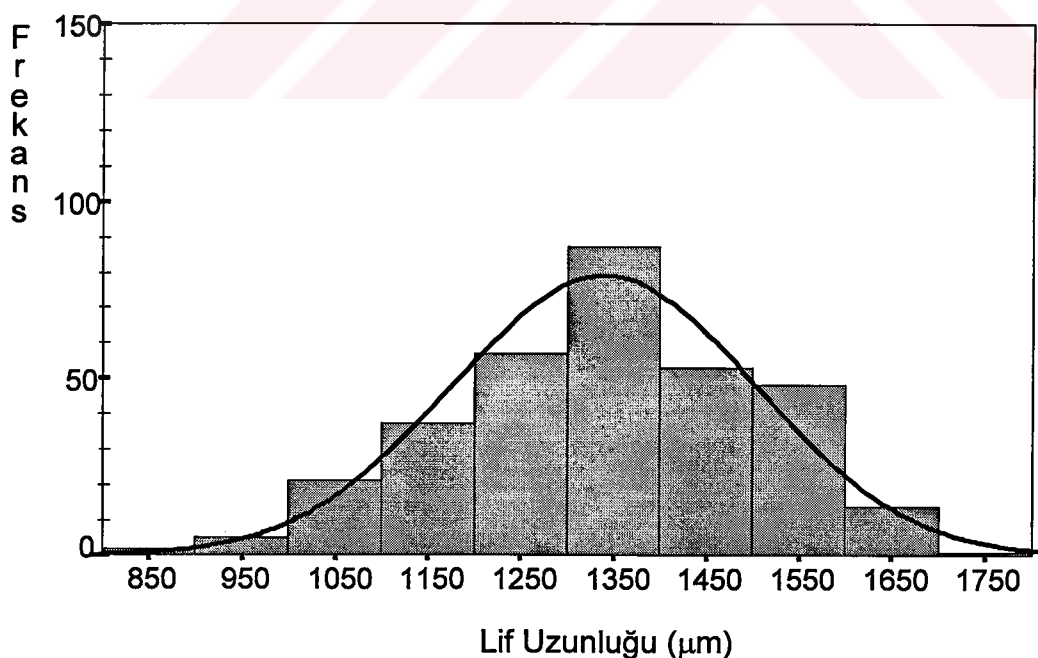
Tüm Toplum

$v = 7$ serbestlik derecesi için;

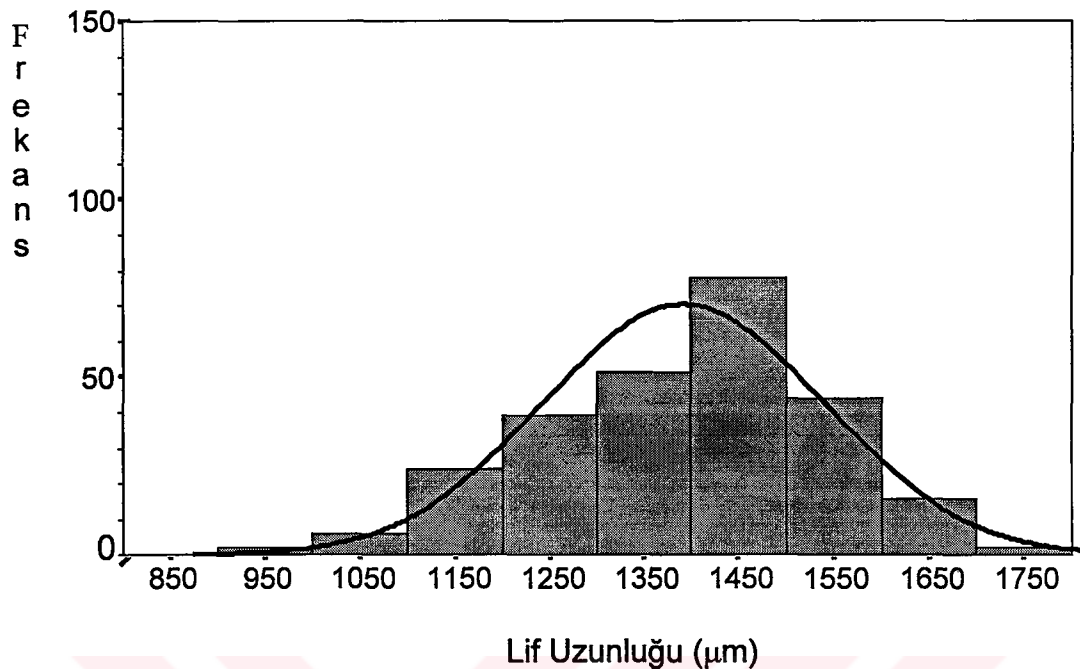
$\chi^2 = 49.279 > 24.322 = \chi^2_{0.001}$ olduğu görüldüğünden normal dağılıma uyma olasılığının % 0.1'den daha az olduğu ve bireyler arasındaki farklılaşma üzerinde belirli bir etken ya da etkenlerin rol oynadığı sonucuna ulaşılmıştır.



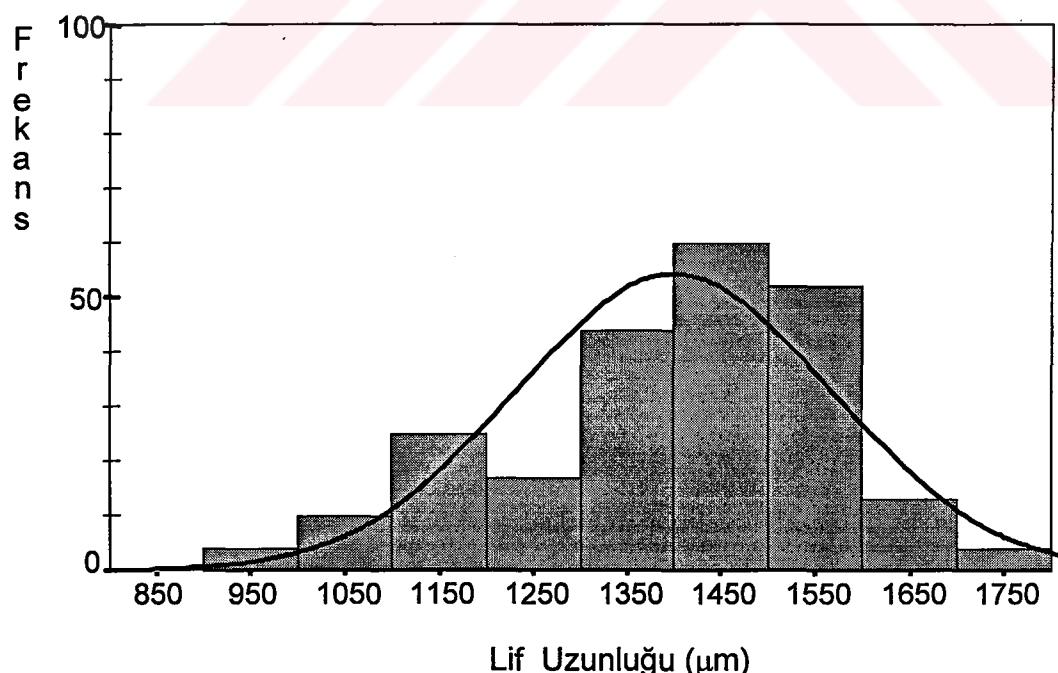
Şekil III.23: Lif Uzunluğu Genel Varyasyon Grafiği.



Şekil III.24: Altınçay Bölgesi Lif Uzunluğu Varyasyon Grafiği.



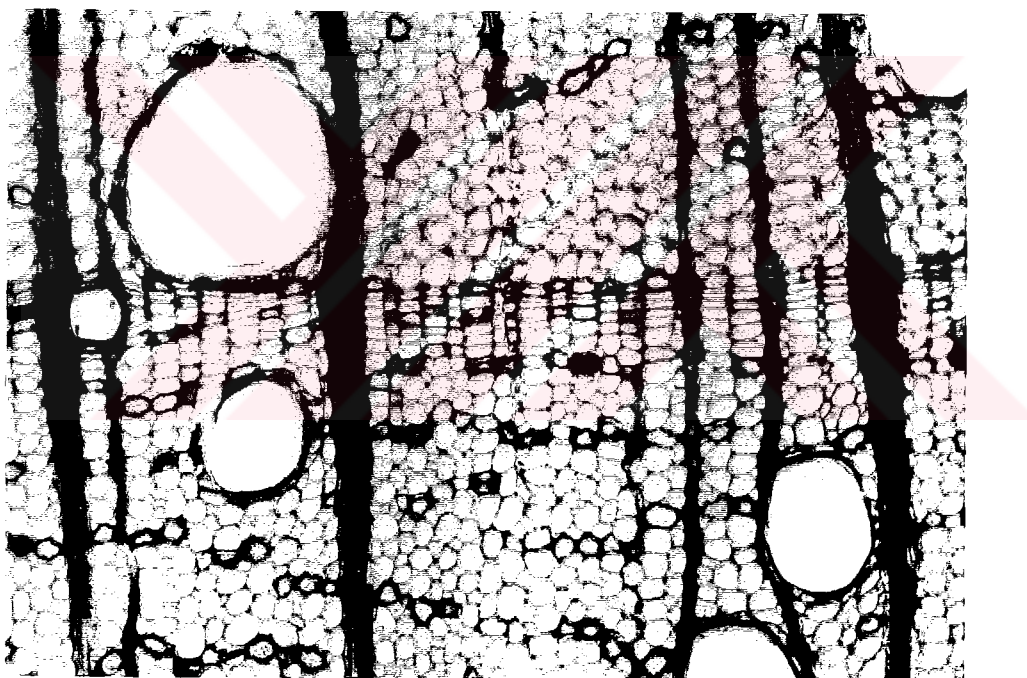
Şekil III.25: Aktaş Bölgesi Lif Uzunluğu Varyasyon Grafiği.



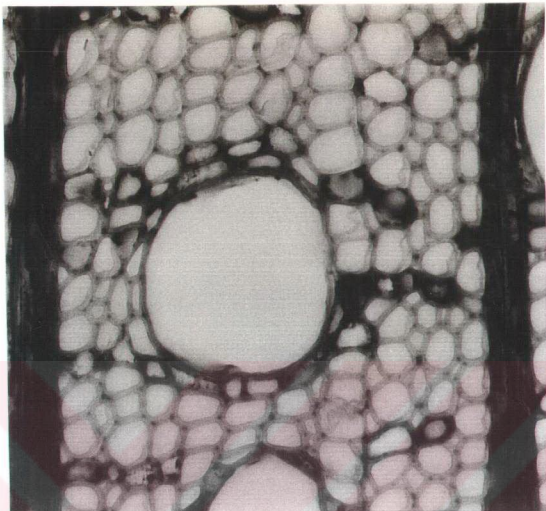
Şekil III.26: Kocaman Bölgesi Lif Uzunluğu Varyasyon Grafiği.

III.2.3 Boyuna Paransimler

Ceviz odununda boyuna paransimlerin apotraheal dağınık, teğet sıralı, paratraheal kümeli ve inisiyal sinir paransimleri halinde bulunduğu tespit edilmiştir (Şekil III.27, Şekil III.28). Teğet sıralı paransimler, kısa teğet şeritler halinde olup bir sıralıdır. Sinir paransimleri de aynı şekilde tek sıra hücreden oluşmuştur. Boyuna paransimlerin odun dokusuna katılım oranı % 6.6 olarak belirlenmiştir.



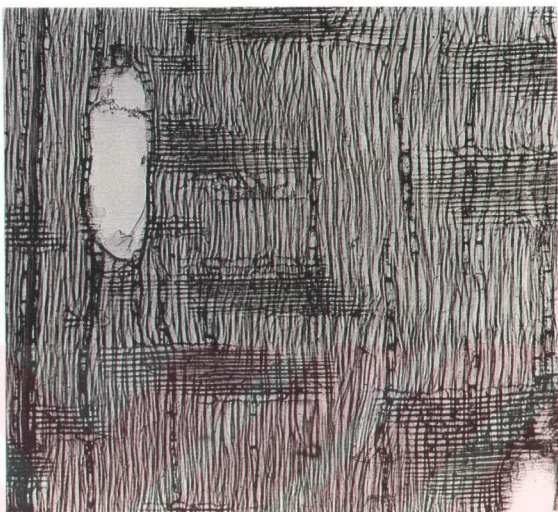
Şekil III.27: Ceviz Odununda Boyuna Paransimler (X135).



Şekil III.28: Ceviz Odununda Paratraheal Kümeli Paranşimler (X310).

III.2.4 Öz Işınları

Ceviz odununda öz işinleri homoselüler ve heteroselüler yapıda olup, homoselüler öz işinleri tamamen yatık hücrelerden oluşmuştur. Heteroselüler öz işinleri ise ortada yatık, kenarlarda çoğunlukla 1 nadiren 3 sıra kare şekilli hücrelerden oluşmaktadır. Homoselüler ve heteroselüler öz işinlarının radyal kesitteki görünüşleri Şekil III.12 ve Şekil III.29'da, teget kesitteki görünüşleri ise Şekil.III.13'de görülmektedir. Öz işinleri 1-5 hücre genişliğinde olup, 5 sıralı öz işinlarına daha az rastlanılmaktadır. Öz işinlarının yüksekliği, tek sıralı öz işinlerinde 1-28 hücre, çok sıralı öz işinlerinde ise 5-48 hücre kadardır. Odun dokusuna katılım oranları % 15.13 olarak tespit edilmiştir.



Şekil III.29: Ceviz Odununda Heteroselüler Öz Işınları (X60).

III.2.4.1 Öz Işını Genişliği

Öz işinlarının hücre ve mikrometre olarak genişlikleri tespit edilerek, bölge, bonitet, yıllık halka genişliği ve yön ayırım kriterlerinin etkileri araştırılmıştır.

Öz işinlarının hücre genişliğine ait istatistik değerlendirme sonucunda elde edilen değerler Tablo III.70'de verilmiştir.

Tablo III.70: Öz Işını Hücre Genişliği İstatistik Değerleri

| İstatistik Özellikler | B ö l g e l e r | | | |
|------------------------------------------------|-----------------|--------|---------|--------|
| | Altınçay | Aktaş | Kocaman | Genel |
| Örnek Sayısı (n) | 580 | 580 | 440 | 1600 |
| Aritmetik Ortalama (\bar{x}) (Hücre Adeti) | 3.155 | 2.850 | 3.175 | 3.050 |
| Ortalamanın Standart Hatası ($S_{\bar{x}}$) | 0.047 | 0.042 | 0.058 | 0.028 |
| Standart Sapma (s) | 1.140 | 1.019 | 1.211 | 1.128 |
| Varyans (s^2) | 1.299 | 1.039 | 1.466 | 1.272 |
| Varyasyon Katsayısı (% V) | 36.133 | 35.754 | 38.142 | 36.984 |
| Minimum ve Maksimum Değer (Hücre Adeti) | 1-5 | 1-5 | 1-5 | 1-5 |

Tablo III.70 incelendiğinde; öz işini hücre genişliği ortalama değerlerinin Altınçay Bölgesinde 3.155 hücre, Aktaş Bölgesinde 2.850 hücre, Kocaman Bölgesinde 3.175 hücre, genel ortalamanın ise 3.050 hücre olduğu görülmektedir.

Sonuç olarak; her bölgede ortalama öz işini hücre genişliklerinin birbirine yakın değerler verdiği tespit edilmiştir.

Her bölge için ayrıca, öz işini hücre genişliklerinin dağılımı incelenmiş ve elde edilen sonuçlar Tablo III.71'de verilmiştir.

Tablo III.71: Öz Işını Hücre Genişliği

| Bölgeler | Hücre Sayısı | | | | |
|----------|--------------|-----|-----|-----|-----|
| | 1 | 2 | 3 | 4 | 5 |
| Altınçay | 76 | 57 | 201 | 193 | 53 |
| Aktaş | 81 | 92 | 256 | 135 | 16 |
| Kocaman | 56 | 59 | 140 | 122 | 63 |
| Genel | 213 | 208 | 597 | 450 | 132 |

Tablo III.71'de görüldüğü gibi, öz işinların genişliği 1-5 hücre arasında değişmekte olup, genel olarak en fazla 3-4 hücre genişliğine, en az ise 5 hücre genişliğine rastlanılmaktadır. En fazla tekrarlanan hücre sayısı tüm bölgeler için 3'tür.

Öz işini hücre genişliği üzerinde bölge, bonitet, yıllık halka genişliği ve yön ayırım kriterlerinin etkisini belirlemek üzere yapılan Bartlett testi ve varyans analizlerine ait sonuçlar Tablo III.72 ve Tablo III.73'de verilmiştir.

Tablo III.72: Öz İşini Hücre Genişliği Bartlett Testi

| Ayrılm Kriterleri | İstatistik Özellikler | | | | |
|------------------------|-----------------------|------|-------------------------|-------------------------|-------------|
| | n | v | χ^2_{hesap} | χ^2_{tablo} | Önem Düzeyi |
| Bölge | 1600 | 1597 | 15.528 | 13.815 | *** |
| Bonitet | 1600 | 1597 | 0.954 | 5.991 | N.S. |
| Yıllık Halka Genişliği | 1375 | 1372 | 0.333 | 5.991 | N.S. |
| Yön | 1600 | 1598 | 1.206 | 3.841 | N.S. |

Tablo III.72 incelendiğinde; bonitet, yıllık halka genişliği ve yön kriterlerinin öz işini hücre genişliği üzerinde etkili olmadığı, bölge kriterinin ise % 99.9 güven düzeyinde etkili olduğu belirlenmiştir.

Tablo III.73: Öz İşini Hücre Genişliği Varyans Analizi

| Bölge | | | | | | |
|------------------------|---------------------|-------------|---------|--------------------|--------------------|-------------|
| Varyasyon Kaynağı | Serbestlik Derecesi | Tüm Varyans | Varyans | F _{hesap} | F _{tablo} | Önem Düzeyi |
| Gruplar Arası | 2 | 36.491 | 18.245 | 14.587 | 6.908 | *** |
| Gruplar İçi | 1597 | 1997.509 | 1.251 | | | |
| Toplam | 1599 | 2034.000 | 1.272 | | | |
| Bonitet | | | | | | |
| Varyasyon Kaynağı | Serbestlik Derecesi | Tüm Varyans | Varyans | F _{hesap} | F _{tablo} | Önem Düzeyi |
| Gruplar Arası | 2 | 6.689 | 3.345 | 2.635 | 2.996 | N.S. |
| Gruplar İçi | 1597 | 2027.310 | 1.269 | | | |
| Toplam | 1599 | 2034.999 | 1.272 | | | |
| Yıllık Halka Genişliği | | | | | | |
| Varyasyon Kaynağı | Serbestlik Derecesi | Tüm Varyans | Varyans | F _{hesap} | F _{tablo} | Önem Düzeyi |
| Gruplar Arası | 2 | 1.115 | 0.557 | 0.444 | 2.996 | N.S. |
| Gruplar İçi | 1372 | 1721.943 | 1.255 | | | |
| Toplam | 1374 | 1723.058 | 1.254 | | | |
| Yön | | | | | | |
| Varyasyon Kaynağı | Serbestlik Derecesi | Tüm Varyans | Varyans | F _{hesap} | F _{tablo} | Önem Düzeyi |
| Gruplar Arası | 1 | 0.307 | 0.307 | 0.623 | 3.841 | N.S. |
| Gruplar İçi | 1598 | 2033.693 | 1.273 | | | |
| Toplam | 1599 | 2034.000 | 1.272 | | | |

Tablo III.73 incelendiğinde; bonitet, yıllık halka genişliği ve yön kriterlerinin daha önce yapılan Bartlett testinde varyanslarının, varyans analizi sonucunda da aritmetik ortalamalarının özdeş olması sebebi ile öz işini hücre genişlikleri üzerinde anlamlı bir farklılık oluşturmadıkları sonucuna varılmıştır. Bölge faktörünün ise % 99.9 güven düzeyinde öz işini hücre genişliği üzerinde etkili olduğu tespit edilmiştir. Yapılan Duncan testi sonucunda Aktaş Bölgesinin farklı, Altınçay ve Kocaman Bölgelerinin benzer olup, aynı toplumu temsil ettiğleri belirlenmiştir. Öz işini hücre genişliği ortalama değerlerinin bölgelere göre dağılımı incelendiğinde Aktaş Bölgesinin en düşük ortalama değere sahip (2.850 hücre) olduğu görülmüştür.

Öz işinlarının genişlikleri mikrometre olarak belirlenmiş olup, tek sıralı öz işinlarına ait istatistik değerlendirme sonuçları Tablo III.74'de verilmiştir.

Tablo III.74: Tek Sıralı Öz İşinları Mikrometre Genişliği İstatistik Değerleri

| İstatistik Özellikler | B ö l g e l e r | | | |
|--------------------------------------------------------------------------|-------------------|-------------------|-------------------|-------------------|
| | Altınçay | Aktaş | Kocaman | Genel |
| Örnek Sayısı (n) | 100 | 103 | 77 | 280 |
| Aritmetik Ortalama (\bar{x}) (μm) | 14.620 | 14.165 | 14.494 | 14.418 |
| Ortalamanın Standart Hatası (S_x) | 0.183 | 0.152 | 0.173 | 0.099 |
| Standart Sapma (s) | 1.830 | 1.547 | 1.519 | 1.653 |
| Varyans (s^2) | 3.349 | 2.394 | 2.306 | 2.732 |
| Varyasyon Katsayısı (% V) | 12.517 | 10.921 | 10.480 | 11.465 |
| Minimum ve Maksimum Değer (μm) (Yıllık Halka Ortalaması) | 10.000- 21.000 | 11.000- 19.000 | 11.000- 18.000 | 10.000- 21.000 |
| Minimum ve Maksimum Değer (μm) (Tüm Veriler) | 4.000- 28.000 | 4.000- 28.000 | 8.000- 24.000 | 4.000- 28.000 |

Tablo III.74 incelendiğinde; tek sıralı öz işinlarının mikrometre genişliği ortalama değerlerinin, Altınçay Bölgesinde $14.620 \mu\text{m}$, Aktaş Bölgesinde $14.165 \mu\text{m}$, Kocaman Bölgesinde $14.494 \mu\text{m}$, genel ortalamanın ise $14.418 \mu\text{m}$ olduğu görülmektedir.

Ayırımla kriterlerinin etkisini belirlemek üzere yapılan Bartlett testi ve varyans analizlerine ait sonuçlar Tablo III.75 ve Tablo III.76'da verilmiştir.

Tablo III.75: Tek Sıralı Öz İşinları Mikrometre Genişliği Bartlett Testi

| Ayırımla Kriterleri | İstatistik Özellikler | | | | |
|------------------------|-----------------------|-----|-------------------------|-------------------------|-------------|
| | n | v | χ^2_{hesap} | χ^2_{tablo} | Önem Düzeyi |
| Bölge | 280 | 277 | 4.060 | 5.991 | N.S. |
| Bonitet | 280 | 277 | 3.639 | 5.991 | N.S. |
| Yıllık Halka Genişliği | 244 | 241 | 0.974 | 5.991 | N.S. |
| Yön | 280 | 278 | 0.079 | 3.841 | N.S. |

Tablo III.75 incelendiğinde; bölge, bonitet, yıllık halka genişliği ve yön ayırmalarının tek sıralı öz işinlarının mikrometre genişliği üzerinde etkili olmadığı belirlenmiştir.

Tablo III.76: Tek Sıralı Öz Işınlarının Mikrometre Genişliği Varyans Analizi

| B ö l g e | | | | | | |
|---------------------------------------|---------------------|-------------|---------|--------------------|--------------------|-------------|
| Varyasyon Kaynağı | Serbestlik Derecesi | Tüm Varyans | Varyans | F _{hesap} | F _{tablo} | Önem Düzeyi |
| Gruplar Arası | 2 | 25.556 | 12.778 | 4.029 | 2.996 | * |
| Gruplar İçi | 277 | 878.463 | 3.171 | | | |
| Toplam | 279 | 904.019 | 3.240 | | | |
| B o n i t e t | | | | | | |
| Varyasyon Kaynağı | Serbestlik Derecesi | Tüm Varyans | Varyans | F _{hesap} | F _{tablo} | Önem Düzeyi |
| Gruplar Arası | 2 | 10.242 | 5.121 | 1.887 | 2.996 | N.S. |
| Gruplar İçi | 277 | 751.868 | 2.714 | | | |
| Toplam | 279 | 762.110 | 2.731 | | | |
| Y i l i k H a l k a G e n i s l i ğ i | | | | | | |
| Varyasyon Kaynağı | Serbestlik Derecesi | Tüm Varyans | Varyans | F _{hesap} | F _{tablo} | Önem Düzeyi |
| Gruplar Arası | 2 | 8.973 | 4.486 | 1.678 | 2.996 | N.S. |
| Gruplar İçi | 241 | 644.388 | 2.674 | | | |
| Toplam | 243 | 653.361 | 2.689 | | | |
| Y ö n | | | | | | |
| Varyasyon Kaynağı | Serbestlik Derecesi | Tüm Varyans | Varyans | F _{hesap} | F _{tablo} | Önem Düzeyi |
| Gruplar Arası | 1 | 1.630 | 1.630 | 0.596 | 3.841 | N.S. |
| Gruplar İçi | 278 | 760.481 | 2.735 | | | |
| Toplam | 279 | 762.111 | 2.732 | | | |

Tablo III.76 incelendiğinde; bonitet, yıllık halka genişliği ve yön ayırım kriterlerinin tek sıralı öz işinlarının mikrometre genişliği üzerinde anlamlı bir fark oluşturmadıkları, bölge kriterinin ise % 95 güven düzeyinde anlamlı bir farklılık oluşturduğu belirlenmiştir. Farklı olan bölgenin tespit edilebilmesi için yapılan Duncan testi sonucunda, Altınçay ve Aktaş Bölgelerinin farklı toplumları temsil ettikleri, Altınçay-Kocaman ve Aktaş-Kocaman Bölgelerinin ise benzer toplumlar olduğu belirlenmiştir. Bölgelere ait aritmetik ortalamalar incelendiğinde, Altınçay Bölgesinin 14.620 μm , Aktaş Bölgesinin 14.165 μm , Kocaman Bölgesinin ise 14.494 μm ortalama öz işini genişliğine sahip olduğu görülmektedir. Sonuç olarak, maksimum ve minimum ortalama değere sahip olan bölgelerin % 95 güven düzeyinde farklı toplumlar olduğu kabul edilmiştir.

Çok sıralı öz işinlarının genişlikleri de mikrometre olarak belirlenmiş ve istatistik değerlendirme sonuçları Tablo III.77'de gösterilmiştir.

Tablo III.77: Çok Sıralı Öz Işınları Mikrometre Genişliği İstatistik Değerleri

| İstatistik Özellikler | B ö l g e l e r | | | |
|--------------------------------------------------------------------------|-------------------|-------------------|-------------------|-------------------|
| | Altınçay | Aktaş | Kocaman | Genel |
| Örnek Sayısı (n) | 100 | 104 | 77 | 281 |
| Aritmetik Ortalama (\bar{x}) (μm) | 41.880 | 38.846 | 42.506 | 40.929 |
| Ortalamanın Standart Hatası ($S_{\bar{x}}$) | 0.794 | 0.657 | 0.862 | 0.450 |
| Standart Sapma (s) | 7.936 | 6.704 | 7.565 | 7.547 |
| Varyans (s^2) | 62.975 | 44.947 | 57.227 | 56.952 |
| Varyasyon Katsayısi (% V) | 18.949 | 17.258 | 17.797 | 18.439 |
| Minimum ve Maksimum Değer (μm) (Yıllık Halka Ortalaması) | 10.000- 61.000 | 27.000- 62.000 | 28.000- 66.000 | 10.000- 66.000 |
| Minimum ve Maksimum Değer (μm) (Tüm Veriler) | 16.000- 80.000 | 16.000- 88.000 | 16.000- 80.000 | 16.000- 88.000 |

Tablo III.77 incelendiğinde; çok sıralı öz işinlarının mikrometre genişliği ortalama değerlerinin Altınçay Bölgesinde $41.880 \mu\text{m}$, Aktaş Bölgesinde $38.846 \mu\text{m}$, Kocaman Bölgesinde $42.506 \mu\text{m}$, genel ortalamanın ise $40.929 \mu\text{m}$ olduğu belirlenmiştir.

Sonuç olarak; Altınçay ve Kocaman Bölgeleri birbirine daha yakın ortalama değerler verirken, Aktaş Bölgesinde ortalama değerin biraz daha düşük olduğu tespit edilmiştir.

Ayırımlı kriterlerinin etkisini belirlemek amacıyla yapılan Bartlett testi ve varyans analizlerine ait sonuçlar Tablo III.78 ve Tablo III.79'da verilmiştir.

Tablo III.78: Çok Sıralı Öz İşinları Mikrometre Genişliği Bartlett Testi

| Ayırımlı Kriterleri | İstatistik Özellikler | | | | | Önem Düzeyi |
|------------------------|-----------------------|-----|-------------------------|-------------------------|--|-------------|
| | n | v | χ^2_{hesap} | χ^2_{tablo} | | |
| Bölge | 281 | 278 | 2.960 | 5.991 | | N.S. |
| Bonitet | 281 | 278 | 1.536 | 5.991 | | N.S. |
| Yıllık Halka Genişliği | 245 | 242 | 1.554 | 5.991 | | N.S. |
| Yön | 281 | 279 | 3.017 | 3.841 | | N.S. |

Tablo III.78 incelendiğinde; ayırımlı kriterlerinin çok sıralı öz işinlarının mikrometre genişliği üzerinde etkili olmadığı belirlenmiştir.

Tablo III.79: Çok Sıralı Öz İşinları Mikrometre Genişliği Varyans Analizi

| Bölge | | | | | | |
|------------------------|---------------------|-------------|----------|--------------------|--------------------|-------------|
| Varyasyon Kaynağı | Serbestlik Derecesi | Tüm Varyans | Varyans | F _{hesap} | F _{tablo} | Önem Düzeyi |
| Gruplar Arası | 2 | 733.231 | 366.616 | 6.699 | 4.605 | ** |
| Gruplar İçi | 278 | 15213.345 | 54.724 | | | |
| Toplam | 280 | 15946.576 | 56.952 | | | |
| Bonitete | | | | | | |
| Varyasyon Kaynağı | Serbestlik Derecesi | Tüm Varyans | Varyans | F _{hesap} | F _{tablo} | Önem Düzeyi |
| Gruplar Arası | 2 | 77.962 | 38.981 | 0.683 | 2.996 | N.S. |
| Gruplar İçi | 278 | 15868.615 | 57.081 | | | |
| Toplam | 280 | 15946.577 | 56.952 | | | |
| Yıllık Halka Genişliği | | | | | | |
| Varyasyon Kaynağı | Serbestlik Derecesi | Tüm Varyans | Varyans | F _{hesap} | F _{tablo} | Önem Düzeyi |
| Gruplar Arası | 2 | 9744.040 | 4872.020 | 1.597 | 2.996 | N.S. |
| Gruplar İçi | 279 | 851379.396 | 3051.539 | | | |
| Toplam | 281 | 861123.436 | 3064.496 | | | |
| Yönn | | | | | | |
| Varyasyon Kaynağı | Serbestlik Derecesi | Tüm Varyans | Varyans | F _{hesap} | F _{tablo} | Önem Düzeyi |
| Gruplar Arası | 1 | 1.449 | 1.449 | 0.026 | 3.841 | N.S. |
| Gruplar İçi | 278 | 15702.058 | 56.482 | | | |
| Toplam | 279 | 15703.507 | 56.285 | | | |

Tablo III.79 incelendiğinde; daha önce yapılan Bartlett testinde varyansların, varyans analizi sonucunda da aritmetik ortalamaların özdeş olması sebebi ile bonitet, yıllık halka genişliği ve yön ayırım kriterlerinin çok sıralı öz ışınlarının mikrometre genişliği üzerinde anlamlı bir farklılık oluşturmadığı tespit edilmiştir. Bölge faktörünün ise % 99 güven düzeyinde anlamlı bir farklılık oluşturduğu belirlenmiştir. Yapılan Duncan testi sonucunda, Aktaş Bölgesinin farklı bir toplum olduğu, Altınçay ve Kocaman Bölgelerinin ise aynı toplumu temsil ettikleri belirlenmiştir. Bölgelere ait aritmetik ortalamalar incelendiğinde Aktaş Bölgesinin en düşük ortalama değere sahip olduğu ($38.846 \mu\text{m}$) ve böylece diğer iki bölgeden farklı bir toplumu temsil ettiği kabul edilmiştir.

III.2.4.2 Öz Işını Yüksekliği

Tek sıralı öz ışınlarının hücre yüksekliğine ait istatistik değerlendirme sonuçları Tablo III.80'de verilmiştir.

Tablo III.80: Tek Sıralı Öz Işınıları Hücre Yüksekliği İstatistik Değerleri

| İstatistik Özellikler | B ö l g e l e r | | | |
|------------------------------------------------|-----------------|--------|---------|--------|
| | Altınçay | Aktaş | Kocaman | Genel |
| Örnek Sayısı (n) | 404 | 404 | 312 | 1120 |
| Aritmetik Ortalama (\bar{x}) (Hücre Adeti) | 8.309 | 9.653 | 8.683 | 8.809 |
| Ortalamanın Standart Hatası ($S_{\bar{x}}$) | 0.213 | 0.236 | 0.231 | 0.132 |
| Standart Sapma (s) | 4.275 | 4.737 | 4.083 | 4.432 |
| Varyans (s^2) | 18.279 | 22.435 | 16.667 | 19.639 |
| Varyasyon Katsayısı (% V) | 51.450 | 49.073 | 47.023 | 50.312 |
| Minimum ve Maksimum Değer (Hücre Adeti) | 1-26 | 1-28 | 1-23 | 1-28 |

Tablo III.80 incelendiğinde; tek sıralı öz ışınlarının hücre yüksekliği ortalama değerlerinin Altınçay Bölgesinde 8.309 hücre, Aktaş Bölgesinde 9.653 hücre, Kocaman Bölgesinde 8.683 hücre, genel ortalamanın ise 8.809 hücre olduğu görülmektedir.

Sonuç olarak; tek sıralı öz ışınıları hücre yüksekliği ortalama değerinin Aktaş Bölgesinde en yüksek, Altınçay ve Kocaman Bölgelerinde ise birbirine yakın olduğu tespit edilmiştir.

Bölge, bonitet, yıllık halka genişliği ve yön ayırım kriterlerinin tek sıralı öz işinlarının hücre yüksekliği üzerindeki etkilerini belirlemek amacıyla yapılan Bartlett testi ve varyans analizlerine ait sonuçlar Tablo III.81 ve Tablo III.82'de verilmiştir.

Tablo III.81: Tek Sıralı Öz İşinları Hücre Yüksekliği Bartlett Testi

| Ayırım Kriterleri | İstatistik Özellikler | | | | |
|------------------------|-----------------------|------|-------------------------|-------------------------|-------------|
| | n | v | χ^2_{hesap} | χ^2_{tablo} | Önem Düzeyi |
| Bölge | 1120 | 1117 | 8.566 | 5.991 | * |
| Bonitet | 1120 | 1117 | 1.237 | 5.991 | N.S. |
| Yıllık Halka Genişliği | 980 | 977 | 0.379 | 5.991 | N.S. |
| Yön | 1120 | 1118 | 4.031 | 3.841 | * |

Tablo III.81 incelendiğinde; bonitet ve yıllık halka genişliği ayırım kriterlerinin tek sıralı öz işinları hücre yüksekliği üzerinde etkili olmadığı, bölge ve yön kriterlerinin ise 0.05 güven düzeyinde etkili oldukları tespit edilmiştir.

Tablo III.82: Tek Sıralı Öz İşinları Hücre Yüksekliği Varyans Analizi

| Bölge | | | | | | |
|------------------------|---------------------|-------------|---------|--------------------|--------------------|-------------|
| Varyasyon Kaynağı | Serbestlik Derecesi | Tüm Varyans | Varyans | F _{hesap} | F _{tablo} | Önem Düzeyi |
| Gruplar Arası | 2 | 385.000 | 192.500 | 9.959 | 6.908 | *** |
| Gruplar İçi | 1117 | 21591.396 | 19.330 | | | |
| Toplam | 1119 | 21976.396 | 19.639 | | | |
| Bonitet | | | | | | |
| Varyasyon Kaynağı | Serbestlik Derecesi | Tüm Varyans | Varyans | F _{hesap} | F _{tablo} | Önem Düzeyi |
| Gruplar Arası | 2 | 34.752 | 17.376 | 0.885 | 2.996 | N.S. |
| Gruplar İçi | 1117 | 21941.644 | 19.643 | | | |
| Toplam | 1119 | 21976.396 | 19.639 | | | |
| Yıllık Halka Genişliği | | | | | | |
| Varyasyon Kaynağı | Serbestlik Derecesi | Tüm Varyans | Varyans | F _{hesap} | F _{tablo} | Önem Düzeyi |
| Gruplar Arası | 2 | 88.584 | 44.292 | 2.256 | 2.996 | N.S. |
| Gruplar İçi | 977 | 19183.558 | 19.635 | | | |
| Toplam | 979 | 19272.142 | 19.686 | | | |
| Yönde | | | | | | |
| Varyasyon Kaynağı | Serbestlik Derecesi | Tüm Varyans | Varyans | F _{hesap} | F _{tablo} | Önem Düzeyi |
| Gruplar Arası | 1 | 21.986 | 21.986 | 1.119 | 3.841 | N.S. |
| Gruplar İçi | 1118 | 21954.410 | 19.637 | | | |
| Toplam | 1119 | 21976.396 | 19.639 | | | |

Tablo III.82 incelendiğinde; bonitet, yön ve yıllık halka genişliği ayırım kriterlerinin tek sıralı öz işinları hücre yüksekliği üzerinde anlamlı bir farklılık oluşturmadığı, bölge faktörünün ise % 99.9 güven düzeyinde anlamlı bir farklılık meydana getirdiği tespit edilmiştir. Hangi bölgenin farklı olduğunu belirlemek üzere yapılan Duncan testi sonucunda Aktaş Bölgesinin farklı, Altınçay ve Kocaman Bölgelerinin ise benzer olup, aynı toplumu temsil ettikleri belirlenmiştir. Bölgelere ait ortalama değerler incelendiğinde Aktaş Bölgesinin en yüksek ortalamaya (9.653 hücre) sahip olduğu ve bu nedenle diğer iki bölgeden farklı olduğu kabul edilmiştir.

Yön faktörü için, aritmetik ortalamalar özdeş kabul edilmesine rağmen, varyansların farklı olması nedeni ile varyansı daha büyük olan kuzey yönde hücre yüksekliklerinin daha heterojen bir yapı gösterdiği sonucuna ulaşılmıştır.

Çok sıralı öz işinlərinə ait hücre yükseklikleri de incelenerek, istatistik değerlendirme sonuçları Tablo III.83'de verilmiştir.

Tablo III.83: Çok Sıralı Öz İşinlərinin Hücre Yüksekliği İstatistik Değerleri

| İstatistik Özellikler | B ö l g e l e r | | | |
|------------------------------------------------|-----------------|--------|---------|--------|
| | Altınçay | Aktaş | Kocaman | Genel |
| Örnek Sayısı (n) | 404 | 404 | 312 | 1120 |
| Aritmetik Ortalama (\bar{x}) (Hücre Adeti) | 17.478 | 18.728 | 18.035 | 18.084 |
| Ortalamanın Standart Hatası ($S_{\bar{x}}$) | 0.314 | 0.323 | 0.359 | 0.191 |
| Standart Sapma (s) | 6.315 | 6.499 | 6.344 | 6.406 |
| Varyans (s^2) | 39.873 | 42.244 | 40.246 | 41.042 |
| Varyasyon Katsayısı (% V) | 36.131 | 34.702 | 35.176 | 35.424 |
| Minimum ve Maksimum Değer (Hücre Adeti) | 5-47 | 6-48 | 5-45 | 5-48 |

Tablo III.83 incelendiğinde; çok sıralı öz işinlərinin hücre yüksekliği ortalama değerlerinin Altınçay Bölgesinde 17.478 hücre, Aktaş Bölgesinde 18.728 hücre, Kocaman Bölgesinde 18.035 hücre, genel ortalamanın ise 18.084 hücre olduğu görülmektedir. Böylece her üç bölge içinde çok sıralı öz işini hücre yüksekliği ortalama değerlerinin birbirine yakın değerler verdiği anlaşılmaktadır.

Farklı kriterlerin çok sıralı öz işinlərinin hücre yüksekliği üzerinde herhangi bir farklılaşma meydana getirip getirmediyini belirlemek üzere yapılan Bartlett testi ve varyans analizlerine ait sonuçlar Tablo III.84 ve Tablo III.85'de verilmiştir.

Tablo III.84: Çok Sıralı Öz İşinları Hücre Yüksekliği Bartlett Testi

| Ayırı̄m Kriterleri | İstatistik Özellikler | | | | |
|------------------------|-----------------------|------|-------------------------|-------------------------|-------------|
| | n | v | χ^2_{hesap} | χ^2_{tablo} | Önem Düzeyi |
| Bölge | 1120 | 1117 | 0.380 | 5.991 | N.S. |
| Bonitet | 1120 | 1117 | 8.700 | 5.991 | * |
| Yıllık Halka Genişliği | 980 | 977 | 0.867 | 5.991 | N.S. |
| Yön | 1120 | 1118 | 2.525 | 3.841 | N.S. |

Tablo III.84 incelendiğinde; bölge, yıllık halka genişliği ve yön ayırm kriterlerinin çok sıralı öz işinlərinin hücre yüksekliği üzerinde etkili olmadığı, bonitet kriterinin ise % 95 güven düzeyinde etki yaptığı belirlenmiştir.

Tablo III.85: Çok Sıralı Öz İşinleri Hücre Yüksekliği Varyans Analizi

| B ö l g e | | | | | | |
|-----------------------------------------|---------------------|-------------|---------|--------------------|--------------------|-------------|
| Varyasyon Kaynağı | Serbestlik Derecesi | Tüm Varyans | Varyans | F _{hesap} | F _{tablo} | Önem Düzeyi |
| Gruplar Arası | 2 | 316.649 | 158.325 | 3.877 | 2.996 | * |
| Gruplar İçi | 1117 | 45609.461 | 40.832 | | | |
| Toplam | 1119 | 45926.110 | 41.040 | | | |
| B o n i t e t | | | | | | |
| Varyasyon Kaynağı | Serbestlik Derecesi | Tüm Varyans | Varyans | F _{hesap} | F _{tablo} | Önem Düzeyi |
| Gruplar Arası | 2 | 34.616 | 17.308 | 0.421 | 2.996 | N.S. |
| Gruplar İçi | 1117 | 45891.495 | 41.085 | | | |
| Toplam | 1119 | 45926.111 | 41.042 | | | |
| Y i l l i k H a l k a G e n i ş l i ğ i | | | | | | |
| Varyasyon Kaynağı | Serbestlik Derecesi | Tüm Varyans | Varyans | F _{hesap} | F _{tablo} | Önem Düzeyi |
| Gruplar Arası | 2 | 48.140 | 24.070 | 0.580 | 2.996 | N.S. |
| Gruplar İçi | 977 | 40515.406 | 41.469 | | | |
| Toplam | 979 | 40563.546 | 41.434 | | | |
| Y ö n | | | | | | |
| Varyasyon Kaynağı | Serbestlik Derecesi | Tüm Varyans | Varyans | F _{hesap} | F _{tablo} | Önem Düzeyi |
| Gruplar Arası | 1 | 7.125 | 7.125 | 0.174 | 3.841 | N.S. |
| Gruplar İçi | 1118 | 45918.986 | 41.072 | | | |
| Toplam | 1119 | 45926.111 | 41.042 | | | |

Tablo III.85 incelendiğinde; yıllık halka genişliği ve yön faktörü için daha önce yapılan Bartlett testinde varyansların, varyans analizi sonucunda da aritmetik ortalamaların özdeş olması sebebi ile anlamlı bir farklılığın oluşmadığı ve toplumların benzer oldukları kabul edilmiştir. Bölge faktörünün % 95 güven düzeyinde anlamlı bir farklılık oluşturduğu, Duncan testi sonucunda da, Altınçay ve Aktaş Bölgelerinin farklı toplumları temsil ettikleri tespit edilmiştir. Yine aynı testin sonucuna göre, Altınçay-Kocaman ve Aktaş-Kocaman Bölgelerinin benzer oldukları anlaşılmıştır. Bonitet sınıfları için ise varyansların farklı, aritmetik ortalamaların özdeş olması nedeni ile varyansı büyük olan III. bonitet sınıfının daha heterojen bir yapı gösterdiği sonucuna varılmıştır.

Duncan testi sonucuna göre bölgesel farklılığın nedeni incelendiğinde, Altınçay Bölgesinin en düşük (17.478 hücre), Aktaş Bölgesinin en yüksek (18.728 hücre) ortalama değere sahip olduğu, Kocaman Bölgesinin ise bu iki bölge arasında yer aldığı (18.035 hücre) görülmüştür.

Öz işinlerinin yükseklikleri mikrometre olaraka belirlenmiş olup, tek sıralı öz işinlerine ait istatistik değerlendirme sonuçları Tablo III.86'da verilmiştir.

Tablo III.86: Tek Sıralı Öz Işınları Mikrometre Yüksekliği İstatistik Değerleri

| İstatistik Özellikler | B ö l g e l e r | | | |
|--------------------------------------------------------------------------|--------------------|---------------------|---------------------|--------------------|
| | Altıncay | Aktaş | Kocaman | Genel |
| Örnek Sayısı (n) | 101 | 103 | 77 | 281 |
| Aritmetik Ortalama (\bar{x}) (μm) | 156.950 | 187.922 | 168.506 | 171.469 |
| Ortalamanın Standart Hatası ($S_{\bar{x}}$) | 3.872 | 3.479 | 4.238 | 2.347 |
| Standart Sapma (s) | 38.909 | 35.310 | 37.193 | 39.349 |
| Varyans (s^2) | 1513.948 | 1246.798 | 1383.306 | 1548.386 |
| Varyasyon Katsayısı (% V) | 24.791 | 18.789 | 22.072 | 22.948 |
| Minimum ve Maksimum Değer (μm) (Yıllık Halka Ortalaması) | 26.000- 261.000 | 113.000- 287.000 | 104.000- 325.000 | 26.000- 325.000 |
| Minimum ve Maksimum Değer (μm) (Tüm Veriler) | 12.000- 480.000 | 28.000- 524.000 | 28.000- 568.000 | 12.000- 568.000 |

Tablo III.86 incelendiğinde; tek sıralı öz işinlarının mikrometre yüksekliği ortalama değerlerinin, Altıncay Bölgesinde 156.950 μm , Aktaş Bölgesinde 187.922 μm , Kocaman Bölgesinde 168.506 μm , genel ortalamanın ise 171.469 μm olduğu görülmektedir. Böylece, en yüksek ortalama değeri Aktaş Bölgesinin, en düşük ortalama değeri ise Altıncay Bölgesinin verdiği anlaşılmaktadır.

Ayırım kriterlerinin tek sıralı öz işinlarının mikrometre yüksekliği üzerindeki etkilerini belirlemek amacıyla Bartlett testi ve varyans analizleri yapılmış, bu testlere ait sonuçlar Tablo III.87 ve Tablo III.88'de verilmiştir.

Tablo III.87: Tek Sıralı Öz Işınları Mikrometre Yüksekliği Bartlett Testi

| Ayırım Kriterleri | İstatistik Özellikler | | | | |
|------------------------|-----------------------|-----|-------------------------|-------------------------|-------------|
| | n | v | χ^2_{hesap} | χ^2_{tablo} | Önem Düzeyi |
| Bölge | 281 | 278 | 0.947 | 5.991 | N.S. |
| Bonitet | 281 | 278 | 3.653 | 5.991 | N.S. |
| Yıllık Halka Genişliği | 246 | 243 | 0.578 | 5.991 | N.S. |
| Yön | 281 | 279 | 0.552 | 3.841 | N.S. |

Tablo III.87 incelendiğinde; bölge, bonitet, yıllık halka genişliği ve yön ayırım kriterinin tek sıralı öz işinlarının mikrometre yüksekliği üzerinde herhangi bir etkisinin olmadığı tespit edilmiştir.

Tablo III.88: Tek Sıralı Öz İşinlarının Mikrometre Yüksekliği Varyans Analizi

| B ö l g e | | | | | | |
|-----------------------------------------|---------------------|-------------|-----------|--------------------|--------------------|-------------|
| Varyasyon Kaynağı | Serbestlik Derecesi | Tüm Varyans | Varyans | F _{hesap} | F _{tablo} | Önem Düzeyi |
| Gruplar Arası | 2 | 49848.615 | 24924.308 | 18.058 | 6.908 | *** |
| Gruplar İçi | 278 | 383699.378 | 1380.214 | | | |
| Toplam | 280 | 433547.993 | 1548.386 | | | |
| B o n i t e t | | | | | | |
| Varyasyon Kaynağı | Serbestlik Derecesi | Tüm Varyans | Varyans | F _{hesap} | F _{tablo} | Önem Düzeyi |
| Gruplar Arası | 2 | 893.838 | 446.937 | 0.287 | 2.996 | N.S. |
| Gruplar İçi | 278 | 432654.119 | 1556.310 | | | |
| Toplam | 280 | 433547.957 | 1548.386 | | | |
| Y i l l i k H a l k a G e n i s l i ğ i | | | | | | |
| Varyasyon Kaynağı | Serbestlik Derecesi | Tüm Varyans | Varyans | F _{hesap} | F _{tablo} | Önem Düzeyi |
| Gruplar Arası | 2 | 10034.662 | 5017.331 | 3.166 | 2.996 | * |
| Gruplar İçi | 243 | 385148.932 | 1584.975 | | | |
| Toplam | 245 | 395183.594 | 1612.994 | | | |
| Y ö n | | | | | | |
| Varyasyon Kaynağı | Serbestlik Derecesi | Tüm Varyans | Varyans | F _{hesap} | F _{tablo} | Önem Düzeyi |
| Gruplar Arası | 1 | 57.742 | 57.742 | 0.037 | 3.841 | N.S. |
| Gruplar İçi | 279 | 433490.251 | 1553.728 | | | |
| Toplam | 280 | 433547.993 | 1548.386 | | | |

Tablo III.88 incelendiğinde; bölge kriterinin % 99.9 güven düzeyinde, yıllık halka genişliği kriterinin ise % 95 güven düzeyinde tek sıralı öz işinlarının mikrometre yüksekliği üzerinde etkili olduğu ve anlamlı bir farklılık meydana getirdiği tespit edilmiştir. Duncan testi sonucuna göre ise, her üç bölgenin de farklı toplumları temsil ettiğleri, yıllık halka genişliği grupları arasında ise 0-4 mm ve 4-8 mm genişlik gruplarının farklı toplumlar olduğu, (0-4 mm) - (8-12mm) ve (4-8 mm)-(8-12 mm) genişlik gruplarının ise özdeş oldukları kabul edilmiştir.

Duncan testi sonucuna göre bölgesel farklılığın nedeni incelendiğinde, tek sıralı öz işinlarının ortalama yüksekliğinin Altınçay Bölgesinde 156.950 μm , Aktaş Bölgesinde 187.922 μm , Kocaman Bölgesinde ise 168.506 μm olduğu görülmüştür. Yıllık halka genişliği sınıflarına göre tek sıralı öz işinlarının ortalama yüksekliklerinin dağılımı incelendiğinde, 0-4 mm genişlik sınıfında 166.054 μm , 4-8 mm genişlik sınıfında 179.423 μm ve 8-12 mm genişlik sınıfında ise 175.440 μm olduğu belirlenmiştir. Böylece farklı olan toplumların en yüksek ve en düşük ortalama değerlere sahip olan genişlik sınıfları olduğu görülmüştür.

Bonitet ve yön kriterleri ise hem varyanslarının hemde aritmetik ortalamalarının özdeş olması nedeni ile tek sıralı öz işinlarının mikrometre yüksekliği üzerinde anlamlı bir farklılık oluşturmadıkları sonucuna varılmıştır.

Çok sıralı öz işinlarının da mikrometre olarak yükseklikleri ölçülmüş ve istatistik değerlendirme sonuçları Tablo III.89'da verilmiştir.

Tablo III.89: Çok Sıralı Öz İşinları Mikrometre Yüksekliği İstatistik Değerleri

| İstatistik Özellikler | B ö l g e l e r | | | |
|--------------------------------------------------------------------------|--------------------|---------------------|---------------------|--------------------|
| | Altınçay | Aktaş | Kocaman | Genel |
| Örnek Sayısı (n) | 101 | 104 | 77 | 282 |
| Aritmetik Ortalama (\bar{x}) (μm) | 278.941 | 322.087 | 286.532 | 296.926 |
| Ortalamanın Standart Hatası ($S_{\bar{x}}$) | 5.295 | 5.261 | 5.462 | 3.297 |
| Standart Sapma (s) | 53.217 | 53.654 | 47.929 | 55.358 |
| Varyans (s^2) | 2831.996 | 2878.779 | 2297.147 | 3064.496 |
| Varyasyon Katsayısı (% V) | 19.078 | 16.658 | 16.727 | 18.644 |
| Minimum ve Maksimum Değer (μm) (Yıllık Halka Ortalaması) | 62.000- 459.000 | 185.000- 475.000 | 199.000- 405.000 | 62.000- 475.000 |
| Minimum ve Maksimum Değer (μm) (Tüm Veriler) | 44.000- 640.000 | 104.000- 904.000 | 40.000- 768.000 | 40.000- 904.000 |

Tablo III.89 incelendiğinde; çok sıralı öz işinlarının mikrometre yüksekliği ortalama değerlerinin Altınçay Bölgesinde 278.941 μm , Aktaş Bölgesinde 322.087 μm , Kocaman Bölgesinde 286.532 μm , genel ortalamanın ise 296.926 μm olduğu görülmektedir. Böylece, en yüksek ortalama değeri Aktaş Bölgesinin, en düşük ortalama değeri ise Altınçay Bölgesinin verdiği anlaşılmaktadır.

Ayırım kriterlerinin çok sıralı öz işinlarının mikrometre yüksekliği üzerindeki etkilerini belirlemek amacıyla yapılan Bartlett testi ve varyans analizlerine ait sonuçlar Tablo III.90 ve Tablo III.91'de verilmiştir.

Tablo III.90: Çok Sıralı Öz İşinları Mikrometre Yüksekliği Bartlett Testi

| Ayırım Kriterleri | İstatistik Özellikler | | | | |
|------------------------|-----------------------|-----|-------------------------|-------------------------|-------------|
| | n | v | χ^2_{hesap} | χ^2_{tablo} | Önem Düzeyi |
| Bölge | 282 | 279 | 1.268 | 5.991 | N.S. |
| Bonitet | 282 | 279 | 0.527 | 5.991 | N.S. |
| Yıllık Halka Genişliği | 247 | 244 | 0.623 | 5.991 | N.S. |
| Yön | 282 | 280 | 0.156 | 3.841 | N.S. |

Tablo III.90 incelendiğinde; bölge, bonitet, yıllık halka genişliği ve yön ayırım kriterlerinin çok sıralı öz işinlarının mikrometre yüksekliği üzerinde etkisinin olmadığı tespit edilmiştir.

Tablo III.91: Çok Sıralı Öz İşinleri Mikrometre Yüksekliği Varyans Analizi

| B ö l g e | | | | | | |
|-----------------------------------------|---------------------|-------------|-----------|--------------------|--------------------|-------------|
| Varyasyon Kaynağı | Serbestlik Derecesi | Tüm Varyans | Varyans | F _{hesap} | F _{table} | Önem Düzeyi |
| Gruplar Arası | 2 | 106826.403 | 53413.201 | 19.757 | 6.908 | *** |
| Gruplar İçi | 279 | 754297.034 | 2703.574 | | | |
| Toplam | 281 | 861123.437 | 3064.496 | | | |
| B o n i t e t | | | | | | |
| Varyasyon Kaynağı | Serbestlik Derecesi | Tüm Varyans | Varyans | F _{hesap} | F _{table} | Önem Düzeyi |
| Gruplar Arası | 2 | 9744.040 | 4872.020 | 1.597 | 2.996 | N.S. |
| Gruplar İçi | 279 | 851379.396 | 3051.539 | | | |
| Toplam | 281 | 861123.436 | 3064.496 | | | |
| Y i l l i k H a l k a G e n i ş l i ğ i | | | | | | |
| Varyasyon Kaynağı | Serbestlik Derecesi | Tüm Varyans | Varyans | F _{hesap} | F _{table} | Önem Düzeyi |
| Gruplar Arası | 2 | 3414.880 | 1707.440 | 0.557 | 2.996 | N.S. |
| Gruplar İçi | 244 | 747478.423 | 3063.436 | | | |
| Toplam | 246 | 750893.303 | 3052.412 | | | |
| Y ö n | | | | | | |
| Varyasyon Kaynağı | Serbestlik Derecesi | Tüm Varyans | Varyans | F _{hesap} | F _{table} | Önem Düzeyi |
| Gruplar Arası | 1 | 2469.521 | 2469.521 | 0.805 | 3.841 | N.S. |
| Gruplar İçi | 280 | 858653.915 | 3066.621 | | | |
| Toplam | 281 | 861123.436 | 3064.496 | | | |

Tablo III.91 incelendiğinde; bonitet, yıllık halka genişliği ve yön faktörü için aritmetik ortalamaların eşit çıkması nedeni ile çok sıralı öz işinleri mikrometre yükseklikleri arasında anlamlı bir farklılık oluşturmadığı tespit edilmiştir. Bölge faktörünün ise % 99.9 güven düzeyinde anlamlı bir farklılık oluşturduğu belirlenmiştir. Yapılan Duncan testi sonucunda, Aktaş Bölgesinin farklı, Altınçay ve Kocaman Bölgelerinin ise özdeş toplumlar olduğu kabul edilmiştir. Farklı toplumu temsil eden Aktaş Bölgesinde ortalama öz işini yüksekliği 322.087 μm olup diğer bölgelere göre en yüksek ortalama değerdir.

III.2.4.3 Öz İşini Sayısı

Öz işinlarının mm'deki sayıları teget kesitte belirlenmiş olup, istatistik değerlendirme sonuçları Tablo III.92'de verilmiştir.

Tablo III.92: mm'de Öz İşini Sayısı İstatistik Değerleri

| İstatistik Özellikler | B ö l g e l e r | | | |
|-----------------------------------------------|-----------------|--------|---------|--------|
| | Altınçay | Aktaş | Kocaman | Genel |
| Örnek Sayısı (n) | 428 | 420 | 328 | 1176 |
| Aritmetik Ortalama (\bar{x}) (Adet) | 5.512 | 6.240 | 5.716 | 5.829 |
| Ortalamanın Standart Hatası ($S_{\bar{x}}$) | 0.072 | 0.083 | 0.088 | 0.048 |
| Standart Sapma (s) | 1.494 | 1.707 | 1.598 | 1.631 |
| Varyans (s^2) | 2.232 | 2.913 | 2.552 | 2.661 |
| Varyasyon Katsayısı (% V) | 27.104 | 27.356 | 27.957 | 27.981 |
| Minimum ve Maksimum Değer (Adet) | 2-12 | 2-12 | 2-11 | 2-12 |

Tablo III.92 incelediğinde; mm'de öz işini sayısı ortalama değerlerinin Altınçay Bölgesinde 5.512 adet, Aktaş Bölgesinde 6.240 adet, Kocaman Bölgesinde 5.716 adet, genel ortalamanın ise 5.829 adet olduğu görülmektedir. Sonuç olarak, tüm bölgeler için ortalama değerlerin birbirine yakın olduğu belirlenmiştir.

Ortalama 5.829 adet olan mm'de öz işini sayısı ile ceviz odunu seyrek öz işini (4-7 adet/mm) ağaçlar sınıflamasına girmektedir [25].

Her bölge için ayrıca, mm'de öz işini sayılarının dağılımı incelenmiş ve elde edilen sonuçlar Tablo III.93'de verilmiştir.

Tablo III.93: mm'de Öz İşini Sayısı

| Bölgeler | Ö z İ ş i n i S a y i s i | | | | | | | | | | | |
|----------|---------------------------|---|----|-----|-----|-----|-----|-----|----|----|----|----|
| | 1 | 2 | 3 | 4 | 5 | 6 | 7 | 8 | 9 | 10 | 11 | 12 |
| Altınçay | - | 2 | 32 | 74 | 112 | 111 | 57 | 28 | 9 | 1 | 1 | 1 |
| Aktaş | - | 1 | 14 | 46 | 87 | 99 | 84 | 50 | 23 | 9 | 5 | 2 |
| Kocaman | - | 2 | 21 | 49 | 81 | 82 | 55 | 23 | 6 | 7 | 2 | - |
| Genel | - | 5 | 67 | 169 | 280 | 292 | 196 | 101 | 38 | 17 | 8 | 3 |

Tablo III.93'de görüldüğü gibi mm'de öz işini sayısı 2-12 adet arasında değişmektedir. Genel olarak, mm'de en fazla 5-6 öz işinina, en az ise 2-10-11 ve 12 öz işinina rastlanılmıştır.

Öz işini sayısı üzerinde bölge, bonitet, yıllık halka genişliği ve yön ayırım kriterlerinin etkisini belirlemek üzere yapılan Bartlett testi ve varyans analizlerine ait sonuçlar Tablo III.94 ve Tablo III.95'de verilmiştir.

Tablo III.94: mm'de Öz İşini Sayısı Bartlett Testi

| Ayırım Kriterleri | İ s t a t i s t i k Ö z e l l i k l e r | | | | |
|------------------------|-----------------------------------------|------|-------------------------|-------------------------|-------------|
| | n | v | χ^2_{hesap} | χ^2_{tablo} | Önem Düzeyi |
| Bölge | 1176 | 1173 | 7.481 | 5.991 | * |
| Bonitet | 1176 | 1173 | 0.140 | 5.991 | N.S. |
| Yıllık Halka Genişliği | 988 | 985 | 4.463 | 5.991 | N.S. |
| Yön | 1176 | 1174 | 1.721 | 3.841 | N.S. |

Tablo III.94 incelendiğinde; bonitet, yıllık halka genişliği ve yön ayırım kriterinin mm'de öz işini sayısı üzerinde etkili olmadığı, bölge faktörünün ise % 95 güven düzeyinde etkili olduğu belirlenmiştir.

Tablo III.95: mm'de Öz İşini Sayısı Varyans Analizi

| B ö l g e | | | | | | |
|------------------------|---------------------|-------------|---------|--------------------|--------------------|-------------|
| Varyasyon Kaynağı | Serbestlik Derecesi | Tüm Varyans | Varyans | F _{hesap} | F _{tablo} | Önem Düzeyi |
| Gruplar Arası | 2 | 116.747 | 58.374 | 22.765 | 6.908 | *** |
| Gruplar İçi | 1172 | 3005.181 | 2.564 | | | |
| Toplam | 1174 | 3121.929 | 2.659 | | | |
| B o n i t e t | | | | | | |
| Varyasyon Kaynağı | Serbestlik Derecesi | Tüm Varyans | Varyans | F _{hesap} | F _{tablo} | Önem Düzeyi |
| Gruplar Arası | 2 | 9.011 | 4.505 | 1.695 | 2.996 | N.S. |
| Gruplar İçi | 1173 | 3117.635 | 2.658 | | | |
| Toplam | 1175 | 3126.645 | 2.661 | | | |
| Yıllık Halka Genişliği | | | | | | |
| Varyasyon Kaynağı | Serbestlik Derecesi | Tüm Varyans | Varyans | F _{hesap} | F _{tablo} | Önem Düzeyi |
| Gruplar Arası | 2 | 42.291 | 21.145 | 8.160 | 6.908 | *** |
| Gruplar İçi | 984 | 2595.681 | 2.638 | | | |
| Toplam | 986 | 2637.972 | 2.675 | | | |
| Y ö n | | | | | | |
| Varyasyon Kaynağı | Serbestlik Derecesi | Tüm Varyans | Varyans | F _{hesap} | F _{tablo} | Önem Düzeyi |
| Gruplar Arası | 1 | 0.214 | 0.214 | 0.080 | 3.841 | N.S. |
| Gruplar İçi | 1174 | 3126.431 | 2.663 | | | |
| Toplam | 1175 | 3126.645 | 2.661 | | | |

Tablo III.95 incelendiğinde; bonitet ve yön faktörünün mm'de öz işini sayısı üzerinde anlamlı bir farklılığa sebep olmadığı, bölge ve yıllık halka genişliği faktörünün ise % 99.9 güven düzeyinde anlamlı bir farklılık oluşturduğu belirlenmiştir. Duncan testi sonucuna göre, bölge bazında Aktaş Bölgesinin farklı bir toplum olduğu, Altınçay ve Kocaman Bölgelerinin ise özdeş toplumlar oldukları tespit edilmiştir. Farklı toplum olarak kabul edilen Aktaş Bölgesinde mm'de öz işini sayısının ortalama 6.240 olduğu ve en yüksek ortalama değeri temsil ettiği görülmüştür. Yıllık halka genişliği faktörü için ise tüm genişlik gruplarının birbirinden farklı toplumları temsil ettikleri sonucuna varılmıştır. Ortalama değerlerin yıllık halka genişliği sınıflarına göre dağılımı incelendiğinde, 0-4 mm genişlik sınıfında 5.658 öz işini, 4-8 mm genişlik sınıfında 5.923 öz işini, 8-12 mm genişlik sınıfında ise 6.354 öz işini olduğu belirlenmiş ve yıllık halka genişliği arttıkça mm'de öz işini sayısının arttığı görülmüştür.

III.3 Fiziksel Özellikler

III.3.1 Hava Kuruşu Yoğunluk

Denemeler sonucunda elde edilen verilere ait istatistik değerler, Tablo III.96'da verilmiştir.

Tablo III.96: Hava Kurusu Yoğunluk İstatistik Değerleri

| İstatistik Özellikler | B ö l g e l e r | | | |
|-------------------------------------------------------|-----------------|-------------|-------------|-------------|
| | Altınçay | Aktaş | Kocaman | Genel |
| Örnek Sayısı (n) | 312 | 288 | 290 | 890 |
| Aritmetik Ortalama (\bar{x}) (g/cm ³) | 0.609 | 0.554 | 0.577 | 0.581 |
| Ortalamanın Standart Hatası ($S_{\bar{x}}$) | 0.0020 | 0.0028 | 0.0024 | 0.0016 |
| Standart Sapma (s) | 0.036 | 0.048 | 0.041 | 0.048 |
| Varyans (s^2) | 0.001 | 0.002 | 0.002 | 0.002 |
| Varyasyon Katsayısı (% V) | 5.911 | 8.664 | 7.106 | 8.262 |
| Minimum ve Maksimum Değer (g/cm ³) | 0.517-0.729 | 0.433-0.693 | 0.482-0.675 | 0.433-0.729 |

Tablo III.96 incelendiğinde; hava kurusu yoğunluk ortalama değerinin Altınçay Bölgesinde 0.609 g/cm^3 , Aktaş Bölgesinde 0.554 g/cm^3 , Kocaman Bölgesinde 0.577 g/cm^3 , genel ortalamanın ise 0.581 g/cm^3 olduğu görülmektedir. Böylece en yüksek hava kurusu yoğunluk ortalaması Altınçay Bölgesinde, en düşük ortalama ise Aktaş Bölgesinde tespit edilmiştir.

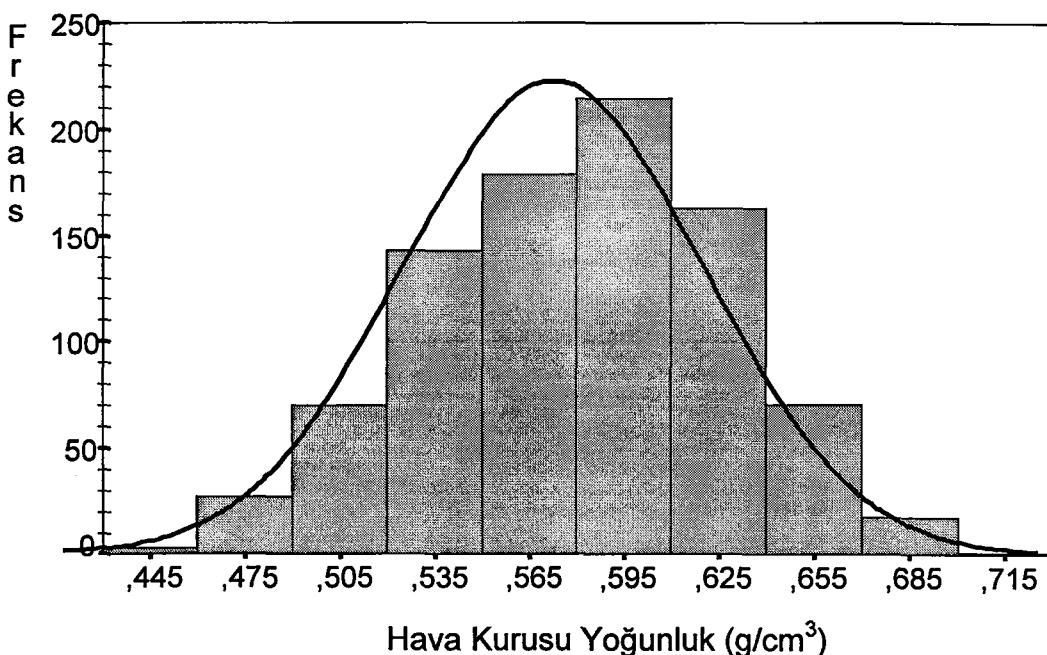
III.3.1.1 Hava Kurusu Yoğunluk Varyasyon Grafiği

Hava kurusu yoğunluğun tüm toplumda nasıl bir dağılım gösterdiğini tespit etmek amacıyla varyasyon grafiği çizilmiş ve Şekil III.30'da gösterilmiştir. Khi Kare Testi'ne göre elde edilen sonuçlar aşağıda verilmiştir.

Tüm Toplum

$v= 7$ serbestlik derecesi için;

$\chi^2_{0.95} = 2.167 < \chi^2 = 13.745 < 14.067 = \chi^2_{0.05}$ olduğu görüldüğünden normal dağılıma uyma olasılığının % 95'ten az, % 5'ten büyük olduğu sonucuna varılmıştır.



Şekil III.30: Hava Kurusu Yoğunluk Genel Varyasyon Grafiği.

III.3.2 Tam Kuru Yoğunluk

Tam kuru yoğunluk ölçümüne ait istatistik değerler Tablo III.97'de verilmiştir.

Tablo III.97: Tam Kuru Yoğunluk İstatistik Değerleri

| İstatistik Özellikler | B ö l e l e r | | | |
|------------------------------------------|---------------|-------------|-------------|-------------|
| | Altınçay | Aktaş | Kocaman | Genel |
| Örnek Sayısı (n) | 312 | 288 | 290 | 890 |
| Aritmetik Ortalama (\bar{x}) (g/cm³) | 0.576 | 0.523 | 0.544 | 0.548 |
| Ortalamanın Standart Hatası (S_x) | 0.0020 | 0.0027 | 0.0024 | 0.0015 |
| Standart Sapma (s) | 0.035 | 0.046 | 0.041 | 0.046 |
| Varyans (s^2) | 0.001 | 0.002 | 0.002 | 0.002 |
| Varyasyon Katsayısı (% V) | 6.076 | 8.795 | 7.537 | 8.394 |
| Minimum ve Maksimum Değer (g/cm³) | 0.486-0.699 | 0.406-0.655 | 0.449-0.642 | 0.406-0.699 |

Tablo III.97 incelediğinde; tam kuru yoğunluk ortalaması değerlerinin Altınçay Bölgesinde 0.576 g/cm^3 , Aktaş Bölgesinde 0.523 g/cm^3 , Kocaman Bölgesinde 0.544 g/cm^3 , genel ortalamanın ise 0.548 g/cm^3 olduğu görülmektedir. Sonuç olarak, en yüksek tam kuru yoğunluk değerinin Altınçay Bölgesinde, en düşük tam kuru yoğunluk değerinin ise Aktaş Bölgesinde bulunduğu tespit edilmiştir.

Tam kuru yoğunluk değeri üzerinde bölge ve bonitet ayırm kriterlerinin etkisini belirlemek üzere yapılan Bartlett testi ve varyans analizlerine ait sonuçlar sırası ile Tablo III.98 ve Tablo III.99'da verilmiştir.

Tablo III.98: Tam Kuru Yoğunluk Bartlett Testi

| Ayırm Kriterleri | İstatistik Özellikler | | | | |
|------------------|-----------------------|-----|-------------------------|-------------------------|-------------|
| | n | v | χ^2_{hesap} | χ^2_{table} | Önem Düzeyi |
| Bölge | 890 | 887 | 23.256 | 13.815 | *** |
| Bonitet | 890 | 887 | 25.176 | 13.815 | *** |

Tablo III.98 incelendiğinde; bölge ve bonitet ayırm kriterlerinin tam kuru yoğunluk üzerinde % 99.9 güven düzeyinde etkili olduğu görülmektedir.

Tablo III.99: Tam Kuru Yoğunluk Varyans Analizi

| Bölge | | | | | | |
|-------------------|---------------------|-------------|---------|--------------------|--------------------|-------------|
| Varyasyon Kaynağı | Serbestlik Derecesi | Tüm Varyans | Varyans | F _{hesap} | F _{table} | Önem Düzeyi |
| Gruplar Arası | 2 | 0.436 | 0.218 | 131.160 | 6.908 | *** |
| Gruplar İçi | 887 | 1.474 | 0.0017 | | | |
| Toplam | 889 | 1.910 | 0.0021 | | | |
| Bonitet | | | | | | |
| Varyasyon Kaynağı | Serbestlik Derecesi | Tüm Varyans | Varyans | F _{hesap} | F _{table} | Önem Düzeyi |
| Gruplar Arası | 2 | 0.202 | 0.101 | 52.369 | 6.908 | *** |
| Gruplar İçi | 887 | 1.708 | 0.0019 | | | |
| Toplam | 889 | 1.910 | 0.0021 | | | |

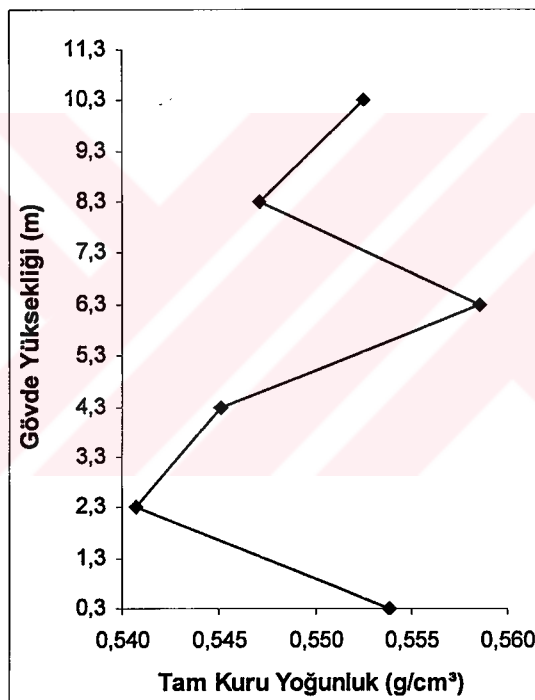
Tablo III.99 incelendiğinde; aritmetik ortalamaların farklı olması nedeni ile bölge ve bonitet faktörünün tam kuru yoğunluk değerleri üzerinde % 99.9 güven düzeyinde anlamlı bir farklılık oluşturduğu belirlenmiştir. Duncan testi sonucuna göre, her üç bölgenin ve bonitet sınıflarının birbirinden farklı toplumlar olduğu belirlenmiştir.

Bölgelere göre ortalama tam kuru yoğunluk değerleri incelendiğinde; Altınçay Bölgesinde en yüksek (0.576 g/cm^3), Aktaş Bölgesinde en düşük olup (0.523 g/cm^3), Kocaman Bölgesinde ise 0.544 g/cm^3 'tür. Bölgeler arasındaki farklılığın yetişme yeri özelliklerinden, ağaç yaşıdan ve öz odun miktarından kaynaklandığı düşünülmektedir. En yaşlı ağaçlar ve yüksek öz odun hacmi Altınçay Bölgesinde bulunmakta, yine bu bölgedeki ağaçlar II. ve III. bonitet sınıfında yer almaktadırlar. Aktaş Bölgesinde ise ağaç yaşı en genç olup, öz odun hacmi en az bulunmakta ve bu bölgedeki ağaçların coğunuğu II. ve III. bonitet sınıfında yer almaktadır.

Ortalama tam kuru yoğunluk değerlerinin bonitet sınıflarına göre değişimi incelendiğinde; I. bonitet sınıfında 0.532 g/cm^3 , II. bonitet sınıfında 0.541 g/cm^3 , III. bonitet sınıfında ise 0.566 g/cm^3 olduğu, böylece yetişme koşulları iyileşikçe yoğunluğun düşüğü görülmüştür.

III.3.2.1 Tam Kuru Yoğunluğun Gövde Yüksekliğinde Değişimi

Tam kuru yoğunluğun gövde yüksekliğindeki değişimi Şekil III.31'de grafik olarak gösterilmiştir.



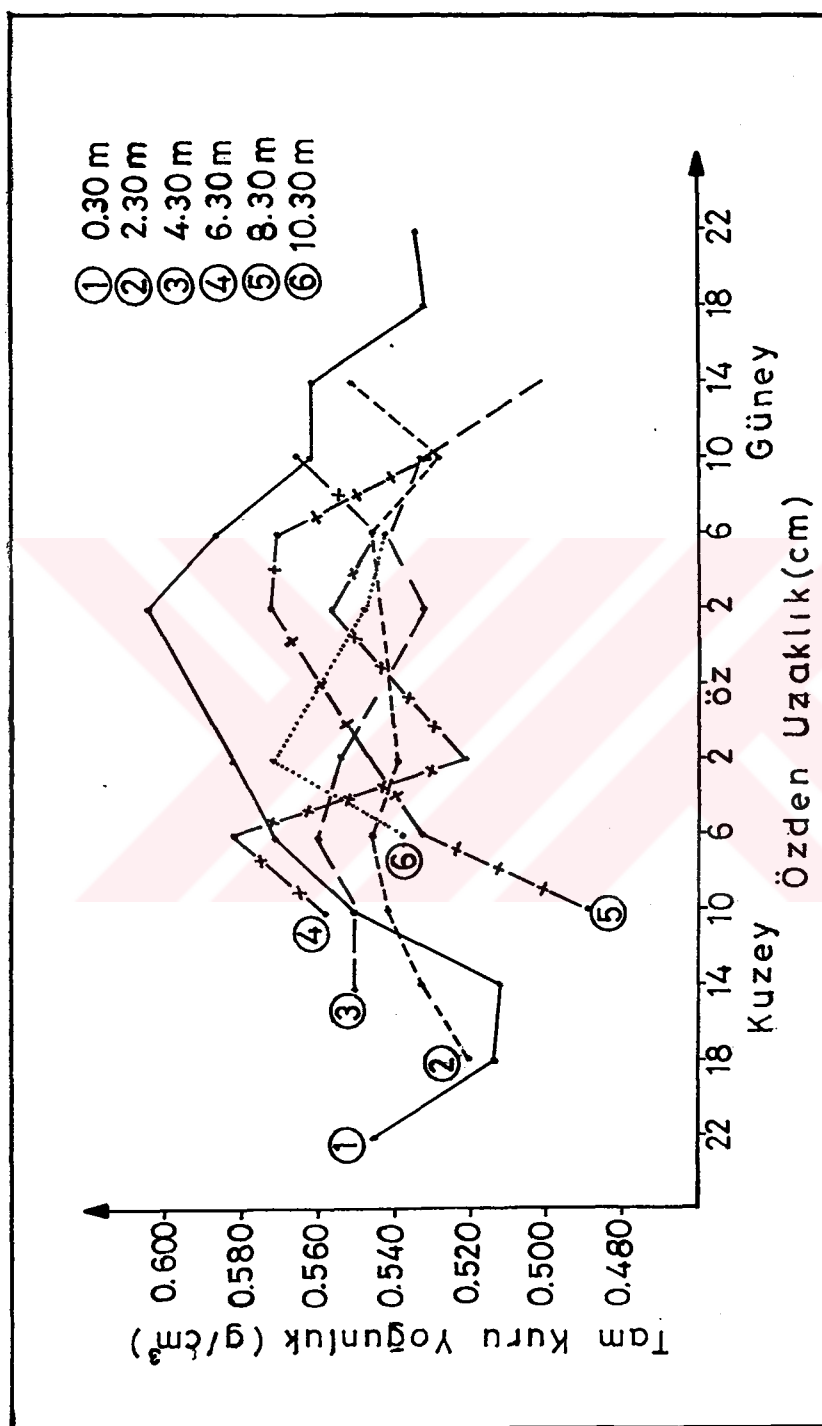
Şekil III.31: Tam Kuru Yoğunluğun Gövde Yüksekliğinde Değişimi.

Şekil III.31 incelendiğinde; ağaçın 0.30 m yüksekliğinden 2.30 m'ye kadar tam kuru yoğunluk değerde bir azalma meydana geldiği ve 2.30 m yükseklikte minimum değere ($0.541 \text{ g}/\text{cm}^3$) sahip olduğu görülmektedir. Bu noktadan sonra tam kuru yoğunluk değeri artış göstermektedir, 6.30 m'de maksimuma ($0.559 \text{ g}/\text{cm}^3$) ulaşmaktadır. Bu yükseklikten itibaren 8.30 m'ye kadar azalış gösteren tam kuru yoğunluk değeri, 10.30 m yükseklikte hemen ağaçın dip kısmındaki yoğunluk değerine eşit olmaktadır.

III.3.2.2 Tam Kuru Yoğunluğun Özden Çevreye Doğru Değişimi

Tam kuru yoğunluğun çeşitli gövde yüksekliklerinde özden çevreye doğru değişimi Şekil III.32'de grafik olarak gösterilmiştir.



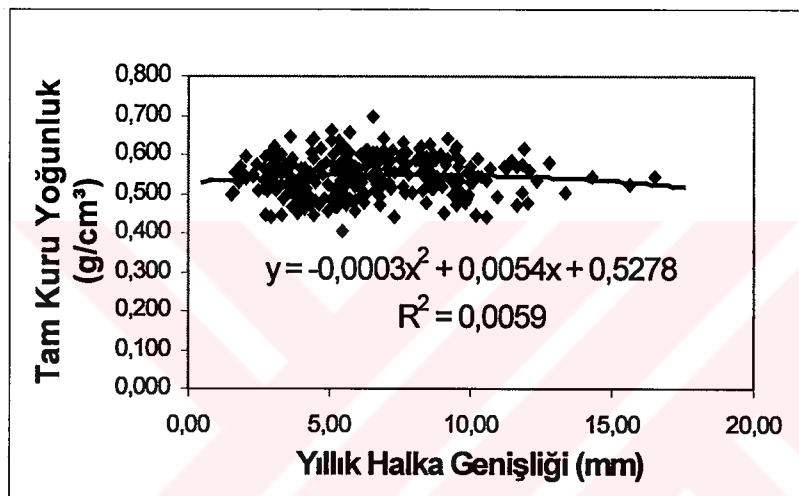


Şekil III.32: Tam Kuru Yoğunluğun Çeşitli Gövde Yüksekliklerinde Özden Çevreye Doğru Değişimi.

Şekil III.32 incelendiğinde; tam kuru yoğunluğun çeşitli gövde yüksekliklerinde özden çevreye doğru çoğulukla azalma gösterdiği anlaşılmaktadır.

III.3.2.3 Tam Kuru Yoğunluk İle Yıllık Halka Genişliği Arasındaki İlişki

Tam kuru yoğunluk ile yıllık halka genişliği arasındaki ilişki Şekil III.33'de grafik olarak verilmiştir.



Şekil III.33: Tam Kuru Yoğunluk-Yıllık Halka Genişliği İlişkisi.

Şekil III.33 incelendiğinde; tam kuru yoğunluk ile yıllık halka genişliği arasında zayıf bir ilişki olduğu, yıllık halka genişliğinde meydana gelen artışa bağlı olarak, tam kuru yoğunluk değerinde önemli düzeyde artan ya da azalan değişme olmadığı anlaşılmaktadır.

III.3.2.4 Tam Kuru Yoğunluk Varyasyon Grafiği

Tam kuru yoğunluğun araştırma bölgelerinde ve tüm toplumda nasıl bir dağılım gösterdiğini tespit etmek amacıyla varyasyon grafikleri çizilmiş ve sırasıyla Şekil III.34, Şekil III.35, Şekil III.36 ve Şekil III.37'de gösterilmiştir. Khi Kare Testi yoluyla elde edilen sonuçlar aşağıda verilmiştir.

Altınçay Bölgesi

$v= 5$ serbestlik derecesi için;

$\chi^2_{0.95} = 1.145 < \chi^2 = 5.19 < 11.070 = \chi^2_{0.05}$ olduğu görüldüğünden normal dağılıma uyma olasılığının % 95'ten az, % 5'ten büyük olduğu tespit edilmiştir.

Aktaş Bölgesi

$v= 6$ serbestlik derecesi için;

$\chi^2_{0.95} = 1.635 < \chi^2 = 10.399 < 12.592 = \chi^2_{0.05}$ olduğu görüldüğünden normal dağılıma uyma olasılığının % 95'den az, % 5'ten büyük olduğu sonucuna ulaşılmıştır.

Kocaman Bölgesi

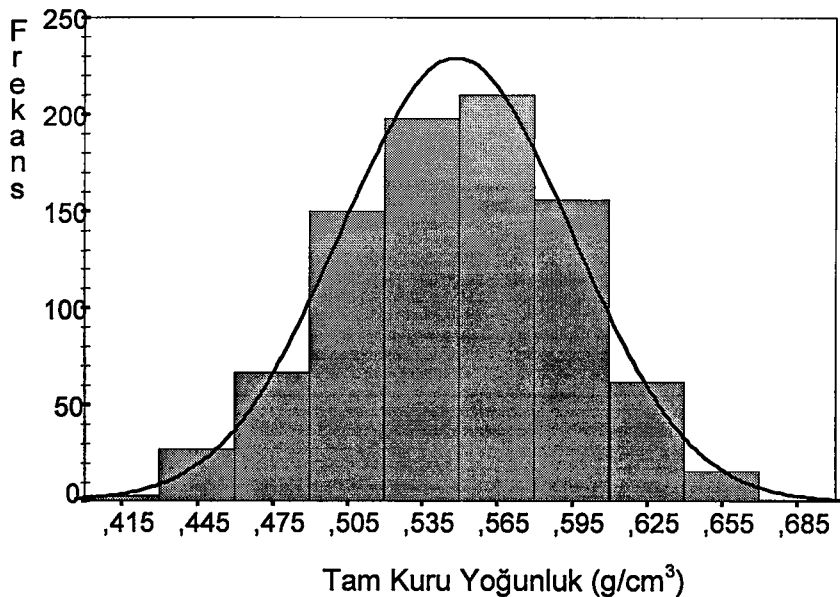
$v= 5$ serbestlik derecesi için;

$\chi^2_{0.95} = 1.145 < \chi^2 = 7.019 < 11.070 = \chi^2_{0.05}$ olduğu görüldüğünden normal dağılıma uyma olasılığının % 95'den az, % 5'ten büyük olduğu sonucuna ulaşılmıştır.

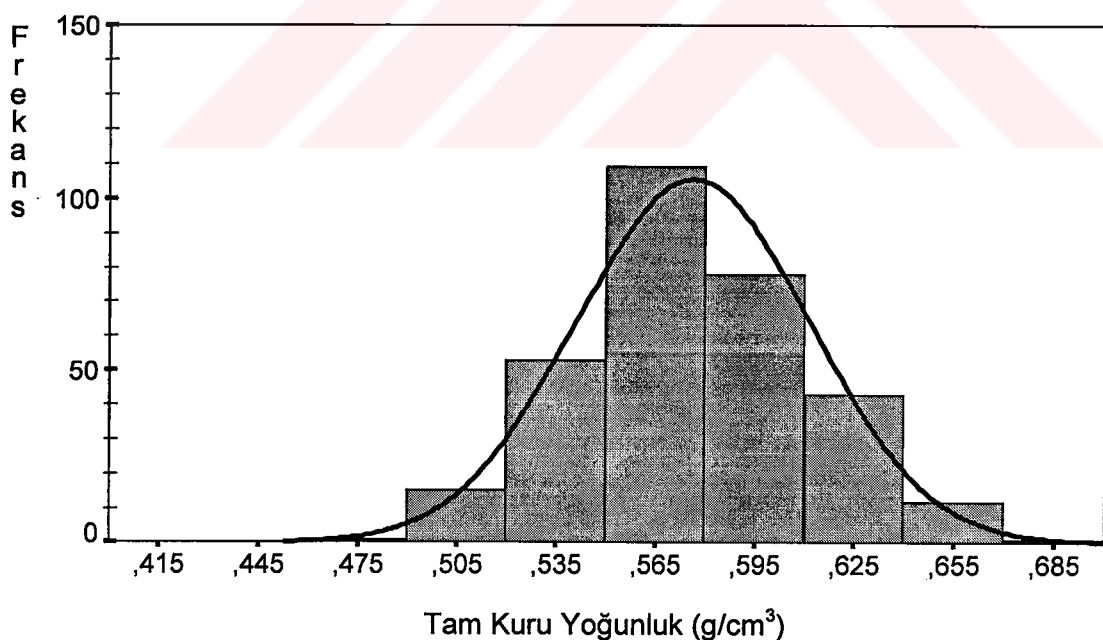
Tüm Toplum

$v= 7$ serbestlik derecesi için;

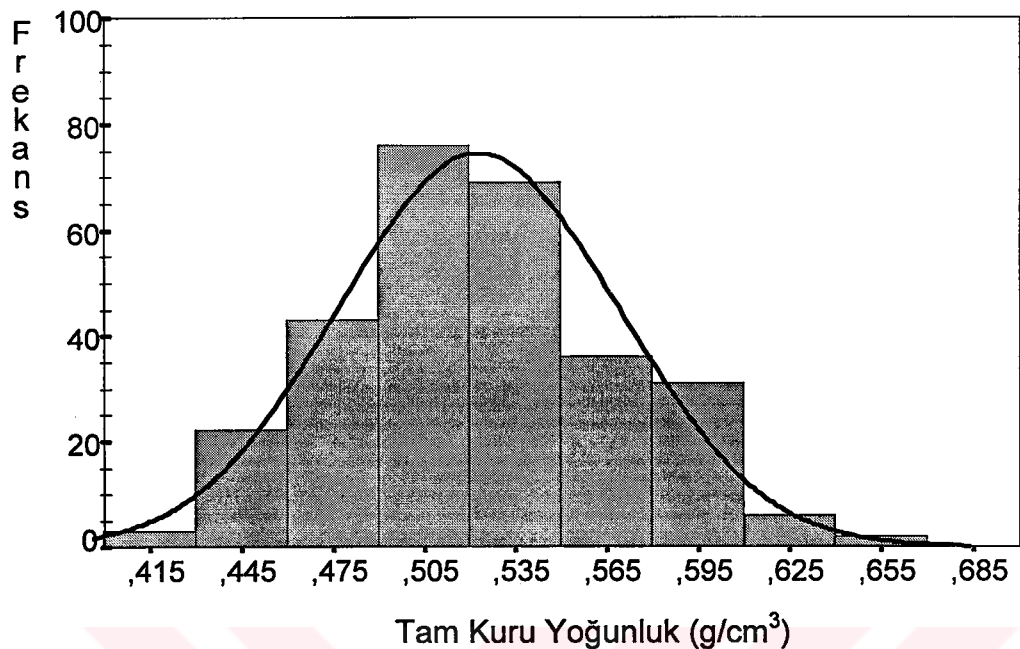
$\chi^2_{0.95} = 2.167 < \chi^2 = 11.70 < 14.067 = \chi^2_{0.05}$ olduğu görüldüğünden normal dağılıma uyma olasılığının % 95'den az, % 5'ten büyük olduğu sonucuna varılmıştır.



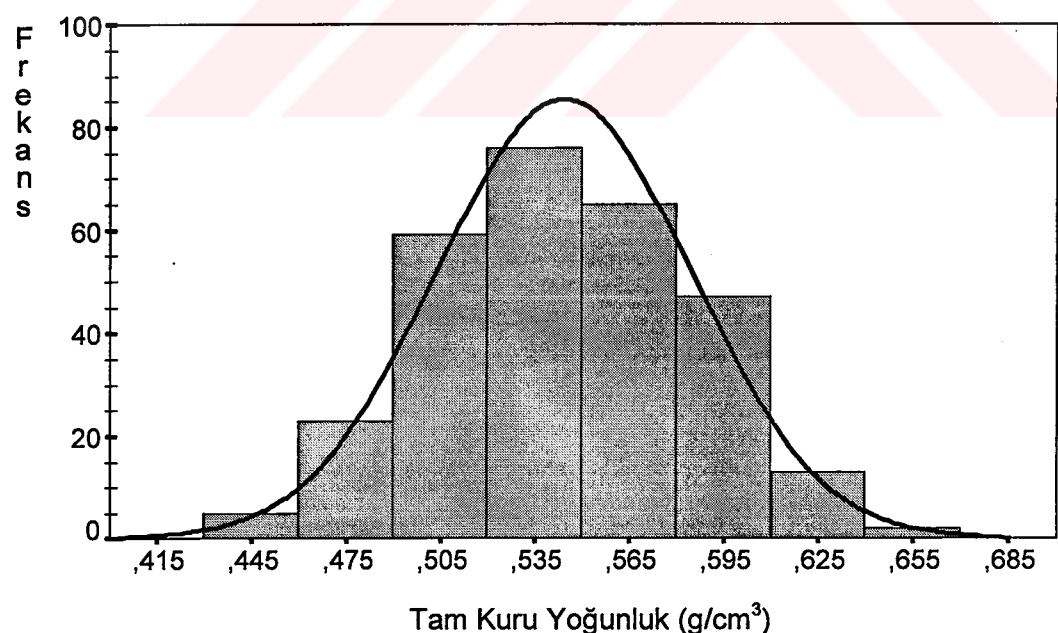
Şekil III.34: Tam Kuru Yoğunluk Genel Varyasyon Grafiği.



Şekil III.35: Altınçay Bölgesi Tam Kuru Yoğunluk Varyasyon Grafiği.



Şekil III.36: Aktaş Bölgesi Tam Kuru Yoğunluk Varyasyon Grafiği .



Şekil III.37: Kocaman Bölgesi Tam Kuru Yoğunluk Varyasyon Grafiği.

III.3.2.5 Hücre Çeperi ve Hava Boşluğu Hacmi

Hücre çeperi ve hava boşluğu hacmi oranlarına ait sonuçlar Tablo III.100'de verilmiştir.

Tablo III.100: Hücre Çeperi ve Hava Boşluğu Hacmi

| İstatistik Özellikler | B ö l g e l e r | | | | | | | |
|-----------------------|-----------------------------|------------------------------|----------------|----------------|----------------|----------------|----------------|----------------|
| | Altınçay | | Aktaş | | Kocaman | | Genel | |
| | V _C [*] | V _H ^{**} | V _C | V _H | V _C | V _H | V _C | V _H |
| Minimum (%) | 32.417 | 53.433 | 27.077 | 56.351 | 29.946 | 57.232 | 27.077 | 53.433 |
| Ortalama (%) | 38.417 | 61.583 | 34.850 | 65.150 | 36.280 | 63.720 | 36.567 | 63.433 |
| Maksimum (%) | 46.567 | 67.584 | 43.649 | 72.923 | 42.768 | 70.054 | 46.567 | 63.433 |

* Hücre çeperi hacmi

** Hava boşluğu hacmi

Tablo III.100 incelendiğinde; hücre çeperi hacmi oranı ortalama değerlerinin Altınçay Bölgesinde % 38.417, Aktaş Bölgesinde % 34.850, Kocaman Bölgesinde % 36.280, genel ortalamanın ise % 36.567 olduğu görülmektedir. Yine aynı tablo üzerinde, hava boşluğu hacmi oranı ortalama değerleri Altınçay Bölgesinde % 61.583, Aktaş Bölgesinde % 65.150, Kocaman Bölgesinde % 63.720, genel ortalama ise % 63.433 olarak tespit edilmiştir. Genel olarak, hücre çeper hacmi arttıkça hava boşluğu hacmi azalmaktadır.

III.3.3 Hacim Ağırlık Değeri

Hacim ağırlık değerlerine ait istatistik değerlendirme sonuçları Tablo III.101'de verilmiştir.

Tablo III.101: Hacim Ağırlık Değeri İstatistik Değerleri

| İstatistik Özellikler | B ö l g e l e r | | | |
|-------------------------------------------------------|-----------------|-------------|-------------|-------------|
| | Altınçay | Aktaş | Kocaman | Genel |
| Örnek Sayısı (n) | 313 | 291 | 297 | 901 |
| Aritmetik Ortalama (\bar{x}) (g/cm ³) | 0.490 | 0.448 | 0.471 | 0.470 |
| Ortalamanın Standart Hatası ($S_{\bar{x}}$) | 0.0017 | 0.0023 | 0.0019 | 0.0013 |
| Standart Sapma (s) | 0.030 | 0.039 | 0.033 | 0.038 |
| Varyans (s^2) | 0.0009 | 0.0015 | 0.001 | 0.0015 |
| Varyasyon Katsayısı (% V) | 6.122 | 8.705 | 7.006 | 8.085 |
| Minimum ve Maksimum Değer (g/cm ³) | 0.412-0.581 | 0.335-0.568 | 0.396-0.596 | 0.335-0.596 |

Tablo III.101 incelendiğinde; hacim ağırlık ortalama değerlerinin Altınçay Bölgesinde 0.490 g/cm^3 , Aktaş Bölgesinde 0.448 g/cm^3 , Kocaman Bölgesinde 0.471 g/cm^3 , genel ortalamanın ise 0.470 g/cm^3 olduğu görülmektedir. Sonuç olarak, en yüksek hacim ağırlık ortalama değerinin Altınçay Bölgesinde, en düşük ortalama değerin ise Aktaş Bölgesinde olduğu görülmektedir.

Hacim ağırlık değeri üzerinde bölge ve bonitet ayırm kriterlerinin etkisini belirlemek üzere yapılan Bartlett testi ve varyans analizlerine ait sonuçlar sırası ile Tablo III.102 ve Tablo III.103'de verilmiştir.

Tablo III.102: Hacim Ağırlık Değeri Bartlett Testi

| Ayırm Kriterleri | İstatistik Özellikler | | | | |
|------------------|-----------------------|-----|-------------------------|-------------------------|-------------|
| | n | v | χ^2_{hesap} | χ^2_{tablo} | Önem Düzeyi |
| Bölge | 901 | 898 | 21.726 | 13.815 | *** |
| Bonitet | 901 | 898 | 14.799 | 13.815 | *** |

Tablo III.102 incelendiğinde; bölge ve bonitet ayırm kriterlerinin hacim ağırlık değeri üzerinde % 99.9 güven düzeyinde etkili olduğu görülmektedir.

Tablo III.103: Hacim Ağırlık Değeri Varyans Analizi

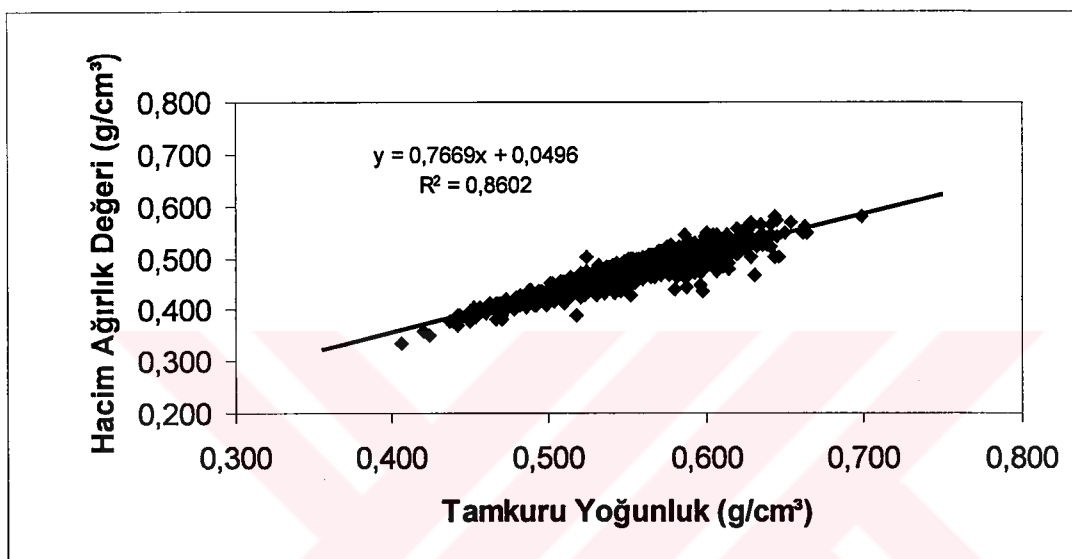
| Bölge | | | | | | |
|-------------------|---------------------|-------------|---------|--------------------|--------------------|-------------|
| Varyasyon Kaynağı | Serbestlik Derecesi | Tüm Varyans | Varyans | F _{hesap} | F _{tablo} | Önem Düzeyi |
| Gruplar Arası | 2 | 0.272 | 0.136 | 113.333 | 6.908 | *** |
| Gruplar İçi | 898 | 1.049 | 0.0012 | | | |
| Toplam | 900 | 1.322 | 0.0015 | | | |
| Bonitet | | | | | | |
| Varyasyon Kaynağı | Serbestlik Derecesi | Tüm Varyans | Varyans | F _{hesap} | F _{tablo} | Önem Düzeyi |
| Gruplar Arası | 2 | 0.126 | 0.063 | 47.424 | 6.908 | *** |
| Gruplar İçi | 898 | 1.195 | 0.0013 | | | |
| Toplam | 900 | 1.322 | 0.0015 | | | |

Tablo III.103 incelendiğinde; aritmetik ortalamaların farklı olması nedeni ile bölge ve bonitet faktörünün hacim ağırlık değerleri üzerinde % 99.9 güven düzeyinde anlamlı bir farklılık oluşturduğu belirlenmiştir. Duncan testi sonucuna göre tüm bölgelerin farklı olduğu tespit edilmiştir. Bonitet sınıflarından III. bonitet sınıfının farklı, I. ve II. bonitet sınıflarının ise benzer oldukları görülmüştür.

Bölgeler ve bonitet sınıfları arasındaki farklılığın, tam kuru yoğunluk değerinde belirtilen yetişme yeri, ağaç yaşı, öz odun hacmi gibi nedenlerden kaynaklandığı düşünülmektedir.

III.3.3.1 Tam Kuru Yoğunluk İle Hacim Ağırlık Değeri Arasındaki İlişki

Tam kuru yoğunluk ile hacim ağırlık değeri arasındaki ilişki Şekil III.38'de grafik olarak gösterilmiştir.



Şekil III.38: Tam Kuru Yoğunluk İle Hacim Ağırlık Değeri Arasındaki İlişki.

Şekil III.38'de tam kuru yoğunluk ile hacim ağırlık değeri arasında doğrusal bir ilişki ($R^2 = 0,860$) olduğu görülmektedir. Tam kuru yoğunluk değeri arttıkça, hacim ağırlık değeri de artmaktadır.

III.3.3.2 Hacim Ağırlık Değeri Varyasyon Grafiği

Hacim ağırlık değerinin araştırma bölgelerinde ve tüm toplumda nasıl bir dağılım gösterdiğini tespit etmek amacıyla varyasyon grafikleri çizilmiş ve sırası ile Şekil III.39, Şekil III.40, Şekil III.41 ve Şekil III.42'de gösterilmiştir. Khi Kare Testi yoluyla elde edilen sonuçlar aşağıda verilmiştir.

Altınçay Bölgesi

v= 6 serbestlik derecesi için;

$\chi^2 = 210.46 > 22.457 = \chi^2_{0.001}$ olduğu görüldüğünden normal dağılıma uyma olasılığının % 0.1'den daha az olduğu ve bireyler arasındaki farklılaşmanın rastgele nedenlerden kaynaklanmadığı sonucuna varılmıştır.

Aktaş Bölgesi

v= 7 serbestlik derecesi için;

$\chi^2_{0.05} = 14.067 < \chi^2 = 14.454 < 18.475 = \chi^2_{0.01}$ olduğu görüldüğünden normal dağılıma uyma olasılığının % 5'ten az, % 1'den fazla olduğu sonucuna varılmıştır.

Kocaman Bölgesi

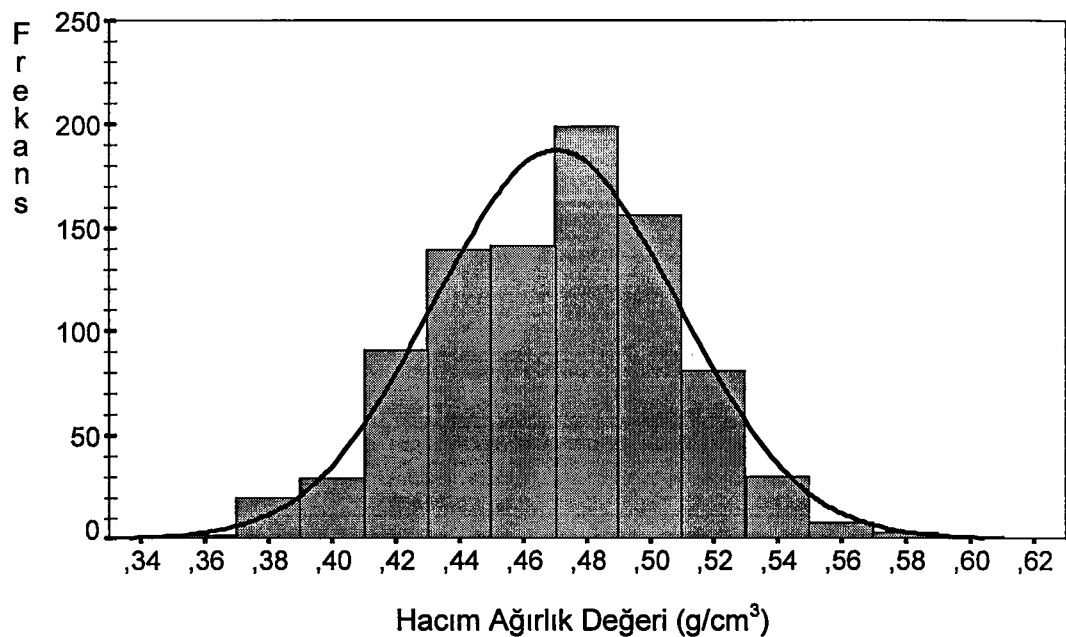
v= 6 serbestlik derecesi için;

$\chi^2 = 112.35 > 22.457 = \chi^2_{0.001}$ olduğu görüldüğünden normal dağılıma uyma olasılığının % 0.1'den daha az olduğu ve bireyler arasındaki farklılaşmanın rastgele nedenlerden kaynaklanmadığı sonucuna varılmıştır.

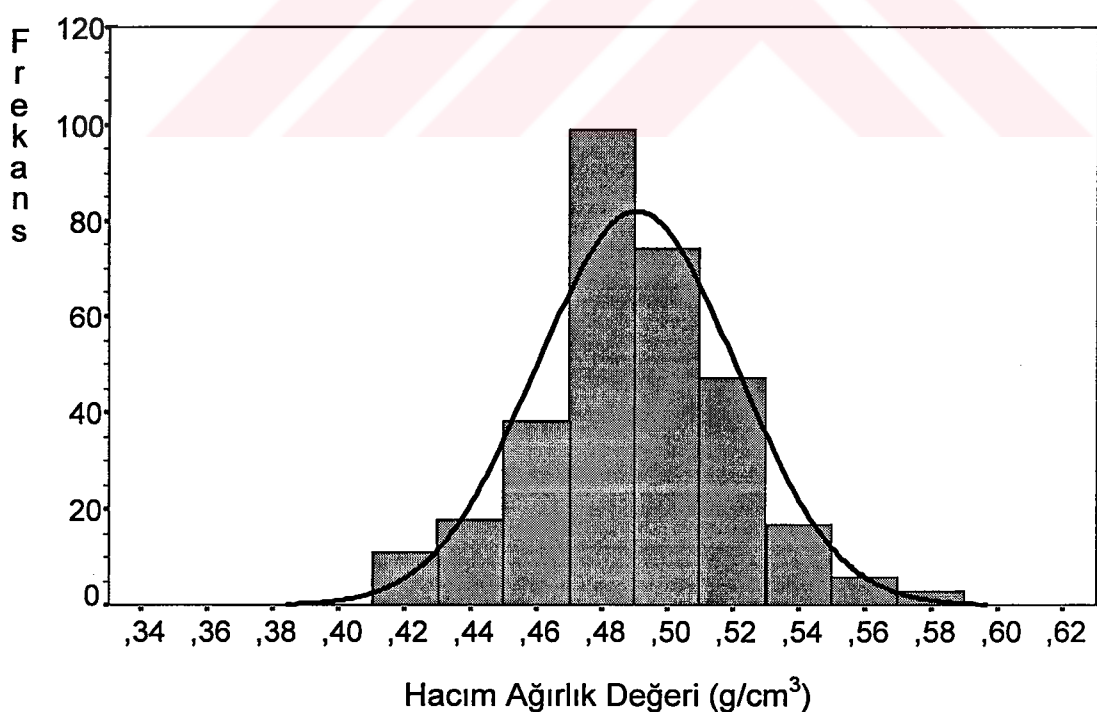
Tüm Toplum

v= 9 serbestlik derecesi için;

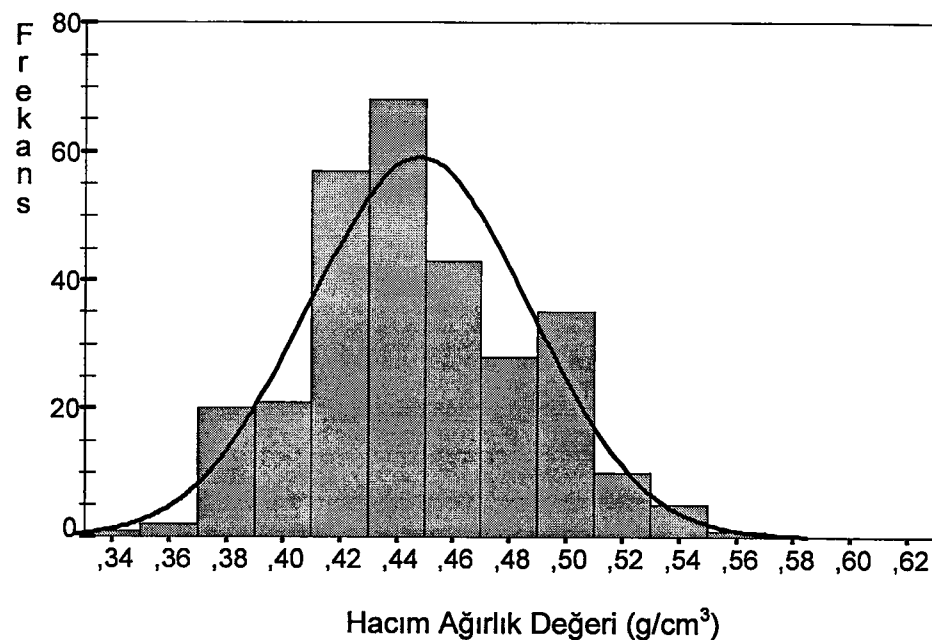
$\chi^2_{0.01} = 21.666 < \chi^2 = 23.10 < 27.877 = \chi^2_{0.001}$ olduğu görüldüğünden normal dağılıma uyma olasılığının % 1'den daha az ve % 0.1'den daha fazla olduğu sonucuna varılmıştır.



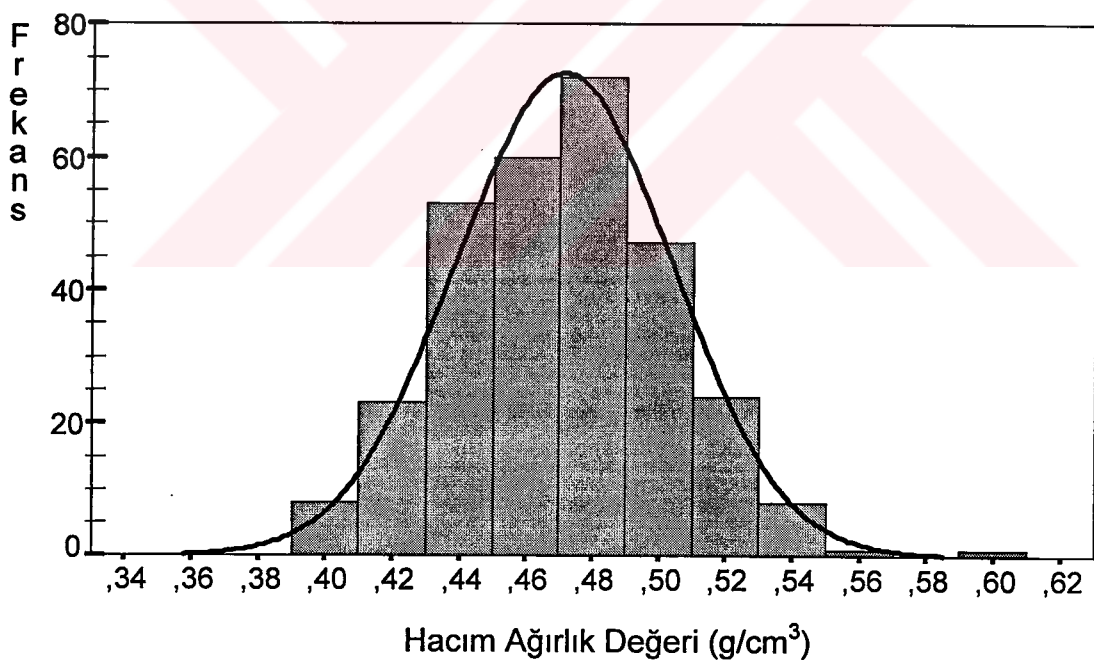
Şekil III.39: Hacim Ağırlık Değeri Genel Varyasyon Grafiği.



Şekil III.40: Altınçay Bölgesi Hacim Ağırlık Değeri Varyasyon Grafiği.



Şekil III.41: Aktaş Bölgesi Hacim Ağırlık Değeri Varyasyon Grafiği .



Şekil III.42: Kocaman Bölgesi Hacim Ağırlık Değeri Varyasyon Grafiği .

III.3.4 Sorpsiyon Denemeleri

Daralma ve genişleme denemelerine ait istatistik değerlendirme sonuçları sırası ile Tablo III.104 ve Tablo III.105'de verilmiştir.

Tablo III.104: Daralma Miktarı İstatistik Değerleri

| İstatistik Özellikler | Altıncay | | | | | | Aktas | | | | | | Bölgeler | | | | | | Genel | | |
|---------------------------------------|--------------------------|-------------------------|--------------------------|--------------------------|-------------------------|--------------------------|--------------------------|-------------------------|--------------------------|--------------------------|-------------------------|--------------------------|--------------------------|-------------------------|--------------------------|--------------------------|-------------------------|--------------------------|-------|--|--|
| | Radyal Daralma β_r | Teget Daralma β_t | Hacmen Daralma β_v | Radyal Daralma β_r | Teget Daralma β_t | Hacmen Daralma β_v | Radyal Daralma β_r | Teget Daralma β_t | Hacmen Daralma β_v | Radyal Daralma β_r | Teget Daralma β_t | Hacmen Daralma β_v | Radyal Daralma β_r | Teget Daralma β_t | Hacmen Daralma β_v | Radyal Daralma β_r | Teget Daralma β_t | Hacmen Daralma β_v | | | |
| Örnek Sayısı (n) | 84 | 84 | 84 | 87 | 87 | 87 | 91 | 91 | 91 | 262 | 262 | 262 | 262 | 262 | 262 | 262 | 262 | 262 | | | |
| Aritmetik Ortalama (\bar{x}) (%) | 3.707 | 6.351 | 10.058 | 3.748 | 6.695 | 10.443 | 3.900 | 6.777 | 10.677 | 3.788 | 6.613 | 10.401 | | | | | | | | | |
| Ortalamanın Standart Hatası (S_x) | 0.081 | 0.113 | 0.171 | 0.116 | 0.127 | 0.224 | 0.091 | 0.092 | 0.158 | 0.056 | 0.065 | 0.157 | | | | | | | | | |
| Standart Sapma (s) | 0.742 | 1.041 | 1.567 | 1.083 | 1.181 | 2.090 | 0.868 | 0.876 | 1.503 | 0.910 | 1.050 | 2.549 | | | | | | | | | |
| Varyans (s^2) | 0.551 | 1.083 | 2.454 | 1.172 | 1.396 | 4.369 | 0.753 | 0.767 | 2.259 | 0.828 | 1.103 | 6.497 | | | | | | | | | |
| Varyasyon Katsayısı (%) V | 20.016 | 16.391 | 15.580 | 28.895 | 17.640 | 20.013 | 22.256 | 12.926 | 14.077 | 24.020 | 15.878 | 24.507 | | | | | | | | | |
| Minimum ve Maksimum Değer (%) | 1.905-5.336 | 4.248-8.544 | 6.852-12.958 | 0.691-6.275 | 2.857-9.744 | 3.960-14.783 | 0.468-5.515 | 4.712-8.948 | 5.414-14.112 | 0.468-6.275 | 2.857-9.744 | 3.960-14.783 | | | | | | | | | |

Tablo III.104 incelendiğinde; radyal daralma miktarı ortalama değerlerinin Altınçay Bölgesinde % 3.707, Aktaş Bölgesinde % 3.748, Kocaman Bölgesinde % 3.900, genel ortalamanın ise % 3.788 olduğu görülmektedir. Yine aynı tablo üzerinde, teğet daralma miktarı ortalama değerlerinin Altınçay Bölgesinde % 6.351, Aktaş Bölgesinde % 6.695, Kocaman Bölgesinde % 6.777, genel ortalamanın ise % 6.613 olduğu belirlenmiştir. Yapılan değerlendirmeler neticesinde, hacmen daralma miktarı ortalama değerinin Altınçay Bölgesinde % 10.058, Aktaş Bölgesinde % 10.443, Kocaman Bölgesinde % 10.667, genel ortalamanın ise % 10.401 olduğu görülmüştür.

Sonuç olarak; radyal daralma, teğet daralma ve hacmen daralma miktarlarının tüm bölgelerde birbirine yakın değerler verdiği, teğet daralma miktarının radyal daralma miktarının 1.75 katı (β_t/β_r) olduğu tespit edilmiştir. Literatürde bu oran, yoğunluğu 0.51-0.70 g/cm³ arasında olan ağaç türleri için 1.41...2.26 olarak verilmiştir [54]. Ayrıca ceviz ağacının radyal daralma miktarı az (% 3.0-% 4.0), teğet daralma miktarı orta (% 6.5-% 8.0), hacmen daralma miktarı ise yine orta (% 10-% 13.9) olan ağaç türleri sınıfına girdiği belirlenmiştir [57].

Tablo III.105: Genişleme Miktarı İstatistik Değerleri

| İstatistik Özellikler | Altınçay | | | | | | Aktaş | | | | | | Kocaman | | | | | | Genel | | |
|----------------------------------------|-----------------------------|----------------------------|-----------------------------|-----------------------------|----------------------------|-----------------------------|-----------------------------|----------------------------|-----------------------------|-----------------------------|----------------------------|-----------------------------|-----------------------------|----------------------------|-----------------------------|-----------------------------|----------------------------|-----------------------------|-------|--|--|
| | Radyal Genişleme α_r | Teğet Genişleme α_t | Hacmen Genişleme α_v | Radyal Genişleme α_r | Teğet Genişleme α_t | Hacmen Genişleme α_v | Radyal Genişleme α_r | Teğet Genişleme α_t | Hacmen Genişleme α_v | Radyal Genişleme α_r | Teğet Genişleme α_t | Hacmen Genişleme α_v | Radyal Genişleme α_r | Teğet Genişleme α_t | Hacmen Genişleme α_v | Radyal Genişleme α_r | Teğet Genişleme α_t | Hacmen Genişleme α_v | | | |
| Örnek Sayısı (n) | 89 | 89 | 89 | 86 | 86 | 86 | 85 | 85 | 85 | 260 | 260 | 260 | 260 | 260 | 260 | 260 | 260 | 260 | | | |
| Aritmetik Ortalaması (\bar{x}) (%) | 4.900 | 9.511 | 14.411 | 4.887 | 9.223 | 14.110 | 4.676 | 9.007 | 13.683 | 4.822 | 9.251 | 14.074 | | | | | | | | | |
| Ortalamanın Standart Hatası (S_x) | 0.103 | 0.236 | 0.314 | 0.069 | 0.167 | 0.203 | 0.070 | 0.143 | 0.176 | 0.048 | 0.109 | 0.140 | | | | | | | | | |
| Standart Sapma (s) | 0.971 | 2.226 | 2.960 | 0.644 | 1.546 | 1.881 | 0.643 | 1.322 | 1.621 | 0.775 | 1.754 | 2.254 | | | | | | | | | |
| Varyans (s^2) | 0.943 | 4.953 | 8.762 | 0.415 | 2.389 | 3.537 | 0.414 | 1.749 | 2.629 | 0.601 | 3.077 | 5.080 | | | | | | | | | |
| Varyasyon Katsayısı (% V) | 19.816 | 23.404 | 20.540 | 13.178 | 16.762 | 13.331 | 13.751 | 14.677 | 11.847 | 16.072 | 18.960 | 16.015 | | | | | | | | | |
| Minimum ve Maksimum Değer (%) | 2.592-6.571 | 5.112-14.071 | 9.266-19.742 | 2.859-6.527 | 6.134-12.394 | 10.690-18.289 | 3.242-6.398 | 5.777-12.602 | 10.448-18.053 | 2.592-6.571 | 5.112-14.071 | 9.266-19.742 | | | | | | | | | |

Tablo III.105 incelendiğinde; radyal genişleme miktarı ortalama değerlerinin Altınçay Bölgesinde % 4.900, Aktaş Bölgesinde % 4.887, Kocaman Bölgesinde % 4.676, genel ortalamanın ise % 4.822 olduğu görülmektedir. Yine aynı tablo üzerinde, teğet genişleme miktarı ortalama değerlerinin Altınçay Bölgesinde % 9.511, Aktaş Bölgesinde % 9.223, Kocaman Bölgesinde % 9.007, genel ortalamanın ise % 9.251 olduğu belirlenmiştir. Yapılan değerlendirmeler neticesinde, hacmen genişleme miktarı ortalama değerinin Altınçay Bölgesinde % 14.411, Aktaş Bölgesinde % 14.110, Kocaman Bölgesinde % 13.683, genel ortalamanın ise % 14.074 olduğu görülmüştür.

Sonuç olarak; radyal genişleme, teğet genişleme ve hacmen genişleme miktarlarının tüm bölgelerde birbirine yakın değerler verdiği tespit edilmiştir. Ayrıca, teğet genişleme miktarı radyal genişleme miktarının 1.92 katı (α_t/α_r) olarak belirlenmiştir. Literatürde bu oran, yoğunluğu 0.51-0.70 g/cm³ arasında yer alan ağaç türleri için 1.66...1.92 olarak verilmiştir [54].

Daralma ve genişleme miktarı üzerinde bölge ve bonitet ayırım kriterlerinin etkisini belirlemek üzere yapılan Bartlett testi ve varyans analizlerine ait sonuçlar sırası ile Tablo III.106, Tablo III.107, Tablo III.108, Tablo III.109, Tablo III.110, Tablo III.111, Tablo III.112 ve Tablo III.113'de verilmiştir.

Tablo III.106: Daralma Miktarı Bartlett Testi

| Değişkenlik Kaynağı | Ayırım Kriterleri | İstatistik Özellikler | | | | |
|------------------------|-------------------|-----------------------|-----|-------------------------|-------------------------|-------------|
| | | n | v | χ^2_{hesap} | χ^2_{tablo} | Önem Düzeyi |
| Radyal Daralma (%) | Bölge | 262 | 259 | 12.231 | 9.210 | ** |
| | Bonitet | 262 | 259 | 45.529 | 13.815 | *** |
| Teğet Daralma (%) | Bölge | 262 | 259 | 7.778 | 5.991 | * |
| | Bonitet | 262 | 259 | 4.403 | 5.991 | N.S. |
| Hacmen Daralma (%) | Bölge | 262 | 259 | 11.733 | 9.210 | ** |
| | Bonitet | 262 | 259 | 21.981 | 13.815 | *** |

Tablo III.106 incelendiğinde; bölge kriterinin teğet daralma miktarı üzerinde % 95 güven düzeyinde, radyal ve hacmen daralma miktarı üzerinde ise % 99 güven düzeyinde etkili olduğu görülmektedir. Bonitet kriterinin, teğet daralma miktarı üzerinde herhangi bir etkisi yokken, radyal ve hacmen daralma miktarını % 99.9 güven düzeyinde etkilediği belirlenmiştir.

Tablo III.107: Genişleme Miktarı Bartlett Testi

| Değişkenlik Kaynağı | Ayırm Kriterleri | İstatistik Özellikler | | | | |
|-------------------------|------------------|-----------------------|-----|-------------------------|-------------------------|-----|
| | | n | v | χ^2_{hesap} | χ^2_{tablo} | |
| Radyal Genişleme (%) | Bölge | 260 | 257 | 20.687 | 13.815 | *** |
| | Bonitet | 260 | 257 | 9.324 | 9.210 | ** |
| Teğet Genişleme (%) | Bölge | 260 | 257 | 25.373 | 13.815 | *** |
| | Bonitet | 260 | 257 | 13.650 | 9.210 | ** |
| Hacmen Genişleme (%) | Bölge | 260 | 257 | 35.420 | 13.815 | *** |
| | Bonitet | 260 | 257 | 17.805 | 13.815 | *** |

Tablo III.107 incelendiğinde; bölge kriterinin üç genişleme miktarı üzerinde % 99.9 güven düzeyinde, bonitet kriterinin ise radyal ve teğet genişleme miktarı üzerinde % 99 güven düzeyinde, hacmen genişleme miktarı üzerinde ise % 99.9 güven düzeyinde etkili olduğu görülmektedir.

Tablo III.108: Radyal Daralma Varyans Analizi

| Bölge | | | | | | |
|-------------------|---------------------|-------------|---------|--------------------|--------------------|-------------|
| Varyasyon Kaynağı | Serbestlik Derecesi | Tüm Varyans | Varyans | F _{hesap} | F _{tablo} | Önem Düzeyi |
| Gruplar Arası | 2 | 1.836 | 0.918 | 1.109 | 2.996 | N.S. |
| Gruplar İçi | 259 | 214.353 | 0.828 | | | |
| Toplam | 261 | 216.189 | 0.828 | | | |
| Bonitet | | | | | | |
| Varyasyon Kaynağı | Serbestlik Derecesi | Tüm Varyans | Varyans | F _{hesap} | F _{tablo} | Önem Düzeyi |
| Gruplar Arası | 2 | 8.347 | 4.174 | 5.618 | 4.605 | ** |
| Gruplar İçi | 259 | 192.471 | 0.743 | | | |
| Toplam | 261 | 200.818 | 0.769 | | | |

Tablo III.108 incelendiğinde; bölge kriterinin radyal daralma miktarları üzerinde anlamlı bir fark oluşturmadığı, bonitet kriterinin ise % 99 güven düzeyinde anlamlı bir fark meydana getirdiği görülmektedir. Ancak daha önce yapılan Bartlett testinde varyansların farklı çıkması nedeni ile varyansı büyük olan Aktaş Bölgesinin diğer iki bölgeye göre daha heterojen bir yapıya sahip olduğu tespit edilmiştir. Yine yapılan Duncan testi sonucunda II. bonitet sınıfının farklı, I. ve III. bonitet sınıflarının ise benzer toplumlar olduğu belirlenmiştir. Radyal daralma miktarı ortalama değerinin bonitet sınıflarına göre dağılımı incelendiğinde, I. bonitet sınıfında % 4.012, II. bonitet sınıfında % 3.516, III. bonitet sınıfında % 3.808 olduğu belirlenmiştir. Farklı toplumu temsil eden II. bonitet sınıfının en düşük ortalama değere sahip olduğu görülmüştür.

Tablo III.109: Teget Daralma Varyans Analizi

| B ö l g e | | | | | | |
|-------------------|---------------------|-------------|---------|--------------------|--------------------|-------------|
| Varyasyon Kaynağı | Serbestlik Derecesi | Tüm Varyans | Varyans | F _{hesap} | F _{table} | Önem Düzeyi |
| Gruplar Arası | 2 | 8.795 | 4.398 | 4.082 | 2.996 | * |
| Gruplar İçi | 259 | 279.017 | 1.077 | | | |
| Toplam | 261 | 287.812 | 1.103 | | | |
| B o n i t e t | | | | | | |
| Varyasyon Kaynağı | Serbestlik Derecesi | Tüm Varyans | Varyans | F _{hesap} | F _{table} | Önem Düzeyi |
| Gruplar Arası | 2 | 8.516 | 4.258 | 3.948 | 2.996 | * |
| Gruplar İçi | 259 | 279.297 | 1.078 | | | |
| Toplam | 261 | 287.812 | 1.103 | | | |

Tablo III.109'da görüldüğü gibi; aritmetik ortalamaların farklı olması nedeni ile bölge ve bonitet faktörü teget daralma miktarı üzerinde % 95 güven düzeyinde anlamlı bir farklılık oluşturmaktadır. Yapılan Duncan testi sonucunda, Altınçay Bölgesinin farklı, Aktaş ve Kocaman Bölgelerinin benzer toplumlar olduğu, bonitet sınıfları arasında ise I. bonitet sınıfının farklı, II. ve III. bonitet sınıflarının ise benzer toplumlar olduğu belirlenmiştir.

Farklı toplumu temsil eden Altınçay Bölgesinde ortalama teget daralma miktarı en düşük olup % 6.351'dir. Bu bölgede öz odun hacmi en fazla olup, farklılığın büyük ölçüde bu nedenden kaynaklandığı düşünülmektedir. Ayrıca yapılan varyans analizi sonucunda, bonitet kriterinin de farklı etmeni olduğu ve I. bonitet sınıfının % 6.885, II. bonitet sınıfının % 6.444 ve III. bonitet sınıfının % 6.777 ortalama teget daralma miktarına sahip olduğu belirlenmiştir. Sonuç olarak en yüksek ortalama I. bonitet sınıfında elde edilmiştir. Bonitet faktörünün ayrıca bölgesel farklar üzerinde de etkili olduğu düşünülmekte olup, en düşük ortalama değere sahip olan Altınçay Bölgesine ait ağaçlar II. ve III. bonitet sınıfında yer almaktadırlar.

Tablo III.110: Hacmen Daralma Varyans Analizi

| B ö l g e | | | | | | |
|-------------------|---------------------|-------------|---------|--------------------|--------------------|-------------|
| Varyasyon Kaynağı | Serbestlik Derecesi | Tüm Varyans | Varyans | F _{hesap} | F _{table} | Önem Düzeyi |
| Gruplar Arası | 2 | 16.977 | 8.489 | 2.809 | 2.996 | N.S. |
| Gruplar İçi | 259 | 782.764 | 3.022 | | | |
| Toplam | 261 | 799.741 | 3.064 | | | |
| B o n i t e t | | | | | | |
| Varyasyon Kaynağı | Serbestlik Derecesi | Tüm Varyans | Varyans | F _{hesap} | F _{table} | Önem Düzeyi |
| Gruplar Arası | 2 | 35.382 | 17.691 | 5.995 | 4.605 | ** |
| Gruplar İçi | 259 | 764.359 | 2.951 | | | |
| Toplam | 261 | 799.741 | 3.064 | | | |

Tablo III.110 incelendiğinde; bölge kriterinin hacmen daralma miktarı üzerinde anlamlı bir farklılaşma meydana getirmediği ancak aritmetik ortalamaların eşit varyansların farklı olması nedeni ile varyansı büyük olan Aktaş Bölgesinin daha

heterojen bir yapıya sahip olduğu belirlenmiştir. Bonitet kriterinin ise % 99 güven düzeyinde anlamlı bir farklılık oluşturduğu tespit edilmiştir. Yapılan Duncan testi sonucunda I. bonitet sınıfının farklı, II. ve III. bonitet sınıflarının benzer toplumlar olduğu sonucuna varılmıştır. Farklı toplumu temsil eden I. bonitet sınıfında ortalama hacmen daralma miktarı en yüksek olup % 10.919'dur. II. ve III. bonitet sınıflarında ise ortalama değer daha düşük bulunmuş olup, sırasıyla % 9.945 ve % 10.307'dir.

Tablo III.111: Radyal Genişleme Varyans Analizi

| B ö l g e | | | | | | |
|-------------------|---------------------|-------------|---------|--------------------|--------------------|-------------|
| Varyasyon Kaynağı | Serbestlik Derecesi | Tüm Varyans | Varyans | F _{hesap} | F _{table} | Önem Düzeyi |
| Gruplar Arası | 2 | 2.714 | 1.357 | 2.278 | 2.996 | N.S. |
| Gruplar İçi | 257 | 153.035 | 0.595 | | | |
| Toplam | 259 | 155.749 | 0.601 | | | |
| B o n i t e t | | | | | | |
| Varyasyon Kaynağı | Serbestlik Derecesi | Tüm Varyans | Varyans | F _{hesap} | F _{table} | Önem Düzeyi |
| Gruplar Arası | 2 | 5.234 | 2.617 | 4.468 | 2.996 | * |
| Gruplar İçi | 257 | 150.515 | 0.586 | | | |
| Toplam | 259 | 155.748 | 0.601 | | | |

Tablo III.111 incelendiğinde; bölge kriterinin radyal genişleme miktarı üzerinde anlamlı bir fark oluşturmadığı, bonitet kriterinin ise % 95 güven düzeyinde anlamlı fark meydana getirdiği görülmektedir. Ancak daha önce yapılan Bartlett testinde varyansların farklı çıkması nedeni ile varyansı büyük olan Altınçay Bölgesinin diğer iki bölgeye göre daha heterojen bir yapıya sahip olduğu tespit edilmiştir. Ayrıca yapılan Duncan testi sonucunda, I. bonitet sınıfının farklı, II. ve III. bonitet sınıflarının benzer toplumlar olduğu belirlenmiştir. Bonitet sınıflarına ait radyal genişleme miktarı ortalama değerleri incelendiğinde I. bonitet sınıfında % 4.622, II. bonitet sınıfında % 4.990 ve III. bonitet sınıfında % 4.864 olduğu belirlenmiştir.

Tablo III.112: Teget Genişleme Varyans Analizi

| B ö l g e | | | | | | |
|-------------------|---------------------|-------------|---------|--------------------|--------------------|-------------|
| Varyasyon Kaynağı | Serbestlik Derecesi | Tüm Varyans | Varyans | F _{hesap} | F _{table} | Önem Düzeyi |
| Gruplar Arası | 2 | 11.148 | 5.574 | 1.823 | 2.996 | N.S. |
| Gruplar İçi | 257 | 785.898 | 3.058 | | | |
| Toplam | 259 | 797.046 | 3.077 | | | |
| B o n i t e t | | | | | | |
| Varyasyon Kaynağı | Serbestlik Derecesi | Tüm Varyans | Varyans | F _{hesap} | F _{table} | Önem Düzeyi |
| Gruplar Arası | 2 | 17.090 | 8.545 | 2.816 | 2.996 | N.S. |
| Gruplar İçi | 257 | 779.955 | 3.035 | | | |
| Toplam | 259 | 797.045 | 3.077 | | | |

Tablo III.112 incelendiğinde; bölge ve bonitet ayırım kriterlerinin teget genişleme miktarları arasında anlamlı bir farklılaşma meydana getirmemiştir. Ancak daha önce yapılan Bartlett testinde varyansların farklı çıkması nedeni ile varyansı büyük olan Altınçay Bölgesinin diğer iki bölgeye göre, yine varyansı büyük olan II. bonitet sınıfının I. ve III. bonitet sınıflarına göre daha heterojen bir yapıya sahip oldukları belirlenmiştir.

Tablo III.113: Hacmen Genişleme Varyans Analizi

| Bölge | | | | | | |
|-------------------|---------------------|-------------|---------|--------------------|--------------------|-------------|
| Varyasyon Kaynağı | Serbestlik Derecesi | Tüm Varyans | Varyans | F _{hesap} | F _{tablo} | Önem Düzeyi |
| Gruplar Arası | 2 | 23.195 | 11.597 | 2.306 | 2.996 | N.S. |
| Gruplar İçi | 257 | 1292.575 | 5.029 | | | |
| Toplam | 259 | 1315.770 | 5.080 | | | |
| Bonitet | | | | | | |
| Varyasyon Kaynağı | Serbestlik Derecesi | Tüm Varyans | Varyans | F _{hesap} | F _{tablo} | Önem Düzeyi |
| Gruplar Arası | 2 | 40.985 | 20.492 | 4.131 | 2.996 | * |
| Gruplar İçi | 257 | 1274.785 | 4.960 | | | |
| Toplam | 259 | 1315.770 | 5.080 | | | |

Tablo III.113 incelendiğinde; bölge kriterinin hacmen genişleme miktarları arasında anlamlı bir fark oluşturmadığı, bonitet kriterinin ise % 95 güven düzeyinde anlamlı bir fark meydana getirdiği görülmektedir. Ancak daha önce yapılan Bartlett testinde varyansların farklı çıkması nedeni ile varyansı büyük olan Altınçay Bölgesinin diğer iki bölgeye göre daha heterojen bir yapıya sahip olduğu tespit edilmiştir. Ayrıca yapılan Duncan testi sonucunda, I. bonitet sınıfının farklı, II. ve III. bonitet sınıflarının benzer toplumlar olduğu belirlenmiştir. Farklı olduğu kabul edilen I. bonitet sınıfında ortalama hacmen genişleme miktarı en düşük olup % 13.492, II. ve III. bonitet sınıflarında ise sırasıyla % 14.487 ile % 14.235 olarak tespit edilmiştir.

III.3.4.1 Hacmen Daralma ve Genişleme Varyasyon Grafiği

Hacmen daralma ve genişleme miktarlarının tüm toplumda nasıl bir dağılım gösterdiğini tespit etmek amacıyla varyasyon grafikleri çizilmiş ve sırasıyla Şekil III.43 ve Şekil III.44'de gösterilmiştir. Hacmen daralma ve genişleme miktarlarının normal dağılım gösterip göstermedikleri Khi Kare testi yoluyla kontrol edilmiş, elde edilen sonuçlar aşağıda verilmiştir.

Hacmen Daralma Miktarı (Tüm Toplum)

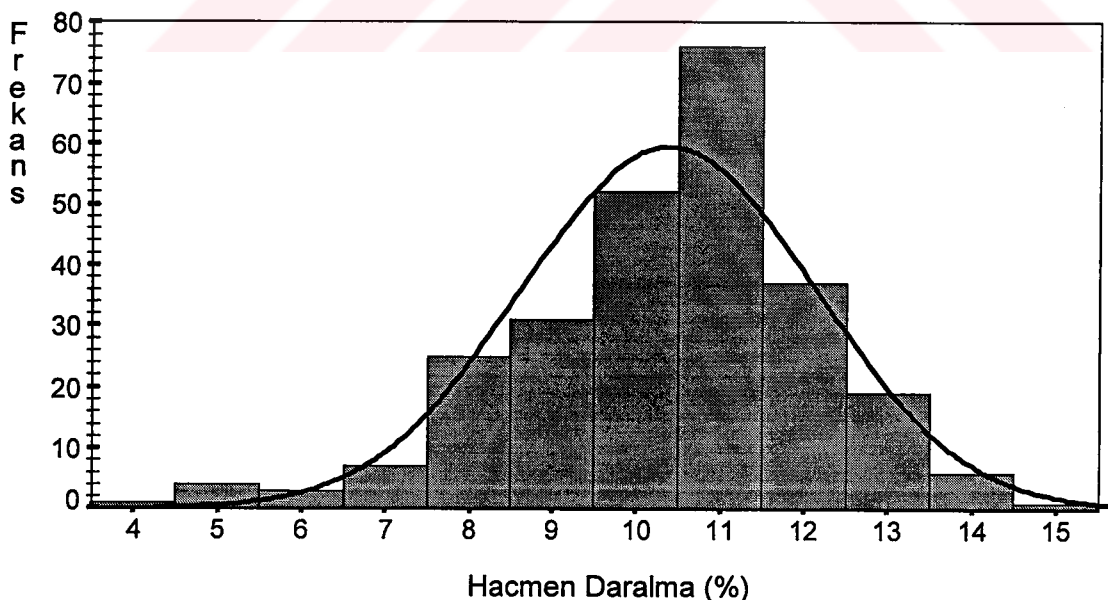
v = 8 serbestlik derecesi için;

$\chi^2 = 75.619 > 26.125 = \chi^2_{0.001}$ olduğu görüldüğünden normal dağılıma uyma olasılığının % 0.1'den daha az olduğu ve bireyler arasındaki farklılaşma üzerinde belirli bir etken ya da etkenlerin rol oynadığı sonucuna ulaşılmıştır.

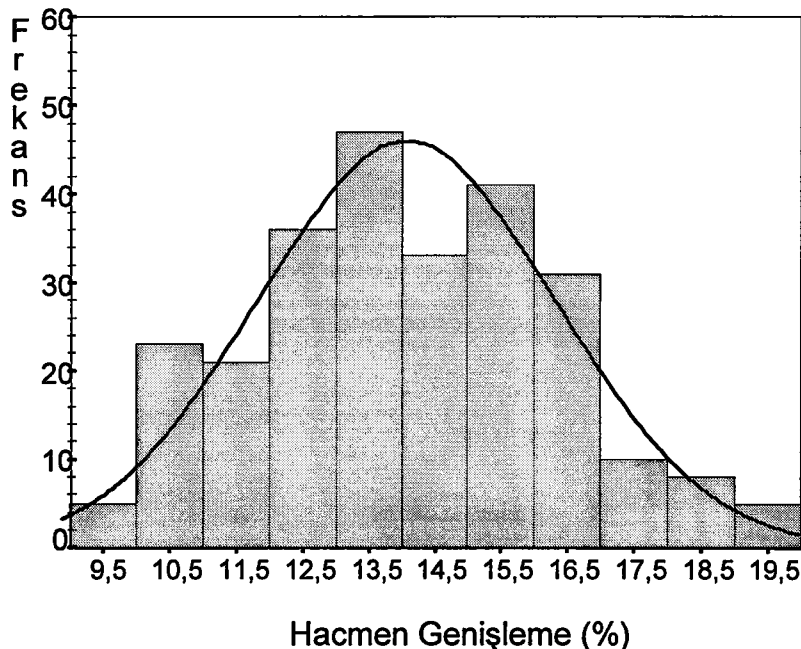
Hacmen Genişleme Miktarı (Tüm Toplum)

v = 8 serbestlik derecesi için;

$\chi^2 = 39.700 > 26.125 = \chi^2_{0.001}$ olduğu görüldüğünden normal dağılıma uyma olasılığının % 0.1'den daha az olduğu ve bireyler arasındaki farklılaşmanın belirli bir etken ya da etkenlerden kaynaklandığı sonucuna ulaşılmıştır.



Şekil III.43: Hacmen Daralma Miktarı Varyasyon Grafiği.



Şekil III.44: Hacmen Genişleme Miktarı Varyasyon Grafiği.

III.3.5 Lif Doygunluğu Rutubet Derecesi

Lif doygunluğu rutubet derecesine ait ortalama değerler Tablo III.114'de verilmiştir.

Tablo III.114: Lif Doygunluğu Rutubet Derecesi Ortalama Değerleri

| İstatistik Özellikler | B ö l g e l e r | | | |
|--------------------------------------|-----------------|--------|---------|--------|
| | Altınçay | Aktaş | Kocaman | Genel |
| Aritmetik Ortalama (\bar{x}) (%) | 20.527 | 23.310 | 22.669 | 22.129 |

Tabloda görüldüğü gibi, lif doygunluğu rutubet derecesi Altınçay Bölgesinde % 20.527, Aktaş Bölgesinde % 23.310, Kocaman Bölgesinde % 22.669, genel ortalama ise % 22.129 olarak tespit edilmiştir. Sonuç olarak; en yüksek lif doygunluğu rutubet derecesinin Aktaş Bölgesinde, en düşük lif doygunluğu rutubet derecesinin ise Altınçay Bölgesinde olduğu belirlenmiştir. Ayrıca % 22.129 lif doygunluğu rutubet derecesi ile ceviz ağacının lif doygunluğu rutubet derecesi düşük ağaç türleri arasına girdiği tespit edilmiştir [29].

III.3.6 Ceviz Odununun İçerisine Alabileceği En Yüksek Su Miktarı

Ceviz odununun içine alabileceği maksimum su miktarı yüzdeleri hesaplanmış ve Tablo III.115'de verilmiştir.

Tablo III.115: Odunun İçerisine Alabileceği Maksimum Su Miktarı Yüzdesi

| İstatistik Özellikler | B ö l g e l e r | | | |
|-----------------------|-----------------|---------|---------|---------|
| | Altınçay | Aktaş | Kocaman | Genel |
| Minimum (%) | 105.417 | 109.356 | 101.085 | 101.085 |
| Ortalama (%) | 137.382 | 156.514 | 145.614 | 146.066 |
| Maksimum (%) | 176.018 | 231.807 | 185.825 | 231.807 |

Tablo III.115 incelendiğinde; ceviz odununun içерisine alabileceği maksimum su miktarı yüzdesinin Altınçay Bölgesinde ortalama % 137.382, Aktaş Bölgesinde % 156.514, Kocaman Bölgesinde % 145.614, genel ortalamanın ise % 146.066 olarak belirlendiği görülmektedir. Buna göre; ceviz odununun içерisine alabileceği maksimum ortalama su miktarı yüzdesinin bölgelere göre değiştiği ve Aktaş Bölgesinde en yüksek, Altınçay Bölgesinde ise en düşük olduğu tespit edilmiştir.

IV. SONUÇ VE TARTIŞMA

IV.1 Makroskopik Özellikler

IV.1.1 Kabuk

Ceviz ağacında kabuk yüzdelerinin % 7.11 ile % 13.92 arasında değiştiği, ortalama değerin ise % 10.80 olduğu tespit edilmiştir. Genel olarak kabuk kalınlığı ağaç yaşı ile birlikte artış göstermektedir. Örnek ağaçların yaşı 26-51 arasında değişmekte olup, ortalama ağaç yaşı 38'dir. Bu nedenle ilerleyen yaşla birlikte kabuk yüzdesinin artacağı düşünülmektedir.

IV.1.2 Öz Odun

Ceviz ağacında öz odun oluşum yaşıının 15-38 yaş arasında değişim gösterdiği, ortalama öz odun oluşum yaşıının ise 27 olduğu tespit edilmiştir. Yapılan incelemeler sonucunda, öz odun hacmi ortalama 0.104 m^3 , öz odun hacmi katılım oranı ise ortalama % 13.29 olarak belirlenmiştir. Öz odun oluşumu, toprak, iklim, yetişme yeri özellikleri ve ağaç yaşına göre değişebilmektedir. Özellikle su ihtiyacının kolayca karşılanması, öz odunun geç oluşmasına sebep olmaktadır. Araştırmada kullanılan örnek ağaçların birçoğu meyvesinden yararlanmak amacıyla yöre insanı tarafından dikilmiş ya da var olan ağaçlara sahip çıkmıştır. Meyve verimini artırabilmek amacıyla insanlar tarafından yapılan müdahalelerin ve iklim özelliklerinin öz odun oranının düşük olmasında etken olduğu düşünülmektedir. Ayrıca ortalama ağaç yaşıının genç olmasının da öz odun oranının düşük olmasında etkili olduğu kabul edilebilir.

IV.1.3 Diri Odun

Yapılan incelemeler sonucunda; ortalama diri odun katılım oranı % 86.71 olarak tespit edilmiştir. Öz odun hacmi katılım oranı ile karşılaşıldığında, diri odun hacmi katılım oranının çok daha yüksek olduğu anlaşılmaktadır.

Diri odun oranının fazla olması emprenye ve kurutma işlemini kolaylaştırıcı bir etken olarak rol oynamaktadır. Ancak kurutma sırasında ortaya çıkabilecek kusurlardan sakınmak için hızlı kurutma işleminden kaçınılmalıdır. Nitekim ÜNSAL (1994)'de bu hususa dikkat çekilmiş, sıcaklık ve kurutma meyli değerleri küçük tutulmuştur.

IV.1.4 Yıllık Halka Genişliği

Ceviz odununda ortalama yıllık halka genişliği 6.300 mm olarak bulunmuş, böylece ceviz odununun geniş yıllık halkalı bir yapıya sahip olduğu belirlenmiştir. Literatürde ceviz ağacının uygun toprak ve iklim koşulları altında hızlı büyüyen ışık ağıacı olduğuna dikkat çekilmektedir [11].

IV.2 Mikroskopik Özellikler

IV.2.1 Traheler

Ceviz odununda trahelerin odun dokusuna katılım oranı % 12.40 olarak tespit edilmiştir. WAGENFÜHR (1996)'da trahelerin oranı % 12 olarak belirtilmektedir.

IV.2.1.1 Trahe Sayısı

Ceviz odununda mm²'de ortalama trahe sayısı 9.178 adet olup, bu sayı ilkbahar odunu için 8.340 adet, yaz odunu ise 10.542 adet olarak tespit edilmiştir. Elde edilen verilerin karşılaştırılması için literatür değerleri Tablo IV.1'de verilmiştir.

Tablo IV.1: mm²'de Trahe Sayısı Literatür Değerleri

| Ağaç Türü | mm ² 'de Trahe Sayısı(Adet) | Literatür |
|-------------------------|----------------------------------------|-------------------------------|
| <i>Juglans regia</i> L. | 2-20 | FAHN-WERKER-BAAS (1986) |
| <i>Juglans regia</i> L. | 4-9 | JACQUIOT-TRENARD-DIROL (1973) |
| <i>Juglans regia</i> L. | 12.82 | MEREV (1998) |
| <i>Juglans nigra</i> L. | 6-14 | BOZKURT-ERDİN (1998) |
| <i>Juglans nigra</i> L. | 6-10-14 | WAGENFÜHR (1996) |

Tablo IV.1'in incelenmesinden anlaşılacığı gibi; mm^2 'de ortalama trahe sayısının JACQUIOT ve arkadaşlarının verdiği değerden daha fazla, FAHN ve arkadaşları ile MERREV'in araştırmalarından elde ettikleri değerlere ise daha yakın olduğu tespit edilmiştir. *Juglans nigra* L. ile yapılan karşılaştırmada iki türün mm^2 'de trahe sayılarının büyük bir farklılık göstermediği belirlenmiştir.

Trahe sayısının az veya çok olması, yoğunluk ve emprenye edilebilme kabiliyeti üzerinde önemli etki yapmaktadır. Trahelerin mm^2 'deki sayısına göre ağaç türlerinin gruplandırmasında, ceviz odunu orta gruba girmektedir. Bu grupta mm^2 'de trahe sayısı 6-10 adettir [25].

IV.2.1.2 Trahe Çapı

Ceviz odununda, ilkbahar odunu ortalama trahe teğet çapı $160.309 \mu\text{m}$, radyal çapı $221.415 \mu\text{m}$, yaz odunu ortalama trahe teğet çapı $110.516 \mu\text{m}$, radyal çapı ise $139.214 \mu\text{m}$, olarak tespit edilmiştir. İlkbahar ve yaz odunu ayrimı yapılmaksızın, ortalama trahe teğet çapı $135.371 \mu\text{m}$, radyal çapı ise $180.386 \mu\text{m}$ olarak belirlenmiştir. Elde edilen değerlerin karşılaştırılması için literatür değerleri Tablo IV.2'de verilmiştir.

Tablo IV.2: Trahe Çapı Literatür Değerleri

| Ağaç Türü | Trahe Çapı (μm) | Literatür |
|-------------------------|--------------------------------------------------------|-------------------------------|
| <i>Juglans regia</i> L. | 200 (maksimum) | BOSSHARD (1974) |
| | 40-150 (280) Teğet; 175 (360) Radyal | FAHN-WERKER-BAAS (1986) |
| <i>Juglans regia</i> L. | 200 İlkbahar Odunu Teğet 60 Yaz Odunu Teğet | GROSSER (1977) |
| <i>Juglans regia</i> L. | 100-200 | JACQUIOT-TRENARD-DIROL (1973) |
| <i>Juglans regia</i> L. | 143.55 İlkbahar Odunu Teğet 87.02 Yaz Odunu Teğet | MEREV (1998) |
| | 179.04 İlkbahar Odunu Radyal 76.51 Yaz Odunu Radyal | |
| <i>Juglans nigra</i> L. | 180-260 | BOSSHARD (1974) |
| <i>Juglans nigra</i> L. | 150-250 80(minimum) Yaz odunu | BOZKURT-ERDİN (1998) |
| <i>Juglans nigra</i> L. | 80...130...180 (260) | WAGENFÜHR (1996) |

Tablo IV.2 incelendiğinde; BOSSHARD (1974)'de maksimum trahe çapının 200 μm olarak verildiği görülmektedir. Bu çalışmada ise, maksimum trahe çapları 280 μm (teğet) ve 348 μm (radyal)'dır. FAHN ve arkadaşları trahe teğet çapını daha büyük, radyal çapını ise daha küçük olarak belirtmişlerdir. GROSSE tarafından verilen ilkbahar odunu teğet çapı yapılan çalışma sonuçları ile karşılaştırıldığında oldukça yüksek, yaz odunu teğet çapı ise oldukça düşük kalmaktadır. Yine JACQUIOT ve arkadaşlarının verdiği değerler dikkate alınacak olursa, tarafımızdan belirlenen trahe teğet ve radyal çaplarının verilen değerler arasında kaldığı görülmektedir. Araştırma sonuçları MEREV'e ait sonuçlarla karşılaştırıldığında, oldukça yüksek kalmaktadır.

Juglans nigra L. ile yapılan karşılaştırmalarda, trahe çaplarının BOSSHARD ve BOZKURT ve ERDİN tarafından verilen değerlerden düşük, WAGENFÜHR tarafından verilen değerlere ise yakın olduğu görülmektedir.

Yapılan incelemeler neticesinde, ceviz odununda trahe çapları büyülüklük sınıfı olarak, orta büyülükteki traheler (101-150 μm) ve büyük traheler (151-200 μm) sınıfına girmektedir [25].

Trahe çapı, odunun birçok özelliği üzerinde etkili olmakta ve çap arttıkça, odun daha poröz bir yapı kazanmaktadır. Odunun işlenme özellikleri, tutkallanma kabiliyeti, kurutulması, permeabilitesi, emprenye edilebilme özelliği büyük ölçüde trahe çapı ile ilgili bulunmaktadır. Trahe çapı arttıkça, odun içinde sıvıların hareketi kolaylaşmakta ve böylece permeabilite, kurutma, emprenye edilebilme ve çeşitli yüzey işlemlerinin uygulanması kolaylaşmaktadır. Ancak, trahelerin büyük olması halinde mobilyacılıkta yüzey doldurma işlemlerine gerek duyulmaktadır. Ayrıca, trahelerin büyük oluşu, tutkal sarfiyatını artırıcı yönde etki yapmaktadır. Ancak bu durumda yapışma direnci yüksek olmaktadır. Belirtilen özellikler üzerinde sadece trahe çapı değil, traheler arası geçitlerin çapları da etkili olmaktadır. Ceviz odununda traheler arası geçitler orta büyülüktedir. Ancak, özellikle öz odun kısmındaki trahelerin kısmen veya tamamen tül teşekkürüllü ile tikali olmasının sıvıların hareketini güçlendirceği de bilinmektedir.

IV.2.1.3 Trahe Lümen Genişlikleri

Ceviz odununda, ilkbahar odunu ortalama trahe teğet lümen genişliği 148.787 μm , radyal lümen genişliği 209.305 μm , yaz odunu ortalama trahe teğet lümen genişliği 100.474 μm , radyal lümen genişliği ise 128.616 μm olarak tespit edilmiştir. İlkbahar ve yaz odunu ayırmayı yapılmaksızın ortalama trahe teğet lümen genişliği 124.590 μm , radyal lümen genişliği ise 169.031 μm olarak belirlenmiştir. Elde edilen

veriler, MEREV (1998) tarafından gerçekleştirilen araştırmanın sonuçlarıyla karşılaştırılmak üzere Tablo IV.3'te verilmiştir.

Tablo IV.3: Trahe Lümen Genişliği Literatür Değerleri

| Ağaç Türü | Trahe Lümen Genişliği (μm) | Literatür |
|-------------------------|----------------------------------------------------------------------------------------------------------------------------------------|--------------|
| <i>Juglans regia</i> L. | 136.13 İlkbahar Odunu Teğet 84.55 Yaz Odunu Teğet 161.80 İlkbahar Odunu Radyal 75.26 Yaz Odunu Radyal | MEREV (1998) |

Tablo IV.3 incelendiğinde; trahe lümen genişliklerinin MEREV tarafından tespit edilen genişliklerden oldukça yüksek olduğu görülmektedir.

IV.2.1.4 Trahe Çeber Kalınlıkları

Ceviz odununda, ilkbahar odunu ortalama trahe teğet çift çeper kalınlığı $11.533 \mu\text{m}$, radyal çift çeper kalınlığı $12.047 \mu\text{m}$, yaz odunu ortalama trahe teğet çift çeper kalınlığı $10.042 \mu\text{m}$, radyal çift çeper kalınlığı ise $10.599 \mu\text{m}$ olarak belirlenmiştir. İlkbahar ve yaz odunu ayırımı yapılmaksızın, ortalama trahe teğet çift çeper kalınlığı $10.786 \mu\text{m}$, radyal çift çeper kalınlığı ise $11.324 \mu\text{m}$ olarak tespit edilmiştir. Elde edilen verilerin karşılaştırılması için literatür değerleri Tablo IV.4'te verilmiştir.

Tablo IV.4: Trahe Çift Çeber Kalınlığı Literatür Değerleri

| Ağaç Türü | Trahe Çeber Kalınlıkları (μm) | Literatür |
|-------------------------|---------------------------------------------------------------|-------------------------|
| <i>Juglans regia</i> L. | 3-6 (W) | FAHN-WERKER-BAAS (1986) |
| <i>Juglans regia</i> L. | 6.00 (3.73-9.33) İlkbahar Odunu 3.60 (2.80-5.60) Yaz Odunu | MEREV (1998) |

Tablo IV.4 incelendiğinde; ortalama trahe teğet çeper kalınlığının FAHN ve arkadaşları tarafından tespit edilen değere yakın, MEREV tarafından verilen yaz odunu trahe çeper kalınlığından fazla, ilkbahar odunu trahe çeper kalınlığına ise yakın olduğu görülmektedir.

Yapılan incelemeler neticesinde; ceviz odununda çeper kalınlıklarının ilkbahar odunu trahelerinde yaz odunu trahelerine göre daha fazla olduğu tespit edilmiştir.

IV.2.1.5 Trahelerdeki Geçitler

Ceviz odununda trahelerin arasındaki geçitlerin ortalama horizontal çapı $10.257 \mu\text{m}$, vertikal çapı $9.914 \mu\text{m}$, geçit ağızı ortalama teğet çapı ise $4.028 \mu\text{m}$ olarak tespit edilmiştir. Elde edilen değerlerin karşılaştırılması için literatür değerleri Tablo IV.5'de verilmiştir.

Tablo IV.5: Traheler Arası Geçit Çaplarının Literatür Değerleri

| Ağaç Türü | Traheler Arası Geçit Çapları (μm) | Literatür |
|-------------------------|---------------------------------------------------------------------|-------------------------|
| <i>Juglans regia</i> L. | 7-12 | FAHN-WERKER-BAAS (1986) |
| <i>Juglans regia</i> L. | 10.05 (7.50-12.75) horizontal çap 9.73 (8.25-11.25) vertikal çap | MEREV (1998) |
| <i>Juglans nigra</i> L. | 10-16 | PANSHIN-ZEEUW (1980) |

Tablo IV.5 incelendiğinde; *Juglans regia* L. için elde edilen sonuçların literatürle paralellik gösterdiği, *Juglans nigra* L.'de ise geçitlerin daha büyük olduğu anlaşılmaktadır.

Ayrıca, MEREV tarafından geçit ağızı teğet çapı $3.69 \mu\text{m}$ olarak bildirilmiştir. Böylece araştırma sonunda belirlenen geçit ağızı teğet çapının daha büyük olduğu görülmektedir.

Yapılan incelemeler neticesinde; ceviz odununda traheler arası geçitlerin büyülüklük sınıfı orta genişlik ($7-10 \mu\text{m}$) sınıfına girmektedir [32].

Geçitler, odun içerisinde sıvıların hareketinde önemli rol oynamaktadır. Ceviz odunundaki geçitler de yeteri kadar büyüktür. Ancak, değerlendirmeler yapıılırken trahe capları ve içlerinin kısmen veya tamamen tül teşekkürü ile tikali bulunduğu göz önünde tutulmalıdır.

Yapılan incelemeler neticesinde; trahelerle öz işini paransim hücrelerinin karşılaşma yerindeki geçitlerin ortalama horizontal çapı 8.694 μm , vertikal çapı ise 4.889 μm olarak belirlenmiştir. Karşılaştırma yapmak amacıyla MEREV (1998) tarafından gerçekleştirilen araştırmmanın sonucunda elde edilen değerler Tablo IV.6'da verilmiştir.

Tablo IV.6: Trahelerle Öz İşini Paransim Hücrelerinin Karşılaşma Yerindeki Geçit Çaplarının Literatür Değerleri

| Ağaç Türü | Geçit Çapları (μm) | Literatür |
|-------------------------|-------------------------------------------------------------------|--------------|
| <i>Juglans regia</i> L. | 7.12 (3.75-10.50) horizontal çap 4.05 (3.00-5.25) vertikal çap | MEREV (1998) |

Tablo IV.6 incelendiğinde; araştırma sonunda elde edilen değerlerin MEREV tarafından tespit edilen değerlerden daha büyük olduğu görülmektedir. Karşılaşma yeri geçitlerinin ortalama çapı 10 μm 'den küçük olduğu için, küçük ve sık geçitler sınıflamasına girmektedir [32]. Böylece bu geçitler sıvıların akışı için önemli olarak kabul edilmemektedir.

IV.2.1.6 Trahe Hücre Uzunluğu

Ceviz odununda ortalama trahe hücre uzunluğu 582.739 μm olarak tespit edilmiştir. Trahe hücre uzunluğu ile ilgili literatür değerleri Tablo IV.7'de verilmiştir.

Tablo IV.7: Trahe Hücre Uzunluğu Literatür Değerleri

| Ağaç Türü | Trahe Uzunluğu(μm) | Literatür |
|-------------------------|---------------------------------|-------------------------|
| <i>Juglans regia</i> L. | 470 (400-590) | FAHN-WERKER-BAAS (1986) |
| <i>Juglans regia</i> L. | 621.06 | MEREV (1998) |

Tablo IV.7 incelendiğinde; ortalama trahe hücre uzunluğunun FAHN ve arkadaşlarının verdiği değerden daha uzun, MEREV'in verdiği değerden ise daha kısa olduğu anlaşılmaktadır.

Ceviz odununda trahe hücre uzunluğu, orta uzunluk ($350\text{-}800 \mu\text{m}$) sınıfına girmektedir [32].

IV.2.1.7 Perforasyon Tablosı

Ceviz odununda, üst üste bulunan iki trahe hücresi arasında basit perforasyon tablosı bulunmaktadır. Perforasyon tablosu ortalama genişliği $91.493 \mu\text{m}$, uzunluğu ise $148.827 \mu\text{m}$ olarak tespit edilmiştir.

MEREV (1998) tarafından ortalama perforasyon tablosu genişliği $75.17 \mu\text{m}$, uzunluğu $145.68 \mu\text{m}$ olarak verilmiştir. Her iki araştırma sonucu karşılaştırıldığında, MEREV tarafından perforasyon tablalarının genişliğinin ve uzunluğunun daha düşük değerlerde tespit edildiği görülmüştür.

IV.2.2 Lifler

Liflerin odun dokusuna katılım oranı % 65.87 olarak tespit edilmiş olup, WAGENFÜHR (1996) tarafından bu oranın % 63.8 olduğu bildirilmektedir.

IV.2.2.1 Lif Traheidlerinin Çapı

Ceviz odununda, ilkbahar odunu ortalama lif traheidi teğet çapı $24.853 \mu\text{m}$, radyal çapı $27.929 \mu\text{m}$, yaz odunu ortalama lif traheidi teğet çapı $24.871 \mu\text{m}$, radyal çapı $26.001 \mu\text{m}$ olarak tespit edilmiştir. İlkbahar ve yaz odunu ayırımı yapılmaksızın ortalama lif traheidi teğet çapı $24.862 \mu\text{m}$, radyal çapı $26.967 \mu\text{m}$ olarak tespit edilmiştir. Elde edilen değerlerin karşılaştırılması için literatür değerleri Tablo IV.8'de verilmiştir.

Tablo IV.8: Lif Traheidi Çapı Literatür Değerleri

| Ağaç Türü | Lif Traheidi Çapı (μm) | Literatür |
|-------------------------|-------------------------------------|-----------------|
| <i>Juglans regia</i> L. | 29.62 (18.66-37.22) | MEREV (1998) |
| <i>Juglans nigra</i> L. | 16-32 | BOSSHARD (1974) |

Tablo IV.8 incelendiğinde; *Juglans regia* L.'de ortalama lif traheidi çapının MEREV'in verdiği değerden düşük olduğu, BOSSHARD tarafından *Juglans nigra* L. için verilen değerler arasında kaldığı görülmektedir.

IV.2.2.2 Lif Traheidi Lümen Genişlikleri

Ceviz odununda; ilkbahar odunu ortalama lif traheidi teğet lümen genişliği 18.482 μm , radyal lümen genişliği 21.528 μm , yaz odunu ortalama lif traheidi teğet lümen genişliği 18.811 μm , radyal lümen genişliği ise 20.250 μm olarak tespit edilmiştir. İlkbahar ve yaz odunu ayırımı yapılmaksızın ortalama lif traheidi teğet lümen genişliği 18.646 μm , radyal lümen genişliği ise 20.890 μm olarak belirlenmiştir. Lümen genişlikleri ile ilgili literatür değerleri Tablo IV.9'da verilmiştir.

Tablo IV.9: Lif Traheidi Lümen Genişliği Literatür Değerleri

| Ağaç Türü | Lif Traheidi Lümen Genişliği (μm) | Literatür |
|-------------------------|------------------------------------------------|------------------|
| <i>Juglans regia</i> L. | 20.43 (11.19-27.99) | MEREV (1998) |
| <i>Juglans regia</i> L. | 9.5...17.0...25.5 | WAGENFÜHR (1996) |
| <i>Juglans nigra</i> L. | 7.0...13.0...23.00 | WAGENFÜHR (1996) |

Tablo IV.9 incelendiğinde; MEREV'in lif traheidi lümen genişliğini daha fazla, WAGENFÜHR'ün ise daha düşük (teğet ölçüler dikkate alındığında) tespit ettiği anlaşılmaktadır. *Juglans nigra* L.'de ise lümen genişliğinin daha dar olduğu görülmektedir.

IV.2.2.3 Lif Traheidi Çeber Kalınlıkları

Ceviz odununda; ilkbahar odunu lif traheidi ortalama teğet çift çeper kalınlığı $6.371 \mu\text{m}$, radyal çift çeper kalınlığı $6.401 \mu\text{m}$, yaz odunu lif traheidi ortalama teğet çift çeper kalınlığı $6.060 \mu\text{m}$, radyal çift çeper kalınlığı ise $5.751 \mu\text{m}$ olarak tespit edilmiştir. İlkbahar ve yaz odunu ayrimı yapılmaksızın ortalama teğet çift çeper kalınlığı $6.216 \mu\text{m}$, radyal çift çeper kalınlığı ise $6.076 \mu\text{m}$ olarak belirlenmiştir. Sonuç olarak; lif traheidlerinin çeper kalınlıklarının yıllık halkanın yaz odunu tabakasında biraz daha ince olduğu tespit edilmiştir. Konu ile ilgili literatür değerleri Tablo IV.10'da verilmiştir.

Tablo IV.10: Lif Traheidi Çift Çeber Kalınlığı Literatür Değerleri

| Ağaç Türü | Lif Traheidi Çift Çeber Kalınlığı (μm) | Literatür |
|-------------------------|-----------------------------------------------------|------------------|
| <i>Juglans regia L.</i> | 4.59 (2.79-6.53) (W) | MEREV (1998) |
| <i>Juglans regia L.</i> | 2.7...4.7...5.7 (2W) | WAGENFÜHR (1996) |
| <i>Juglans nigra L.</i> | 3.0...6.0...9.0 (2W) | WAGENFÜHR (1996) |

Tablo IV.10 incelendiğinde; *Juglans regia L.*'de lif traheidi ortalama çeper kalınlığının MEREV tarafından daha kalın, WAGENFÜHR tarafından daha ince bulunduğu görülmektedir. *Juglans nigra L.*'de ise çeper kalınlığının *Juglans regia L.*'e yakın olduğu belirlenmiştir.

IV.2.2.4 Libriform Lifleri

Ceviz odununda; libriform lifi ortalama teğet çapı $23.322 \mu\text{m}$, lümen genişliği $14.246 \mu\text{m}$, çift çeper kalınlığı $9.076 \mu\text{m}$ olarak tespit edilmiştir.

MEREV (1998) tarafından libriform lifi ortalama çapı $31.87 \mu\text{m}$, lümen genişliği $21.01 \mu\text{m}$, çeper kalınlığı $6.25 \mu\text{m}$ olarak belirlenmiştir. İki araştırmmanın sonuçları karşılaştırıldığında MEREV tarafından tespit edilen değerlerin daha yüksek olduğu görülmüştür.

IV.2.2.5 Lif Çepler Kalınlığı Grubu

Ceviz odununda; lif lümen genişliği çift çepler kalınlığından 2.571 kat daha geniş olduğundan, lif çeplerlerinin orta kalınlıkta olduğu sonucuna ulaşılmıştır.

IV.2.2.6 Lif Uzunluğu

Ceviz odununda ortalama lif uzunluğu 1373.346 μm olarak tespit edilmiştir. Yapılan incelemeler neticesinde, ceviz odununda lif boyları uzunluk sınıfı olarak, orta uzunluktaki lifler (900-1600 μm) sınıfına girmektedir [32]. Ortalama lif uzunluğu literatür değerleri Tablo IV.11'de verilmiştir.

Tablo IV.11: Lif Uzunluğu Literatür Değerleri

| Ağaç Türü | Lif Uzunluğu (μm) | Literatür |
|-------------------------|--------------------------------|-------------------------|
| <i>Juglans regia</i> L. | 550-1180 | FAHN-WERKER-BAAS (1986) |
| <i>Juglans regia</i> L. | 1454.60 (764.68-2058.77) | MEREV (1998) |
| <i>Juglans regia</i> L. | 1000...1300...2000 | WAGENFÜHR (1996) |
| <i>Juglans nigra</i> L. | 1100-1850 | BOZKURT-ERDİN (1998) |
| <i>Juglans nigra</i> L. | 1100...1490...1850 | WAGENFÜHR (1996) |

Tablo IV.11 incelendiğinde; lif uzunluğunun FAHN ve arkadaşlarının verdiği uzunluktan daha fazla, MEREV tarafından verilen ortalama lif uzunluğundan ise daha kısa olduğu, WAGENFÜHR tarafından verilen uzunluk değerine ise yakın olduğu görülmektedir. *Juglans nigra* L. ile yapılan karşılaştırmada ise, ortalama lif uzunluğunun bu ağaç türünde daha fazla olduğu anlaşılmaktadır.

IV.2.3 Boyuna Paransimler

Ceviz odununda boyuna paransimlerin apotraheal dağınık, teget sıralı, paratraheal kümeli ve inisiyal sınır paransimleri halinde bulunduğu tespit edilmiştir. Odun dokusuna katılım oranı ise % 6.6 olarak belirlenmiş olup, WAGENFÜHR (1996)'da bu oran % 8 olarak verilmiştir.

IV.2.4 Öz İşinleri

Ceviz odununda öz işinlerinin dokuya katılım oranı % 15.13 olarak tespit edilmiştir. Bu oran WAGENFÜHR (1996)'da % 16.20'dir.

IV.2.4.1 Öz İşini Genişliği

Yapılan incelemeler sonucunda; öz işini genişliklerinin 1-5 hücre arasında değiştiği, 5 hücre genişliğine nadiren rastlandığı tespit edilmiştir. En çok 3-4 hücre genişliğindeki öz işinlarına rastlanılmaktadır. İstatistik değerlendirmeler neticesinde, öz işini ortalama genişliği 3.050 hücre olarak belirlenmiştir. Öz işini genişlikleri ile ilgili literatür değerleri Tablo IV.12'de verilmiştir.

Tablo IV.12: Öz İşini Hücre Genişliği Literatür Değerleri

| Ağaç Türü | Öz İşini Hücre Genişliği | Literatür |
|-------------------------|--------------------------|-------------------------------|
| <i>Juglans regia</i> L. | 1-5 (çoğunluk 3-4) | BOSSHARD (1974) |
| <i>Juglans regia</i> L. | 1-5 (çoğunlukla 4) | BOZKURT-ERDİN (1998) |
| <i>Juglans regia</i> L. | 1-3 (5) | FAHN-WERKER-BAAS (1986) |
| <i>Juglans regia</i> L. | 2-4 (5) | GREGUSS (1945) |
| <i>Juglans regia</i> L. | 1-5 (çoğunluk 3-4) | GROSSER (1977) |
| <i>Juglans regia</i> L. | 3-5 | JACQUIOT-TRENARD-DIROL (1973) |
| <i>Juglans regia</i> L. | 3.11 (2-4) | MEREV (1998) |
| <i>Juglans regia</i> L. | 1-3-5 | WAGENFÜHR (1996) |
| <i>Juglans nigra</i> L. | 1-5 | BOSSHARD (1974) |
| <i>Juglans nigra</i> L. | 1-5 | BOZKURT-ERDİN (1998) |
| <i>Juglans nigra</i> L. | 1-2-3 | WAGENFÜHR (1996) |
| <i>Juglans nigra</i> L. | 1-5 | PANSHIN-ZEEUW (1980) |

Tablo IV.12 incelediğinde; araştırma sonuçlarının literatürle uyumlu, *Juglans regia* L. ile *Juglans nigra* L.'nin öz işini hücre genişliklerinin benzer olduğu görülmektedir.

Ceviz odununda öz işinlarının mikrometre olarak ortalama genişliği, tek sıralı öz işinları için $14.418 \mu\text{m}$, çok sıralı öz işinları için ise $40.929 \mu\text{m}$ olarak tespit edilmiştir. MEREV (1998) tarafından çok sıralı öz işinlarının genişliği 43.87 (26.12 - 61.58) μm olarak verilmiştir. Böylece iki genişlik arasında önemli bir farklılık olmadığı anlaşılmaktadır. WAGENFÜHR (1996) ise, *Juglans nigra* L.'de öz işini genişliğini $9...22...38 \mu\text{m}$ olarak tespit etmiştir. Ancak tek sıralı ve çok sıralı öz işini ayırımı yapılmadığı için sonuçların sağlıklı şekilde karşılaştırılarak yorumlanması mümkün olmamıştır.

IV.2.4.2 Öz İşini Yüksekliği

Yapılan incelemeler sonucunda; öz işinlarının ortalama hücre yüksekliği tek sıralı öz işinları için 8.809 hücre, çok sıralı öz işinları için 18.084 hücre olarak tespit edilmiştir. Öz işini yüksekliği ile ilgili literatür değerleri Tablo IV.13'de verilmiştir.

Tablo IV.13: Öz İşini Hücre Yüksekliği Literatür Değerleri

| Ağaç Türü | Öz İşini Hücre Yüksekliği (Adet) | Literatür |
|-------------------------|---------------------------------------------------|-------------------------------|
| <i>Juglans regia</i> L. | 20 (maksimum 40) | BOSSHARD (1974) |
| <i>Juglans regia</i> L. | 35 | FAHN-WERKER-BAAS (1986) |
| <i>Juglans regia</i> L. | 3-12-15 (tek sıralı) 15-20 (çok sıralı) | GREGUSS (1945) |
| <i>Juglans regia</i> L. | 15-20 | JACQUIOT-TRENARD-DIROL (1973) |
| <i>Juglans regia</i> L. | 8.97 (1-20) tek sıralı 17.64 (6-29) çok sıralı | MEREV (1998) |
| <i>Juglans regia</i> L. | 15-30 | SCHWEINGRUBER (1990) |
| <i>Juglans regia</i> L. | 20-40 | WAGENFÜHR (1996) |
| <i>Juglans nigra</i> L. | 20 | BOSSHARD (1974) |
| <i>Juglans nigra</i> L. | 3-25 | WAGENFÜHR (1996) |

Tablo IV.13 incelendiğinde; ceviz odununda tek sıralı ve çok sıralı öz işini ortalama hücre yüksekliğinin GREGUSS'un değerleri ile yakın, MEREV'in verdiği değerlerle ise hemen hemen aynı olduğu görülmektedir. Diğer araştırmacıların çalışmalarında tek sıralı, çok sıralı öz işini ayırımı yapılmadığından sonuçların sağılıklı şekilde karşılaştırılarak yorumlanması mümkün olmamıştır.

Ceviz odununda öz işinlarının ortalama mikrometre yüksekliği, tek sıralı öz işinları için 171.469 μm , çok sıralı öz işinları için 296.926 μm olarak tespit edilmiştir. Ceviz odununda öz işinlarının ortalama mikrometre yüksekliği MEREV (1998) tarafından tek sıralı öz işinları için 275.76 μm , çok sıralı öz işinları için 333.84 μm olarak verilirken, WAGENFÜHR (1996) tarafından ise 160...330...570 μm olarak verilmiştir. Sonuç olarak, MEREV tarafından öz işini yüksekliklerinin gerek tek sıralı gerekse çok sıralı öz işinları için daha fazla bulunduğu belirlenmiştir. Yine araştırma sonunda elde edilen öz işini yüksekliklerinin WAGENFÜHR tarafından verilen değerler arasında kaldığı görülmüştür.

Juglans nigra L.'de ise öz işinlarının yüksekliği WAGENFÜHR (1996) tarafından 105...240...350 μm olarak tespit edilmiştir. Böylece *Juglans regia* L. için tespit edilen ortalama öz işini yüksekliklerinin *Juglans nigra* L. için belirlenen aralıkta kaldığı görülmüştür.

IV.2.4.3 Öz İşimi Sayısı

Ceviz odunu teğet kesitinde mm'de ortalama öz işimi sayısı 5.829 adet olarak tespit edilmiştir. Bu değer, seyrek öz işimi sınıflamasına (4-7 adet/mm) girmektedir [57]. Öz işimi sayısı ile ilgili literatür değerleri Tablo IV.14'de verilmiştir.

Tablo IV.14: mm'de Öz İşimi Sayısı Literatür Değerleri

| Ağaç Türü | mm'de Öz İşimi Sayısı (adet) | Literatür |
|-------------------------|------------------------------|-------------------------------|
| <i>Juglans regia</i> L. | 3-4 | BOSSHARD (1974) |
| <i>Juglans regia</i> L. | 4-7 | BOZKURT-ERDİN (1990) |
| <i>Juglans regia</i> L. | 6-8 (4) | FAHN-WERKER-BAAS (1986) |
| <i>Juglans regia</i> L. | 6-8 | GROSSER (1977) |
| <i>Juglans regia</i> L. | 4-6 | JACQUIOT-TRENARD-DIROL (1973) |
| <i>Juglans regia</i> L. | 8.08 | MEREV (1998) |
| <i>Juglans regia</i> L. | 6-7-8 | WAGENFÜHR (1996) |
| <i>Juglans nigra</i> L. | 8-13 | BOZKURT-ERDİN (1998) |
| <i>Juglans nigra</i> L. | 8-10-13 | WAGENFÜHR (1996) |

Tablo IV.14 incelediğinde; BOZKURT ve ERDİN ile JACQUIOT ve arkadaşları tarafından verilen mm'de öz işini sayılarının, araştırma sonucu ile birbirine daha yakın oldukları görülmektedir. *Juglans nigra L.*'de ise mm'de öz işini sayılarının daha fazla olduğu anlaşılmaktadır.

IV.3 Fiziksel Özellikler

IV.3.1 Yoğunluk

Denemeler sonucunda, ceviz odununda ortalama hava kurusu yoğunluk değeri 0.581 g/cm^3 , tam kuru yoğunluk değeri ise 0.548 g/cm^3 olarak tespit edilmiştir. Ceviz odununun yoğunluğu ile ilgili literatür değerleri Tablo IV.15'de verilmiştir.

Tablo IV.15: Ortalama Yoğunluk Literatür Değerleri

| Ağaç Türü | Hava Kurusu Yoğunluk (g/cm^3) | Tam Kuru Yoğunluk (g/cm^3) | Literatür |
|-------------------------|-------------------------------------------------|---------------------------------------------|---------------------------------|
| <i>Juglans regia L.</i> | 0.68 | 0.64 | BERKEL (1970) |
| <i>Juglans regia L.</i> | 0.66 (D_{15}) | 0.64 | BOSSHARD (1974) |
| <i>Juglans regia L.</i> | 0.68 | 0.64 | BOZKURT-ERDİN (1990) |
| <i>Juglans regia L.</i> | - | 0.64 | GROSSER (1977) |
| <i>Juglans regia L.</i> | 0.59 (D_{11}) | - | HEARMAN (1948) |
| <i>Juglans regia L.</i> | - | 0.52 | KANTAY-AS-ÜNSAL (Basılmamıştır) |
| <i>Juglans regia L.</i> | 0.60 ($D_{11.2}$) | - | KEYLWERTH (1944/45) |
| <i>Juglans regia L.</i> | 0.60 ($D_{8.1}$) | - | KRAEMER (1930) |
| <i>Juglans regia L.</i> | 0.64-0.68 (D_{15}) | 0.46-0.60 | KUČERA (1991) |
| <i>Juglans regia L.</i> | 0.609 | - | SIDDQUI-AYAZ-IQBAL (1996) |
| <i>Juglans regia L.</i> | 0.68 | 0.64 | WAGENFÜHR (1996) |
| <i>Juglans nigra L.</i> | 0.61 | 0.56 | BERKEL (1970) |
| <i>Juglans nigra L.</i> | 0.64 | - | BOSSHARD (1974) |
| <i>Juglans nigra L.</i> | 0.64 | 0.56 | BOZKURT-ERDİN (1998) |
| <i>Juglans nigra L.</i> | 0.58...0.64...0.81 ($D_{12} \dots D_{15}$) | 0.56...0.58 | WAGENFÜHR (1996) |

Tablo IV.15 incelendiğinde; KUÇERA ile KANTAY ve arkadaşları tarafından verilen değerler dışında, çeşitli araştırmacılar tarafından gerek *Juglans regia* L. ve gerekse *Juglans nigra* L. için verilen yoğunluk değerlerinin daha yüksek olduğu belirlenmiştir. Sonuçlar arasındaki farkın hangi nedenlerden kaynaklanabileceğini belirleyebilmek için bu çalışmalarda kullanılan deneme ağaçlarına ait özelliklerin ve yetişme şartlarının bilinmesine ihtiyaç vardır. Bu nedenle, sağlıklı biçimde sebep sonuç ilişkisinin ortaya konulması güçtür. Tarafımızdan gerçekleştirilen bu çalışmada, yıllık halka genişliğinin yoğunluğu artırıcı veya azaltıcı yönde önemli bir etkisinin olmadığı (Bkz. Şekil III. 33), yine gerek trahe hücreleri ve gerekse lif traheidleri çeper kalınlıklarının yıllık halkanın ilkbahar ve yaz odunu tabakalarında birbirinden çok büyük farklılık göstermediği hatta ilkbahar odununda daha kalın olduğu belirlenmiştir. Ayrıca yapılan incelemeler sonucunda öz odun hacmi katılım oranının da düşük olduğu tespit edilmiştir. Bu nedenlelerle, araştırma sonuçları arasındaki farklılığın yetişme şartlarından, öz odun hacmi katılım oranının düşük ve buna bağlı olarak ekstraktif madde ve tül teşekkürülüğünün az miktarda olmasından kaynaklandığı düşünülmektedir.

IV.3.1.1 Hücre Çeperi ve Hava Boşluğu Hacmi

Ceviz odununda ortalama hücre çeperi hacmi oranı % 36.567, hava boşluğu hacmi oranı ise % 63.433 olarak tespit edilmiştir. Genel olarak, hücre çeperi hacmi arttıkça hava boşluğu azalmaktadır (Bkz. Tablo III.100).

IV.3.2 Hacim Ağırlık Değeri

Denemeler sonucunda; ceviz odununda ortalama hacim ağırlık değeri 0.470 g/cm^3 olarak belirlenmiştir.

IV.3.3 Sorpsiyon Denemeleri

Ceviz odununda ortalama radyal daralma miktarı % 3.788, teğet daralma miktarı % 6.613, hacmen daralma miktarının ise % 10.401 olduğu belirlenmiştir. Ayrıca β_r/β_t oranının 1.75 olduğu tespit edilmiştir. Yine yapılan incelemeler neticesinde, ortalama radyal genişleme miktarı % 4.822, teğet genişleme miktarı % 9.251, hacmen genişleme miktarı ise % 14.074 olarak belirlenmiştir. α_r/α_t oranı ise 1.92 olarak hesaplanmıştır. Ceviz ağacının radyal daralma miktarı az (% 3.0-% 4.0), teğet daralma miktarı orta (% 6.5-% 8.0), hacmen daralma miktarı ise yine orta (% 10-% 13.9) olan ağaç türleri

sınıfına girdiği belirlenmiştir [57]. Araştırma sonuçları ile karşılaştırma yapmak üzere literatür değerleri Tablo IV.16'da verilmiştir.

Tablo IV.16: Daralma Miktarı Literatür Değerleri

| Ağaç Türü | Daralma Miktarı (%) | | | Literatür |
|-------------------------|---------------------|-----------|-------------|----------------------|
| | β_t | β_r | B_v | |
| <i>Juglans regia</i> L. | 7.5 | 5.4 | 13.4 | BERKEL (1970) |
| <i>Juglans regia</i> L. | 7.5 | 5.4 | 13.4 | BOSSHARD (1974) |
| <i>Juglans regia</i> L. | 7.5 | 5.4 | 13.4 | BOZKURT-ERDİN (1998) |
| <i>Juglans regia</i> L. | 7.5 | 5.4 | 13.4 | KUČERA (1991) |
| <i>Juglans regia</i> L. | 7.5 | 5.4 | 13.4 | WAGENFÜHR (1996) |
| <i>Juglans nigra</i> L. | 7.1 | 5.2 | 12.7 | BERKEL (1970) |
| <i>Juglans nigra</i> L. | 7.0 | 5.5 | 12.8 | BOZKURT-ERDİN (1998) |
| <i>Juglans nigra</i> L. | 7.1...7.8 | 4.8...5.5 | 12.0...13.3 | WAGENFÜHR (1996) |

Tablo IV.16 incelendiğinde; araştırmada bulunan daralma miktarlarının her iki tür için literatürde verilen değerlerden daha düşük olduğu görülmektedir. Literatürde verilen değerlerin elde edildiği araştırmalarda kullanılan ağaçların yetişme şartları bilinmediğinden konu ile ilgili tartışma yapılması uygun bulunmamıştır.

IV.3.4 Lif Doygunluğu Rutubet Derecesi

Ceviz odununda ortalama lif doygunluğu rutubet derecesi % 22.129 olarak tespit edilmiştir. Sonuç olarak ceviz ağacının, lif doygunluğu rutubet derecesi düşük ağaç türleri arasına girdiği belirlenmiştir. Lif doygunluğu rutubet derecesinin düşük olması, ağaç malzemede çalışma miktaranı düşürmeye, kurutma süresini kısaltmaktadır.

Öz odun hacmi katılım oranının düşük olmasına (% 13.29) karşın, lif doygunluğu rutubet derecesinin de düşük olması, araştırmada dikkat çekici bir noktadır. Çünkü, literatürde öz odun oranı azaldıkça lif doygunluğu rutubet derecesinin arttığı belirtilmektedir. Araştırmada böyle bir sonuç elde edilmesinin nedeni; daralma örneklerinin 2.30-4.30 m yükseklikteki gövde kesitlerinden hazırlanması ve bu yüksekliklerde öz odun katılım oranının genel ortalamaya göre daha fazla (% 19.31) olması, ayrıca denemelerde kullanılan örneklerin daha çok öz odun kısmından hazırlanmış olması olarak düşünülmektedir.

IV.3.5 Ceviz Odununun İçerisine Alabileceği En Yüksek Su Miktarı

Ceviz odununun içерisine alabileceği en yüksek su miktarı ortalama % 146.066 olarak belirlenmiştir. Bu değer, ağaç malzemenin emprenye edilmesinde içerisinde alabileceği maksimum emprenye maddesinin tayini bakımından önemlidir.

IV.4 Ceviz Ağacının Değerlendirme Alanları Üzerine Öneriler

Ceviz odunu anatomik, fiziksel ve mekanik özelliklerinin birçok kullanım alanı için uygun olması ve estetik özellikleri nedeni ile insanlar tarafından talep edilmektedir. Özellikle öz odun rengi ve kendine özgü koyu şeritli yapısı oduna dekoratif görünüş özelliği kazandırmaktadır. Rönesanstan günümüze kadar meydana gelen önemli moda ve stil değişikliklerine rağmen değerini hiç kaybetmemiştir.

Ceviz odunu dekoratif görünüşü yanında iyi işlenme özelliklerine de sahiptir. El aletleri ve makinalarla kolay işlenmekte olup düzgün yüzeyler elde edilir. Ancak, orta derecede körleştirmeye etkisi vardır. Rahatlıkla kesilebilir ve soyulabilir. Çivi ve vida tutma kabiliyeti iyi, yapıştırılma kabiliyeti orta derecedir. Çok iyi renk verilebilir ve çok iyi cilâ kabul eder. Kullanım yeri şartlarına uygunluğunu sağlamak amacıyla yapılacak olan kurutma işleminde hızlı kurutmadan kaçınılmalıdır. Odunu orta derecede dayanıklı olup, diri odun kolay, öz odun ise güç emprenye edilir [9].

Ceviz, hem odun özellikleri hem de dekoratif özellikleri nedeni ile masif ve kaplama levha olarak kaliteli mobilya üretiminde kullanılan en uygun ağaç türlerinden biridir. Kalın çaplı, sağlam ve özellikle urlu kütüklerden kesme-soyma kaplama levhalar elde edilmektedir. Gövde ile beraber değerlendirilmeyen kök kısımları çok sert ve desenli oldukları için silah kabzası yapımında kullanılmaktadır. Tüfek kundak ve dipçiği yapımında kütük ve tomrukların öz odun kısmı tercih edilmektedir. Ceviz tomruklarından ayrıca parke, spor aletleri, müzik aletleri yapımında, tornacılık ve markiteride de yararlanılmaktadır [1].

Bu çalışmada yaşıları 26-51 (ortalama 38) arasında değişen ağaçlar kullanılmıştır. Yapılan araştırma sonucunda; yoğunluk değerinin birçok kullanım alanı için uygun oluşu, çalışma miktarının ve lif doygunluğu rutubet derecesinin literatürde verilen değerlerden daha düşük bulunması, yukarıda belirtilen kullanım alanları için uygun olduğunu göstermektedir. Ceviz odunu için belirlenen olumlu özellikler, anatomik yapıya ilişkin bulgular tarafından da desteklenmektedir.

Ceviz ağacı, hem meyvasından hem de odunundan yararlanması nedeni ile ekonomik değeri yüksek ağaç türlerindendir. Ortalama 150 yıl yaşamasına rağmen, değişik iklim bölgelerinde 300-400 yaşına ulaştığı da görülmüştür. Yaklaşık 80 yıllık idare süresi sonunda endüstriyel amaca uygun çapa ulaşır. Bununla birlikte 15-20 yıl gibi kısa bir zaman periyodunda dekarda $60-70 \text{ m}^3$ kereste elde edilebilirken, kaliteli ve yeteri kadar meyve veren ağaçlar ile kaplama levha elde etmek amacıyla kullanılacaklar 32-65 yıl kesilmeden bekletilebilir. Böylece, bu ağaç türü için ortalama idare süresi, üreticinin ekonomik amacına bağlı olarak değişebilmektedir [1, 31].

Ceviz ağacı yıllarca uygulanan usulsüz kesimler sonucu hızla azalmış ve varolan talep karşılanamaz hale gelmiştir. Mevcut olan talebin karşılanamaması insanları Mansonia, Imbuia, Dibétou, Limba gibi ceviz ağacı yerine kullanılabilecek türlere yöneltmiştir. Ancak, bugün olduğu gibi gelecekte de ceviz ağacına olan ilginin devam edeceğinin kesindir. Bu nedenle amaca uygun en yüksek ekonomik değeri elde etmeye yönelik işletmecilik yapılarak en kısa sürede ve çok sayıda ceviz ağacı yetiştirilmesi özendirilmelidir. Böylece ikame ağaç türlerinin ithal edilebilmesi için harcanan dövizin ülkemizde kalması ekonomik açıdan önemli yarar sağlayacaktır. Ayrıca, denizden yükseklik ve eğim miktarının fazla olduğu ülkemizde erozyon acil olarak çözümlenmesi gereken önemli bir sorun olarak karşımıza çıkmaktadır. Toprak erozyonunun durdurulması orman alanlarının genişletilmesi ile mümkün olacağından, bu çalışmalarında ceviz ağacı gibi üstün nitelikli türlere yer verilmesinin uygun olacağı düşünülmektedir. Yine çeşitli iklim şartlarına uyum sağlayabilen ender ağaç türlerinden biri olarak, ağaçlandırma ve gençleştirme alanlarında iğne yapraklı ağaçlarla geniş yapraklı ağaçların karıştırılmasında ceviz ağacına ağırlık verilmesiyle tür zenginliği sağlanacaktır. Yerleşim bölgelerine yakın yerlerde hasılat amaçlı ormanların tesisinde ise sosyal baskınları azaltmak ve halkın desteğini kazanmak için, yöre halkın sahaya getirilecek türlerin tâli ürünlerinden faydalansılabilmesini mümkün kılan türler arasından seçim yapılması uygun olacağının, ceviz ağacının bu tür ağaçlandırma alanlarında kullanılmasının isabetli olacağı düşünülmektedir [11, 58].

Ancak, günümüzde ceviz yetiştirciliği çoğunlukla meyve üretimine yönelik olarak gerçekleştirilmekte ve ağaçlar yaşılanıp meyve verimleri azaldığında kesilerek odun üretimi yapılmaktadır. Bu nedenle, ceviz yetiştirciliğinde meyve üretimi veya odun üretimini esas alan kuruluş amacının başlangıçta belirlenerek ırk seçimi, kültür yöntemleri ve idare süresi gibi teknik esasların bu amaca uygun gerçekleştirilmesinin uygun olacağı düşünülmektedir. Nitekim ROHEDER (1967) tarafından orman ağaçlarının yaşamları boyunca ürettikleri ve gelişmelerinde kullandıkları fotosentetik ürünlerin % 10-30'unun tohum ve meyve oluşumu için harcandığı belirtilmektedir [59]. Bu açıklamaya göre, meyve verimi ön planda tutularak bol ve iri meyve veren ırkların seçilmesiyle kurulan plantasyonların yaşılanma evresindeki odun verimlerinin önemli oranlarda daha az olacağı anlaşılmaktadır. Dolayısıyla endüstriyel amaçlı odun üretimi bakımından kurulacak ceviz plantasyonlarında bu amaca uygun orijin ve ırkların seçilmesi, ayrıca uygun yetişirme tekniklerinin uygulanması gerekmektedir.

KAYNAKLAR

1. TOPRAK, R., BAYRAK, S. (1998): Aşılı Ceviz Yetiştiriciliği 1. Baskı. Burak Ofset, Ankara.
2. BERKEL, A. (1956): Kaplama Levhaları Sanayimiz. İ.Ü.Orman Fakültesi, Seri A, Cilt 6, Sayı 1, S: 65-101.
3. HANİBU, A. (1958): Die Verbreitung der Juglans-Arten der Türkei und die Herstellung von Nussholzfurnieren. Wien.
4. KANTAY, R. (1983): Ceviz (*Juglans regia* L.) Çoruh Meşesi (*Quercus dschorochensis* K. Koch) Doğu Kayını (*Fagus orientalis* Lipsky) Kaplama Levhalarının Kurutma Özellikleri Üzerine Araştırmalar. İ.Ü. Orman Fakültesi Yayınları, İ.Ü. Yayın No: 3050, O.F. Yayın No. 326, Oğul Matbaacılık, İstanbul.
5. ÜNSAL, Ö. (1994): Ceviz Kerestesinin Teknik Kurutma Özellikleri Üzerine Araştırmalar. Yüksek Lisans Tezi, İ.Ü. Fen Bilimleri Enstitüsü Odun Mekanığı ve Teknolojisi Programı, İstanbul.
6. MEREV, N. (1998): Odun Anatomisi Cilt I. Doğu Karadeniz Bölgesindeki Doğal Angiospermae Taksonlarının Odun Anatomisi. K.T.Ü. Orman Fakültesi, Genel Yayın No: 189, Fakülte Yayın No: 27, K.T.Ü. Matbaası, Trabzon.
7. KANTAY, R., AS, N., ÜNSAL, Ö. : Ceviz (*Juglans regia* L.) Odununun Yoğunluğu ve Bazı Mekanik Özellikleri. TÜBİTAK Doğa Dergisine sunulma tarihi 1999.
8. KAYACIK, H. (1981): Orman ve Park Ağaçlarının Özel Sistemiği II. Cilt Angiospermae (Kapalı Tohumlular) 4. Baskı. İ.Ü. Orman Fakültesi Yayınları, İ.Ü. Yayın No: 2766, O.F. Yayın No: 287, Bozak Matbaası, İstanbul.
9. BOZKURT, A.Y., ERDİN, N. (1998): Ticarette Önemli Yabancı Ağaçlar 2. Baskı. İ.Ü. Fen Bilimleri Enstitüsü Yayınları, İ.Ü. Yayın No: 4024, F.B.E. Yayın No: 12, ISBN: 975-404-467-8, Dilek Matbaası, İstanbul.

10. KRÜSSMANN, G. (1985): *Manual of Cultivated Broad-Leaved Trees & Shrubs* Volume II, E-PRO Timber Press Portland, Oregon.
11. AYTER, R. (1993): Ceviz Ağacı Önemi, Ağaçlandırma Tekniği. Orman Bakanlığı Ağaçlandırma ve Erozyon Kontrolü Genel Müdürlüğü Aşılı Ceviz Üretimi Semineri, 7-9 Nisan 1993, Akçakoca-Bolu.
12. REHDER, A. (1949): *Manual of Cultivated Trees and Shrubs*. Second Edition, The Macmillan Company, New York.
13. YALTIRIK, F., EFE, A. (1994): Dendroloji. *Gymnospermae-Angiospermae*. İ.Ü. Orman Fakültesi Yayınları, Üniversite Yayın No: 3836, Fakülte Yayın No: 431, ISBN 975-404-363-9, İ.Ü. Basımevi ve Film Merkezi, İstanbul.
14. GÜREL, Ö. (1993): Ceviz. Orman Bakanlığı Ağaçlandırma ve Erozyon Kontrolü Genel Müdürlüğü Aşılı Ceviz Üretimi Semineri, 7-9 Nisan 1993, Akçakoca-Bolu.
15. EROSKAY, O., AYTUĞ, B. (1982): Doğu Ergene Çanağının Petrifiye Ağaçları. İ.Ü. Orman Fakültesi Dergisi, Seri A, Cilt 32, Sayı 2, S: 7-21.
16. DAVIS, P.H. (1982): *Flora of Turkey and The East Aegean Islands*. Edinburgh at the University Press.
17. MERMER, M. (1993): Cevizin İklim ve Toprak İstekleri. Orman Bakanlığı Ağaçlandırma ve Erozyon Kontrolü Genel Müdürlüğü Aşılı Ceviz Üretimi Semineri, 7-9 Nisan 1993, Akçakoca-Bolu.
18. ISTVÁN, S., TIBOR, S. (1990): Site Precondition for Double Use Walnut Tree Growing. *Acta Horticulturae* 284, Walnut Production, S: 261-266.
19. MAYER, H., AKSOY, H. (1998): *Türkiye Ormanları* (ODC: 188) Wälder der Türkei. Orman Bakanlığı Batı Karadeniz Ormancılık Araştırma Enstitüsü, Orman Bakanlığı Yayın No: 038, Müdürlük Yayın No: 2, ISSN: 975-7829-56-0, A.İ.B.Ü. Basımevi, Bolu.
20. BOSSHARD, H.H. (1974): *Holzkunde I Mikroskopie und Makroskopie des Holzes*. Basel-Stuttgart: Birkhäuser Verlag.

21. GROSSER, D. (1977): Die Hölzer Mitteleuropas. Springer-Verlag Berlin Heidelberg, New York.
22. SCHWEINGRUBER, H.F. (1990): Anatomy of European Woods. Paul Haupt Berne and Stuttgart Publishers.
23. SIDDIQUI, K.M., AYAZ, M., IQBAL, M. (1996): Properties and Uses of Pakistani Timbers. Forest Products Research Division Pakistan Forest Institute, Peshawar.
24. WAGENFÜHR, R. (1996): Holzatlas 4., neubearb. Aufl. Leipzig: Fachbuchverl. ISBN 3-446-00900-0.
25. BOZKURT, A.Y., ERDİN, N. (1990): Ticarette Kullanılan Ağaçlarda Önemli Anatomik Özellikler. İ.Ü. Orman Fakültesi Dergisi, Seri B, Cilt 40, Sayı 2, S: 19-36.
26. FAHN, A., WERKER, E., BAAS, P. (1986): Wood Anatomy and Identification of Trees and Shrubs from Israel and Adjacent Regions, Jerusalem.
27. GREGUSS, P. (1945): Bestimmung der Mitteleuropäischen Laubhölzer und Sträucher auf Xylotomischer Grundlage. Naturwissenschaftliche Monographien I. Verlag des Ungarischen Naturwissenschaftlichen Museums, Budapest.
28. JACQUIOT, C., TRENARD, Y., DIROL, D. (1973): Atlas D'anatomie des Bois des Angiospermes Tome I-Texte, Centre Technique du Bois, Paris.
29. BERKEL, A. (1970): Ağaç Malzeme Teknolojisi Birinci Cilt. İ.Ü.Orman Fakültesi Yayınları, İ.Ü. Yayın No: 1448, O.F. Yayın No: 147, Kutulmuş Matbaası, İstanbul.
30. BOZKURT, A.Y., ERDİN, N. (1997): Ağaç Teknolojisi. İ.Ü.Orman Fakültesi Yayınları, Üniversite Yayın No: 3998, Fakülte Yayın No: 445, ISBN 975-404-449-X, İ.Ü. Basimevi ve Film Merkezi, İstanbul.
31. KUČERA, V.L. (1991): Eigenschaften und Verwendung des Holzes der Walnuß. Allgemeine Forst Zeitschrift fuer Waldwirtschaft und Umweltvorsorge, 46(12), S: 608-611.

32. BOZKURT, A.Y., ERDİN, N. (1995): İğne Yapraklı ve Yapraklı Ağaç Odunlarında Tanım Özellikleri (Odun Anatomisi II). İ.Ü. Orman Fakültesi Yayınları, Üniversite Yayın No: 3907, Fen Bilimleri Enst. Yayın No: 6, ISBN 975-404-406-6, İ.Ü. Basımevi ve Film Merkezi, İstanbul.
33. HEARMAN, R.F.S. (1948): The Elasticity of Wood and Plywood. For. Prod. Res. Spec. Rep. No. 7, London.
34. KEYLWERTH, R. (1944/45): Spalten, Spaltbeanspruchung und Querfestigkeit des Holzes. Holz als Roh-und Werkstoff, 7: 72-78.
35. KRAEMER, O. (1930): Dauerbiegeversuche mit Hölzern. DVL-Jb.
36. BEEKMAN, W.B. Elsevier's Wood Dictionary Volume 1. Commercial and Botanical Nomenclature of World-Timbers Sources of Supply. Elsevier Publishing Company, Netherlands.
37. ÖZER, E. (1993): Ceviz Fidarı Üretiminin Geçmişi ve Geleceği. T.C. Orman Bakanlığı Ağaçlandırma ve Erozyon Kontrolü Genel Müdürlüğü Aşılı Ceviz Üretimi Semineri, 7-9 Nisan 1993, Akçakoca-Bolu.
38. TİCARET ODASI (1997): İstanbul Ticaret Odası 1997 İhracat Verileri. Yayımlanmamıştır.
39. BOZKURT, A.Y., ERDİN, N., ÜNLİĞİL, H. (1995): Odun Patolojisi. İ.Ü.Orman Fakültesi Yayınları, Üniversite Yayın No: 3878, Fakülte Yayın No: 432, ISBN 975-404-403-1, İ.Ü. Basımevi ve Film Merkezi, İstanbul.
40. ÇANAKÇIOĞLU, H., ELİÇİN, G. (1998): Fitopatoloji Özel Bölüm. İ.Ü. Orman Fakültesi Yayınları, Rektörlük No: 4156, Fakülte No: 456, ISBN 975-404-521-6, Dilek Ofset, İstanbul.
41. HEPTING, G. (1971): Diseases of Forest and Shade Trees of the United States. 74-607274 U.S. Government Printing Office, Washington, D.C.
42. ÇANAKÇIOĞLU, H. (1993): Orman Entomolojisi Özel Bölüm. İ.Ü.Orman Fakültesi Yayınları, İ.Ü.Yayın No: 3623, Fakülte Yayın No: 412, ISBN 975-404-199-9, İ.Ü. Basımevi ve Film Merkezi, İstanbul.

43. ÇANAKÇIOĞLU, H., MOL, T. (1998): Orman Entomolojisi Zararlı ve Yararlı Böcekler. İ.Ü.Orman Fakültesi Yayınları, Rektörlük No: 4063, Fakülte No: 451, ISBN 975-404-487-2, Dilek Matbaası, İstanbul.
44. KALIPSIZ, A. (1984): Dendrometri. İ.Ü.Orman Fakültesi Yayınları, İ.Ü.Yayın No: 3194, O.F.Yayın No: 354, Matbaa Teknisyenleri Basımevi, İstanbul.
45. BOZKURT, A. Y. (1973): Odunsu Materyalin Mikroskop Yardımı İle İncelenme Tekniği. İ.Ü. Orman Fakültesi Dergisi, Seri B, Cilt XXIII, Sayı I, S: 75-94.
46. TOKMANOĞLU, T. (1965): Tartma Metodu ile Alan Ölçme. İ.Ü.Orman Fakültesi Dergisi, Seri B, Cilt XV, Sayı 1, S: 62-70.
47. F.P.R.L. (1956): The Preparation of Wood for Microscopic Examination. No: 40.
48. TSE. (1976): Odunda Fiziksel ve Mekaniksel Deneyler İçin Birim Hacim Ağırlığı Tayini. TS 2472 Ankara.
49. JANKA, G. (1900): Untersuchungen über die Elastizität und Festigkeit der Österr. Bau hölzer, I. Fichte. Mitt. Vers.-Wes. Öst. H. 25. Wien.
50. TSE. (1983): Odunda Radyal ve Teğet Doğrultuda Çekmenin Tayini. TS 4083 Ankara.
51. TSE. (1983): Odunda Radyal ve Teğet Doğrultuda Şişmenin Tayini. TS 4084 Ankara.
52. TSE. (1983): Odunda Hacimsel Çekmenin Tayini. TS 4085 Ankara.
53. TSE. (1983): Odunda Hacimsel Şişmenin Tayini. TS 4086 Ankara.
54. BOZKURT, A.Y., GÖKER, Y. (1996): Fiziksel ve Mekanik Ağaç Teknolojisi 2. Baskı. İ.Ü. Orman Fakültesi Yayınları, İ.Ü. Yayın No: 3944, O.F. Yayın No: 436, ISBN 975-404-420-1, İ.Ü. Basımevi ve Film Merkezi, İstanbul.
55. KALIPSIZ, A. (1988): İstatistik Yöntemler. İ.Ü.Orman Fakültesi Yayınları, İ.Ü.Yayın No: 3522, O.F.Yayın No: 394, Doyuran Matbaası, İstanbul.

56. BOZKURT, A.Y., ERDİN, N. (1990): Ticarette Kullanılan Ağaçlarda Önemli Bazı Makroskopik ve Mikroskopik Özellikler. İ.Ü.Orman Fakültesi Dergisi, Seri B, Cilt 40, Sayı 4, S: 33-54.
57. BOZKURT, A.Y., ERDİN, N. (1990): Ticarette Kullanılan Ağaçlarda Fiziksel ve Mekanik Özellikler. İ.Ü. Orman Fakültesi Dergisi, Seri B, Cilt 40, Sayı 1, S: 6-24.
58. ÜRGЕНÇ, S. (1998): Ağaçlandırma Tekniği 2. Baskı. İ.Ü.Orman Fakültesi Yayınları, İ.Ü. Rektörlüğü Yayın No: 3994, Orman Fakültesi Yayın No: 441, ISBN 975-404-446-5, Emek Matbaacılık, İstanbul.
59. PANSIN, A.J., ZEEUW, de C. (1980): Textbook of Wood Technology. Fourth Edition, McGraw-Hill Book Company, New York.
60. AS, N. (1992): *Pinus pinaster* Ait. Değişik Irklarının Fiziksel, Mekanik ve Teknolojik Özellikleri Üzerine Etkisi. Doktora Tezi, İ.Ü. Fen Bilimleri Enstitüsü Odun Mekaniği ve Teknolojisi Programı, İstanbul.
61. BOZKURT, A. Y. (1967): Yapraklı Ağaç Odunlarının Anatomik Yapısı. İ.Ü.Orman Fakültesi Dergisi, Seri B, Cilt XVII, Sayı 2, S: 1-19.
62. BOZKURT, A.Y. (1992): Odun Anatomisi. İ.Ü.Orman Fakültesi Yayınları, Üniversite Yayın No: 3652, Fakülte Yayın No: 415, ISBN 975-404-230-6, İ.Ü. Basımevi ve Film Merkezi.
63. ERCAN, M. (1997): MS EXCEL'in İstatistik Fonksiyonları. Orman Bakanlığı Kavak ve Hızlı Gelişen Orman Ağaçları Araştırma Enstitüsü Yayınları, Müdürlük Yayın No: 213, ISSN 1300-3933, Çeşitli Yayınlar Serisi No: 10, İzmit.
64. ERDİN, N. (1985): Toros Sediri (*Cedrus libani* A. Ric.) Odununun Anatomik Yapısı ve Özgül Ağırlığı Üzerine Araştırmalar. İ.Ü.Orman Fakültesi Yayınları, İ.Ü. Yayın No: 3245, O.F. Yayın No: 369, Matbaa Teknisyenleri Basımevi, İstanbul.
65. JANE, F. W. (1956): The Structure of Wood. Adam & Charles Black, London.
66. KANTAY, R. (1993): Kereste Kurutma ve Buharlama. Ormancılık Eğitim ve Kültür Vakfı Yayın No: 6, Teknisyenler Basımevi, İstanbul.

67. KOLLMANN, F., CÔTÉ, W. (1968): Principles of Wood Science and Technology I Solid Wood. Springer-Verlag Berlin Heidelberg, New York.
68. ROHMEDER, E. (1967): Beziehungen Zwischen Fruch-bzw. Samenerzeugung und Holzerzeugung der Waldbäume. Allgemeine Forst Zeitschrift, 22 (3), S: 33-39.
69. WILSON, K., White, D.J.B. (1986): The Anatomy of Wood: its Diversity and Variability. Stobart & Son LTD., London.

ÖZGEÇMİŞ

1965 Sakarya doğumlu olup, ilk, orta ve lise eğitimini İstanbul'da tamamladı. 1982 yılında İ.Ü.Orman Fakültesi, Orman Endüstri Mühendisliği Bölümüne girerek, 1986 yılında mezun oldu. 1 yıl süreyle İ.Ü.İşletme Fakültesi İşletme İktisadi Enstitüsüne devam ederek, 1987 yılında yöneticilik sertifikası aldı.

1987-1989 yılları arasında özel sektörde görev yaptı. 1989 yılında, halen görevli olduğu İ.Ü.Orman Fakültesi, Orman Endüstri Mühendisliği Bölümü, Orman Biyolojisi ve Odun Koruma Teknolojisi Anabilim Dalında araştırma görevlisi olarak çalışmaya başladı.

1993 yılında Prof.Dr.Yılmaz BOZKURT danışmanlığında, "Suni Olarak Yetiştirilen Fıstıkçamı (*Pinus pinea L.*)'nda Bazı Anatomik, Fiziksel ve Mekanik Özellikler" adlı Yüksek Lisans Tezini tamamladı.

1994 yılında Doktora tezi çalışmalarına başladı. İngilizce bilmekte olup, evli ve bir çocuk annesidir.